

PŘÍRUČNÍ TABULKY PRO CHEMIKY

Třetí přepracované a doplněné vydání

Sestavili

Ing. Dr. VÁCLAV SÝKORA
docent Vysoké školy chemicko-technologické v Praze

Ing. Dr. VLADIMÍR ZÁTKA, CSc.
odb. asistent Vysoké školy chemicko-technologické v Praze

Universita J. E. Purkyně
přírodovědecká fakulta
Knihovna ČVUT
Hlav. kn. č. 349/68
Děpo v knih. anorg. chemie
Ústav. knv. č. 206/1
Signatura 1568

PRAHA 1967

SNTL — NAKLADATELSTVÍ
TECHNICKÉ LITERATURY
SLOVENSKÉ VYDAVATELSTVO
TECHNICKÉJ LITERATÚRY

Vysvětlivky k tabulkám

PŘEDMLUVA K TŘETÍMU VYDÁNÍ

<i>Tab. 1</i>	224
<i>Tab. 2</i>	224
<i>Tab. 3</i>	224
<i>Tab. 4</i>	225
<i>Tab. 5</i>	226
<i>Tab. 6</i>	226
<i>Tab. 7</i>	227
<i>Tab. 8</i>	227
<i>Tab. 9</i>	231
<i>Tab. 10</i>	232
<i>Tab. 11</i>	232
<i>Tab. 12</i>	237
<i>Tab. 13</i>	242
<i>Tab. 14</i>	248
<i>Tab. 15</i>	249
<i>Tab. 16</i>	252
<i>Tab. 17</i>	254
<i>Tab. 18</i>	256
<i>Tab. 19</i>	257
<i>Tab. 20</i>	257
<i>Tab. 21</i>	258
<i>Tab. 22</i>	258
<i>Tab. 23</i>	259
<i>Tab. 24</i>	259
<i>Tab. 25</i>	259
<i>Tab. 26</i>	262
<i>Tab. 27</i>	262
<i>Tab. 28</i>	263
<i>Tab. 29</i>	264
<i>Tab. 30</i>	265
<i>Přitomstné logaritmý</i>	267
<i>Ponížitá literatura</i>	294

Zájem odborné veřejnosti věnovaný oběma předchozím vydáním „Příručních tabulek“, dokumentovaný kromě jiného i rychlým rozebráním jejich nákladů, byl pro nás důkazem, že obsah i rozsah této příručky byly správně zvoleny. Proto i tentokrát ponecháváme nezměněnu strukturu a grafickou úpravu tabulek včetně dvoubarevného tisku: provedené úpravy a doplnky vyplynuly jednak z nejnovějších poznatků vědy, jednak z potřeb praxe a v neposlední řadě i ze zkoušeností při používání tabulek.

U všech údajů byly samozřejmě nahrazeny staré atomové hmoty nejnovějšími, přijatými Mezinárodní komisí pro atomové hmoty na XXIV. Konferenci IUPAC v Praze v září 1967. V tabulce 8 „Kalibrace odměrných nádob“ respektuji nově přepočtené hodnoty změnu v definici mezinárodního litru. Úpravy v tabulce 11 „Tlumivé roztoky (pH)“ se týkají předešlém standardu pro kalibraci stupnice pH-metrů, jejichž počet byl rozšířen a uvedeny nové zpřesněné hodnoty pH spolu s teplotními a zředovacími koeficienty. Přepracována byla rovněž tabulka standardních oxidačně redukčních potenciálů, která je nyní pro snazší orientaci usporádána abecedně a doplněna hodnotami formálních potenciálů.

Zcela přepracovány byly tabulky disociacích konstant kyselin a zásad a dále součinnu rozpustnosti; přednostně byly při tom uváděny termodynamické hodnoty a byly odlišeny od hodnot změrených v roztočích různých elektrolytů. Byl též uveden jednoduchý způsob přepočtu termodynamických konstant na konstanty platné v reálných roztočích se známou iontovou silou. V souvislosti s tím byla rozšířena tabulka 12 „Aktivitní koeficienty — Dielektrické konstanty“ o aktivitní koeficienty individuálních iontů.

Nově byly zařazeny tabulky konstant stability některých analitycky významných komplexů, atomových a iontových poloměrů, dielektrických konstant rozpouštědel, rozpustnosti plynů ve vodě, převodu vlnových délek (μm) na vlnoty (cm^{-1}) a tabulka extinkčních koeficientů.

Aby se rozsah knížky zbytěně nezvěstil, byly údaje několika tabulek revidovány a vynechány ty, jež se ukázaly jen málo významné pro praxi. V tabulkách je tak vydárován pro smazání

OBSAH

Příruční tabulky obsahují základní údaje potřebné pro běžnou práci v chemické a kontrolní laboratoři.

Jsou určeny pro chemiky v průmyslových laboratořích, výzkumných ústavech a pro studující průmyslových a vysokých škol chemických.

Předmluva k 3. vydání	7
Předmluva k 2. vydání	9
Předmluva k 1. vydání	10
Úvod	11

Tab. 1. Periodická soustava prvků D. I. Mendělejeva	12
Tab. 2. Atomové hmoty prvků (r. 1967)	14
Tab. 3. Atomové a iontové poloměry	17
Tab. 4. Atomové hmoty sloučenin a skupin	18

Tab. 5. Násobky atomových a molekulových hmot	40
Tab. 6. Odměrná analýza. Nejvhodnější miligrammekvivalenty	42
Tab. 7. Hustota vody za různých teplot. Tenze vodních par	56
Tab. 8. Kalibrace odměrných nádob	57

Tab. 9. Objemové korekce normálních roztoků v závislosti na teplotě	60
Tab. 10. Důležité indikátory (Kolorimetrické stanovení pH)	62
Tab. 11. Tlumivé roztoky (pH)	64
Tab. 12. Aktivní koeficienty. Dielektrické konstanty	78
Tab. 13. Disocioační konstanty kyselin a konstanty stability komplexů	85

Tab. 14. Standardní a formální redukční potenciály	96
Tab. 15. Vážková analýza a stoechiometrie. Přeypočítávací faktory	102

Tab. 16. Nepřímá analýza	145
Tab. 17. Redukce objemu dusíku na normální podmínky	146
Tab. 18. Objemové stanovení a rozpustnost některých plynů	168
Tab. 19. Teplotní korekce údajů rtuťového tlakoměru	169
Tab. 20. Korekce pro měření rtuťovým teploměrem	170

Tab. 21. Vztahy mezi °R, °F, °C. Přepočítávání °F na °C	171
Tab. 22. Hustoty roztoků kyselin, zásad a solí	173
Tab. 23. Převod stupňů Baumé	188
Tab. 24. Ropzustnost sloučenin ve vodě za různých teplot	189
Tab. 25. Součinnost rozpustnosti anorganických látok	198
Tab. 26. Převod vlnové délky λ na vlnocet ν	200
Tab. 27. Iontový součin vody	206

Tab. 28. Spektrofotometrie. Extinkční koeficienty	207
Tab. 29. Kalibrace analytických závaží	218
Tab. 30. Směšovací pravidlo	222

Lektorovali: Prof. Ing. Dr. Josef KORITA, RNDr. Petr ZUMAN, DrSc.
Redakteře chemické literatury — hlavní redaktor RNDr. Adolf BALADA

© Ing. Dr. Václav SÝKORA, Ing. Dr. Vladimír ZÁTEKA, CSc., 1967

PŘEDMLUVA K DRUHÉMU VYDÁNÍ

praktickou orientaci uživatelů a vzhledem k používaným přístrojům v torrech; 1 torr = $1,332 \cdot 10^{-3}$ baru, 1 bar = 750,07 torru. Doufáme, že provedenými změnami jsme prospěli praktické hodnotě tabulek a děkujeme všem, kdo nám v tom pomohli radou nebo připomínkou. Stejně jako dříve uvítáme s povděkem každé upozornění na možné doplnky, jejichž zařazení by přispělo k dalšímu zlepšení této publikace.

Autori

Praha v listopadu 1965

Po příznivém přijetí prvního vydání „Příručních tabulek“ předkládáme čtenářům nové, přepracované vydání této knížky. Základní struktura a přehlednost tabulek zůstává nezměněna; doplnky a změny byly provedeny podle připomínek, jež jsme dostali z řad pracovníků ve vysokoskolských, průmyslových a výzkumných laboratořích. Rídili jsme se rovněž potřebami těchto pracovníků, které vyplývají z nejmodernějších vědeckých poznatků.

Tak byly ve všech tabulkových údajích nahrazeny staré atomové hmoty novými, platnými pro rok 1959 (Mezinárodní komise pro atomové váhy, Mnichov, září 1959), tabulka 5 byla doplněna o miligramekvivalenty potřebné v chelatometrii. Zvláštní pozornost byla věnována tabulce 10, která byla upravena a rozšířena o tlumivé roztoky s konstantní iontovou silou, o tlumivý roztok pro práci v ultrafialové části spektra a o standardní roztoky používané ke kalibraci stupnice pH-metru.

Nově byly zařazeny tabulky disociačních konstant kyselin a zásad, středních aktivitních koeficientů a standardních oxidačně redukčních potenciálů.

Veskeré uvedené doplňky a úpravy, včetně menšího rozšíření některých jiných tabulek, byly provedeny se snahou o zachování příručního charakteru knížky.

Doufáme, že jsme provedenými změnami přispěli k širšímu praktickému použití „Tabulek“ a děkujeme všem, kteří nám k tomu pomohli. Uvítáme s vděčností všechny daisí připomínky, které pomohou zvýšit hodnotu této publikace.

Praha v prosinci 1960

Autori

PŘEDMLUVA K PRVNÍMU VYDÁNÍ

UVOD

Nášm cílem při sestavování této knížky bylo dát pracovníkům ve vysokoškolských, průmyslových i výzkumných laboratorních příruční tabulky, kde by v přehledné formě nalezli základní data pro analytickou, analytiko-kontrolní a preparativní praxi. Mají-li být takové tabulky skutečně příruční a běžně používanou pracovní pomůckou, musí být sestaveny a technicky upraveny tak, aby v nich bylo možno co nejrychleji a v pokud možno stručně podobě najít všechny nejčastěji využívané údaje. Proto jsme zvolili menší format a jako vzor jsme si vybrali úpravu velmi praktických a u nás oblíbených tabulek Küster-Thielových.

Všechna tabulková díla podobně zaměřená obsahují zpravidla přibližně stejně druhý tabulek, které se liší jen rozsahem, popřípadě způsobem a podrobnostmi zpracování určitého pracovního úseku. Proto i v těchto 24 tabulkách vycházíme z Mendelejevova periodického systému, na nějž navazují obecné tabulky atomových a molekulových hmot a jejich násobků, které byly vypočteny z posledních atomových hmot pro rok 1953. Další tabulky se týkají odměrné, vážkové a organické analýzy a jsou doplněny tabulkami hustot roztoků kyselin a zásad, rozpustnosti některých anorganických láttek ve vodě aj. Protože kniha je určena i studujícím na vysokých školách, jsou k vlastním tabulkám připojeny stručné vysvětlivky, které uvedené údaje objasňují nebo zdůvodňují.

Pro snadnější hledání jsme tabulky, které shrnují určitý pracovní úsek, rozdělili do skupin, označených po pravé straně černě; Küster-Thielovova výzezového způsobu jsme nepoužili, protože kniha tím časem velmi trpí.

Zdá se nám skutečně podařilo ve spolupráci s nakladatelstvím na vysokých školách, jsou k vlastním odborníkům do laboratoří takovou praktickou příručku, jakou jsme zamýšleli, ukáže teprve praxe. Jsme si vědomi toho, že žádné dílo podobného druhu, a zejména jeho první vydání není bez závad, a že tedy i tyto tabulky budou mít své chybby, i když jsme se jich všechno snažili vyvarovat. Děkujeme těm, kdož nás upozornili na nedostatky nebo nám i jinak v práci pomohli, a obrácme se s prosbou ke všem, kdo zjistí závady nebo budou mít návrhy na zlepšení, aby nám je laskavě sdělili.

Praha v říjnu 1954

Autoři

Ohecným způsobem výpočtu je řešení logaritmické, a proto všechny tabulkové údaje byly doplněny, pokud to ovšem mělo praktický smysl, mantisami dekadických logaritmů. Jak rovněž některé vysvětlivky upozorňují, je pro výpočet vždy směrodatná hodnota logaritmu, nikoli jeho numeru, poněvadž mnohdy byl nejprve vypočten logaritmus a pak teprve vyhledán příslušný numerus, jehož poslední místa se musila v některých případech zaokrouhlovat.

V souvislosti s tím je třeba upozornit zejména mladší pracovníky a studující, že snějí vyjadřovat výsledky svých měření (např. analytické výsledky) jen na tolik míst, na kolik je opravňuje přesnost použité metody; přitom předposlední místo se považuje za jisté, kdežto poslední za nejisté.

Při zaokrouhlování jsme vždy postupovali takto: je-li absolutní hodnota odpadajících míst (zbytku) větší než 5, zvyšuje se poslední místo, které ještě zůstává, o jednu jednotku; je-li hodnota zbytku právě 5, pak se poslední místo zvyšuje o jednotku jen tehdy, jde-li o číslici lichou. Zaokrouhlíme tedy:

$$\begin{aligned} 0,5748 &\text{ na } 0,57; \\ 0,5750 &\text{ na } 0,58; \end{aligned}$$

$$0,5850 \text{ na } 0,58;$$

0,5851 na 0,59.

Koncentrace roztoků vyjadřujeme buď váhovými procenty, tj. gramy látky rozpustěné ve 100 g roztoku (g/100 g), nebo objemovými procenty, což znamená mililitry látky rozpustěné ve 100 ml roztoku (ml/100 ml). Jiným způsobem je vyjadřování počtu grammolekul v 1 litru roztoku (roztoky molární, M), nebo počtu gramekvivalentů v 1 litru roztoku (roztoky normální, N), nebo konečně pouze vyjadřování počtu gramů látky v 1 litru roztoku (koncentrace gram-litrová). Stejným způsobem se udávají i výsledky analytické; zde se někdy setkáváme u roztoků velmi zředěných (při analýze vody) s tzv. koncentrací milivalovou, což je počet miligramekvivalentů v 1 litru roztoku.

Vysvětlivky k tabulkám jsou uvedeny na konci knihy.

Periodická soustava

prvků D. I. Mendělejeva

Tabuľka 1

Peri- oda	Elektr. ický obaly	Skupiny											
		I	II	III	IV	V	VI	VII	VIII	IX	X	XI	XII
1	K	H 1											
2	L	Li 3	Be 4	B 5	C 6	N 7	O 8	S 9	F 10				
3	M	Na 11	Mg 12	Al 13	Si 14	P 15	Ne 10						
4	M	K 19	Ca 20	Sc 21	Ti 22	V 23	Cr 24	Mn 25	Co 26	Ni 28			
5	M	Rb 37	Sr 38	Y 39	Zr 40	Nb 41	Mo 42	Tc 13	Ru 14	Pd 16			
6	M	Ag 47	Cd 48	In 49	Sn 50	Sc 51	Te 18	Re 12	Os 13	Pt 14			
7	M	Fr 87	Ra 88	Tl 89	Pb 90	Bi 93	W 74	Ir 12		Rn 16			
8	M	(223)	(226)	(227)	(228)	(229)	(U)						

Prvky vzácných											
Ce 2	Pr 20	Pa 18	Nd 18	U 18	Sm 18	Eu 18	Gd 18	Tb 65	Ho 66	Er 68	Yb 70
140,12	2	140,907	2	144,24	2	145,03	2	160,35	2	151,96	2
140,038	2	(231)	8	(237)	2	(242)	2	(243)	2	157,25	2
233,038	2	238,03	2								

Radioaktívni											
Tb 90	Pr 10	Pa 18	U 18	Sm 18	Eu 18	Gd 18	Tb 65	Ho 66	Er 68	Yb 70	Lu 71
140,12	2	140,907	2	144,24	2	145,03	2	160,35	2	151,96	2
140,038	2	(231)	8	(237)	2	(242)	2	(243)	2	157,25	2
233,038	2	238,03	2								

Prvky											
Tb 97	Pr 21	Pa 18	U 18	Sm 18	Eu 18	Gd 18	Tb 65	Ho 66	Er 68	Yb 70	Lu 71
140,12	2	140,907	2	144,24	2	145,03	2	160,35	2	151,96	2
140,038	2	(231)	8	(237)	2	(242)	2	(243)	2	157,25	2
233,038	2	238,03	2								

Tabuľka 2

Atomové hmoty prvků (r. 1967)

Názov	Chem. značka	Atom. číslo	Atomová hmota	log
Alktinium	Ac	89	(227) (243)	35603 38561
Americium	Am	95	121,75	08547
Antimon	Sb	51	39,948	60150
Argon	Ar	18	74,9216	87461
Arsen	As	33	(210)	322222
Astat	At	85	137,34	Kobalt
Baryum	Ba	56	(247)	Krypton
Berkelium	Bk	97	9,0122	Křemík
Berylijum	Be	4	10,811	Kyslík
Bor	B	5	03387	Lanthan
Brom	Br	35	79,904	Lawrencium
Cer	Ce	58	140,12	Lithium
Cesium	Cs	55	132,905	Lutecium
Cín	Sn	50	118,69	Mangan
Curium	Cm	96	(247)	Mendelevium
Drasík	K	19	39,102	Měd
Dusík	N	7	14,0067	Molybden
Dysprosium	Dy	66	162,50	Neodym
Einsteinium	Es	99	(254)	Neon
Erbium	Er	68	167,26	Neptunium
Europium	Eu	63	151,96	Níkl
Fermium	Fm	100	(253)	Niob
Fluor	F	9	18,9884	Nobelium
Fosfor	P	15	30,9738	Olovo
Francium	Fr	87	(223)	Osmium
Gadolinium	Gd	64	157,25	Paladium
Galium	Ga	31	69,72	Platina
Germanium	Ge	32	72,59	Plutonium
Hafnium	Hf	72	178,49	Polonium
Helium	He	2	4,0026	Praseodym
Hliník	Al	13	26,9815	Promethium
Holmium	Ho	67	164,930	Protaktinium
Horeček	Mg	12	24,305	Radium
Chlor	Cl	17	35,4453	Radon

Tabuľka 2

Atomové hmoty prvků (r. 1967)

Názov	Chem. značka	Atom. číslo	Atomová hmota	log	Atomová hmota	Atom. číslo	Atomová hmota	log
Chrom	Cr	24	51,996	71597	In	49	114,82	06002
Indium	In	53	192,2	28375	Ir	77	126,9044	10347
Iridium	Ir	48	112,40	05077	Kadmium	98	(251)	39967
Jod	J	27	58,9332	77036	Kalifornium
Kadmium	Ca	Kobalt
Kalifornium	Cf	Krypton
Kobalt	Co	Křemík
Krypton	Kr	36	83,80	92324	Kyslík
Křemík	Si	14	28,086	44849	Lanthan
Kyslík	O	8	15,9994	20410	Lanthan
Lanthan	La	57	138,91	14273	Lutecium
Lanthan	Lw	103	(257)	40993	Mangan
Lutecium	Lu	71	174,97	841130	Mangan
Lutecium	Lu	71	54,9380	24296	Mangan
Lithium	Li	3	6,939	78987	Mendelevium
Lithium	Li	29	63,546	40824	Měd
Mangan	Mn	25	101	80309	Měd
Mangan	Mn	25	40,179	30290	Molybden
Mangan	Mn	25	93	37475	Molybden
Molybden	Mo	42	95,94	03200	Neodym
Molybden	Mo	42	144,24	16509	Neon
Molybden	Mo	42	60	10	Neodym
Molybden	Mo	42	20,179	30290	Neon
Molybden	Mo	42	(237)	31637	Neptunium
Molybden	Mo	42	93	27921	Níkl
Molybden	Mo	42	28	32222	Níkl
Molybden	Mo	42	58,71	76871	Níkl
Molybden	Mo	42	92,906	96804	Níkl
Molybden	Mo	42	102	40483	Níkl
Molybden	Mo	42	82	207,19	Níkl
Molybden	Mo	42	76	190,2	Níkl
Molybden	Mo	42	46	02694	Níkl
Molybden	Mo	42	59	14893	Níkl
Molybden	Mo	42	78	29024	Níkl
Molybden	Mo	42	94	16137	Níkl
Molybden	Mo	42	84	36361	Níkl
Molybden	Mo	42	51	35411	Níkl
Molybden	Mo	42	88	34635	Níkl
Molybden	Mo	42	86	34635	Níkl

Tabulka 2

Atomové hmoty prvků (r. 1967)

Název	Chem. značka	Atom. číslo	Atomová hmota	log
Rhenium	•	75	186,2	26998
Rhodium	•	45	102,905	01244
Rtut	•	80	200,59	30231
Rubidium	•	37	85,47	93181
Ruthenium	•	44	101,07	00462
Samarium	•	62	150,35	70710
Selen	•	34	78,96	89741
Síra	•	16	32,064	50602
Skandium	•	21	44,956	65279
Sodík	•	11	22,9898	36154
Stroncium	•	38	87,62	94260
Stříbro	•	47	107,868	03289
Tantal	•	73	180,948	25755
Technecium	•	43	(99)	99564
Telur	•	52	127,60	10585
Terbium	•	65	158,924	20119
Thalium	•	81	204,37	31042
Thorium	•	90	232,038	36556
Thulium	•	69	168,934	22772
Titan	•	22	47,90	68034
Uhlik	•	6	12,01115	07958
Uran	•	92	238,03	37663
Vanad	•	23	50,942	70708
Vápník	•	20	40,08	60293
Viznut	•	83	208,980	32011
Vodík	•	1	1,00797	00345
Wolfram	•	74	183,85	26446
Xenon	•	54	131,30	11826
Yterbium	•	70	173,04	23815
Ytrium	•	39	88,905	94892
Zinek	•	30	65,37	81538
Zirkonium	•	40	91,22	96009
Zlato	•	79	196,967	29440
Železo	•	26	55,847	74700

Tabuks 3

Atomové a iontové poloměry

Prvek	Polomér (Å)		Prvek	Polomér (Å)	
	atomu	iontu s nábojem		atomu	iontu s nábojem
Ag	1,44	1,13	+1	Li	1,56
Al	1,43	0,57	+3	Mg	1,62
As	1,16	1,84	-3	Mn	1,29
		0,69	+3		0,67
		0,47	+5		0,52
Au	1,44	1,37	+1		0,46
B	0,95	0,20	+3	Mo	1,36
Ba	2,25	1,43	+2	N	0,71
B _e	1,05	0,34	+2		1,30
Bi	1,46	0,74	+5		1,43
Br	1,19	1,96	-1		0,15
C	0,77	0,15	+4		+5
		2,57	CO ₃ ²⁻	Na	1,86
Ca	2,21	1,06	+2	Ni	1,24
Cd	1,49	1,03	+2	O	0,60
Cl	1,07	1,81	-1	P	1,13
		0,31	+7	Pb	1,74
Co	1,62	0,82	+2		1,32
		0,64	+3	Rb	2,53
Cr	1,25	0,64	+3	S	1,04
		0,35	+6		1,74
		3,00	CrO ₄ ²⁻		-2
Cs	2,74	1,65	+1	Sb	1,34
Cu	1,27	0,63	+1		2,04
		0,51	+2		-3
F	—	1,33	-1	Si	1,13
Fe	1,26	0,83	+2	S _n	1,40
		0,67	+3	Sr	2,13
H	—	1,35	H ₃ O ⁺	Ti	1,49
Hg	1,49	1,12	+2		0,74
J	1,36	2,20	-1		+4
		0,94	+5	W	1,37
		0,70	+7	Zn	1,33
K	2,23	1,33	+1	Zr	1,62

Tabuľka 4

Tabuľka 4

Atomové a molekulové hmoty sloučenin a skupín

Atomové a molekulové hmoty sloučenin a skupin

	Hmotá	log	Hmotá	log	Hmotá	log	Hmotá	log
Ag	107,868	03289	As	74,9216	87461	Ba	137,34	208,080
2 Ag	215,736	33391	$\frac{1}{2}$ As	37,4608	57358	$\frac{1}{2}$ Ba	68,67	417,960
3 Ag	323,604	51001	2 As	149,8432	17563	2 Ba	274,68	641,443
AgBr	187,772	27362	3 As	224,7648	35173	3 Ba	412,02	61492
AgC ₂ H ₃ O ₂	166,913	22249	As ₂ O ₃	122,9198	08962	BaCO ₃	197,35	29524
AgCl	143,321	15631	AsO ₄	138,9192	14276	Ba(C ₂ H ₃ O ₂) ₂ · H ₂ O	273,45	43688
AgClO ₄	207,319	31664	As ₂ O ₃	197,8414	29632	BaCl ₂	208,25	31858
AgClO ₄ · H ₂ O	225,334	35282	$\frac{1}{4}$ As ₂ O ₃	49,46035	69425	BaCl ₂ · 2 H ₂ O	244,28	38789
AgCN	133,886	12673	As ₂ O ₅	229,8402	36143	Ba(ClO ₄) ₂	336,24	52663
AgJ	234,772	37065	As ₂ O ₇	261,8390	41804	Ba(ClO ₄) ₂ · 3 H ₂ O	390,29	59139
AgNO ₃	169,873	23012	As ₂ S ₃	246,035	39100	BaCrO ₄	253,33	40369
AgSCN	165,950	21998	As ₂ S ₅	310,163	49159	BaF ₂	175,34	24388
AgVO ₃	206,808	31557				Ba(NO ₃) ₂	261,35	41722
Ag ₂ O	231,735	36499				BaO	153,34	18566
Ag ₂ S	247,800	39410	Au	196,967	29440	BaO ₂	169,34	22876
Ag ₂ SO ₄	311,798	49388	2 Au	393,934	59543	Ba(OH) ₂	171,35	23388
Ag ₂ CrO ₄	331,730	52078	3 Au	690,901	77151	Ba(OH) ₂ · 8 H ₂ O	315,48	49897
Al	26,9815	43106	AlCl	232,420	36628	$\frac{1}{2}$ [Ba(OH) ₂ · 8 H ₂ O]		
$\frac{1}{3}$ Al	8,9938	95394	AlCl ₃	303,326	48191	BaO ₂	157,739	19794
2 Al	53,9630	73209	AlCl ₃ · 2 H ₂ O	339,357	53005	BaSO ₄	233,40	36810
3 Al	80,9445	90819	AlCN	222,985	34827	BaSeO ₄	280,30	44762
Al(C ₆ H ₆ ON) ₃ (hydroxychinolin.)	459,4443	66223				BaSiF ₆	277,42	44626
AlCl ₃	133,340	12496	B	10,811	03387			
AlCl ₃ · 6 H ₂ O	241,432	38280	2 B	21,622	33490	Be	9,0122	95483
Al(ClO ₄) ₃ · 9 H ₂ O	487,471	68795	3 B	32,433	2 Be	18,0244	25586	BeCl ₂
AlF ₃	83,9767	92416	BF ₃	67,806	83127	BeCl ₂ · 4 H ₂ O	79,918	90265
AlF ₆	140,9719	14913	BF ₄	86,805	93854	BeCl ₂ · 4 H ₂ O	151,980	18178
Al(NO ₃) ₃ · 9 H ₂ O	375,1343	57419	BO ₂	42,810	63155	Be(ClO ₄) ₂	207,913	31788
Al(OH) ₃		78,0036	BO ₃	58,809	76944	Be(ClO ₄) ₂ · 4 H ₂ O	279,975	44712
AlPO ₄	121,9529	08619	B ₂ O ₃	69,620	84273	Be(NO ₃) ₂ · 4 H ₂ O	205,0834	31193
Al ₂ O ₃	101,9612	00843	$\frac{1}{2}$ B ₂ O ₃	34,810	54170	BeO	25,0116	39814
$\frac{1}{6}$ Al ₂ O ₃	16,9935	23028	B ₄ O ₇	155,240	19100	BeSO ₄ · 4 H ₂ O	177,135	24830
Al ₂ (SO ₄) ₃	342,148	63421				Be ₂ P ₂ O ₇	191,9678	28323
Al ₂ (SO ₄) ₃ · 18 H ₂ O	666,424	82375						

	Hmotá	log	Hmotá	log	Hmotá	log	Hmotá	log
Bi	· · · · ·	13780	Bi	· · · · ·	137,34	Bi ₂ · 5 H ₂ O	208,080	32011
2 Bi	· · · · ·	83677	2 Bi	· · · · ·	68,67	Bi(C ₆ H ₆ ON) ₃ (hydroxychinolin.)	417,960	62114
BiCl ₃	· · · · ·	43883	BiCl ₃	· · · · ·	274,68	BiCr(SCN) ₆	641,443	80716
BiO	· · · · ·	61492	BiO	· · · · ·	197,35	BiOCl	507,332	70529
BiOCl	· · · · ·	29524	BiOCl	· · · · ·	31858	BiOCl	699,467	78495
Bi ₂ O ₇	· · · · ·	38789	Bi ₂ O ₇	· · · · ·	244,28	BiOCl ₄	589,968	77083
Bi(NO ₃) ₃ · 5 H ₂ O	· · · · ·	52663	Bi(NO ₃) ₃ · 5 H ₂ O	· · · · ·	336,24	BiONO ₃ · H ₂ O	485,071	68580
Bi ₂ O ₃	· · · · ·	59139	Bi ₂ O ₃	· · · · ·	390,29	Bi ₂ O ₃ · H ₂ O	224,979	35214
Bi ₂ O ₃ · Cr ₂ O ₇	· · · · ·	40369	Bi ₂ O ₃ · Cr ₂ O ₇	· · · · ·	260,432	Bi ₂ O ₃ · Cr ₂ O ₇	665,947	82344
BiPO ₄	· · · · ·	303,951	BiPO ₄	· · · · ·	324,430	Bi ₂ O ₃ · PO ₄	311,112	48280
Bi ₂ O ₃	· · · · ·	465,958	Bi ₂ O ₃	· · · · ·	465,958	Bi ₂ O ₃ · PO ₄	465,958	66835
Bi ₂ O ₃ · Bi ₂ O ₃	· · · · ·	232,9791	Bi ₂ O ₃ · Bi ₂ O ₃	· · · · ·	232,9791	Bi ₂ O ₃ · Bi ₂ O ₃	232,9791	36732
Bi ₂ O ₃ · S ₃	· · · · ·	614,152	Bi ₂ O ₃ · S ₃	· · · · ·	614,152	Bi ₂ O ₃ · S ₃	614,152	71109
Bi ₂ (SeO ₃) ₃	· · · · ·	798,83	Bi ₂ (SeO ₃) ₃	· · · · ·	798,83	Bi ₂ (SeO ₃) ₃	798,83	90245
Br	· · · · ·	79,904	Br	· · · · ·	79,904	Br	159,808	20360
2 Br	· · · · ·	3 Br	· · · · ·	4 Br	· · · · ·	3 Br	239,712	37969
5 Br	· · · · ·	4 Br	· · · · ·	6 Br	· · · · ·	6 Br	479,424	68072
BrO ₃	· · · · ·	31788	BrO ₃	· · · · ·	207,913	BrO ₃	127,902	10688
1/6 BrO ₃	· · · · ·	44712	1/6 BrO ₃	· · · · ·	279,975	1/6 BrO ₃	21,3170	32873
2 BrO ₃	· · · · ·	80534	2 BrO ₃	· · · · ·	205,0834	2 BrO ₃	255,804	40791
2 BrO ₃	· · · · ·	31193	2 BrO ₃	· · · · ·	25,0116	2 BrO ₃	191,9678	

Tabuľka 4

Tabuľka 4

Atomové a molekulové hmoty sloučenin a skupín

Atomové a molekulové hmoty sloučenin a skupin

	Hmotá	log	Hmotá	log	Hmotá	log	Hmotá	log
O	12,01116	07958	CO	28,0106	44732	88,0199	94458	C ₁₄ H ₆ O ₂
2 C	24,02320	38061	CO(NH ₂) ₂	60,0558	77856	44,00995	64355	C ₁₄ H ₇ O ₂
3 C	36,03345	55670	CO(NH ₂)NH	111,531	04739	176,0398	24561	C ₁₄ H ₈ O ₂
4 C	48,04460	68164	NH ₂ HCl	44,0100	64355	264,0597	42170	(anthracinon) C ₂₀ H ₁₆ N ₄ (nitron)
5 C	60,05575	77856	CO ₂	22,00497	34252	148,0729	17048	C ₂₀ H ₁₆ N ₄ · HClO ₄
6 C	72,06890	85773	1/2 CO ₂	88,0199	94458	79,1023	89819	C ₂₀ H ₁₆ N ₄ · HNO ₃
CHCl ₃	119,378	07692	2 CO ₂	132,0298	12067	158,2046	19922	2 C ₆ H ₅ N
CH ₂	14,02709	14697	3 CO ₂	45,0179	65339	237,3069	37531	3 C ₅ H ₅ N
2 CH ₂	28,05418	44800	CO ₂ H	90,0358	95442	74,08284	86972	C ₆ H ₃
3 CH ₂	42,08127	62409	2 CO ₂ H	135,0538	13051	76,09081	87558	C ₆ H ₄
4 CH ₂	56,10836	74903	3 CO ₂ H	180,0717	25544	110,1135	88137	C ₆ H ₄ (OH) ₂
5 CH ₂	70,13545	84594	4 CO ₂ H	60,0094	77822	04184	1/2 Ca	
6 CH ₂	84,16254	92512	CO ₃	30,00467	47719	77,10675	2 Ca	
CH ₂ O	30,0265	47751	1/2 CO ₃	120,0187	07925	154,21350	3 Ca	
(formaldehyd)			2 CO ₃	180,0280	25534	18812	1/2 CaCO ₃	
CH ₃	15,03506	17711	3 CO ₃	76,120	88150	231,32025	36428	CaCN ₂
2 CH ₃	30,07012	47813	CS(NH ₂) ₂	91,135	95968	94,1141	97396	CaCO ₃
3 CH ₃	45,10518	65423	CS(NH ₂)NH · NH ₂	88160	78,11472	89273	1/2 CaCO ₃	
CH ₃ Br	94,939	97744	CS ₂	76,139	105,1173	02167	CaC ₂	
CH ₃ Cl	50,488	70319	C ₂ H ₂	26,03824	41561	210,2346	32270	Ca(C ₂ H ₃ O ₂) ₂ · H ₂ O
CH ₃ J	141,93935	15210	C ₂ H ₃ O (acetyl-)	43,0456	63393	C ₇ H ₇ (benzyl)	91,13384	176,19
CH ₃ O	31,0345	49184	2 C ₂ H ₃ O	86,0912	93496	C ₈ H ₇ ON	145,1622	146,12
2 CH ₃ O	62,06910	79287	3 C ₂ H ₃ O	129,1368	11105	(hydroxychinolin) C ₉ H ₆ ON	105,1173	147,471
CN	26,0178	41527	C ₂ H ₃ O ₂	59,0450	77118	C ₂ H ₇ ·	210,2346	164,12
1/2 CN	13,0089	11424	2 C ₂ H ₃ O ₂	118,0900	07221	C ₆ H ₇ ON	98968	110,99
2 CN	52,0357	71630	C ₂ H ₅	29,06215	46333	C ₁₀ H ₄	145,1622	110,99
3 CN	78,0535	89239	2 C ₄ H ₅	58,12430	76436	C ₁₀ H ₅	124,1434	124,1434
4 CN	104,0714	01733	3 C ₄ H ₅	87,18645	94045	125,1514	09743	125,1514
5 CN	130,0892	11424	C ₂ H ₅ Br	108,966	03729	C ₁₀ H ₆	126,1593	126,1593
6 CN	156,1071	19342	C ₂ H ₅ Cl	64,515	80966	C ₁₀ H ₇	127,1673	127,1673
CNB	105,922	02499	C ₂ H ₅ J	155,9665	19303	C ₁₀ H ₈ (naftalen)	128,1753	128,1753
CNJ	152,9222	18447	C ₂ H ₅ O	45,0616	65381	C ₁₂ H ₈ N ₂ · H ₂ O	198,2263	198,2263
CNO	42,0172	62343	C ₂ H ₈ N ₂	60,0995	77887	C ₁₂ H ₈ N ₂ · HCl	29716	29716
CNS viz SCN	58,082	76404	(ethyleniamin)	234,687		H ₂ O	234,687	234,687
			2 C ₂ H ₃ N ₂	120,1989	07989			

Tabuľka 4

Tabuľka 4

Atomové a molekulové hmoty sloučenin a skupín

Atomové a molekulové hmoty sloučenin a skupin

Hmota	log	Hmota	log	Hmota	log	Hmota	log
$\text{Ca}(\text{NO}_3)_2 \cdot \dots$	164,09	21508	$\text{CdS} \cdot \dots$	144,46	15975	$\text{Cs} \cdot \dots$	132,905
$\text{Ca}(\text{NO}_3)_2 \cdot 4 \text{H}_2\text{O}$	236,15	37319	$\text{CdSO}_4 \cdot \dots$	208,46	31903	$2 \text{Cs} \cdot \dots$	265,810
$\text{CaO} \cdot \dots$	56,08	74881	$\text{CdSO}_4 \cdot 8/3 \text{H}_2\text{O} \cdot$	256,50	40909	$\text{CsCl} \cdot \dots$	168,358
$1/2 \text{CaO} \cdot \dots$	28,040	44778	$\text{Cd}_2\text{P}_2\text{O}_7 \cdot \dots$	398,74	60069	$\text{Cs}_2\text{CO}_3 \cdot \dots$	325,819
$2 \text{CaO} \cdot \dots$	112,16	04984					51297
$3 \text{CaO} \cdot \dots$	168,24	22593	$\text{Ce} \cdot \dots$	140,12	14650	$\text{Cs}_2\text{O} \cdot \dots$	281,809
$\text{Ca}(\text{OH})_2 \cdot \dots$	74,09	86976	$2 \text{Ce} \cdot \dots$	280,24	44750	$\text{Cs}_2\text{SO}_4 \cdot \dots$	44995
$1/2 \text{Ca}(\text{OH})_2 \cdot \dots$	37,047	56875	$\text{CeCl}_3 \cdot \dots$	246,48	39178	$\text{Cs}_2\text{ClO}_4 \cdot \dots$	35556
$\text{CaSO}_4 \cdot \dots$	136,14	13399	$\text{Ce}(\text{ClO}_4)_3 \cdot 6 \text{H}_2\text{O}$	546,56	73764	$[\text{C}_{10}\text{H}_6\text{O}(\text{NO})_3] \cdot$	36616
$\text{CaSO}_4 \cdot 2 \text{H}_2\text{O} \cdot \dots$	172,17	23595	$\text{Ce}(\text{NO}_3)_3 \cdot 6 \text{H}_2\text{O}$	434,23	63772	$2 \text{H}_2\text{O} \cdot \dots$	232,356
$\text{Ca}_2\text{S}_2\text{O}_3 \cdot 6 \text{H}_2\text{O} \cdot \dots$	260,30	41547	$\text{CeO}_2 \cdot \dots$	172,12	23583	$(1,1\text{-nitroso-2-nafetyl})$	194,910
$\text{CaSiO}_3 \cdot \dots$	116,16	08506	$\text{CeO}_2 \cdot \dots$	246,48	39178	$\text{CoCl}_2 \cdot 6 \text{H}_2\text{O} \cdot \dots$	28838
$\text{Ca}_3(\text{C}_6\text{H}_5\text{O}_7)_4 \cdot \dots$	570,51	75627	$\text{Ce}(\text{SO}_4)_2 \cdot 4 \text{H}_2\text{O} \cdot \dots$	332,24	73764	$2 \text{H}_2\text{O} \cdot \dots$	123,905
$4 \text{H}_2\text{O} \cdot \dots$ (citran)		49161	$\text{Ce}_2(\text{SO}_4)_3 \cdot 4 \text{H}_2\text{O} \cdot \dots$	404,30	60670	$[\text{C}_{10}\text{H}_6\text{O}(\text{NO})_3] \cdot$	80309
$\text{Ce}_3(\text{PO}_4)_2 \cdot \dots$	310,18		$\text{Ce}_2(\text{C}_2\text{O}_4)_3 \cdot \dots$	544,30	73584	$2 \text{H}_2\text{O} \cdot \dots$	104,112
			$\text{Ce}_2\text{O}_3 \cdot \dots$	328,24	51619	$[\text{C}_{10}\text{H}_6\text{O}(\text{NO})_3] \cdot$	28021
			$\text{Ce}_4(\text{SO}_4)_3 \cdot 8 \text{H}_2\text{O} \cdot \dots$	712,55	85281	$2 \text{H}_2\text{O} \cdot \dots$	34462
						$[\text{C}_{10}\text{H}_6\text{O}(\text{NO})_3] \cdot$	53441
$\text{Cd} \cdot \dots$	112,40	05077	$\text{Cl} \cdot \dots$	35,453	54966	$[\text{C}_{10}\text{H}_6\text{O}(\text{NO})_3] \cdot$	349635
$1/2 \text{Cd} \cdot \dots$	56,20	74974	$2 \text{Cl} \cdot \dots$	70,906	85069	(salicylaldoxim)	351,845
$2 \text{Cd} \cdot \dots$	224,80	35180	$3 \text{Cl} \cdot \dots$	106,359	02677	$\text{Cu}(\text{C}_6\text{H}_5\text{O}_2\text{N})_2 \cdot \dots$	
$\text{CdCO}_3 \cdot \dots$	172,41	23656	$4 \text{Cl} \cdot \dots$	141,812	15172	$[\text{C}_{10}\text{H}_6\text{O}(\text{NO})_3] \cdot$	
$\text{Cd}(\text{C}_2\text{H}_5\text{O}_2)_2 \cdot \dots$	266,52	42573	$5 \text{Cl} \cdot \dots$	177,265	24862	$2 \text{H}_2\text{O} \cdot \dots$	
$2 \text{H}_2\text{O} \cdot \dots$		60283	$6 \text{Cl} \cdot \dots$	212,718	32781	$[\text{C}_{10}\text{H}_6\text{O}(\text{NO})_3] \cdot$	
$\text{Cd}(\text{C}_9\text{H}_6\text{O}_2)_2 \cdot \dots$ (hydroxychinol.)	400,71		$\text{ClO} \cdot \dots$	51,452	71141	$2 \text{H}_2\text{O} \cdot \dots$	
$\text{CdCl}_2 \cdot 2 \text{H}_2\text{O} \cdot \dots$	219,34	34112	$1/2 \text{ClO} \cdot \dots$	25,7262	41037	$[\text{C}_{10}\text{H}_6\text{O}(\text{NO})_3] \cdot$	
$\text{Cd}(\text{ClO}_4)_2 \cdot 6 \text{H}_2\text{O} \cdot \dots$	419,39	62262	$2 \text{ClO} \cdot \dots$	102,905	01244	$2 \text{H}_2\text{O} \cdot \dots$	
$\text{CdJ}_2 \cdot \dots$	366,21	56373	$\text{ClO}_3 \cdot \dots$	83,451	92143	$[\text{C}_{10}\text{H}_6\text{O}(\text{NO})_3] \cdot$	
$\text{Cd}(\text{NO}_3)_2 \cdot 4 \text{H}_2\text{O} \cdot \dots$	308,47	48921	$1/6 \text{ClO}_3 \cdot \dots$	13,9085	14328	$2 \text{H}_2\text{O} \cdot \dots$	
$\text{CdO} \cdot \dots$	128,40	10857	$2 \text{ClO}_3 \cdot \dots$	166,902	22246	$[\text{C}_{10}\text{H}_6\text{O}(\text{NO})_3] \cdot$	
$\text{CdPy}_2(\text{SCN})_2 \cdot \dots$	386,77	58745	$\text{ClO}_4 \cdot \dots$	99,451	99760	$2 \text{H}_2\text{O} \cdot \dots$	
$\text{CdPy}_4(\text{SCN})_2 \cdot \dots$	544,97	73638	$2 \text{ClO}_4 \cdot \dots$	198,901	29863	$[\text{C}_{10}\text{H}_6\text{O}(\text{NO})_3] \cdot$	

1) Py = Pyridin

Tabuľka 4

Tabuľka 4

Atomové a molekulové hmoty sloučenin a skupín

Atomové a molekulové hmoty sloučenin a skupin

	Hmotá	log	Hmotá	log	Hmotá	log	Hmotá	log
Cu ₂ O	143,091	15561	Fe(OH) ₃	106,869	02885	72,59	86088	HCl
Cu ₂ S	159,156	20182	2 Fe(OH) ₃	213,738	32988	145,18	16191	2 HCl
			FePO ₄	150,818	17845	214,40	33122	3 HCl
Er	167,26	22240	FeS	87,911	94404	GeO	94738	HClO
2 Er	334,52	52443	FeSO ₄ . . . 7 H ₂ O	151,909	18158	GeO ₂	01949	HClO ₃
Er ₂ O ₃	382,52	58265	FeSO ₄	278,016	44406	GeS	01974	HClO ₄
Er ₂ (SO ₄) ₃ . . . 8 H ₂ O	766,83	88470	FeS ₂	119,975	07909	GeS ₂	13583	2 HClO ₄
F	18,9984	27871	Fe ₂ O ₃	159,692	20328	HF	HF
2 F	37,9988	57974	1/2 Fe ₂ O ₃	79,8461	90225	2 HF	40,0127
3 F	56,9982	75584	2 Fe ₂ O ₃	319,384	50431	HJ	60220
4 F	75,9936	88078	3 Fe ₂ O ₃	479,077	68041	HJO ₃	10691
5 F	94,9920	97769	Fe ₂ (SO ₄) ₃	399,879	60193	HJO ₄	175,9106
			Fe ₂ (SO ₄) ₃ . . . 9 H ₂ O	562,017	74975	HNO ₂	24530
			Fe ₃ O ₄	231,539	36462	3 HNO ₂	191,9100
						4 HNO ₂	28309
Fe	55,847	74700	Ga	69,72	84336	5 HNO ₂	47,0135
2 Fe	111,694	04803	2 Ga	139,44	14438	6 HNO ₂	94,0260
3 Fe	167,541	22412	GaCl ₃	176,08	24571	7 HNO ₂	63,0129
Fe(CN) ₆	211,954	32624	Ga ₂ O ₃	187,44	27286	8 HNO ₂	79943
2 Fe(CN) ₆	423,908	62727	Ga(NO ₃) ₃	255,73	40778	HO viz OH	126,0257
FeCO ₃	115,856	06392	Ga ₂ S ₃	235,63	37223	HPO ₃	10046
Fe(C ₆ H ₆ ON) ₃ . . . (hydroxychinolin.)	488,310	68870	Ga ₂ (SO ₄) ₃	427,62	63106	4 HNO ₃	27655
FeCl ₂ . . . 4 H ₂ O	126,753	10296				5 HNO ₃	189,0386
FeCl ₃	198,814	29845				6 HNO ₃	17,0074
	162,206	21007	Gd	157,25	19659	7 HNO ₃	23063
FeCl ₃ . . . 6 H ₂ O	270,298	43185	2 Gd	314,50	49762	8 HNO ₃	95463
Fe(ClO ₄) ₂ . . . 6 H ₂ O	362,840	55972	GdCl ₃ . . . 6 H ₂ O	371,70	57019	90,0795	H ₂ . C ₄ H ₄ O ₄
Fe(ClO ₄) ₂ . . . 6 H ₂ O	462,291	66491	Gd(NO ₃) ₃	343,26	53562	(mléčná kys.)	122,1247
Fe(HCO ₃) ₂	177,882	25013	Gd ₂ O ₃	362,50	55931	H ₂ . C ₄ H ₄ O ₅	08681
Fe(NO ₃) ₃ . . . 9 H ₂ O	404,000	60638	Gd ₂ (SO ₄) ₃	602,68	78009	(jablečná kys.)	134,0894
FeO	71,846	85641	Gd ₂ (SO ₄) ₃ . . . 8 H ₂ O	746,81	87321	H ₂ . C ₄ H ₄ O ₆	12739
2 FeO	143,693	15744				(salicylová kys.)	150,0888
						(vinna kys.)	17635
						(olejová kys.)	45097

Tabuľka 4

Atomové a molekulové hmoty sloučenin a skupín

Atomové a molekulové hmoty sloučenin a skupin

Hmota	log	Hmota	log	Hmota	log
$\text{H}_2\text{C}_7\text{H}_4\text{O}_6\text{S}$ (sulfosalicylová kys.)	218,186	33882	$\text{H}_3\cdot\text{C}_6\text{H}_6\text{O}_6\text{N}$ (chelatón 1) ¹⁾	191,1517	28138
$\text{H}_2\cdot\text{C}_8\text{H}_4\text{O}^4$ (ftalová kys.)	166,1346	220466	$\text{H}_3\text{Fe}(\text{CN})_6$	214,978	33240
H_2CrO_4	118,010	07192	H_3PO_2	65,9965	81952
$\text{H}_2\text{Cr}_2\text{O}_7$	218,004	33847	H_3PO_3	81,9959	91379
H_2O	18,0153	25564	H_3PO_4	97,9953	99121
$1/2\text{H}_2\text{O}$	9,00767	95461	$\text{H}_4\cdot\text{C}_{10}\text{H}_{12}\text{O}_4\text{N}_2$ (chelatón 2) ¹⁾	292,2476	46575
$2\text{H}_2\text{O}$	36,0307	55667	$\text{H}_4\cdot\text{C}_{14}\text{H}_{18}\text{O}_8\text{N}_2$ (chelatón 4) ¹⁾	340,3400	53950
$3\text{H}_2\text{O}$	54,0460	73277	$\text{H}_4\text{Fe}(\text{CN})_6$	215,986	33442
$4\text{H}_2\text{O}$	72,0614	85770	H_4SiO_4	96,115	98279
$5\text{H}_2\text{O}$	90,0767	95461	$\text{H}_6\text{C}_2\text{N}_4\text{O}$ (dilyandiamidin)	102,0963	00901
H_2O_2	34,0147	53167	$\text{H}_6\text{C}_2\text{N}_4\text{O}\cdot\text{H}_2\text{SO}_4$	200,174	30141
$1/2\text{H}_2\text{O}_2$	17,00737	23063			
H_2PO_4	96,9873	98672			
$2\text{H}_2\text{PO}_4$	193,9747	28774			
H_2PtCl_6	409,82	61259	Hg	200,59	30231
H_2S	34,080	53250	2Hg	401,18	60334
H_2SO_3	82,078	91423	3Hg	601,77	77943
H_2SO_4	98,078	99157	$\text{Hg}(\text{CN})_2$	252,63	40248
$1/2\text{H}_2\text{SO}_4$	49,0388	69054	$\text{HgC}_2\text{H}_3\text{O}_2$	259,63	41435
$2\text{H}_2\text{SO}_4$	196,155	29260	$\text{Hg}(\text{C}_2\text{H}_3\text{O}_2)_2$	318,68	50335
$3\text{H}_2\text{SO}_4$	294,233	46869	HgCl_2	271,50	43377
$\text{H}_2\text{S}_2\text{O}_3$	114,142	05745	$\text{Hg}(\text{ClO}_4)_2\cdot 3\text{H}_2\text{O}$	453,54	65662
$\text{H}_2\text{S}_2\text{O}_8$	194,139	28812	$\text{Hg}(\text{ClO}_4)_2\cdot \text{H}_2\text{O}$	574,78	65744
$1/2\text{H}_2\text{S}_2\text{O}_8$	97,0696	98709	HgJ_2	454,40	53481
H_2SiF_6	144,092	15864	$\text{Hg}(\text{NO}_3)_2\cdot \text{H}_2\text{O}$	342,62	89265
H_2SO_3	78,100	78,100	HgO	216,59	33564
H_3AsO_3	125,9437	10018	$\text{HgPy}_2\text{Cr}_2\text{O}_7$	232,65	75950
H_3AsO_4	141,9431	15211	HgS	296,65	36670
H_3BO_3	61,8333	79122	HgSO_4	472,09	47224
$\text{H}_3\cdot\text{C}_6\text{H}_5\text{O}_7$ (citronová kys.)	192,1245	28359	Hg_2Cl_2	472,09	67402
$\text{H}_3\cdot\text{C}_6\text{H}_5\text{O}_7$ (pyridin)	210,1418	32251	$\text{Hg}_2(\text{NO}_3)_2\cdot 2\text{H}_2\text{O}$	561,23	74914

1) Chemický názov viz Vysvetlivky k této tabuľce
2) Py = pyridin

Hmota	log	Hmota	log	Hmota	log
In	114,82	KCNO	...
2 In	...	229,64	KC ₂ H ₃ O ₂	...	98,147
InCl ₃	...	221,18	KCl	...	74,555
In ₂ O ₃	...	277,64	KClO ₃	...	129,553
In ₂ (SO ₄) ₃	...	517,82	1/6 KClO ₃	...	20,4255
In ₂ (SO ₄) ₃ · 9 H ₂ O	679,96	83249	KClO ₄	...	138,553
KCr(SO ₄) ₂	...		KCr(SO ₄) ₂	...	14161
J	...	126,9044*	10347	KF	...
2 J	...	253,8088	40450	KFe(SO ₄) ₂	...
3 J	...	380,7132	58060	· 12 H ₂ O	...
4 J	...	507,6176	70554	KHCO ₃	...
5 J	...	634,5220	80245	KHC ₄ H ₄ O ₆	...
6 J	...	761,4264	88163	(vinan prim.)	...
JBr	...	206,808	31557	KHC ₈ H ₄ O ₄	...
JO ₃	...	174,9026	24280	(tetelan prim.)	...
1/6 JO ₃	...	29,1504	46465	KHF ₂	...
2 JO ₃	...	349,8052	54383	KH(JO ₃) ₂	...
JO ₄	...	190,9020	28081	1/12 [KH(JO ₃) ₂]	...
1/2 JO ₄	...	95,4510	97978	KH ₂ PO ₄	...
J ₂ O ₅	...	333,8058	52350	KH ₃ (C ₂ O ₄) ₂	...
K	...	39,102	59220	1/3 [KH ₃ (C ₂ O ₄) ₂]	...
2 K	...	78,204	89323	1/4 [KH ₃ (C ₂ O ₄) ₂]	...
3 K	...	117,306	06932	2 H ₂ O	...
KAl(SO ₄) ₂	...		KJ	...	166,006
· 12 H ₂ O	...	474,391	67613	KJ ₃	...
KAlSi ₃ O ₈	...	278,337	444457	1/6 KJ ₃ O ₃	...
K[B(C ₆ H ₅) ₄]	...	358,340	55430	KJ ₄	...
KBF ₄	...	125,907	10095	KMnO ₄	...
KBr	...	119,006	07557	1/5 KMnO ₄	...
KB ₃ O ₃	...	167,004	22273	2 KMnO ₄	...
1/6 KBrO ₃	...	27,8340	444457	KNO ₂	...
KCN	...	65,120	81371	KNO ₃	...

Tabulka 4

Tahalka 4

Atomové a molekulové hmoty sloučenin a skupin

Hmota	log	Hmota	log
KNaC ₄ H ₄ O ₆ · 4 H ₂ O (vinan)	282,226	45060	K ₃ Co(NO ₂) ₆
KOH	56,109	74903	K ₃ Fe(CN) ₆
2 KOH	112,219	05006	K ₄ Fe(CN) ₆
3 KOH	168,328	22615	K ₄ Fe(CN) ₆ · 3 H ₂ O
KSCN	97,184	98760	
K(SbO)C ₄ H ₄ O ₆ · ½ H ₂ O(vinan).	333,93	52366	L _a
K ₂ CO ₃	138,213	14055	2 L _a
½ K ₂ CO ₃	69,1067	83952	L _a (C ₂ H ₅ O ₂) ₃
2 K ₂ CO ₃	276,427	44158	· 1½ H ₂ O
K ₂ C ₂ O ₄ · H ₂ O	184,239	26538	LaCl ₃ · 7 H ₂ O
K ₂ CrO ₄	194,198	28825	La(NO ₃) ₃ · 6 H ₂ O
½ _a K ₂ CrO ₄	64,7325	81112	La _a O ₃
K ₂ Cr ₂ O ₇	294,192	46863	La _a (C ₂ O ₄) ₃ · 9 H ₂ O
½ _b K ₂ Cr ₂ O ₇	49,0319	69048	La _a (SO ₄) ₃ · 9 H ₂ O
½ _c K ₂ Cr ₂ O ₇	147,0959	16760	
K ₂ HAsO ₄	218,131	33372	
K ₂ MgC ₁₀ H ₁₂ O ₈ N ₂ · 5 H ₂ O	480,801	68196	L _i
Mg ₂ K ₂ —stil chelatoanu 2 ¹⁾			2 Li
K ₂ O	94,203	97406	3 Li
½ _d K ₂ O	47,1017	67304	LiCl
2 K ₂ O	188,407	27510	LiClO ₄
3 K ₂ O	282,610	45119	LiClO ₄ · 3 H ₂ O
K ₂ PtCl ₆	486,01	68665	LiNO ₃
K ₂ SO ₃ · 2 H ₂ O	194,303	28848	LiOH
K ₂ SO ₄	174,266	24121	Li ₂ CO ₃
K ₂ S ₂ O ₅	222,329	34700	Li ₂ CrO ₄ · 2 H ₂ O
K ₂ TiF ₆	270,327	43189	Li ₂ O
K ₂ S ₂ O ₈	220,280	34297	Li ₂ SO ₄ · H ₂ O
K ₂ TiO(C ₂ O ₄) ₂ · 2 H ₂ O	240,09	38037	Li ₂ SIF ₆
	354,17	54923	Li ₃ PO ₄

¹⁾ Chemický název viz Vysvětlivky k této tabuľce

Atomové a molekulové hmoty složenin a skupin

	Hmota	log	Hmota	log
Lu	174,97	24296	Mg(OH) ₂	58,320
2 Lu	349,94	64399	1/2 Mg(OH) ₂	29,1593
LuCl ₃	281,33	44921	MgSO ₄	120,367
Lu ₂ (SO ₄) ₃ · 8 H ₂ O	782,25	89334	MgSO ₄ · 7 H ₂ O	246,474
Mg	24,305	38570	Mg ₂ As ₂ O ₇	310,449
1/2 Mg	12,1525	08467	Mg ₂ GeO ₄	185,20
2 Mg	48,610	68673	Mg ₂ P ₂ O ₇	222,553
3 Mg	72,915	86282	Mg ₃ N ₂	100,928
MgCO ₃	84,314	92590	Mg ₃ (PO ₄) ₂	00401
Mg(C ₂ H ₃ O ₂) ₂ · 4 H ₂ O	214,456	33134	· 8 H ₂ O	406,980
Mg(C ₆ H ₆ ON) ₂ (hydroxychinol.)	312,613	49501	Mg ₃ Si ₄ O ₁₁ · H ₂ O	60957
Mg(C ₉ H ₆ ON) ₂				379,267
· 2 H ₂ O	348,644	54238	Mn	57894
MgCl ₂	95,211	97868	1/4 Mn	54,9380
MgCl ₂ · 6 H ₂ O	203,303	30815	2 Mn	27,4690
Mg(ClO ₄) ₂	223,206	34870	3 Mn	43884
Mg(ClO ₄) ₂ · 6 H ₂ O	331,298	52022	MnCO ₃	04090
Mg(HCO ₃) ₂	146,340	16536	Mn(C ₂ H ₃ O ₂) ₄	21700
MgNH ₄ AsO ₄			· 4 H ₂ O	114,9473
· H ₂ O	289,355	46143	MnCl ₂	06050
(MgNH ₄ AsO ₄) ₂ · 6 H ₂ O	380,541	58040	MnCl ₂ · 4 H ₂ O	38932
MgNH ₄ PO ₄ · H ₂ O	155,330	19125	Mn(ClO ₄) ₂ · 6 H ₂ O	09983
MgNH ₄ PO ₄			Mn(NH ₄)PO ₄ · H ₂ O	29646
· 6 H ₂ O	245,407	38988	Mn(NO ₃) ₂ · 6 H ₂ O	55863
Mg(NO ₃) ₂ · 6 H ₂ O	256,407	40893	MnO ₃	26943
MgO	40,304	60535	MnO ₄	45794
1/2 MgO	20,1522	30433	MnO ₂	85087
2 MgO	80,609	90638	1/2 MnO ₂	93920
3 MgO	120,913	08248	MnSO ₄	63817
			MnSO ₄ · 4 H ₂ O	01257
			MnSO ₄ · 5 H ₂ O	102,9362
				118,9356
				07531
				93953
				87,002
				151,000
				17898
				34842
				38216

Tabuľka 4

Atomové a molekulové hmoty sloučenin a skupín

Atomové a molekulové hmoty sloučenin a skupin

Tabuľka 4

	Hmota	log	Hmota	log	Hmota	log	Hmota	log
Mn ₂ O ₇	221,8718	34610	NH ₃	17,0306	23123	NH ₄ VO ₃	116,979	06811
Mn ₂ P ₂ O ₇	283,8194	45304	2 NH ₃	34,0612	53226	(NH ₄) ₂ CO ₃	96,0865	98266
Mn ₃ O ₄	228,8116	35948	3 NH ₃	51,0918	70835	(NH ₄) ₂ C ₂ O ₄ · H ₂ O	142,1124	16263
Mn ₃ (PO ₄) ₂ · 7 H ₂ O	480,8642	68202	4 NH ₃	68,1224	83320	(NH ₄) ₂ Ce(NO ₃) ₆	548,23	73896
Mo	95,94	98200	5 NH ₃	85,1530	93020	(NH ₄) ₂ CrO ₄	152,071	18205
2 Mo	191,88	28303	6 NH ₃	102,1837	00938	(NH ₄) ₂ Cr ₂ O ₇	252,065	40151
MoO ₂	127,94	10701	NH ₄	18,0386	25621	(NH ₄) ₂ Fe(SO ₄) ₂	· 6 H ₂ O	N ₂ H ₄ · 2 HCl
MoO ₃	143,94	15818	2 NH ₄	36,0772	55724	(NH ₄) ₂ HPO ₄	392,139	59344
2 MoO ₃	287,88	45921	3 NH ₄	54,1157	73333	(NH ₄) ₂ Ni(SO ₄) ₂	132,0565	12076
MoO ₄	159,94	20396	12 H ₂ O	453,327	65641	· 6 H ₂ O	395,00	59660
MoS ₂	160,07	20431	NH ₄ BF ₄	104,843	02054	(NH ₄) ₂ PtCl ₆	443,88	64727
MoS ₃	192,13	28360	NH ₄ Br	97,943	99097	(NH ₄) ₂ S	68,141	83341
N	14,0067	14634	NH ₄ C ₂ H ₃ O ₂	77,0836	88696	(NH ₄) ₂ SO ₃	116,139	06498
2 N	28,0134	44736	NH ₄ ClO ₄	53,492	72829	(NH ₄) ₂ SO ₄	132,139	12103
3 N	42,0201	62346	NH ₄ Fe(SO ₄) ₂	117,489	07000	(NH ₄) ₂ S ₂ O ₃	148,203	17086
4 N	56,0268	74339	· 12 H ₂ O	482,193	68322	(NH ₄) ₂ SnCl ₆	367,49	56525
5 N	70,0335	84330	NH ₄ HSO ₄	115,108	06111	(NH ₄) ₂ Zn(SO ₄) ₂	2 Na ₂ O	2 Na ₂ O
6 N	84,0402	92249	NH ₄ H ₂ PO ₄	115,0259	06080	· 6 H ₂ O	401,66	60386
5,55 N (želat.)	77,737	89062	NH ₄ J	144,9430	16120	(NH ₄) ₃ PO ₄	NaAlSi ₃ O ₈	NaAlSi ₃ O ₈
6,25 N (blik.)	87,542	94222	NH ₄ MgAsO ₄	12 M ₂ O ₃	1876,35	27331	N ₂ AsO ₂	129,9102
6,37 N (kasein)	89,223	95047	· 6 H ₂ O	289,355	46143	(NH ₄) ₂ Ce(SO ₄) ₄	36154	22,9898
NH	15,0147	17652	(NH ₄ MgAsO ₄) ₂	137,315	13772	(NH ₄) ₂ SnCl ₆	36154	45,9796
NH ₂	16,0226	20473	· H ₂ O	380,541	58040	· 4 H ₂ O	1235,86	17867
2 NH ₂	32,0453	50576	NH ₄ MgPO ₄	187,315	13772	NO	30,0061	101,830
3 NH ₂	48,0679	68185	NH ₄ MgPO ₄ · 6 H ₂ O	245,407	38988	· 2 H ₂ O	47721	153,860
NH ₂ OH	33,0300	51891	NH ₄ MnPO ₄ · H ₂ O	185,9633	26943	NO ₂	46,0055	18713
NH ₂ OH · HCl	69,491	84193	NH ₄ NO ₃	80,0435	90333	2 NO ₂	92,0110	102,894
(NH ₂ OH) ₂			NH ₄ NaHPO ₄			3 NO ₂	09197	150,892
· H ₂ SO ₄	164,138	21521	· 4 H ₂ O			4 NO ₂	47721	68,0077
NH ₂ SO ₃ H	97,093	98718	NH ₄ OH	35,0459		5 NO ₂	66281	49,0076
			NH ₄ SCN	76,120		6 NO ₂	96384	69,026
							NaC ₂ H ₃ O ₂ · 3 H ₂ O	91400
							NaC ₂ H ₃ O ₂	13380
							NaC ₂ H ₅ O ₂	144,1065
							(benzoan)	15868
							36178	160,1059
							(salicylan)	20441

Tabulka 4

Atomové a molekulové hmoty sloučenin a skupin

Atomové a molekulové hmoty sloučenin a skupin

Tabulka 4

Hmota	log	Hmota	log	Hmota	log	Hmota	log		
NaCl	58,443	76673	NaZn(UO ₂) ₃ · (C ₂ H ₃ O ₂) ₉ · 6 H ₂ O	18694	Na ₂ H ₂ C ₁₀ H ₁₂ O ₈ N ₂ · 2 H ₂ O · (chelaton 3) ¹⁾	57083	Na ₃ AlF ₆ ·	209,9413	32210
NaClO	74,442	87182	NaAl ₂ H ₄ (SiO ₄) ₃ · Na ₂ B ₄ O ₇ · 2 H ₂ O ·	58004	Na ₂ H ₂ P ₂ O ₇ ·	372,2420	Na ₂ C ₆ H ₅ O ₇ · 2 H ₂ O (citran) ·	294,1026	46850
NaClO ₃	106,441	02711	Na ₂ B ₄ O ₇ ·	380,225	Na ₂ Fe(CN) ₅ NO ·	·	Na ₃ Co(NO ₂) ₆ ·	403,9356	60631
NaClO ₄	122,440	08792	Na ₂ MgCl ₁₀ H ₁₂ O ₈ N ₂ · 6 H ₂ O ·	30367	Na ₂ PO ₄ ·	51855	Na ₃ PO ₄ ·	163,9408	21469
NaClO ₄ · H ₂ O	140,456	14754	Na ₂ Na ₂ B ₄ O ₇ · 1/2 Na ₂ B ₄ O ₇ · 10 H ₂ O ·	100,6997	Na ₂ PO ₄ · 12 H ₂ O ·	51855	Na ₃ PO ₄ · 12 H ₂ O ·	380,1249	57993
NaF	41,9882	62213	Na ₂ Na ₂ B ₄ O ₇ · 4 H ₂ O; (Mg, Na- · -sil chelatonu 2) ¹⁾	00264	Na ₂ SbS ₄ · 9 H ₂ O ·	63403	Na ₃ Fe(CN) ₆ ·	481,11	68225
2 NaF	83,9764	92416	Na ₂ Na ₂ B ₄ O ₇ · 10 H ₂ O ·	381,373	Na ₂ MoO ₄ · 2 H ₂ O ·	241,95	Na ₂ MoO ₄ · 2 H ₂ O ·	241,95	68491
3 NaF	125,9646	10025	1/2 Na ₂ B ₄ O ₇ · 10 H ₂ O ·	190,6804	Na ₂ O ·	61,9790	Na ₄ P ₂ O ₇ ·	265,9026	42472
NaHCO ₃	84,0071	92432	1/4 Na ₂ B ₄ O ₇ · 10 H ₂ O ·	28032	1/2 Na ₂ O ·	30,9895	Na ₄ P ₂ O ₇ · 10 H ₂ O ·	446,0560	64939
NaHSO ₃	104,060	01728	·	·	2 Na ₂ O ·	123,9580	Na ₄ [UO ₂ (CO ₃) ₃] ·	542,02	73402
NaHSO ₄	120,059	07939	·	·	3 Na ₂ O ·	185,9370	26336		
NaH ₂ PO ₂	87,9783	94437	Na ₂ CO ₃ ·	105,9889	Na ₂ O ₂ ·	77,9784	92,906	92,906	96804
NaH ₂ PO ₂ · H ₂ O	105,9937	02528	1/2 Na ₂ CO ₃ ·	52,99447	Na ₂ S ·	78,0436	Na ₂ O ·	185,812	26908
NaH ₂ PO ₄	119,9771	07910	Na ₂ CO ₃ · H ₂ O ·	124,0043	Na ₂ S · 9 H ₂ O ·	240,1817	2 NB ·	265,809	42457
NaH ₂ PO ₄ · 2 H ₂ O	156,0078	19314	Na ₂ CO ₃ · 2 H ₂ O ·	142,0196	Na ₂ SO ₃ ·	126,042	10052		
NaJ	149,8942	17578	Na ₂ CO ₃ · 10 H ₂ O ·	286,1423	Na ₂ SO ₃ · 7 H ₂ O ·	252,149	40166		
NaJO ₃	197,8924	29643	1/2 Na ₂ CO ₃ ·	143,07117	Na ₂ SO ₄ ·	142,041	15241		
NaJO ₄ · 3 H ₂ O	267,9378	42803	10 H ₂ O ·	133,9995	Na ₂ SO ₄ · 10 H ₂ O ·	322,195	50812		
NaKCO ₃	122,1011	08672	Na ₂ CaO ₄ ·	66,99975	Na ₂ S ₂ O ₃ · 5 H ₂ O ·	248,183	39477		
NaKCO ₃ · 6 H ₂ O	230,1931	36210	1/2 Na ₃ CaO ₄ ·	82607	Na ₂ S ₂ O ₄ ·	174,105	2 ND ·		
NaMg(UO ₂) ₃ · (C ₂ H ₃ O ₂) ₉ · 6 H ₂ O	1496,88	17519	Na ₂ CaH ₄ O ₆ · 2 H ₂ O (vhnan) ·	36189	Na ₂ S ₂ O ₅ ·	190,105	24081		
·	·	·	Na ₂ CrO ₄ · 10 H ₂ O ·	53418	Na ₂ Se ·	124,94	Nd ₂ O ₃ ·	336,48	52696
·	·	·	Na ₂ Cr ₂ O ₇ · 2 H ₂ O ·	297,998	Na ₂ SeO ₃ ·	172,94	09670		
NaNH ₄ HPO ₄ · 4 H ₂ O	209,0691	32029	1/6 Na ₃ Cr ₂ O ₇ ·	47422	Na ₂ SeO ₄ · 10 H ₂ O ·	369,09	23789		
NaNO ₂	68,9953	83882	2 H ₂ O ·	49,6663	Na ₂ SiF ₆ ·	188,056	2 Ni ·	117,42	6974
NaNO ₃	84,9947	92939	Na ₂ Fe(CN) ₅ NO ·	297,953	Na ₂ SiO ₃ ·	122,064	Na ₂ (C ₂ H ₃ O ₂) ₂ ·	176,80	24748
Na ₃ N ₃	65,0099	81298	· 2 H ₂ O ·	47415	Na ₂ SnO ₃ · 3 H ₂ O ·	266,71	Na ₂ (C ₄ H ₇ O ₂) ₂ ·	288,94	46081
NaOH	39,9972	60203	Na ₂ HAo ₄ · 12 H ₂ O ·	60432	Na ₂ TeO ₃ ·	221,58	NaCl _n · 6 H ₂ O ·	237,71	37605
2 NaOH	79,9943	90306	Na ₂ HPO ₄ ·	141,9590	Na ₂ U ₂ O ₇ ·	634,04	Na(ClO ₄) ₂ · 6 H ₂ O ·	365,70	56312
NaPO ₃	101,9618	00844	Na ₂ HPO ₄ · 2 H ₂ O ·	177,9896	Na ₂ WO ₄ · 2 H ₂ O ·	329,86	Na ₂ (NO ₃) ₂ · 6 H ₂ O ·	290,81	46360
NaReO ₄	43648	55406	Na ₂ HPO ₄ · 12 H ₂ O ·	358,1430	Na ₂ ZnC ₁₀ H ₁₂ O ₈ N ₂ ·	51833	Na ₂ O ·	74,71	87338
NaSCN	81,072	90887	· 4 H ₂ O; (Zn, Na- · -sil chelatonu 2) ¹⁾	471,63	NaPy ₄ (SCN) ₂ ·	67360	NaPy ₄ (SCN) ₂ ·	491,28	69133
NaSO ₃ viz SO ₃ Na ₃	121,930	08611							

2) Py = pyridin

1) Chemický název viz Vysvětlivky k této tabulce

Tabuľka 4

Atomové a molekulové hmoty sloučenin a skupín

Atomové a molekulové hmoty sloučenin a skupin

Tabuľka 4

	Hmotá	log	Hmotá	log	Hmotá	log	Hmotá	log
NiSO ₄	154,77	18969	PO ₂	62,9726	79915	239,25	37885	Rb
NiSO ₄ · 7 H ₂ O	280,88	44852	PO ₃	78,9720	89747	45826	2 Rb	85,47
Ni ₂ P ₂ O ₇	291,36	46443	PO ₄	94,9714	97760	48180	RbCl	170,94
O ²⁻	15,9994	20410	2 PO ₄	189,9728	27862	79814	Rb ₂ CO ₃	230,95
O ²⁻	31,9988	50513	3 PO ₄	284,9142	45471	83605	Rb ₂ SO ₄	267,00
OCH ₃	47,9982	68122	P ₂ O ₃	109,9458	04118	90929	Rb ₂ Sif ₆	313,02
OC ₂ H ₅	63,9976	80616	P ₂ O ₅	141,9246	15212			49557
OH	79,9970	90307	2 P ₂ O ₅	70,9723	85109			
OH	95,9964	98226	2 P ₂ O ₅ · 24 MoO ₃	283,8392	45315			
OH	31,0345	49184	P ₂ O ₇	35965,46	55587			
OH	45,0615	65380	P ₂ S ₆	173,9434	24041			
Pb	34,0147	53167	Pb	207,19	31637			
Pb	51,0221	70776	1/2 Pb	103,595	01534			
Pb	68,0295	83270	2 Pb	414,38	61740			
Pb	85,0368	92960	3 Pb	621,57	79349			
Pb	102,0442	00879	PbCO ₃	267,20	42684			
Pb	190,2	27921	Pb(OH) ₂	775,61	88964			
Os ²⁺	380,4	58024	Pb(C ₂ H ₃ O ₂) ₂	379,33	57902			
OsO ₄	254,2	40518	· 3 H ₂ O	443,37	64677			
OsS ₂	254,3	40535	Pb(C ₂ H ₅ O ₂) ₄	323,44	50979			
P	30,9738	49099	Pb(C ₁₂ H ₁₀ ONS) ₂	639,76	80602			
P	61,9476	79202	(thionat.)					
2 P	92,9214	96812	PbClF	261,64	41770			
3 P			PbCl ₂	278,10	44420			
PBr ₃	270,686	43247	Pb(ClO ₄) ₂ · 3 H ₂ O	460,14	66289			
PCl ₃	137,333	13777	PbCrO ₄	323,18	50944			
PCl ₅	208,239	31856	PbMoO ₄	367,13	56482			
POCl ₃	153,332	18563	Pb(NO ₃) ₂	331,20	52009			

	Hmotá	log	Hmotá	log	Hmotá	log	Hmotá	log
Pd	106,4	02694	Re	212,8	32797	2 Re	3274,4	186,2
Pd	212,8	52711	ReO ₄	158,4	19976	2 Rh	205,810	106,4
Pd(C ₄ H ₇ O ₂ N ₂) ₂	336,6	32899	Rh	158,4	19976	2 Rh	102,905	102,905
(diacetylidioxim.)			Pd	360,2	55654	RhCl ₃ · 4 H ₂ O	281,325	102,905
PdCl ₂ · 2 H ₂ O	213,3		PdJ ₂	122,4	08778	Rh ₂ O ₃	253,808	31347
Pd(CN) ₂			PdO	138,5	14145	Rh ₄ (SO ₄) ₃ · 12 H ₂ O	710,179	44921
PdJ ₂			PdS		75587	RuO ₂	133,07	40450
Pd			Pt		51827	RuS ₂	165,20	85137
					59127	S	101,07	01244
					76736	2 S	202,14	30664
					52750	3 S	64,128	80705
					336,90		96,192	93314
					407,81		128,256	10803
					41366		160,320	20498
					6 S		192,384	28417

Tabuľka 4

Atomové a molekulové hmoty sloučenin a skupín

Atomové a molekulové hmoty sloučenin a skupin

Tabuľka 4

	Hmotá	log	Hmotá	log	Hmotá	log	Hmotá	log
SCN	58,082	76404	Sb	.	121,75	08547	Si	.
2 SCN	116,164	06507	$\frac{1}{2}$ Sb	.	60,875	78443	Si	.
3 SCN	174,246	24116	2 Sb	.	243,50	38650	2 Si	.
4 SCN	232,327	36610	3 Sb	.	365,25	56259	3 Si	.
SH	.	290,409	SbCl ₃	.	228,11	35815	SiCl ₄	.
6 SCN	348,491	54219	SbCl ₅	.	299,01	47568	SiF ₄	.
2 SH	.	33,072	SbOCl	.	173,20	23855	SiF ₆	.
2 SH	.	66,144	Sb ₂ S ₃	.	217,94	33834	SiO ₂	.
3 SH	.	99,216	Sb ₂ S ₄	.	250,01	39796	2 SiO ₂	.
SOCl ₂	.	118,989	Sb ₂ O ₃	.	291,50	46464	SiO ₃	.
SO ₂	.	64,063	Sb ₂ O ₄	.	307,50	48785	2 SiO ₃	.
2 SO ₂	.	128,126	Sb ₂ O ₅	.	323,50	50987	3 SiO ₃	.
3 SO ₂	.	192,188	Sb ₂ S ₃	.	339,69	53109	SiO ₄	.
SO ₃	.	80,062	Sb ₂ S ₅	.	403,82	60619	2 SiO ₄	.
$\frac{1}{2}$ SO ₃	.	40,0311	60240	.			3 SiO ₄	.
2 SO ₃	.	160,1124	20445				Si ₂ O ₇	.
3 SO ₃	.	240,187	38055				2 Si ₂ O ₇	.
SO ₃ Ba _{1/2}	.	148,73	17240				3 Si ₂ O ₇	.
2 SO ₃ Ba _{1/2}	.	297,46	47343				Sc	.
SO ₄ H	.	81,070	90886				2 Sc	.
2 SO ₃ H	.	162,140	20989				SeCl ₃	.
3 SO ₃ H	.	243,211	38598				Se(NO ₃) ₃	.
SO ₃ Na	.	103,052	01306				Se(OH) ₃	.
2 SO ₃ Na	.	206,104	31409				Sc ₂ O ₃	.
3 SO ₃ Na	.	309,156	49018				Sc ₂ (SO ₄) ₃ · 6 H ₂ O	.
SO ₄	.	96,062	98255				2 Ta	.
2 SO ₄	.	192,123	28358				Ta ₄ O ₅	.
3 SO ₄	.	288,186	45967				Ta	.
S ₂ Cl ₂	.	135,034	13046				Te	.
S ₂ O ₃	.	112,126	04971				TaCl ₄	.
S ₂ O ₇	.	176,124	24582				TeO ₂	.
S ₂ O ₈	.	192,123	28358				TeO ₃	.
S ₄ O ₆	.	224,252	35074				Sn	.

	Hmotá	log	Hmotá	log	Hmotá	log	Hmotá	log
Si	.		28,086		44849		SnCl ₄	.
2 Si	.		56,172		74952		SnO	.
3 Si	.		84,258		92561		SnO ₂	.
SiCl ₄	.		169,898		23018		SnO ₃	.
SiF ₄	.		104,080		01737			
SiF ₆	.		142,076		15252			
SiO ₂	.		60,085					
2 SiO ₂	.		120,170		07979		Sr	.
3 SiO ₂	.		180,254		25588		$\frac{1}{2}$ Sr	.
SiO ₃	.		76,084		88129		2 Sr	.
2 SiO ₃	.		152,168		18232		SiCO ₃	.
3 SiO ₃	.		228,253		35842		SiC ₂ O ₄ · H ₂ O	.
SiO ₄	.		92,084		96419		SiCl ₂	.
2 SiO ₄	.		184,167		26521		SiCl ₂ · 6 H ₂ O	.
3 SiO ₄	.		276,251		44130		Si(ClO ₄) ₂ · 6 H ₂ O	.
Si ₂ O ₇	.		168,168		22574		Si(NO ₃) ₂	.
2 Si ₂ O ₇	.		336,336		52678		Si(NO ₃) ₂ · 4 H ₂ O	.
3 Si ₂ O ₇	.		504,503		70286		SiO	.
2 (OH) ₂	.		504,503				103,62	.
2 (OH) ₂	.		504,503				103,62	.
2 (OH) ₂	.		504,503				265,76	.
2 (OH) ₂	.		504,503				265,76	.
2 (OH) ₂	.		504,503				167,68	.
2 (OH) ₂	.		504,503				167,68	.
2 (OH) ₂	.		504,503				183,68	.
2 (OH) ₂	.		504,503				183,68	.
Sm	.		150,35		17710			
2 Sm	.		300,70		47813			
SmCl ₃	.		256,71		40945			
SmCl ₃ · 6 H ₂ O	.		364,80		56205		Ta	.
Sm ₂ O ₃	.		348,70		54245		2 Ta	.
Sm ₂ (SO ₄) ₃ · 8 H ₂ O	.		733,01		86511		Ta ₄ O ₅	.
Sn	.		118,69		07441			
$\frac{1}{2}$ Sn	.		59,345		77338			
2 Sn	.		237,38		37544			
3 Sn	.		356,07		55153			
SnCl ₂	.		189,60		27784			
SnCl ₂ · 2 H ₂ O	.		225,63		35340			

Tabuľka 4

Atomové a molekulové hmoty sloučenin a skupín

Atomové a molekulové hmoty sloučenin a skupin

Tabuľka 4

	Hmota	log	Hmota	log	
Th	232,038	36556	U	..	238,03
Th(C ₉ H ₈ ON) ₄			2 U	..	37663
(C ₉ H ₈ ON)	953,817	97947	3 U	..	67766
(hydroxychinol.)			UO ₂	..	714,09
Th(ClO ₄) ₄	629,840	79923	UO ₂ (C ₉ H ₈ O ₂) ₄		85375
Th(NO ₃) ₄ · 4 H ₂ O	552,119	74233	· 2 H ₂ O	..	43141
Th(NO ₃) ₄ · 12 H ₂ O	696,242	84276	UO ₂ (C ₉ H ₈ ON) ₂		270,03
ThO ₂			(C ₉ H ₈ ON)		
	264,037	42166	UO ₂ (ClO ₄) ₂	..	703,50
			(hydroxychinol.)		
Ti	47,90	68034	UO ₂ Mg(C ₂ H ₃ O ₂) ₄		84726
	95,80	98137	UO ₂ NH ₄ (C ₂ H ₃ O ₂) ₃		67111
TiCl ₄	189,71	27809	· 3 H ₂ O	..	72470
TiO(C ₉ H ₈ ON) ₃	352,21	54680	UO ₄ (NO ₃) ₃ · 6 H ₂ O		88,905
(hydroxychinol.)			602,13		
TiO ₂	79,90	90235	UO ₂ SO ₄ · 3 H ₂ O		71537
Ti ₂ P ₂ O ₉	301,74	47964	(UO ₂) ₂ P ₂ O ₇		70082
			(UO ₂) ₂ Zn(C ₂ H ₃ O ₂) ₆		62339
Tl	204,37	31042	· 7 H ₂ O	..	81157
TlC ₂ H ₃ O ₂	408,74	61144	U ₂ O ₇	..	76942
TlO ₂ H ₁₀ ONS	263,42	42065	U ₃ O ₈	..	92535
(thionial.)				..	842,09
TlCl		239,82			
TlCO ₄		303,82			
Tl(ClO ₄) ₃		502,72			
TlJ		331,27			
TlNO ₃		266,37			
Tl ₂ CO ₃		468,75			
Tl ₂ CrO ₄		524,73			
Tl ₂ O ₃		456,74			
Tl ₂ SO ₄		504,80			

	Hmota	log	Hmota	log	
W			W	..	183,85
			2 W	..	367,70
WO ₂			WO ₃	..	215,85
WO ₂ (C ₉ H ₈ ON) ₂			(hydroxychinol.)		504,16
ZnCl ₂			WO ₃	..	70257
Zn(ClO ₄) ₂ · 6 H ₂ O			ZnF ₂ · 4 H ₂ O	..	33415
ZnFe ₂ O ₄			ZnFe ₂ O ₄	..	241,06
ZnHg(SCN) ₄			ZnHg(SCN) ₄	..	26446
ZnI ₂			ZnI ₂	..	65649
ZnNH ₄ PO ₄			ZnNH ₄ PO ₄	..	36520
Zn(NO ₃) ₂ · 3 H ₂ O			Zn(NO ₃) ₂	..	39442
ZnO			ZnO	..	44722
ZnP ₂ (SCN) ₂ ¹⁾			ZnP ₂ (SCN) ₂ ¹⁾	..	297,47
ZnS			ZnS	..	47344
ZnSO ₄			ZnSO ₄	..	50403
ZnSO ₄ · 7 H ₂ O			ZnSO ₄ · 7 H ₂ O	..	319,18
Zn ₂ P ₂ O ₇			Zn ₂ P ₂ O ₇	..	178,38
Zn ₃ (PO ₄) ₂ · 4 H ₂ O			Zn ₃ (PO ₄) ₂ · 4 H ₂ O	..	243,43
ZnS			ZnS	..	38637
Zn			Zn	..	81,37
Zr			Zr	..	91046
Zr(C ₉ H ₈ ON) ₄			Zr(C ₉ H ₈ ON) ₄	..	53115
Zr(hydroxychinol.)			Zr(hydroxychinol.)	..	98869
Zr(hydroxychinol.)			Zr(hydroxychinol.)	..	97,43
Zr(hydroxychinol.)			Zr(hydroxychinol.)	..	161,43
Zr(hydroxychinol.)			Zr(hydroxychinol.)	..	20798
Zr(hydroxychinol.)			Zr(hydroxychinol.)	..	45870
Zr(hydroxychinol.)			Zr(hydroxychinol.)	..	48384
Zr(hydroxychinol.)			Zr(hydroxychinol.)	..	66097
Zr(hydroxychinol.)			Zr(hydroxychinol.)	..	458,11
Zr(hydroxychinol.)			Zr(hydroxychinol.)	..	91,22
Zr(hydroxychinol.)			Zr(hydroxychinol.)	..	667,84
Zr(hydroxychinol.)			Zr(hydroxychinol.)	..	96069
Zr(hydroxychinol.)			Zr(hydroxychinol.)	..	82467
Zr(hydroxychinol.)			Zr(hydroxychinol.)	..	36741
Zr(hydroxychinol.)			Zr(hydroxychinol.)	..	22327
Zr(hydroxychinol.)			Zr(hydroxychinol.)	..	53051
Zr(hydroxychinol.)			Zr(hydroxychinol.)	..	50819
Zr(hydroxychinol.)			Zr(hydroxychinol.)	..	48589
Zr(hydroxychinol.)			Zr(hydroxychinol.)	..	09068
Zr(hydroxychinol.)			Zr(hydroxychinol.)	..	42351
Zr(hydroxychinol.)			Zr(hydroxychinol.)	..	55072
Zr(hydroxychinol.)			Zr(hydroxychinol.)	..	355,40
Zr(hydroxychinol.)			Zr(hydroxychinol.)	..	27743
Zr(hydroxychinol.)			Zr(hydroxychinol.)	..	54861

¹⁾ Py = pyridin

Tabuľka 5

Násobky atomových a molekulových hmot

Násobky atomových a molekulových hmot a molekulových hmot

C ₁ až C ₃₅	log	H ₁ až H ₄₅	log	O ₁ až O ₅₅	log
1	12,01115	07958	1	1,00797	00345
2	24,02230	38061	2	2,01594	30448
3	36,03345	55670	3	3,02391	48057
4	48,04460	68164	4	4,03188	60551
5	60,05675	77856	5	5,03985	70242
6	72,06690	85773	6	6,04782	78160
7	84,07805	92468	7	7,05579	84855
8	96,08920	98268	8	8,06376	90654
9	108,10035	03383	9	9,07173	95769
10	120,11115	07958	10	10,0797	00345
11	132,12226	12097	11	11,0877	04484
12	144,1338	15876	12	12,0956	08263
13	156,1450	19353	13	13,1036	11739
14	168,1561	22572	14	14,1116	14958
15	180,1672	25567	15	15,1196	17954
16	192,1784	28370	16	16,1275	20756
17	204,1896	31004	17	17,1355	23390
18	216,2007	33486	18	18,1436	25872
19	228,2118	35834	19	19,1514	28220
20	240,2230	38061	20	20,1594	30448
21	252,2342	40181	21	21,1674	32567
22	264,2453	42201	22	22,1753	34587
23	276,2564	44131	23	23,1833	36517
24	288,2676	45979	24	24,1913	38366
25	300,2788	47753	25	25,1992	40139
26	312,2899	49456	26	26,2072	41842
27	324,3010	51095	27	27,2152	43481
28	336,3122	52675	28	28,2232	45061
29	348,3234	54198	29	29,2311	46585
30	360,3345	55670	30	30,2391	48057
31	372,3456	57094	31	31,2471	49481
32	384,3568	58473	32	32,2550	50859
33	396,3680	59809	33	33,2630	52196
34	408,3791	61107	34	34,2710	53492
35	420,3902	62365	35	35,2790	54752

Násobky atomových a molekulových hmot a molekulových hmot

N ₁ až N ₁₈	log	C ₁ až Cl ₁₁	log	1 H ₂ O až 20 H ₂ O	log
1	14,0067	14634	1	35,453	54966
2	28,0134	44736	2	70,906	85069
3	42,0201	62346	3	106,359	02677
4	56,0268	74839	4	141,812	15172
5	70,0335	84530	5	177,265	24862
6	84,0402	92449	6	212,718	32781
7	98,0469	99143	7	248,171	39475
8	112,0536	04943	8	283,624	45275
9	126,0603	10058	9	319,077	50390
10	140,067	14634	10	354,53	54966
11	154,074	18773	11	389,98	59104
12	168,080	22552	12	434,199	74766
13	182,087	26028	13	239,712	37969
14	196,094	29247	14	50463	90257
15	210,100	32243	15	599,520	20360
16	224,107	35045	16	79,904	159,808
17	238,114	37678	17	319,616	37969
18	252,121	40161	18	40154	50463
19	252,121	40161	19	399,520	60154
20	319,988	50513	20	479,424	68072
21	32,064	50602	21	559,328	80566
22	64,128	80705	22	639,232	855681
23	96,192	98314	23	719,136	9
24	128,256	10808	24	120,170	1
25	160,320	20498	25	180,254	3
26	192,384	28417	26	18,9984	27871
27	224,448	35112	27	37,9968	57974
28	256,512	40911	28	56,9952	57584
29	288,576	46026	29	75,9936	88078
30	320,64	50602	30	94,9920	97769
31	352,70	54741	31	113,9904	05686
32	384,77	58520	32	132,9888	12381
33	416,83	61996	33	151,9872	18180
34	448,90	65215	34	170,9856	23296
35	480,96	68211	35	189,984	27871
36	512,03	71212	36	208,982	32011

Nejběžnější miligramekvivalenty

A. Alkalimetrie

Odměrný roztok: NaOH, KOH, Ba(OH) ₂	0,1N	0,2N
1 ml odměrného roztoku odpovídá mg těžinné látky (složky)		
Učinná látka (složka)	mg	log
B ³⁺	1,0811	0,3387
(1/2) B ₂ O ₃ ³⁻	3,4810	54170
HBr	8,0912	90801
H · CHO ₂	4,60259	66300
H · C ₂ H ₃ O ₂	6,00530	77833
HCl	3,6461	56183
HClO ₄	10,0459	00199
HJ	12,79124	10691
HNO ₃	6,30129	79943
(1/2) H ₂ C ₂ O ₄	4,50179	65539
(1/2) H ₂ C ₂ O ₄ · 2 H ₂ O	6,303326	79357
(1/2) H ₂ · C ₄ H ₄ O ₄	5,90450	77118
(jantarová kys.)		
H ₂ SO ₃ ²⁻	8,2078	91423
(1/2) H ₂ SO ₄	4,90388	69054
H ₃ BO ₃ ³⁻	6,1833	79122
H ₃ PO ₄ ²⁻	9,79953	99121
(1/2) H ₃ PO ₄ ¹⁻	4,89976	69018
(1/3) KH ₃ (C ₂ O ₄) ₂ · 2 H ₂ O	8,47321	92805
KHC ₄ H ₄ O ₆ ¹⁻	18,8183	27458
(vinan, prim.)		
KHC ₈ H ₄ O ₄	20,4229	31012
(falan, prim.)		
KH(JO ₃) ₂	38,9915	59097
NH ₂ SO ₃ H	9,7093	98718
N ₂ H ₄ · 2 HCl ²⁻	10,4967	02105
N ₂ H ₄ · H ₂ SO ₄ ²⁻	13,0123	11436

¹⁾ Na fenolftalein²⁾ Na methyloranž³⁾ Za přítomnosti mannuitu⁴⁾ Na methyloranž

Nejběžnější miligramekvivalenty

A. Alkalimetrie

Odměrný roztok: NaOH, KOH, Ba(OH) ₂	0,1N	0,2N
1 ml odměrného roztoku odpovídá mg účinné látky (složky)		
Učinná látka (složka)	mg	log
NaHSO ₄	12,00059	0,7939
(1/4) Na ₂ B ₄ O ₇ · 10 H ₂ O ³⁾	9,53132	97929
PO ₃ ²⁻ ²)	9,49714	97760
(1/2) PO ₄ ³⁻ ¹)	4,74857	67656
(1/2) P ₄ O ₅ ²)	7,09723	85109
(1/4) P ₂ O ₅ ¹)	3,51861	55006
(1/2) SO ₃ ²⁻	4,00311	60240
(1/2) SO ₄ ²⁻	4,80308	68152

Organická analýza — alkalimetrie

Odměrný roztok: NaOH, KOH, Ba(OH) ₂	0,1N	0,2N
1 ml odměrného roztoku odpovídá mg účinné látky (složky)		
Učinná látka (složka)	mg	log
—CH ₃ ⁴⁾ (KUHN—ROTH)		
CH ₃ COOH		
> CO (WANKA—JUREČEK—HOLÁNEK)	0,60140	77916
—COCH ₃ ² (KUHN—HOLÁNEK)	2,40212	38059
—COC ₆ H ₅ ¹ —ROTH)		
—COOH		
—OH (VERLEY—BÖLSING)		

¹⁾ Titrací uvolněné kyseliny boritě²⁾ Skupina vázaná na uhlič³⁾ Na methylofalein

Nejběžnější miligramekvivalenty

B. Acidimetry

Odměrný roztok: HCl, HNO ₃ , H ₂ SO ₄	Učinná látka (složka)	mg	log	mg	log
		0,1N	0,2N		
1 ml odměrného roztoku odpovídá mg učinné látky (složky)					
(1/2) Ba(OH) ₂	...	8,5677	93286	17,135	23388
(1/2) Ba(OH) ₂ · 8 H ₂ O	...	15,7739	19794	31,548	49897
(1/2) CO ₃ ²⁻	...	2,200497	34252	4,40100	64355
(1/2) CaCO ₃	...	5,0045	69936	10,009	00039
(1/2) CaO	...	2,8040	44778	5,608	74881
(1/2) Ca(OH) ₂	...	3,7047	56875	7,409	86976
KHCO ₃	...	10,0119	00051	20,0238	30154
KOH	...	5,6109	74903	11,2219	05006
(1/2) K ₂ CO ₃ ¹⁾	...	6,91067	83952	13,8213	14055
(1/2) Li ₂ CO ₃	...	3,69436	56754	7,3887	86857
(1/2) MgCO ₃	...	4,2157	62487	8,4314	92590
(1/2) MgO	...	2,01522	30433	4,0304	60335
N	...	1,40067	14634	2,80134	44736
5,55 N (zelat.)	...	7,7737	89062	15,5474	19166
6,25 N (bílk.)	...	8,7542	94222	17,5084	24325
6,37 N (kasein)	...	8,9223	95047	17,8446	25150
NH ₃	...	1,71306	23123	3,40612	53226
NH ₄ ⁺	...	1,80386	25621	3,60772	55724
NH ₄ Cl	...	5,3492	72829	10,6983	02931
NH ₄ NO ₃	...	8,00435	90333	16,00870	20435
NH ₄ OH	...	3,50459	54464	7,00919	84567
(1/2) (NH ₄) ₂ SO ₄	...	6,60694	82000	13,2139	12103

¹¹) Na methyloranž

1) Na methyloranž
2) Na methylvýkrové

Nejběžnější miligramekvivalenty

B. Acidimetrie

Nejběžnější miligramekvivalenty

C. Oxidimetrie

Odměrný roztok: KMnO ₄ , Ce(SO ₄) ₂ , KBrO ₃ , K ₂ Cr ₂ O ₇	0,1N	0,1N
1 ml odměrného roztoku odpovídá mg účinné látky (složky)		
Účinná látka (složka)	mg	log
(1/2) As	3,74608	57358
(1/2) Ca	2,004	30190
(1/2) CaCO ₃	5,0045	69936
(1/2) CaO	2,8040	44778
CeO ₂	17,212	23583
Ce(SO ₄) ₂ · 4 H ₂ O	40,430	60670
(1/3) Cr	1,7332	23885
(1/3) CrO ₄ ²⁻	3,86645	58731
(1/6) Cr ₂ O ₃	2,53317	40367
Cu ¹)	6,3546	80309
Fe	5,5847	74700
Fe(CN) ₆	21,1954	32624
FeO	7,1846	85641
FeSO ₄ · 7 H ₂ O	27,8016	44406
(1/2) Fe ₂ O ₃	7,98461	90225
(1/2) Fe ₂ (SO ₄) ₃ · 9 H ₂ O	28,10084	44873
(1/2) HNO ₃ (LUNGE)	2,35067	37119
(1/2) H ₂ C ₂ O ₄	4,50179	65339
(1/2) H ₂ C ₂ O ₄ · 2 H ₂ O	6,303326	79957
(1/2) H ₂ O ₂	1,700737	23063
(1/6) KBrO ₃	2,78340	44457
(1/5) KMnO ₄	3,16075	49979
(1/6) K ₂ Cr ₂ O ₇	4,90319	69048
K ₄ Fe(CN) ₆ · 3 H ₂ O	42,2408	62573

1) Po vystedulekovaní Cu₂O

1) Titraci bromičnanem

C. Oxidimetrie

Nejběžnější miligramekvivalenty

Tabuľka 6

Odměrná analýza

Odměrný roztok: KMnO ₄ , Ce(SO ₄) ₂ , KBrO ₃ , K ₂ Cr ₂ O ₇	0,1N	0,1N
1 ml odměrného roztoku odpovídá mg účinné látky (složky)		
Účinná látka (složka)	mg	log
(1/2) Mn (HAMPE, KNORR)	2,74690	43884
(3/10) Mn (VOLHARD, WOLFF)	1,64814	21700
(3/10) MnO (VOLHARD, WOLFF)	2,128122	32800
(3/10) MnO ₃ (VOLHARD, WOLFF)	2,608104	41633
(1/2) MnO ₃ (LUNGE, MOHR)	4,34684	63817
(1/3) Mo	3,108	50488
(1/3) MoO ₃	4,79794	68105
(1/2) NH ₄ OH (RASCHIG)	1,65150	21788
(NH ₄) ₂ Ce(NO ₃) ₆	54,823	73896
(NH ₄) ₂ Fe(SO ₄) ₂ · 6 H ₂ O	39,2139	59344
(NH ₄) ₂ S ₂ O ₈	11,4100	05729
(1/2) (NH ₄) ₂ S ₂ O ₈	2,62418	41899
(1/4) N ₂ H ₄ · 2 HCl ¹)	1,251515	09744
(1/4) N ₂ H ₄ · H ₂ O ¹)	3,25307	51229
(1/4) N ₂ H ₄ · H ₂ SO ₄ ¹)	1,90029	27882
(1/4) N ₂ O ₃ (LUNGE)	4,00055	66281
(1/2) N ₂ O ₄ (LUNGE)	3,44976	53779
(1/2) NaNO ₂ (LUNGE)	6,699975	82607
(1/2) Na ₂ C ₂ O ₄	0,79997	90307
(1/2) O	11,9594	07771
(1/2) PbO ₂	34,2784	53502
(1/2) Pb ₃ O ₄	9,60616	98255
(1/2) S ₂ O ₈ ²⁻	6,0875	78443
(1/2) Sb ₂ O ₃	7,2874	86257
(1/2) Sn	5,9345	77338
Ti	4,790	68034
TiO ₂	7,990	90255

Odměrná analýza

Tabulka 6 Odměrná analýza

Nejběžnější miligramekvivalenty

C. Oxidimetrie

Odměrný roztok: KMnO ₄ , Ce(SO ₄) ₂ , KBrO ₃ , K ₂ Cr ₂ O ₇	0,1N		
1 ml odměrného roztoku odpovídá mg účinné látky (složky)			
Účinná látka (složka)	mg	log	
(1/2) U	11,9015	07560	
(1/6) U ₃ O ₈	14,035	14721	
V	5,0942	70708	
(1/2) V ₂ O ₅	9,09405	95575	

Titrace hydroxychinolátů bromičnanem (BERG)

Odměrný roztok: KBrO ₃	0,1N		
1 ml odměrného roztoku odpovídá mg účinné látky (složky)			
Účinná látka (složka)	mg	log	
(1/12) Al	0,22484	35188	0,44969
(1/12) Bi	1,7415	24092	3,4830
(1/4) C ₉ H ₇ ON	3,62906	55980	7,25811
(hydroxychinolin)			
(1/4) C ₉ H ₆ ON	3,60386	55676	7,20771
(1/8) Cd	1,405	14768	2,810
(1/8) Co	0,73666	86727	1,47332
(1/12) Fe ³⁺	0,4654	66783	0,9308
(1/8) Mg	0,3038	48259	0,6076
(1/8) Mn.	0,68672	83678	1,37344
(1/8) Ni	0,7339	86564	1,4677
(1/20) Th	1,16019	06453	2,32038
(1/8) Ti	0,5988	77728	1,1975
(1/12) U	1,9836	29745	3,9672
(1/8) Zn	0,8171	91228	1,6342

Odměrný roztok: J ₂ , Na ₂ S ₂ O ₃ , As ₂ O ₃		1 ml odměrného roztoku odpovídá mg účinné látky (složky)		0,05N		0,1N	
Účinná látka (složka)		mg		log		mg	
(1/2) As	1,87304			27255	3,74608	57358	
(1/2) AsO ₄	3,47298			54070	6,94596	84173	
(1/4) As ₂ O ₃	2,47302			39322	4,94603	69425	
(1/4) As ₂ O ₅	2,8730			45884	5,74460	75937	
(1/6) BrO ₃ ⁻	1,06585			02770	2,1317	32873	
(1/2) Br ₂	3,9952			60124	7,9904	90257	
(1/2) CN (SOHULEK)	0,65045			81321	1,30089	11424	
CeO ₂	8,6059			93479	17,212	23583	
(1/2) Cl ₂	1,77265			24862	3,5453	54966	
(1/3) Cr	0,8666			93752	1,7332	23885	
(1/3) CrO ₃	1,66657			22182	3,33314	52286	
(1/6) Cr ₂ O ₃	1,26658			10263	2,53337	40367	
Cu	3,1773			50266	6,3546	80309	
Cr ₂ SO ₄ · 5 H ₂ O	12,4842			09636	24,9684	39739	
Fe	2,79235			44597	5,5847	74700	
FeCl ₃	8,1103			90903	16,2206	21007	
FeSO ₄ · 7 H ₂ O	13,9008			14303	27,8016	44406	
(1/2) HCN (SOHULEK)	0,67564			82971	1,35129	13075	
(1/2) HClO	1,31151			11777	2,62302	41880	
(1/6) HClO ₃	0,70383			84747	1,40765	14849	
(1/6) HJO ₃	1,46592			16611	2,93184	46714	
(1/8) HJ ₄ O	1,199437			07898	2,39887	38001	
(1/2) HJO ₄	4,797749			68104	9,595498	98206	
(1/2) H ₂ O ₂	0,850368			92960	1,700737	23063	
(1/2) H ₂ S	0,851199			93043	1,70399	23147	
(1/2) H ₂ SO ₃	2,051195			31217	4,1039	61320	
(1/2) Hg	5,0147			70024	10,0295	00128	
(1/2) HgClNH ₂	6,3016			79945	12,6032	10048	
(1/2) HgCl ₂	6,7874			83170	13,5748	13273	

¹⁾ Za přítomnosti H₃PO₄

Odměrná analýza

Tabulka 6

Nejběžnější miligramekvivalenty

D. Jodometrie

Odměrný roztok: J_2 , $Na_2S_2O_3$, As_2O_3		0,05N		0,1N	
1 ml odměrného roztoku odpovídá mg účinné látky (složky)					
Účinná látka (složka)		mg	log	mg	log
(1/6) JO_3^-	...	1,45752	16362	2,91504	46465
(1/2) J_a	...	6,34522	80245	12,69044	10347
(1/6) $KBrO_3$...	1,39170	14355	2,78340	44457
(1/2) KCN (SCHULEK)	...	1,62799	21165	3,25599	51268
(1/6) $KClO_3$...	1,02127	00914	2,04255	31018
(1/12) $KH(JO_3)_2$...	1,62465	21076	3,24929	51179
(1/6) KJ_2O_3	...	1,78337	25124	3,56674	55227
(1/8) KJ_2O_4	...	1,43752	15762	2,87505	45865
(1/2) KJ_2O_4	...	5,7501	75968	11,5002	06071
(1/5) $KMnO_4$...	1,58038	19876	3,16075	49979
(1/2) $K(SbO)C_4H_4O_6 \cdot \frac{1}{2} H_2O$...	8,3483	92159	16,6966	22263
(1/2) K_2CrO_4	...	3,23602	51009	6,47325	81112
(1/6) $K_2Cr_2O_7$...	2,45159	38945	4,90319	69048
$K_3Fe(CN)_6$...	16,4630	21651	32,9260	51754
(1/2) MnO_2	...	2,17342	33714	4,34684	63817
(NH_4) ₂ Fe(SO ₄) ₂ · 6 H_2O	...	19,66967	29240	39,2139	59344
(NH_4) ₂ S ₂ O ₈	...	5,7050	75626	11,4100	05729
(1/2) $NaCN$ (SCHULEK)	...	1,22519	08821	2,45038	38923
(1/2) $NaClO$...	1,86105	26976	3,72211	57079
(1/6) $NaClO_3$...	0,88700	94792	1,77401	24895
(1/2) $NaHS$...	1,40154	14661	2,80308	44763
(1/6) $Na_2Cr_2O_7$...	2,18306	33906	4,36612	64009
(1/2) Na_2S	...	1,95109	29028	3,90218	59131
(1/2) Na_2SO_3	...	3,15104	49845	6,30209	79949
$Na_2S_2O_3$...	7,90529	89792	15,81058	19835
$Na_2S_2O_3 \cdot 5 H_2O$...	12,40912	09374	24,8183	39477
(1/2) O_3 (SCHÖNBEIN)	...	1,19995	07916	2,39991	38019
(1/2) SO_2	...	1,60157	20454	3,20314	50558
SO_3^{2-}	...	2,00155	30136	4,00311	60240

1) Skupiny vázané na dusík

Odměrná analýza

Tabulka 6

Nejběžnější miligramekvivalenty

D. Jodometrie

Odměrný roztok: J_2 , $Na_2S_2O_3$, As_2O_3		0,05N		0,1N	
1 ml odměrného roztoku odpovídá mg účinné látky (složky)					
Účinná látka (složka)		mg	log	mg	log
(1/2) Sb	3,04375	48340
(1/4) Sb_2O_3	3,64372	56115
(1/2) Sn	2,96725	47235
(1/2) SnO	3,36723	52727
Organická analýza — Jodometrie					
Odměrný roztok: J_2 , $Na_2S_2O_3$, As_2O_3		0,1N		0,1N	
1 ml odměrného roztoku odpovídá mg účinné látky (složky)					
Účinná látka (složka)		mg	log	mg	log
(1/6) $-Br$ (LEIPERT—WATZLAWEK)	1,33173	12441
(1/2) CH_2O (formaldehyd)	1,501324	17647
(1/6) $-CH_3^1$ (VIEBÖCK—SCHWAPPACH)	0,250584	39895
(1/6) CH_3CO —(MESSINGER)	0,717427	85578
(methyleketon)					
(1/6) $(CH_3)_2CO$ (MESSINGER)	0,968011	98588
(1/6) $-C_2H_5^1$ (VIEBÖCK—SCHWAPPACH)	0,484369	68517
(1/6) C_6H_5OH	1,568568	19550
(1/6) $-J$ (LEIPERT—MÜNSTER)	2,115073	32532
(1/6) $-OCH_3$ (VIEBÖCK—SCHWAPPACH)	0,517241	71369
(1/6) $-OC_2H_5$ (VIEBÖCK—SCHWAPPACH)	0,751026	87565
(1/6) $-SH$ (KLASON—CARLSON)	3,3072	51946

Odměrná analýza

*Tabuľka 6
Nejběžnější miligramekvivalenty
E. Chelatometrie*

Odměrný roztok chelatonu	0,01M	0,02M	0,05M	
1 ml odměrného roztoku odpovídá mg účinné látky (složky)				
Účinná látka (složka)	mg	log	mg	log
Al ⁺	0,269815	43106	0,539630	73209
Al ₂ O ₃	0,059806	70740	1,019612	00843
Ba	1,3734	13780	2,7468	43383
BaO	1,5334	18566	3,0668	48668
Bi	2,08980	32011	4,17060	10,44900
C ₆ H ₅ O ₆ N ⁻	1,911157	23138	3,823034	58240
C ₁₀ H ₁₆ O ₈ N ₂ ⁻ (chelaton 1) ¹⁾	2,922476	46575	5,844952	76678
C ₁₀ H ₂₂ O ₈ N ₂ ⁻ (chelaton 2) ¹⁾	3,46340	53950	6,92680	84054
C ₁₄ H ₂₂ O ₈ N ₂ ⁻ (chelaton 4) ¹⁾	0,44008	60293	0,8016	90396
Ca	1,0009	00039	2,0018	30142
CaCO ₃	0,5608	74881	1,1216	04984
CaO	1,1240	05077	2,2480	35180
Cd	0,70645	90061	1,5991	20164
Co	0,589332	70736	1,173664	07139
CoO	0,749326	87467	1,493652	17570
Cu	0,633546	80309	1,27092	10412
CuO	0,70645	90061	1,5991	20164
F	0,189984	27871	0,379968	57974
Fe	0,55347	74700	1,11694	04803
FeO	0,71846	85641	1,43993	15744
Fe ₂ O ₃	0,798461	90225	1,59992	2028
Ga	0,6972	84336	1,3944	14438
Hg	2,0059	30231	4,0118	60334
In	1,1482	06002	2,2964	36105
K ₂ MgC ₁₀ H ₁₂ O ₈ N ₂ ⁻ · 5H ₂ O ¹⁾	4,80801	68196	9,61603	98299
La	1,3891	14273	2,7732	44376
Mg	0,24305	38570	0,48610	68673

¹⁾ Chemický název viz Vysvětlivky k tabuľce 4

²⁾ Py = pyridin

Odměrná analýza

*Tabuľka 6
Nejběžnější miligramekvivalenty
E. Chelatometrie*

Odměrný roztok chelatonu	1 ml odměrného roztoku odpovídá mg účinné látky (složky)	0,01M	0,02M	0,05M	0,05M
Účinná látka (složka)	mg	log	mg	log	mg
MgO	· · · · ·	· · · · ·	0,40304	60535	0,80609
MgSO ₄ · 7 H ₂ O	· · · · ·	· · · · ·	2,46474	39177	4,92948
Mn	· · · · ·	· · · · ·	0,549380	73937	1,038760
MnO	· · · · ·	· · · · ·	0,709374	85087	1,418748
Na ₂ C ₁₀ H ₁₄ O ₈ N ₂ ⁻ · 2 H ₂ O (chelaton 3) ¹⁾	· · · · ·	· · · · ·	3,722420	57083	7,444839
Ni	· · · · ·	· · · · ·	0,5871	76871	1,1742
NiO	· · · · ·	· · · · ·	0,7471	87338	1,4942
P	· · · · ·	· · · · ·	0,309738	49099	0,619476
P ₂ O ₅	· · · · ·	· · · · ·	0,709723	85109	1,419446
Pb	· · · · ·	· · · · ·	2,0719	31637	4,1438
PbO	· · · · ·	· · · · ·	2,3319	34867	4,4638
Pd	· · · · ·	· · · · ·	1,064	02694	2,128
S	· · · · ·	· · · · ·	0,32064	50602	0,64128
SO ₃	· · · · ·	· · · · ·	0,64063	80661	1,28126
SO ₃ ²⁻	· · · · ·	· · · · ·	0,80062	90343	1,60124
Sc	· · · · ·	· · · · ·	0,44956	65279	0,89912
Sr	· · · · ·	· · · · ·	0,8762	94260	1,7524
SrO	· · · · ·	· · · · ·	1,0362	01544	2,0724
Th	· · · · ·	· · · · ·	2,32038	36556	4,64076
ThO ₂	· · · · ·	· · · · ·	2,64037	42166	5,28074
Ti	· · · · ·	· · · · ·	0,4790	68034	0,9580
TiO ₂	· · · · ·	· · · · ·	0,7990	90255	1,5980
Tl	· · · · ·	· · · · ·	2,0437	31042	4,0874
V	· · · · ·	· · · · ·	0,50942	70708	1,01884
Zn	· · · · ·	· · · · ·	0,6537	81538	1,3074
ZnO	· · · · ·	· · · · ·	0,8137	91046	1,6274
ZnPy ₂ (SCN) ₂ ²⁾	· · · · ·	· · · · ·	3,3974	53115	6,7948
Zr	· · · · ·	· · · · ·	0,9122	96009	1,8244
ZrO ₂	· · · · ·	· · · · ·	1,2322	09068	2,4644

¹⁾ Chemický název viz Vysvětlivky k tabuľce 4

Odměrná analýza

Tabulka 6

Odměrná analýza

Nejběžnější milligramekvivalenty

F. Srážecí a komplexotvorné metody

Odměrný roztok: AgNO ₃ , NaCl, NH ₄ SCN		0,1N	
1 ml odměrného roztoku odpovídá mg účinné látky (složky)			
Účinná látka (složka)		mg	
log		log	
Ag	...	10,7868	03289
AgNO ₃	...	16,9873	23012
Br ⁻	...	7,9904	90257
(1/2) —CHO (PONNDORF)	...	1,45093	16165
(1/2) CaCl ₂	...	5,5493	74423
(1/2) CaCl ₂ · 6 H ₂ O	...	10,9539	03957
Cl ⁻	...	3,5453	54966
HBr	...	8,0912	90801
HCN (Mohr, VOLHARD)	...	2,70258	43178
(2) HCN (LIEBIG)	...	5,40516	73281
HCl	...	3,6461	561183
HJ	...	12,79124	10691
(1/2) Hg	...	10,0295	00128
(1/2) HgO	...	10,8294	03461
J ⁻	...	12,69044	10347
KBr	...	11,9006	07557
KCN (Mohr, VOLHARD)	...	6,5120	81371
(2) KCN (LIEBIG)	...	13,0240	11474
KCl	...	7,4555	87248
KJ	...	16,6006	22013
KSCN	...	9,7184	98760
LiCl	...	4,2392	62728
(1/2) MgCl ₂	...	4,76055	67766
(1/2) MgCl ₂ · 6 H ₂ O	...	10,16515	00711
NH ₄ Br	...	9,7943	99097
NH ₄ Cl	...	5,3492	72829
NH ₄ J	...	14,49430	16120
NH ₄ SCN	...	7,6120	88150

Odměrný roztok: AgNO ₃ , NaCl, NH ₄ SCN		0,1N	
1 ml odměrného roztoku odpovídá mg účinné látky (složky)			
Účinná látka (složka)		mg	
log		log	
NaBr	...	10,2894	01239
NaCN (Mohr, VOLHARD)	...	4,90076	69026
(2) NaCN (LIEBIG)	...	9,80153	99129
NaCl	...	5,8443	76673
NaJ	...	14,98942	17578
Odměrný roztok:		N	
1 ml odměrného roztoku odpovídá mg účinné látky (složky)			
Účinná látka (složka)		mg	
log		log	
Odměrný roztok:		N	
1 ml odměrného roztoku odpovídá mg účinné látky (složky)			
Účinná látka (složka)		mg	
log		log	

Tabulka 7

Hustota vody za různých teplot

t °C	ρ_{H_2O}	log	t °C	ρ_{H_2O}	log
10,0	0,999 700	999 8697	22,5	0,997 655	998 98304
10,5	0,999 654	8497	23,0	0,997 538	9294
11,0	0,999 605	8284	23,5	0,997 418	8772
11,5	0,999 553	8058	24,0	0,997 296	8241
12,0	0,999 498	7819	24,5	0,997 171	7696
12,5	0,999 439	7563	25,0	0,996 914	7143
13,0	0,999 377	7294	25,5	0,996 6577	
13,5	0,999 312	7011	26,0	0,996 6006	
14,0	0,999 244	6716	26,5	0,996 5423	
14,5	0,999 173	6407	27,0	0,996 4826	
15,0	0,999 099	6086	27,5	0,996 4219	
15,5	0,999 023	5755	28,0	0,996 3605	
16,0	0,998 943	5407	28,5	0,996 2982	
16,5	0,998 860	5046	29,0	0,996 2349	
17,0	0,998 774	4672	29,5	0,996 1704	
17,5	0,998 686	4290	30,0	0,996 1049	
18,0	0,998 595	3894	30,5	0,996 0387	
18,5	0,998 501	3485	31,0	0,996 0340	
19,0	0,998 405	3068	31,5	0,996 0184	
19,5	0,998 305	2633	32,0	0,996 025	
20,0	0,998 203	2189	32,5	0,996 07642	
20,5	0,998 099	1737	33,0	0,996 0702	
21,0	0,997 992	1271	33,5	0,996 0537	
21,5	0,997 882	0792	34,0	0,996 0371	
22,0	0,997 770	0304	34,5	0,996 0202	

Tenze vodních par za různých teplot (torry)

t °C	0,0	0,5	t °C	0,0	0,5	t °C	0,0	0,5
10	9,209	9,521	17	14,530	14,997	24	22,377	23,060
11	9,844	10,176	18	15,477	15,971	25	23,756	24,471
12	10,518	10,870	19	16,477	16,999	26	25,209	25,964
13	11,231	11,604	20	17,535	18,085	27	26,739	27,535
14	11,987	12,382	21	18,650	19,231	28	28,349	29,184
15	12,788	13,205	22	19,827	20,440	29	30,043	30,923
16	13,634	14,076	23	21,068	21,714	30	31,824	32,747

Kalibrace odměrných nádob I

Zjištění skutečného objemu odměrných nádob při t °C z hmoty závaží vyvážející na rovnoramenných váhách vodu též teploty t^* , jíž je nádoba naplněna. Váženo mosačným závažím na vzduchu stejné teploty a s 50 % relativní vlhkosti za barometrického tlaku 760 torru.

Je-li hmota závaží vyvážející vodu Z^* v gramech, pak objem V_t skleněné nádoby v mililitrech bude:

$$V_t = Z^* \cdot f_t$$

t °C	f	\log	t °C	f	\log	t °C	f	\log
10,0	1,001 398	0,000 6067	22,5	1,003 404	0,001 4757			
10,5	1,001 442	0,000 6268	23,0	1,003 520	0,001 5258			
11,0	1,001 489	0,000 6463	23,5	1,003 638	0,001 5772			
11,5	1,001 539	0,000 6680	24,0	1,003 760	0,001 6299			
12,0	1,001 592	0,000 6911	24,5	1,003 884	0,001 6836			
12,5	1,001 650	0,000 7159	25,0	1,004 010	0,001 7381			
13,0	1,001 710	0,000 7420	25,5	1,004 139	0,001 7939			
13,5	1,001 773	0,000 7694	26,0	1,004 269	0,001 8501			
14,0	1,001 839	0,000 7981	26,5	1,004 402	0,001 9077			
14,5	1,001 909	0,000 8285	27,0	1,004 539	0,001 9666			
15,0	1,001 982	0,000 8599	27,5	1,004 677	0,002 0263			
15,5	1,002 055	0,000 8916	28,0	1,004 817	0,002 0870			
16,0	1,002 133	0,000 9256	28,5	1,004 959	0,002 1485			
16,5	1,002 215	0,000 9609	29,0	1,005 105	0,002 2114			
17,0	1,002 299	0,000 9974	29,5	1,005 252	0,002 2751			
17,5	1,002 386	0,001 0349	30,0	1,005 402	0,002 3397			
18,0	1,002 475	0,001 0736	30,5	1,005 553	0,002 4052			
18,5	1,002 569	0,001 1141	31,0	1,005 707	0,002 4716			
19,0	1,002 663	0,001 1550	31,5	1,005 863	0,002 5389			
19,5	1,002 762	0,001 1977	32,0	1,006 022	0,002 6075			
20,0	1,002 862	0,001 2413	32,5	1,006 182	0,002 6766			
20,5	1,002 965	0,001 2857	33,0	1,006 345	0,002 7469			
21,0	1,003 070	0,001 3314	33,5	1,006 510	0,002 8181			
21,5	1,003 179	0,001 3785	34,0	1,006 676	0,002 8899			
22,0	1,003 290	0,001 4264	34,5	1,006 846	0,002 9629			

Tabulka 8

Kalibrace odměrných nádob II

Hmota závaží (Z^*) v gramech vyvážející na rovnoramenných vahách množství vody t °C teplé, která zaújímá ve skleněné baňce při teplotě 20 °C objem přesně 1000 ml.
(Váženo mosačným závažím na vzduchu t °C teplém a s 50 % relativní vlhkosti při barometrickém tlaku 760 torrů.)

t^o	Z^*	Opravy v gramech			$a + b + c$ v gramech
		a	b	c	
10,0	998,354	0,273	1,096	0,250	1,619
10,5	998,322	0,319	1,094	0,238	1,651
11,0	998,288	0,368	1,092	0,225	1,685
11,5	998,251	0,420	1,090	0,212	1,722
12,0	998,210	0,475	1,088	0,200	1,763
12,5	998,165	0,534	1,086	0,188	1,808
13,0	998,118	0,596	1,084	0,175	1,855
13,5	998,068	0,661	1,082	0,162	1,905
14,0	998,014	0,729	1,080	0,150	1,959
14,5	997,956	0,800	1,079	0,138	2,017
15,0	997,897	0,874	1,077	0,125	2,076
15,5	997,837	0,950	1,074	0,112	2,136
16,0	997,771	1,030	1,072	0,100	2,202
16,5	997,702	1,113	1,070	0,088	2,271
17,0	997,631	1,199	1,068	0,075	2,342
17,5	997,558	1,287	1,066	0,062	2,415
18,0	997,481	1,378	1,064	0,050	2,492
18,5	997,400	1,472	1,063	0,038	2,573
19,0	997,319	1,568	1,061	0,025	2,654
19,5	997,234	1,668	1,059	0,012	2,739
20,0	997,146	1,770	1,057	0,000	2,827

Kalibrace odměrných nádob II

t^o	Z^*	Opravy v gramech			$a + b + c$ v gramech
		a	b	c	
20,5	997,056	1,874	1,055	-0,012	2,917
21,0	996,964	1,981	1,053	-0,025	3,009
21,5	996,869	2,091	1,051	-0,038	3,104
22,0	996,771	2,203	1,049	-0,050	3,202
22,5	996,670	2,318	1,047	-0,062	3,303
23,0	996,568	2,435	1,045	-0,075	3,405
23,5	996,463	2,555	1,043	-0,088	3,510
24,0	996,354	2,677	1,042	-0,100	3,619
24,5	996,243	2,802	1,040	-0,112	3,730
25,0	996,131	2,929	1,038	-0,125	3,842
25,5	996,016	3,059	1,036	-0,138	3,957
26,0	995,899	3,190	1,034	-0,150	4,074
26,5	995,779	3,324	1,032	-0,162	4,194
27,0	995,657	3,461	1,030	-0,175	4,316
27,5	995,533	3,600	1,028	-0,188	4,440
28,0	995,406	3,741	1,026	-0,200	4,567
28,5	995,277	3,884	1,024	-0,212	4,696
29,0	995,146	4,029	1,023	-0,225	4,827
29,5	995,013	4,177	1,021	-0,238	4,960
30,0	994,877	4,327	1,019	-0,250	5,096
30,5	994,739	4,479	1,017	-0,262	5,234
31,0	994,600	4,633	1,015	-0,275	5,373
31,5	994,459	4,789	1,013	-0,288	5,514
32,0	994,314	4,948	1,011	-0,300	5,659
32,5	994,168	5,108	1,009	-0,312	5,805
33,0	994,020	5,271	1,007	-0,325	5,953
33,5	993,870	5,436	1,005	-0,338	6,103
34,0	993,718	5,602	1,003	-0,350	6,255
34,5	993,563	5,771	1,001	-0,362	6,410

Tabuľka 9

Objemové korekcie normálnych roztokov v závislosti na teplotu

Uvedené hodnoty udávají, o kolik ml se zväčší (+) nebo zmensí (—) objem 1000 ml roztoku v sklenené baňce, jestliže se jeho teplota změní z teploty $t^{\circ}\text{C}$ na 20°C .

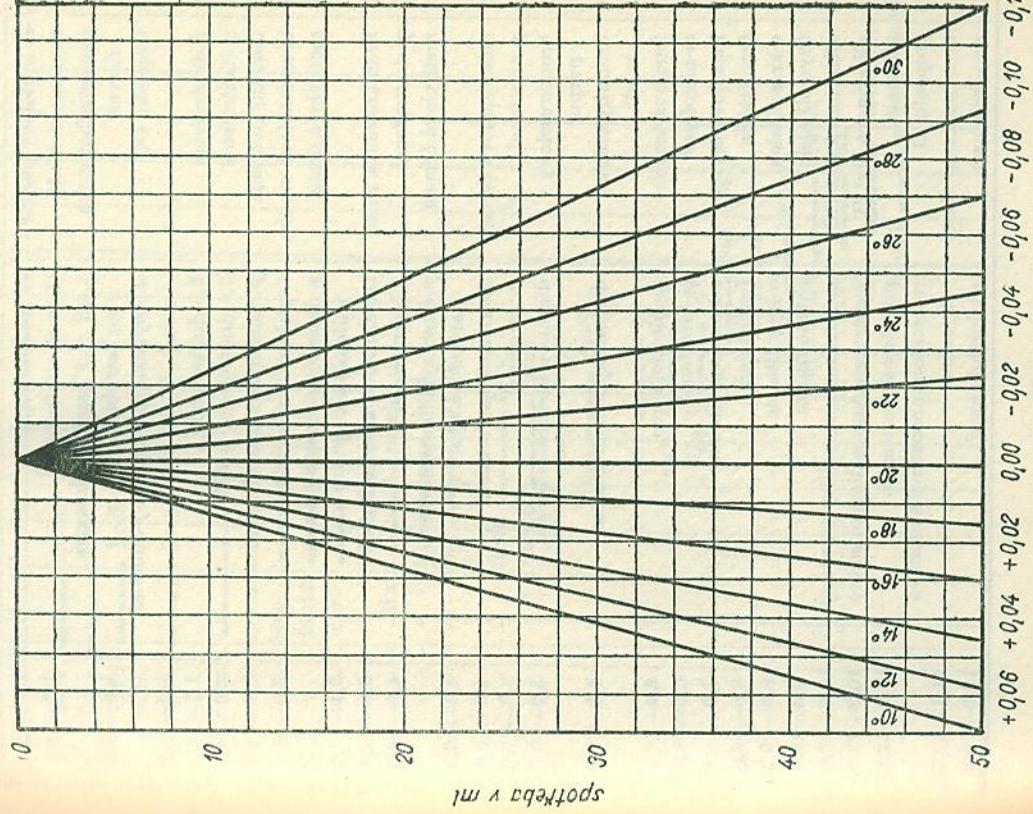
$t^{\circ}\text{C}$	voda 0,01N roztoky 0,1N-HCl 0,1N-NaCl 0,1N-KBrO ₃ 0,1N-KIO ₃ 0,1N-H ₂ C ₂ O ₄	ostatní 0,1N roztoky 0,2N-HCl 0,2N-H ₂ CO ₃ 0,2N-KBrO ₃ 0,2N-KIO ₃	0,1N-J ₂ v KJ ¹⁾ 0,1N-Na ₂ S ₂ O ₃ 0,2N-HNO ₃ 0,2N-H ₂ SO ₄ 0,2N-NaOH 0,2N-KOH 0,5N-HCl 0,5N-H ₂ C ₂ O ₄	0,5N-HNO ₃ 0,5N-H ₂ SO ₄ 0,5N-NaOH 0,5N-KOH	n-HCl n-NaOH n-KOH
10	+1,25	+1,45	+1,6	+1,85	+1,95
11	1,15	1,3	1,5	1,7	1,8
12	1,1	1,2	1,4	1,5	1,6
13	1,0	1,1	1,1	1,3	1,4
14	0,9	0,9	1,0	1,1	1,2
15	0,7	0,7	0,9	0,9	1,0
16	0,6	0,6	0,7	0,8	0,8
17	0,5	0,5	0,6	0,6	0,7
18	0,3	0,3	0,4	0,4	0,5
19	0,2	0,2	0,2	0,2	0,2
20	0,0	0,0	0,0	0,0	0,0
21	-0,2	-0,2	-0,25	-0,3	-0,3
22	0,4	0,5	0,5	0,55	0,55
23	0,6	0,7	0,8	0,8	0,8
24	0,8	1,0	1,0	1,1	1,1
25	1,0	1,2	1,3	1,4	1,3
26	1,25	1,5	1,5	1,65	1,6
27	1,5	1,7	1,8	1,9	1,9
28	1,7	2,0	2,0	2,2	2,1
29	2,0	2,2	2,3	2,5	2,4
30	2,3	2,45	2,55	2,75	2,6

¹⁾ 20 g KJ na litr roztoku

Tabuľka 9

Objemové korekcie normálnych roztokov v závislosti na teplotu

Z grafu odčítáme opravy, ktorými korigujeme pri titrácii spotrebou odmerného roztoku jiné teploty než 20°C . Je použiteľný pro všechny 0,1N roztoky a pro 0,2N roztoky HCl, H₂C₂O₄, KBrO₃ a KJO₃.



Tabuľka 10

Dôležité

indikátory

(Kolorimetrické
stanovení pH)

Č.	Běžný název	Chemický název	Interval barevného přechodu	Barva přechodu při pH
1	<i>m</i> -kresolový purpur	<i>m</i> -kresolsulfotalein	1,2—2,8	—
2	thymolová modř	thymolsulfotalein	1,2—2,8	—
3	pentamethoxylová červen	2,4',4'',4'''-pentamethoxytri-fenylkarbinol	1,3—3,2	—
4	tropeolin OO	difenylaminoazobenzen- <i>p</i> -sulfonan sodný	1,3—3,2	—
5	β -dinitrofenol	2,6-dinitrofenol	1,7—4,4	—
6	α -dinitrofenol	2,4-dinitrofenol	2,0—4,7	žlutá
7	dimethyllová žlut	<i>p</i> -dimethylaminoazobenzen	2,9—4,1	žlutá
8	bromfenolová modř	tetrabromfenolsulfotalein	3,0—4,6	bezb.
9	methyllová oranž	<i>p</i> -dimethylaminoazobenzen-sulfonan sodný	3,1—4,5	žlutá
10	bromkresolová zeleň	tetrabrom- <i>m</i> -kresolsulfotalein	3,8—5,4	červ.
11	γ -dinitrofenol	2,5-dinitrofenol	4,0—6,0	žlutá
12	methyllová červen	<i>p</i> -dimethylaminoazobenzen-o-karbonová kys.	4,4—6,3	modrá
13	chlorfenolová červen	dichlorfenolsulfotalein	4,8—6,4	žlutá
14	<i>p</i> -nitrofenol	<i>p</i> -nitrofenol	5,0—7,0	žlutá
15	bromkresolový purpur	dibrom- <i>o</i> -kresolsulfotalein	5,2—6,8	červ.
16	bromthymolová modř	dibromthymolsulfotalein	6,0—7,6	žlutá
17	fenolová červen	fenolsulfotalein	6,4—8,2	červ.
18	<i>m</i> -nitrofenol	<i>m</i> -niurofenol	6,5—8,5	oranž.
19	kresolová červen	<i>o</i> -kresolsulfotalein	7,0—8,8	červ.
20	fenolftalein	fenolftalein	8,0—9,8	bezb.
21	<i>o</i> -kresolftalein	<i>o</i> -kresolftalein	8,2—9,8	červ.
22	thymolftalein	thymolftalein	9,3—10,5	žlutá
23	alizarinová žlut GG	<i>n</i> -nitrobenzenazonasalicylan sodný	10,0—12,0	oranž.
24	alizarinová žlut R	<i>p</i> -nitrobenzenazonasalicylan sodný	10,2—12,0	oranž.
25	nitramin	pikritylmethylnitramin	10,8—12,8	oranž. hněd.
26	tropeolin O	resorcinolazobenzen- <i>p</i> -sulfonová kyselina	11,1—12,7	oranž. hnědá
27	trinitrobenzen	<i>s</i> -trinitrobenzen	12,0—14,0	oranž.

Tabula II

Tlumivé rozložky (pH)

Preached

Pořadové číslo	pH	Složení
1	1 2 3 4 5 6 7 8 9 10 11 12	standardní tlum. roztoky . . . univerzální I (I) univerzální II (I) HCl—KCl HCl—glykókol $C_6H_8O_7-C_6H_7O_7K$ HCl— $C_6H_6O_7Na_3$ $C_6H_8O_7-Na_2HPO_4$ (I) $CH_3COOH-CH_3COONa$ (I) $C_6H_7O_7K-Na_2B_4O_7$ $NaOH-C_6H_5O_4K$ $NaOH-C_6H_6O_7Na_2$ $KH_2PO_4-Na_2HPO_4$ $NaOH-KH_2PO_4$ $Na_2B_4O_7-KH_2PO_4$ $Na_2B_4O_7-H_3BO_3$ HCl— $Na_2B_4O_7$ $NaOH-H_3BO_3$ $NaOH-glykókol$ $Na_2CO_3-Na_2B_4O_7$ $NaOH-Na_2B_4O_7$ $NaOH-Na_2HPO_4$ různé (I)
2		
3		
4		
5		
6		
7		
8		
9		
10		
11		
12		

(1) označuje tlumivé směsi s možností práce při konstantní iontové síle.

Tabulka 11

Tlumivé roztoky (pH)

Standardski izmerni vostolič (pre kalibraci stacionarnih H-metri)

NATIONAL BUREAU OF STANDARDS

Standard	pH		
	20 °C	25 °C	30 °C
1. tetraoxelát draselný	1,675	1,679	1,683
2. kyselý vínan draselný	—	3,557	3,552
3. kyselý italan draselný	4,002	4,008	4,015
4. primární fosforečnan draselný sekundární fosforečnan sodný	6,881	6,865	6,853
5. primární fosforečnan draselný sekundární fosforečnan sodný	7,429	7,413	7,400
6. tetraboritan sodný (borax)	9,225	9,180	9,139
7. hydroxid vápenatý, roztok			
nasycený při 20 °C	12,642	12,469	12,304
nasycený při 25 °C	12,627	12,454	12,289
nasycený při 30 °C	12,611	12,438	12,273

Složení a vlastnosti standardních titumitých roztoků při 25 °C			
	g solu ¹) v litru roztoku	ΔpH _{1/2} ²)	Tepelný koeficient pH/C
1. $KH_3(C_2O_4)_2 \cdot 2 H_2O$, 0,05m	12,61	+0,186	+0,001
2. $KH_4H_4O_6$, ~ 0,034m	nasytc. při 25 °C ³)	+0,049	-0,0014
3. $KH_3H_4O_4$, 0,05m	10,12	+0,052	+0,0012
4. KH_2PO_4 , 0,025m	3,39	+0,080	-0,0028
Na_3HPO_4 , 0,025m ($Na_2HPO_4 \cdot 2 H_2O$, 0,025m)	3,53		
5. KH_2PO_4 , 0,008695m Na_2HPO_4 , 0,03043m ($Na_2HPO_4 \cdot 2 H_2O$, 0,03043m)	(4,43) 1,179 4,30 (5,39)	+0,07	-0,0028
6. $Na_2B_4O_7 \cdot 10 H_2O$, 0,01m	3,80	+0,01	-0,0082
7. $Ca(OH)_2$, 0,0203m	nasytc. při 25 °C ³)	-0,28	-0,033

1) Požadavky na preparáty viz Vysvětlivky k této tabulce.

2) Změna pH způsobená zředěním roztočku stejným objemem čisté vody

V zábruhém láhví se intenzivně třepuje voda s vodou známé teploty. Po usazení se čirý roztok slijí (vínan) nebo přefiltruje střední huston fritou (hydroxid).

Tabulka II

Tlumivé roztoky (pH)

Vzájemné převádění $-\log X$ na XNapř. přepočty pH na $[H^+]$ nebo pK na K a naopak

$-\log X$	0	1	2	3	4	5	6	7	8	9
n,0	1,000	0,977	0,955	0,933	0,912	0,891	0,871	0,851	0,832	0,813
n,1	0,794	0,776	0,759	0,741	0,725	0,708	0,692	0,676	0,661	0,646
n,2	0,631	0,617	0,603	0,589	0,575	0,562	0,550	0,537	0,525	0,513
n,3	0,501	0,490	0,479	0,468	0,457	0,447	0,437	0,427	0,417	0,407
n,4	0,398	0,389	0,380	0,372	0,363	0,355	0,347	0,339	0,331	0,324
n,5	0,316	0,309	0,302	0,295	0,288	0,282	0,275	0,269	0,263	0,257
n,6	0,251	0,245	0,240	0,234	0,229	0,224	0,219	0,214	0,209	0,204
n,7	0,200	0,195	0,191	0,186	0,182	0,178	0,174	0,170	0,166	0,162
n,8	0,158	0,155	0,151	0,148	0,145	0,141	0,138	0,135	0,132	0,129
n,9	0,126	0,123	0,120	0,117	0,115	0,112	0,110	0,107	0,105	0,102

Černě tištěná desetinná čísla násobena koeficientem 10^{-n} udávají příslušnou hodnotu X:např. pro pH = 2,43 je $[H^+] = 0,372 \cdot 10^{-2}$ nebo naopak

$$K = 1,78 \cdot 10^{-6} = 0,178 \cdot 10^{-5} \text{ odpovídá } pK = 5,75.$$

2. Univerzální tlumivý roztok I (18 °C)

(BRITTON-ROBINSON)

100,0 ml roztoku, který je 0,04M-H₃PO₄, 0,04M-CH₃COOH a 0,04M-H₃BO₃ (4,90 g 80% H₃PO₄, 2,40 g CH₃COOH a 2,474 g H₃BO₃/l), se smísi s a ml 0,2N-NaOH.

pH	a ml 0,2N-NaOH	Iontová sila směsi I	Pro konst. I = 0,15 se na (100 + a) ml směsi přidá g NaClO ₄ · H ₂ O	Pro zvýšení I o 0,05 se přidá g NaClO ₄ · H ₂ O
1,81	0,0	0,015	1,896	0,702
1,89	2,5	0,018	1,900	0,720
1,98	5,0	0,020	1,917	0,737
2,09	7,5	0,022	1,933	0,755
2,21	10,0	0,024	1,947	0,773
2,36	12,5	0,027	1,944	0,790
2,56	15,0	0,029	1,955	0,808

Tabulka II

Tlumivé roztoky (pH)

2. Universální tlumivý roztok I (18 °C)
(BRITTON-ROBINSON)

pokračování

Tabulka 11

Tlumivé roztoky (pH)

3. Univerzální tlumivý roztok II (25 °C)

(DAVIES)

Vhodný pro spektrofotometrii v ultrafialové oblasti (od 230 nm výše).

50,0 ml roztoku, který je 0,1M kyselina citronová, 0,1M KH₂PO₄, 0,05M-Na₂B₄O₇, 0,1M tris(hydroxymethyl)aminomethan a 0,1M-KCl (21,01 g C₆H₈O₇, H₂O, 13,61 g KH₂PO₄, 19,07 g Na₂B₄O₇, 10 H₂O, 12,11 g (HOCH₂)₃CNH₂ a 7,46 g KCl/1) se smíší s a ml 0,4N-HCl nebo 0,4N-NaOH a zředit se vodou na objem 200 ml.

pH	a ml		Iontová síla I	pH	a ml		Iontová síla I	a ml		pH	a ml		pH
	0,4N-HCl	0,4N- -NaOH			0,4N- -NaOH	0,4N-HCl		0,4N- -NaOH	0,4N-HCl		0,2N-HCl	0,2N-HCl	
2,00	34,8	—	0,10	7,20	—	24,0	—	—	—	—	—	—	—
2,20	30,4	—	—	7,40	—	26,6	—	—	—	—	—	—	—
2,40	26,6	—	—	7,60	—	28,6	—	—	—	—	—	—	—
2,60	23,8	—	—	7,80	—	30,8	—	—	—	—	—	—	—
2,80	21,6	—	—	8,00	—	33,2	0,25	—	—	—	—	—	—
3,00	19,6	—	0,09	8,20	—	35,6	—	—	—	—	—	—	—
3,20	17,6	—	—	8,40	—	37,6	—	—	—	—	—	—	—
3,40	15,8	—	—	8,60	—	39,8	—	—	—	—	—	—	—
3,60	14,0	—	—	8,80	—	43,4	—	—	—	—	—	—	—
3,80	12,0	—	—	9,00	—	46,2	0,27	—	—	—	—	—	—
4,00	10,0	—	0,09	9,20	—	49,0	—	—	—	—	—	—	—
4,20	7,8	—	—	9,40	—	52,0	—	—	—	—	—	—	—
4,40	5,6	—	—	9,60	—	54,6	—	—	—	—	—	—	—
4,60	3,6	—	—	9,80	—	56,8	—	—	—	—	—	—	—
4,80	1,6	—	—	10,00	—	59,0	0,29	—	—	—	—	—	—
5,00	—	0,4	0,11	10,20	—	60,4	—	—	—	—	—	—	—
5,20	—	2,8	—	10,40	—	61,6	—	—	—	—	—	—	—
5,40	—	5,0	—	10,60	—	62,8	—	—	—	—	—	—	—
5,60	—	7,4	—	10,80	—	64,0	—	—	—	—	—	—	—
5,80	—	9,4	—	11,00	—	65,6	0,30	—	—	—	—	—	—
6,00	—	11,4	0,14	11,20	—	67,0	—	—	—	—	—	—	—
6,20	—	13,4	—	11,40	—	68,8	—	—	—	—	—	—	—
6,40	—	15,6	—	11,60	—	71,0	—	—	—	—	—	—	—
6,60	—	17,8	—	11,80	—	73,8	—	—	—	—	—	—	—
6,80	—	20,2	—	12,00	—	77,2	0,33	—	—	—	—	—	—
7,00	—	22,4	0,21	—	—	—	—	—	—	—	—	—	—

Tabulka 11

Tlumivé roztoky (pH)

4. 0,2N-HCl a 0,2N-KCl (20 °C)

(CLARK-LUBBS)

a ml roztoku HCl se smíší s (50 — a) ml roztoku KCl (14,912 g/1) a doplní se na objem 100 ml.

pH	0,4N-HCl	0,4N- -NaOH	Iontová síla I	pH	0,4N-HCl	0,4N- -NaOH	pH	0,2N-HCl	0,2N-HCl	pH	0,2N-HCl
1,1	—	—	—	—	47,28	—	1,5	—	18,82	1,9	7,49
1,2	—	—	—	—	37,55	—	1,6	—	14,95	2,0	5,95
1,3	—	—	—	—	29,84	—	1,7	—	11,88	2,1	4,73
1,4	—	—	—	—	23,70	—	1,8	—	9,43	2,2	3,76

5. 0,1N-HCl a 0,1M glykokol v 0,1N-NaCl (18 °C)
(SØRENSEN)

a ml roztoku HCl se smíší s (10—a) ml roztoku glykokolu NaCl (7,505 g glykokolu a 5,845 g NaCl/1). pH se mění s teplotou jen nepatrně.

pH	0,1N-HCl	0,1N- -NaOH	pH	0,1N-HCl	0,1N- -NaOH	pH	0,1N-HCl	0,1N- -NaOH	pH	0,1N-HCl
1,15	—	—	—	9,0	—	1,93	—	5,0	—	2,92
1,25	—	—	—	8,0	—	2,28	—	4,0	—	3,34
1,42	—	—	—	7,0	—	2,61	—	3,0	—	3,68
1,64	—	—	—	6,0	—	—	—	—	—	0,5

6. 0,1M kyselina citronová a 0,1M citran draselný primární (18 °C)
(KOLTHOFF—VRIESCHHOUWER)

a ml roztoku C₆H₈O₇ (21,01 g monohydrátu/l) se smíší s (10—a) ml roztoku C₆H₅O₇K (24,82 g monohydrátu nebo 23,02 g bezvodé soli/l). pH se mění s teplotou jen nepatrně.

pH	0,1M kyseliny citronové	pH	0,1M kyseliny citronové	pH	0,1M kyseliny citronové
2,2	9,11	—	—	2,8	—
2,4	—	8,15	—	3,0	—
2,6	—	7,15	—	3,2	—
—	—	—	—	—	—

Tabulka 11

Tlumivé roztoky (pH)

7. 0,1N-HCl a 0,1M citran sodný sekundární (18 °C)

(SÖRENSEN)

a ml roztoku HCl se smísí s $(10-a)$ ml roztoku citranu (21,01 g $C_6H_8O_7 \cdot H_2O$ a 200 ml n-NaOH se doplní na 1 litr). pH se měří s teplotou jen nepatrně.

pH	a ml 0,1N-HCl	pH	a ml 0,1N-HCl	pH	a ml 0,1N-HCl
2,27	6,67	3,69	5,0	4,65	2,0
2,97	6,0	3,95	4,5	4,83	1,0
3,36	5,5	4,16	4,0	4,89	0,5
3,53	5,25	4,45	3,0	4,96	0,0

8. 0,1M kyselina citronová a 0,2M-Na₂HPO₄

(McILVAINE)

a ml roztoku Na₂HPO₄ (35,62 g dihydrátu/1) se smísí s $(20-a)$ ml roztoku C₆H₈O₇ (21,01 g monohydrátu/1).

pH	a ml 0,2M-Na ₂ HPO ₄	pH	a ml 0,2M-Na ₂ HPO ₄	pH	a ml 0,2M-Na ₂ HPO ₄
2,2	0,40	4,2	8,28	6,2	13,22
2,4	1,24	4,4	8,82	6,4	13,85
2,6	2,18	4,6	9,35	6,6	14,55
2,8	3,17	4,8	9,86	6,8	15,45
3,0	4,11	5,0	10,30	7,0	16,47
3,2	4,94	5,2	10,72	7,2	17,39
3,4	5,70	5,4	11,15	7,4	18,17
3,6	6,44	5,6	11,60	7,6	18,73
3,8	7,10	5,8	12,09	7,8	19,15
4,0	7,71	6,0	12,63	8,0	19,45

8. Tlumivý roztok upravený na konstantní iontovou sílu

Tlumivé roztoky (pH)

Tabulka 11

pH	1 l roztoku obsahuje g		Iontová síla roztoku I	g KCl přidané k 1 l roztoku pro konstantní
	Na ₂ HPO ₄ · 12 H ₂ O	C ₆ H ₈ O ₇ · H ₂ O		
2,2	2,2	1,43	20,6	0,0108
2,4	2,4	4,44	19,7	0,0245
2,6	2,6	7,80	18,7	0,0410
2,8	2,8	11,35	17,7	0,0592
3,0	3,0	14,7	16,7	0,0771
3,2	3,2	17,7	15,8	0,0934
3,4	3,4	20,4	15,0	0,112
3,6	3,6	21,5	14,2	0,128
3,8	3,8	25,4	13,6	0,142
4,0	4,0	27,6	12,9	0,157
4,2	4,2	29,7	12,3	0,173
4,4	4,4	31,6	11,7	0,190
4,6	4,6	33,4	11,2	0,210
4,8	4,8	35,3	10,7	0,232
5,0	5,0	36,9	10,2	0,256
5,2	5,2	38,4	9,75	0,278
5,4	5,4	40,0	9,29	0,302
5,6	5,6	41,5	8,72	0,321
5,8	5,8	43,3	8,32	0,336
6,0	6,0	45,2	7,74	0,344
6,2	6,2	47,5	7,12	0,358
6,4	6,4	49,6	6,47	0,371
6,6	6,6	52,1	5,72	0,385
6,8	6,8	55,4	4,79	0,392
7,0	7,0	58,9	3,70	0,427
7,2	7,2	62,3	2,74	0,457
7,4	7,4	65,0	1,91	0,488
7,6	7,6	67,2	1,35	0,516
7,8	7,8	68,6	0,893	0,540
8,0	8,0	69,6	0,589	0,559

Tabuľka 11

Tlumivé roztoky (pH)

9. $0,2\text{M-CH}_3\text{COOH}$ a $0,2\text{M-CH}_3\text{COONa}$ (20°C)

α ml roztoku $\text{C}_4\text{H}_4\text{O}_2$ se smisí s $(200-a)$ ml roztoku $\text{C}_2\text{H}_3\text{O}_2\text{Na}$ (27,22 g trihydáruv/1). pH se mení s teplotou jen nepatrně.

pH	α ml $0,2\text{M-C}_2\text{H}_4\text{O}_2$	Iontová sila smiesi I	Pro konst. $I = 0,25$ se na 200 ml přidá $\text{g NaClO}_4 \cdot \text{H}_2\text{O}$	Pro konst. $I = 0,40$ se na 200 ml přidá g KCl	$\text{g NaClO}_4 \cdot \text{H}_2\text{O}$
3,6	185	0,015	3,504	6,602	5,741
3,8	176	0,024	3,370	6,349	5,607
4,0	164	0,036	3,191	6,012	5,428
4,2	147	0,053	2,938	5,534	5,175
4,4	126	0,074	2,624	4,944	4,861
4,6	102	0,098	2,267	4,270	4,504
4,8	80	0,120	1,938	3,652	4,175
5,0	59	0,141	1,625	3,062	3,862
5,2	42	0,156	1,372	2,585	3,609
5,4	29	0,171	1,178	2,219	3,415
5,6	19	0,181	1,029	1,938	3,266
					6,152

10. $0,05\text{M}$ borax a $0,1\text{M}$ citran draselný primární (18°C)

(KOLTHOFF — VLEESCHHOUWER)

50,0 ml roztoku $\text{C}_8\text{H}_7\text{O}_7\text{K}$ (24,82 g monohydrátu nebo 23,02 g bezvodé soli/1) se smisí s α ml roztoku $\text{Na}_2\text{B}_4\text{O}_7 \cdot 10\text{H}_2\text{O}/1$ a objem roztoku se upraví, jak je uvedeno dále.

pH	α ml $0,05\text{M}$ boraxu	Doplnit na objem	α ml $0,05\text{M}$ boraxu	Doplnit na objem
3,8	1,3	100 ml	5,0	54,8
4,0	8,8	100 ml	5,2	62,4
4,2	17,2	100 ml	5,4	69,8
4,4	27,0	100 ml	5,6	76,6
4,6	36,0	100 ml	5,8	83,4
4,8	45,6	100 ml	6,0	88,2

Tlumivé roztoky (pH)

11. $0,1\text{N-NaOH}$ a $0,1\text{M}$ draselný primární (20°C)

(CLARK — LUBS)

50,0 ml roztoku $\text{C}_8\text{H}_7\text{O}_4\text{K}$ (20,422 g/1) smisí s α ml roztoku lounu a doplní na objem 100 ml. pH se mení s teplotou jen nepatrně (do 40°C).

pH	α ml $0,1\text{N-NaOH}$	α ml $0,1\text{N-NaOH}$	pH	α ml $0,1\text{N-NaOH}$	pH	α ml $0,1\text{N-NaOH}$
4,0	4,0	0,40	4,8	17,50	5,6	39,70
4,2	4,2	3,65	5,0	23,65	5,8	43,10
4,4	4,4	7,35	5,2	29,75	6,0	45,40
4,6	4,6	12,00	5,4	35,25		

12. $0,1\text{N-NaOH}$ a $0,1\text{M}$ citran sodný sekundární

(SØRENSEN — WALBUM)

α ml roztoku NaOH se smisí s $(10-a)$ ml roztoku citranu (21,01 g $\text{C}_6\text{H}_8\text{O}_7 \cdot \text{H}_2\text{O}$ a 200 ml N-NaOH se doplní na ltr).

α ml $0,1\text{N-NaOH}$	10°	18°	30°	50°	$0,1\text{N-NaOH}$	10°	18°	30°	50°
0,0	4,93	4,96	5,00	5,07	3,0	5,53	5,57	5,60	5,67
0,5	4,99	5,02	5,06	5,13	4,0	5,94	5,98	6,01	6,08
1,0	5,08	5,11	5,15	5,22	4,5	6,30	6,34	6,37	6,44
2,0	5,27	5,31	5,35	5,42	4,75	6,65	6,69	6,72	6,79

13. $\frac{1}{15}\text{M-KH}_2\text{PO}_4$ a $\frac{1}{15}\text{M-Na}_2\text{HPO}_4$ (18°C)

(SØRENSEN)

α ml roztoku KH_2PO_4 (9,078 g/1) se smisí s $(10-\alpha)$ ml roztoku Na_2HPO_4 (11,876 g dihydrátu). pH se mení s teplotou jen nepatrně.

pH	$\frac{1}{15}\text{M-KH}_2\text{PO}_4$	$\frac{1}{15}\text{M-Na}_2\text{HPO}_4$	pH	$\frac{1}{15}\text{M-KH}_2\text{PO}_4$	pH	$\frac{1}{15}\text{M-KH}_2\text{PO}_4$
3,8	5,59	9,5	6,64	6,0	7,38	2,0
4,0	5,91	9,0	6,81	5,0	7,73	1,0
4,2	6,24	8,0	6,98	4,0	8,04	0,5
4,4	6,47	7,0	7,17	3,0		

Tabuľka II

Tlumivé roztoky (pH)

14. 0,1N-NaOH a 0,1M-KH₂PO₄ (20 °C)
(CLARK—LUBS)

50,0 ml roztoku KH₂PO₄ (13,616 g/l) se smíší s a ml roztoku NaOH a doplní na objem 100 ml.

pH	a ml 0,1N-NaOH	pH	a ml 0,1N-NaOH	pH	a ml 0,1N-NaOH
5,8	3,66	6,8	23,60	7,6	42,74
6,0	5,64	7,0	29,54	7,8	45,17
6,2	8,55	7,2	34,90	8,0	46,85
6,4	12,60	7,4	39,34		
6,6	17,74				

15. 0,05M borax a 0,1M-KH₂PO₄ (18 °C)
(KOLTHOFF—VLEESCHHOFFER)

a ml roztoku KH₂PO₄ (13,616 g/l) se smíší s (10—a) ml roztoku Na₂B₄O₇ (19,108 g dekahydruátu/l).

pH	a ml 0,1M-KH ₂ PO ₄	pH	a ml 0,1M-KH ₂ PO ₄	pH	a ml 0,1M-KH ₂ PO ₄
6,0	8,77	7,2	5,66	8,4	3,80
6,2	8,30	7,4	5,36	8,6	3,20
6,4	7,70	7,6	5,08	8,8	2,48
6,6	7,12	7,8	4,80	9,0	1,32
6,8	6,68	8,0	4,50	9,2	0,00
7,0	6,10	8,2	4,24		

18. 0,05M borax a 0,05M borax
(SØRENSEN—WALBUM)

a ml roztoku HCl se smíší s (10—a) ml roztoku Na₂B₄O₇ (19,108 g dekahydruátu/l) nebo 12,404 g H₃BO₃ a 100 ml n-NaOH v 1 litru.

pH	a ml 0,05M borax	pH			a ml 0,05M borax
		10°	18°	30°	
7,09	0,6	8,08	3,0		8,84
7,36	1,0	8,20	3,5		8,98
7,60	1,5	8,41	4,5		9,11
7,78	2,0	8,60	5,5		9,24
7,94	2,5	8,69	6,0		

19. 0,1N-NaOH a 0,1M-H₃BO₃ v 0,1M-KCl (20 °C)
(CLARK—LUBS)

50,0 ml roztoku H₃BO₃ (6,202 g H₃BO₃ a 7,456 g KCl/l) se smíší s a ml roztoku NaOH a doplní na objem 100 ml.

pH	a ml 0,1N-NaOH	pH			a ml 0,1N-NaOH
		10°	18°	30°	
7,8	2,65	8,6	12,00		9,4
8,0	4,00	8,8	16,40		9,6
8,2	5,90	9,0	21,40		9,8
8,4	8,55	9,2	26,70		10,0

Tlumivé roztoky (pH)

14. 0,1N-NaOH a 0,1M-KH₂PO₄ (20 °C)
(CLARK—LUBS)

50,0 ml roztoku NaOH se smíší s (10—a) ml roztoku glykokolu v 0,1N-NaCl (7,505 g glykokolu a 5,845 g NaCl/l).

pH	a ml 0,1N-NaOH	pH	a ml 0,1N-NaOH	pH	a ml 0,1N-NaOH
10°	18°	30°	50°		
2,0	9,54	9,36	9,08	8,63	
3,0	9,90	9,71	9,42	8,94	
4,0	10,34	10,14	9,83	9,33	

16. 0,1N-NaOH a 0,1M glykokol v 0,1N-NaCl
(SØRENSEN—WALBUM)

a ml roztoku NaOH se smíší s (10—a) ml roztoku glykokolu v 0,1N-NaCl (7,505 g glykokolu a 5,845 g NaCl/l).

pH	a ml 0,1N-NaOH	pH			a ml 0,1N-NaOH
		10°	18°	30°	
7,8	2,65	8,6	12,00		9,4
8,0	4,00	8,8	16,40		9,6
8,2	5,90	9,0	21,40		9,8
8,4	8,55	9,2	26,70		10,0

Tabuľka II

Tlumivé roztoky (pH)

17. 0,05M borax a 0,2M-H₃BO₃ v 0,05N-NaCl (18 °C)

(PALITZSCH)

a ml roztoku Na₂B₄O₇ (19,108 g dekahydruátu/l) se smíší s (10—a) ml roztoku H₃BO₃ v 0,05N-NaCl (12,404 g H₃BO₃ a 2,923 g NaCl/l).

pH	a ml 0,05M borax	pH	a ml 0,05M borax	pH	a ml 0,05M borax
7,09	0,6	8,08	3,0		8,84
7,36	1,0	8,20	3,5		8,98
7,60	1,5	8,41	4,5		9,11
7,78	2,0	8,60	5,5		9,24
7,94	2,5	8,69	6,0		

18. 0,05M borax a 0,05M borax
(SØRENSEN—WALBUM)

a ml roztoku HCl se smíší s (10—a) ml roztoku Na₂B₄O₇ (19,108 g dekahydruátu/l) nebo 12,404 g H₃BO₃ a 100 ml n-NaOH v 1 litru.

pH	a ml 0,05M-HCl	pH			a ml 0,05M-HCl
		10°	18°	30°	
7,64	7,62	7,58	7,52		2,5
7,96	7,94	7,89	7,82		2,0
8,17	8,14	8,09	8,02		1,5
8,32	8,29	8,23	8,15		1,0
8,54	8,51	8,44	8,35		0,5
8,72	8,68	8,61	8,50		0,0

19. 0,1N-NaOH a 0,1M-H₃BO₃ v 0,1M-KCl (20 °C)
(CLARK—LUBS)

50,0 ml roztoku H₃BO₃ (6,202 g H₃BO₃ a 7,456 g KCl/l) se smíší s a ml roztoku NaOH a doplní na objem 100 ml.

pH	a ml 0,1N-NaOH	pH			a ml 0,1N-NaOH
		10°	18°	30°	
7,8	2,65	8,6	12,00		9,4
8,0	4,00	8,8	16,40		9,6
8,2	5,90	9,0	21,40		9,8
8,4	8,55	9,2	26,70		10,0

Tabulka 11

Tlumivé roztoky (pH)

20. 0,1N-NaOH a 0,05M borax

(SÖRENSEN—WALBUM)

a ml roztoku NaOH se smíší s ($10-a$) ml roztoku $\text{Na}_2\text{B}_4\text{O}_7$ (19,108 g dekáhydrátu/l nebo 12,404 g H_3BO_3 a 100 ml n-NaOH v 1 litru).

pH	a ml 0,05M-Na ₂ CO ₃	pH 0,05M-Na ₂ CO ₃	a ml 0,05M-Na ₂ CO ₃	pH 0,05M-Na ₂ CO ₃
9,2	0,0	10,0	75,4	10,6
9,4	35,7	10,2	82,15	10,8
9,6	55,5	10,4	86,9	11,0
9,8	66,7			97,3

21. 0,05M-Na₂CO₃ a 0,05M borax (18 °C)

(KOLTHOFF—VLEESCHHOUWER)

a ml roztoku uhlíčitanu (5,300 g Na₂CO₃/l) se smíší se (100-a) ml roztoku Na₂B₄O₇ (19,108 g dekáhydrátu/l).

pH	a ml 0,05M-Na ₂ CO ₃	pH 0,05M-Na ₂ CO ₃	a ml 0,05M-Na ₂ CO ₃	pH 0,05M-Na ₂ CO ₃
9,2	0,0	10,0	75,4	10,6
9,4	35,7	10,2	82,15	10,8
9,6	55,5	10,4	86,9	11,0
9,8	66,7			97,3

22. 0,1N-NaOH a 0,1M-Na₂HPO₄ (18 °C)

(KOLTHOFF—VLEESCHHOUWER)

50,0 ml roztoku Na₂HPO₄ (17,81 g dihydřátu/l) se smíší s a ml roztoku NaOH a doplní na objem 100 ml.

pH	a ml 0,1N-NaOH	pH 0,1N-NaOH	a ml 0,1N-NaOH	pH 0,1N-NaOH
11,0	8,26	11,4	17,34	11,8
11,2	12,00	11,6	24,50	12,0

Tlumivé roztoky (pH)

23. Tlumivé roztoky s konstantní iontovou silou

(BATES)

Soustava se slabou jednosytnou kyselinou

Iontová sila I	a) Zásaditý zásobní roztok			b) Zásobní roztok kyseliny HCl
	NaA	KCl	KCl	
0,05	0,05M	0,05M	—	0,2M
	0,10	0,05M	0,05M	0,2M
	0,15	0,05M	0,10M	0,2M
	0,20	0,05M	0,15M	0,2M
	0,25	0,05M	0,20M	0,2M

A

Vhodné pro oblast
pH

Soustava se slabou jednosytnou zásadou

Iontová sila I	a) Kyselý zásobní roztok			b) Zásobní roztok zásady NaOH
	B. HCl	KCl	KCl	
0,05	0,05M	—	—	0,2M
	0,10	0,05M	0,10M	0,2M
	0,15	0,05M	0,15M	0,2M
	0,20	0,05M	0,20M	0,2M
	0,25	0,05M	0,25M	0,2M

B

Vhodné pro oblast
pH

triethanolamin	7,0 — 8,5
tris(hydroxymethyl)-	7,2 — 9,0
aminomethan	8,2 — 9,2
amoníak	8,6 — 10,4
ethanolamin	

Mísi se zásobní roztoky a a b . Iontová síla zůstává konstantní do molárního poměru reagujících složek 1 : 1. pH směsi nutno změřit pH-metrem.

Tabulka 12

Střední aktivitní koeficienty γ_{\pm} při 25 °CStřední aktivitní koeficienty γ_{\pm} při 25 °C

m	HBr	HCl	HClO ₄	HNO ₃	H ₂ SO ₄	NaOH	KOH	
0,001	0,966	—	0,965	0,830	—	—	—	0,89
0,002	—	0,952	—	0,951	0,757	—	—	0,85
0,003	—	—	—	—	0,709	—	—	0,785
0,005	0,930	0,928	—	0,927	0,639	—	—	0,773
0,007	—	—	—	—	0,591	—	—	0,712
0,01	0,906	0,905	—	0,902	0,544	—	—	0,627
0,02	0,879	0,876	—	0,871	0,453	—	—	0,526
0,03	—	—	—	—	0,401	—	—	0,443
0,05	0,838	0,830	—	0,823	0,340	0,818	0,82	0,2
0,07	—	—	—	—	0,301	—	—	0,5
0,1	0,805	0,796	0,803	0,791	0,265	0,766	0,798	1,0
0,2	0,782	0,767	0,778	0,754	0,209	0,727	0,760	1,4
0,3	0,777	—	0,768	0,735	—	0,708	0,742	2,0
0,4	0,781	—	0,766	0,725	—	0,697	0,734	2,5
0,5	0,789	0,757	0,769	0,720	0,154	0,690	0,732	3,0
0,6	0,801	—	0,776	0,717	—	0,685	0,733	4,0
0,7	0,815	—	0,785	0,717	—	0,681	0,736	—
0,8	0,832	—	0,795	0,718	—	0,679	0,742	—
0,9	0,850	—	0,808	0,721	—	0,678	0,749	—
1,0	0,871	0,809	0,823	0,724	0,130	0,678	0,756	—
1,2	—	—	0,858	0,734	—	0,681	0,776	—
1,4	—	—	0,900	0,745	—	0,686	0,800	—
1,5	—	0,896	—	—	0,124	—	—	—
1,6	—	—	0,947	0,758	—	0,692	0,827	—
1,8	—	—	0,998	0,775	—	0,700	0,856	—
2,0	1,17	1,009	1,055	0,793	0,124	0,709	0,888	—
2,5	—	—	1,227	0,846	—	0,743	0,974	0,1
3,0	1,67	1,316	1,448	0,909	0,141	0,784	1,081	0,2
4,0	—	1,762	2,08	—	0,171	0,903	1,352	0,5
5,0	—	2,38	3,11	—	0,212	1,077	1,72	1,0
6,0	—	3,22	4,76	—	0,264	1,299	2,20	1,4
7,0	—	4,37	—	—	0,326	1,603	2,88	—
8,0	—	5,90	—	—	0,397	2,01	3,77	2,5
9,0	—	7,94	—	—	0,470	2,55	4,86	3,0
10,0	—	10,44	—	—	0,553	3,23	6,22	4,0

m	Ba(OH) ₂	AgNO ₃	AlCl ₃	Al(NO ₃) ₃	CaCl ₂	Ca(NO ₃) ₂	CdI ₂
0,001	—	—	—	—	—	—	0,76
0,002	—	—	—	—	—	—	0,65
0,003	—	—	—	—	—	—	0,49
0,005	—	—	—	—	—	—	0,38
0,007	—	—	—	—	—	—	0,28
0,01	—	—	—	—	—	—	0,17
0,02	—	—	—	—	—	—	0,058
0,05	—	—	—	—	—	—	0,038
0,1	—	—	—	—	—	—	0,025
0,2	—	—	—	—	—	—	—
0,5	—	—	—	—	—	—	—
0,1	—	—	—	—	—	—	—
0,2	—	—	—	—	—	—	—
0,5	—	—	—	—	—	—	—
1,0	—	—	—	—	—	—	—
2,0	—	—	—	—	—	—	—
5,0	—	—	—	—	—	—	—
10,0	—	—	—	—	—	—	—

Tabulka 12

Sřední aktivitní koeficienty γ_{\pm} při 25 °CSřední aktivitní koeficienty γ_{\pm} při 25 °C

m	KJ	KNO ₃	K ₂ CrO ₄	K ₂ SO ₄	LiCl	LiClO ₄	LiNO ₃
0,001	0,965	—	—	0,89	0,963	0,967	0,966
0,002	0,951	—	—	—	0,948	0,956	0,953
0,005	0,927	—	—	0,78	0,921	0,935	0,930
0,01	0,905	—	—	0,71	0,89	0,915	0,904
0,02	0,88	—	—	0,64	0,86	0,890	0,878
0,05	0,84	—	—	0,52	0,82	0,853	0,834
0,1	0,80	0,739	0,455	0,43	0,78	0,825	0,798
0,2	0,76	0,663	0,379	0,36	0,75	0,805	0,765
0,5	0,71	0,545	0,292	—	0,73	0,82	0,743
1,0	0,68	0,445	0,236	—	0,76	0,91	0,76
1,4	—	0,390	0,214	—	—	—	1,4
2,0	0,69	0,333	0,197	—	0,91	—	2,0
2,5	—	0,297	—	—	—	—	2,5
3,0	0,72	0,269	—	—	1,18	—	3,0
4,0	0,75	—	—	—	1,46	—	4,0

m	MgCl ₂	Mg(NO ₃) ₂	MgSO ₄	NH ₄ Cl	NH ₄ NO ₃	(NH ₄) ₂ SO ₄	NaBr
0,001	—	0,88	—	0,961	0,959	0,874	0,966
0,002	—	0,84	—	0,944	0,942	0,821	0,955
0,005	—	0,77	—	0,911	0,912	0,726	0,934
0,01	—	0,71	0,40	0,88	0,88	0,67	0,914
0,02	—	0,64	0,32	0,84	0,84	0,59	0,887
0,05	—	0,55	0,22	0,79	0,78	0,48	0,844
0,1	0,56	0,51	0,18	0,74	0,73	0,40	0,800
0,2	0,520	0,46	0,13	0,69	0,66	0,32	0,740
0,5	0,514	0,44	0,088	0,62	0,56	0,22	0,695
1,0	0,613	0,50	0,064	0,57	0,47	0,16	0,686
1,4	0,764	—	—	—	—	—	1,4
2,0	1,143	0,69	0,055	—	—	—	0,734
2,5	—	—	—	—	—	—	0,772
3,0	2,1	0,93	0,064	—	—	—	0,826
4,0	—	—	—	—	—	—	0,934

m	NaC ₂ H ₃ O ₂	NaCl	NaClO ₄	NaNO ₃
0,001	—	—	0,966	0,97
0,002	—	—	0,953	0,95
0,005	—	—	0,929	0,93
0,01	—	—	0,904	0,90
0,02	—	—	0,875	0,87
0,05	—	—	0,823	0,82
0,1	0,791	0,778	0,775	0,75
0,2	0,757	0,735	0,729	0,71
0,5	0,735	0,681	0,668	0,62
1,0	0,757	0,657	0,629	—
1,4	0,789	0,655	0,616	—
2,0	0,851	0,668	0,609	—
2,5	0,914	0,688	0,609	—
3,0	0,982	0,714	0,611	—
4,0	—	0,783	0,626	—

m	Na ₂ SO ₄	NaCl ₂	UO ₂ (ClO ₄) ₂	UO ₂ (NO ₃) ₂	ZnCl ₂	ZnSO ₄
0,001	0,887	—	—	—	—	0,88
0,002	0,847	—	—	—	—	0,84
0,005	0,778	—	—	—	—	0,77
0,01	0,714	—	—	—	—	0,71
0,02	0,641	—	—	—	—	0,64
0,05	0,53	—	—	—	—	0,56
0,1	0,45	0,526	0,626	0,551	0,50	0,150
0,2	0,36	0,483	0,634	0,520	0,45	0,104
0,5	0,27	0,468	0,790	0,542	0,38	0,063
1,0	0,20	0,542	1,390	0,689	0,33	0,043
1,4	1,4	—	0,660	2,38	0,868	—
2,0	—	0,938	5,91	—	—	0,035
2,5	—	—	13,37	—	—	0,037
3,0	—	—	30,9	—	—	0,041
4,0	—	—	160,2	2,68	—	—

Tabulka 12

Aktivitní koeficienty

KIELLANDOVY parametry α

α	Ionty anorganické organické	Iontová síla I			
11	Ce^{4+} , Sr^{4+} , Th^{4+} , Zr^{4+}	0,0005	0,001	0,0025	0,005
9	H^+ , Al^{3+} , Cr^{3+} , Fe^{3+} , In^{3+} , Sc^{3+} , kovy vzácných zemin			0,01	0,025
8	Be^{2+} , Mg^{2+}			0,05	0,1
6	Li^+ , Ca^{2+} , Co^{2+} , Cu^{2+} , Fe^{2+} , Mn^{2+} , Ni^{2+} , Sn^{2+} , Zn^{2+} , $(\text{Co en}_3)_3^+$	9	0,975	0,967	0,950
5	Ba^{2+} , Cd^{2+} , Hg^{2+} , Sr^{2+} , S^{2-} , $\text{S}_2\text{O}_3^{2-}$, WO_4^{2-} , $[\text{Fe}(\text{CN})_6]^{4-}$	6	0,975	0,965	0,948
4,5	Na^+ , Pb^{2+} , ClO_4^- , JO_3^- , HCO_3^- , HSO_4^- , H_2AsO_4^- , CO_3^{2-} , MoO_4^{2-} , SO_3^{2-}	5	0,975	0,964	0,947
4	Hg_2^{2+} , CrO_4^{2-} , HPO_4^{2-} , SO_4^{2-} , $\text{S}_2\text{O}_3^{2-}$, SeO_4^{2-} , PO_4^{3-} , $\text{[Fe}(\text{CN})_6]^{3-}$, $[\text{Co}(\text{NH}_3)_6]^{3+}$	4,5	0,975	0,964	0,947
3,5	OH^- , BrO_3^- , ClO_3^- , ClO_4^- , F^- , JO_4^- , MnO_4^- , SH^- , SCN^-	4	0,975	0,964	0,946
3	K^+ , Br^- , CN^- , Cl^- , J^- , NO_2^- , NO_3^-	9	0,802	0,738	0,632
2,5	Ag^+ , Cs^+ , NH_4^+ , Rb^+ , Tl^+	6	0,798	0,731	0,620

Dielektrické konstanty čistých rozpouštědel

ϵ	t °C	ϵ	t °C	ϵ	t °C
aceton	20,7	25	1,2-dichlorethan	10,65	20
acetonitril	37,5	20	dioxan	2,209	25
benzen	2,284	20	ethanol	24,30	25
benzoan ethylnatý	6,02	20	ethylendiamin	14,2	20
benzonitril	25,20	25	ethylether	4,335	20
benzylalkohol	13,1	20	formamid	109	20
1-butanol	17,1	25	chlorobenzén	5,708	20
2-butanol	15,8	25	chlorid uhlíctý	2,238	20
butylether	3,06	25	chloroform	4,806	20
cyklohexan	2,023	20	chinolin	9,00	25
cyklohexanol	15,0	25	methanol	33,62	20
cyklohexanon	18,3	20	4-methyl-2-pentanon	13,1	20

Dielektrické konstanty čistých rozpouštědel

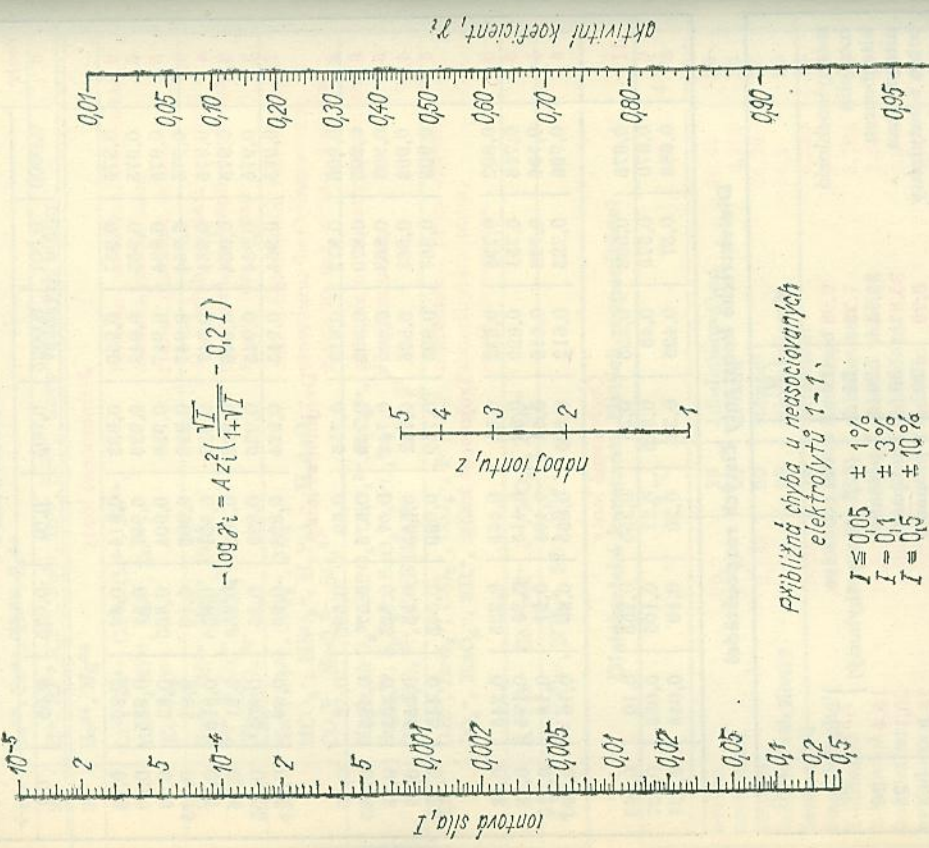
ϵ	t °C	ϵ	t °C	ϵ	t °C
methylenechlorid	9,08	20	octan cellosolve	20	30
morfolin	7,33	25	(o, β -ethoxyethyl)natý	7,57	15,4
nitrobenzen	35,74	20	2-pantan	20,1	25
nitromethan	35,87	30	1-propanol	18,3	25
octan i-butylnatý	5,29	20	2-propanol	12,3	25
octan n-butylnatý	5,01	20	pyridin	80,37	20
octan ethynatý	6,02	25	voda		

Tabulka 12

Aktivní koeficienty

Nomogram pro výpočet individuálních aktivitních koeficientů

podle DAVIESOVY rovnice



Disociacní konstanty kyselin při 25 °C

Tabulka 13

Kyselina (ion)	pK _a	(pK _a) _e	I	(pK _a) _c	Poznámka
adipová, pK ₁	4,42	—	—	—	—
pK ₂	5,41	—	—	—	—
amidosulfonová	0,988	—	—	—	—
amonium	9,245	9,67	2 (20°)	8,79	60% MeOH (20°)
anilinium	4,62	—	—	4,42	50 mol. % EtOH
arseničná, pK ₁	2,19	—	—	—	—
pK ₂	6,94	—	—	—	—
pK ₃	11,50	—	—	—	—
arsenitá	9,294	—	—	—	—
askorbová, pK ₁	—	4,04	0,1	—	—
pK ₂	—	11,34	0,1	—	—
barbiturová	—	3,97	?	—	—
benzhydroxamová	—	8,79	0,1 (20°)	—	—
benzoová	4,20	—	—	5,79	50% dioxan
benzylamonium	—	9,62	0,5	9,36	50% EtOH
boritá	9,237	—	—	9,00	$I = 3$
citronová, pK ₁	3,128	2,52	1 (20°)	—	—
pK ₂	4,761	3,81	1 (20°)	—	—
pK ₃	6,396	4,91	1 (20°)	—	—
cyklohexan-1,2-di-	pK ₁	—	—	—	—
aminotetraoctová	pK ₂	—	—	—	—
(chelaton 4)	pK ₃	—	—	—	—
diethanolamonium	pK ₄	—	—	—	—
diethylamonium	—	9,00	0,5	8,73	50 mol. % EtOH
4,5-dihydroxybenzen-	—	—	—	10,36	50 mol. % EtOH
1,3-disulfonová,	pK ₃	8,31	7,16	1	—
(tiron)	pK ₄	13,07	11,6	1	—
dichloroctová	—	—	1,30	?	—
dimethylamonium	—	—	10,86	?	11,07
2,2'-dipyridylum	4,35	4,49	0,1 (20°)	3,94	75% EtOH (20°)
dusikovodíková (azoimid)	4,72	4,34	0,5 (22°)	—	—
dusitá	—	3,29	0,07	2,80	$I = 1$

Zkratky: EtOH — ethanol, MeOH — methanol

Tabulka 13

Disociační konstanty kyselin při 25 °C

Disociační konstanty kyselin při 25 °C

Kyselina (ion)	pK _a	(pK _a) _c	I	(pK _a) _c	Poznámka
dvojfosforečná, pK ₁ pK ₂ pK ₃ pK ₄	1,52	—		1,7	I = 1 Me ₄ NBr
	2,36	—		1,95	I = 1 Me ₄ NBr
	6,60	—		5,95	I = 1 Me ₄ NBr
	9,35	—	1 (30°)	8,74	I = 1 Me ₄ NBr
ethanolamonium	9,498	9,34	—	9,34	50 mol.-% EtOH
ethylammonium	10,67	—	—	—	—
ethylendiamintetra-					
octová, pK ₁	—	1,99	0,1 (20°)	—	
(chelaton 2) pK ₂	—	2,67	0,1 (20°)	—	
pK ₃	—	6,16	0,1 (20°)	—	
pK ₄	—	10,26	0,1 (20°)	—	
ethylendiamonium, pK ₁	7,18	7,49	1	6,2	75 % dioxan
pK ₂	9,96	10,17	1	9,2	75 % dioxan
1,10-fenantrolinium	4,96	4,96	0,4	—	—
fenol	9,98	—	—	—	—
fenyloctová	3,17	4,557	3	—	—
fluorovodíková	0,59	2,91	0,5	(pro HF + F ⁻ ⇌ HF ₂ ⁻)	
fosforečná, pK ₁ pK ₂ pK ₃	2,16	1,61	?	1 (18°)	I = 1 Me ₄ NBr
	7,21	6,62	?	1 (18°)	I = 1 Me ₄ NBr
	12,32	11,25	?	1 (18°)	I = 1 Me ₄ NBr
fosforitá, pK ₁	—	2,00	?	1 (18°)	—
pK ₂	—	6,58	?	1 (18°)	—
fosforná	1,23	1,07	?	1 (18°)	—
ftalová, pK ₁	2,95	2,67	1	—	—
pK ₂	5,41	4,73	1	—	—
fumarová, pK ₁	3,02	—	—	—	—
pK ₂	4,39	—	—	—	—
glycinium, pK ₁	2,335	2,43	1 (20°)	4,2	75 % dioxan (30°)
pK ₂	9,78	9,76	1 (20°)	10,7	75 % dioxan (30°)
glykolová	3,882	3,63	1 (20°)	3,92	I = 3
hydrazinium	7,99	—	—	—	—
hydroxylamoniun	5,98	—	—	—	—

Kyselina (ion)	pK _a	(pK _a) _c	I	(pK _a) _c	Poznámka
chinolinium	—	—	—	1,97 (20°)	50 mol.-% EtOH
	7,53	—	—	7,53	—
	—	—	—	2,66	1 (20°)
	—	—	—	—	3,19 20 % EtOH
chloroctová	—	—	—	0,98	—
chromová, pK ₁	—	—	—	6,49	—
pK ₂	—	—	—	1,64	(pro 2 HCrO ₄ ⁻ ⇌ Cr ₂ O ₇ ²⁻ + H ₂ O)
iminodiicotová, pK ₁	—	—	—	2,98 (20°)	—
pK ₂	—	—	—	9,89 (20°)	—
jablečná, pK ₁	—	—	—	3,458	2,96
pK ₂	—	—	—	—	1
jantarová, pK ₁	—	—	—	5,097	4,26
pK ₂	—	—	—	4,207	—
jodičná	—	—	—	5,636	—
iodistá (HJO ₄)	—	—	—	0,848	—
(H ₃ JO ₆), pK ₁	—	—	—	1,55	—
pK ₂	—	—	—	3,29	—
křemičitá, pK ₁	—	—	—	9,85 (20°)	—
pK ₂	—	—	—	6,69	—
kyanovodíková	—	—	—	11,8 (20°)	9,46 0,5
maleinová, pK ₁	—	—	—	9,22	0,5
pK ₂	—	—	—	1,92	—
malonová, pK ₁	—	—	—	6,22	—
pK ₂	—	—	—	2,85	2,69 0,2 (20°)
merkaptooctová, pK ₁	—	—	—	5,67	5,24 0,2 (20°)
pK ₂	—	—	—	3,60	—
mléčná	—	—	—	10,55	—
morfolinium	—	—	—	3,862	3,739 0,2 (20°)
mravenčí	—	—	—	—	8,70 0,5
nitrilotriicotová, pK ₁	—	—	—	3,752	3,1 1 (20°)
(chelaton 1) pK ₂	—	—	—	3,03 (20°)	1,89 0,1 (20°)
pK ₃	—	—	—	3,07 (20°)	2,49 0,1 (20°)
hydroxylamoniun	—	—	—	10,7 (20°)	9,73 0,1 (20°)

Zkratky: EtOH — ethanol, Me₄NBr — tetramethylammoniumbromid

Tabuľka 13

Disociační konstanty kyselin při 25 °C

Přepočet termodynamických konstant K

Kyselina (ion)	pK _a	(pK _a) _o	I	(pK _a) _o	Poznámka
octová	4,756	4,55	1 (20°)	5,014	I = 3
pikrová	—	0,38	?	—	
piperazinium, pK ₁	—	5,68	0,1 (20°)	—	
piperidinium	11,123	—	9,82	0,1 (20°)	—
propionová	4,874	4,66	1 (20°)	5,29	20 % EtOH
pyridinium	5,18	5,45	0,5	4,34	50 mol. % EtOH
pyrosilizová	3,164	—	—	—	
salicylová, pK ₁	2,98	3,86	3	7,00	75 % dioxan (30°)
pK ₂	13,4	13,12	3	15,5	75 % dioxan (30°)
sírová,	1,89	1,36	0,5	2,62	20 % EtOH
sirovodík,	pK ₁	7,07	—	—	
pK ₂	12,20	—	—	—	
sířičitá,	pK ₁	1,764	1,37	1M	
pK ₂	7,205	6,34	1M	—	
sulfanilová	—	3,19	?	—	
5-sulfosalicylová, pK ₁	—	2,49	0,1	2,67	I = 3
pK ₃	—	12,00	0,1	11,74	I = 3
štavelová, pK ₁	1,25	1,19	0,5	1,62	I = 2,5 (27,4°)
pK ₂	4,285	4,21	0,5	3,66	I = 2,5 (27,4°)
thiosirová, pK ₁	0,60	—	—	—	
pK ₂	1,72	—	—	—	
triethanolammonium	—	7,90	0,5	7,40	50 mol. % EtOH
triethylammonium	—	10,80	?	9,73	50 mol. % EtOH
trichloroctová	—	0,89	?	—	
trimethylammonium	—	9,87	?	9,91	I ~ 0,1 (15°)
tris-(hydroxymethyl)-	—	8,10	?	(23°)	
-methylammonium	—	6,33	3,5	—	
uhličitá, pK ₁	6,352	6,33	3,5	—	
pK ₂	10,329	9,56	3,5	—	
vinná, pK ₁	3,036	2,37	1 (20°)	14,3	75 % dioxan (30°)
pK ₂	4,366	3,41	1 (20°)	16,5	75 % dioxan (30°)

na koncentrační konstanty K_c jako funkce iontové sily I vodného roztoku při 25 °C
Základem výpočtu je rozšířená rovnice DEBYEHO—HÜCKEHOVÁ a KIELLANDŮV
parametr $\alpha = 3$

$$pK_t = pK - N \frac{\sqrt{I}}{1 + \sqrt{I}}$$

N	pro rovnováhu acidobazickou	pro součin rozpustnosti
1	pK_1 $(H_4A \rightleftharpoons H^+ + H_3A^-)$ $(HA \rightleftharpoons H^+ + A^-)$	elektrolyt 1—1 (TlCl)
2	pK_2 $(H_3A^- \rightleftharpoons H^+ + H_2A^{2-})$	—
3	pK_3 $(H_2A^{2-} \rightleftharpoons H^+ + HA^{3-})$	elektrolyt 1—2 ($PbCl_2$, Ag_2CrO_4)
4	pK_4 $(HA^{3-} \rightleftharpoons H^+ + A^{4-})$	elektrolyt 2—2 ($CaSO_4$)
6	—	elektrolyt 1—3 (BiJ_3 , Ag_3PO_4)
	$\frac{V_I}{1 + \sqrt{I}}$	$\frac{V_I}{1 + \sqrt{I}}$
	I	I
	$\frac{V_I}{1 + \sqrt{I}}$	$\frac{V_I}{1 + \sqrt{I}}$
	I	I
	$\frac{V_I}{1 + \sqrt{I}}$	$\frac{V_I}{1 + \sqrt{I}}$

Zkratky: EtOH — ethanol

Tabulka 13

Konstanty stability komplexů při 25 °C

Konstanty stability komplexů při 25 °C

	Ion	$\log K_1$	$\log K_2$	$\log K_3$	$\log K_4$	$\log K_5$	$\log K_6$	I
Chlorid								
Ag ⁺	3,04	2,00	0,00	0,26				
B ³⁺	2,00	0,70	-0,59					
Cd ²⁺	1,42	0,50	-0,16					
Co ³⁺	0,69	-0,18			2 NaClO ₄			
Cu ²⁺	0,98	-0,29	-0,14	-0,55	0,7 HClO ₄ (20°)			
Fe ²⁺	0,36	0,04			0,7 HClO ₄ (20°)			
Fe ³⁺	1,48	0,65	-1,0		2 HClO ₄ (20°)			
Ga ³⁺	-0,6	-1,7	-2,2	-1,3	0,5 NaClO ₄			
Hg ²⁺	6,74	6,48	0,85	1,00	0,7 HClO ₄ (20°)			
In ³⁺	2,27	1,40	0,47		0,7 HClO ₄ (20°)			
Mn ²⁺	0,59	-0,33	-0,62		2 NaClO ₄			
Ni ²⁺	-0,25	0,20						
Pb ²⁺	1,10	1,16	-0,40	-1,05				
Pd ²⁺	6,1	4,6	2,4	2,6				
Sn ²⁺	1,51	0,73	-0,21	-0,55				
Tl ³⁺	7,50	4,50	2,75	2,25	1,95	1,75		
U ⁴⁺	0,85							
UO ₂ ²⁺	-0,1	-0,82	-1,70					
Zn ²⁺	0,72	-0,23	-0,68	0,37				
Kyanid								
Ag ⁺					β_2 19,85			
Au ⁺					β_2 38,3			
Cd ²⁺	5,48	5,14	4,56	3,58	3 NaClO ₄			
Cu ⁺	β_2 24,0	4,59	1,70					
Fe ²⁺					β_6 24			
Fe ³⁺					β_6 31			
Hg ²⁺								
Ni ²⁺	β_2 35,21	3,64	2,62		β_4 30,1	1 NaNO ₃ (18°)		
Pt ²⁺					β_4 41,0			
Zn ²⁺					β_4 16,72			

	Ion	$\log K_1$	$\log K_2$	$\log K_3$	$\log K_4$	$\log K_5$	$\log K_6$	I
Fluorid								
Al ³⁺		6,13	5,02	3,85	2,74	1,63	0,47	0,5 KNO ₃
Cl ³⁺		3,99						
Cr ³⁺		5,20						
		4,36	3,34	2,48				0,5 NaClO ₄
Cu ²⁺		1,23						
		0,70						0,5 NaClO ₄
Fe ³⁺		5,17	3,92	2,91				0,5 NaClO ₄
Ga ³⁺		5,86						
		5,02						0,5 NaClO ₄
Hg ²⁺		1,56						
		1,03						0,5 NaClO ₄
In ³⁺		4,63						
		3,78	2,64					0,5 NaClO ₄
Mg ²⁺		1,82						
		1,30						0,5 NaClO ₄
Ni ²⁺		0,66						1 NaClO ₄ (20°)
Sc ³⁺		7,08						
		6,19	5,28	4,08				0,5 NaClO ₄
Th ⁴⁺		8,65						
Zn ²⁺		1,26						
		0,73						0,5 NaClO ₄
Zr ⁴⁺		9,80						
BIII		20,0 (pro H ₃ BO ₃) + 3 H ⁺ + 4 F ⁻ - 2 [BF ₄] ⁻ + 3 H ₂ O						?

Tabulka 13

Konstanty stability komplexů při 25 °C

Konstanty stability komplexů při 25 °C

Ion	$\log K_1$	$\log K_2$	$\log K_3$	$\log K_4$	$\log K_5$	$\log K_6$	I
8-Hydroxychinolin							
Ba ²⁺	2,07						(20°)
Ca ²⁺	3,27						(20°)
Cd ²⁺	7,78	6,2			0,01		(20°)
Co ²⁺	7,2	6,2					
Co ²⁺	8,65				0,01		(20°)
Cu ²⁺	9,1	8,1			0,01		
Cu ²⁺	12,56						(20°)
Fe ²⁺	8,0	7,0			0,01		(20°)
Fe ³⁺	12,3	11,2			0,01		(20°)
Mg ²⁺	4,5				0,01		(20°)
Mn ²⁺	6,8	5,8			0,01		(20°)
Ni ²⁺	9,9	8,8			0,01		(20°)
Pb ²⁺	9,02						(20°)
Sr ²⁺	2,56						(20°)
Zn ²⁺	2,89	0,30					(20°)
Zn ²⁺	8,56						
Amoniak (všechny údaje pro 30 °C)							
Ag ⁺	3,20	3,83				2 NH ₄ NO ₃	
Cd ²⁺	2,51	1,96	1,30	0,79			
	2,65	2,10	1,44	0,93	-0,32	-1,66	2 NH ₄ NO ₃
Co ²⁺	1,99	1,51	0,93	0,64	0,06	-0,74	
	2,11	1,63	1,05	0,76	0,18	-0,62	2 NH ₄ NO ₃
Co ³⁺	(7,3)	(6,1)	(5,6)	5,05	4,41	2 NH ₄ NO ₃	
Cu ⁺	5,93	4,93				2 NH ₄ NO ₃	(18°)
Cu ²⁺	3,99	3,34	2,73	1,97			
	4,15	3,50	2,89	2,13		2 NH ₄ NO ₃	
Hg ²⁺	8,8	8,7	1,00	0,78		2 NH ₄ NO ₃ (~ 22°)	
Ni ²⁺	2,67	2,12	1,61	1,07	0,63	-0,09	
	2,80	2,24	1,73	1,19	0,75	0,03	2 NH ₄ NO ₃
Zn ²⁺	2,18	2,25	2,31	1,96			
	2,37	2,44	2,50	2,15		2 NH ₄ NO ₃	

Ion	$\log K_1$	$\log K_2$	$\log K_3$	$\log K_4$	$\log K_5$	$\log K_6$	I
Štavelan							
Al ³⁺		7,26	4,85	1,31			?
Cd ²⁺		4,00	1,77				
Cr ³⁺		6,52	3,96	0,82			
Co ²⁺		4,79	1,9				?
					β_3	9,7	(18°)
Cu ²⁺		6,19	4,04				
Fe ²⁺		β_3	4,52	0,70			0,5 NaClO ₄
Fe ³⁺		9,84	6,20	3,70			0,5 NaClO ₄
Mg ²⁺					β_3	17,96	?
Mn ²⁺					β_2	4,38	
Mn ³⁺							2 HClO ₄
Ni ²⁺		5,16	1,35				
Pb ²⁺					β_2	6,54	?
							(18°)
Zn ²⁺							?
							(t ?)
1,10-Fenantrolin							
Ag ⁺		5,02	7,05				0,1
Cd ²⁺		5,78	5,04				NaNO ₃ (20°)
Co ²⁺		7,25	6,70				0,1 NaNO ₃ (20°)
Cu ²⁺		9,25	6,75	5,35			0,1 NaNO ₃ (20°)
Fe ²⁺					β_3	21,3	0,1 NaNO ₃ (20°)
Fe ³⁺					β_2	14,10	0,1 KCl
Hg ²⁺							0,1 NaNO ₃ (20°)
Mg ²⁺							0,1 KNO ₃ (20°)
Mn ²⁺							0,1 NaNO ₃ (20°)
Ni ²⁺							0,1 NaNO ₃ (20°)
Pb ²⁺							0,1 NaNO ₃ (20°)
V ⁴⁺							0,082
Zn ²⁺							0,1 NaNO ₃ (20°)

Tabulka 13

Konstanty stability komplexů při 25 °C

Kyselina ethylendiamintetraoctová

Tabulka 13 Konstanty stability komplexů při 25 °C

Ion	log K_1	20 °C		25 °C		I
		I	log K_1	I	log K_1	
Ag ⁺	7,32	0,1 KNO ₃ 0,1 KNO ₃				
Al ³⁺	16,13	0,1 KCl	7,9	0,1 NaClO ₄		
Ba ²⁺	7,76	0,1 KCl	10,7	0,1 NaClO ₄		
Ca ²⁺	10,59	0,1 KCl	16,4	0,1 NaClO ₄		
Cd ²⁺	16,59	0,1 KCl				
Co ²⁺	15,80	0,1 KCl				
Cr ³⁺	16,21	0,1 KCl				
Co ³⁺	36	0,1 KCl				
Cu ²⁺	18,79	0,1 KCl	18,7	0,1 NaClO ₄		
Er ³⁺	18,98	0,1 KCl				
Fe ²⁺	14,33	0,1 KCl	14,33	0,1 KNO ₃		
Fe ³⁺	25,1	0,1 KCl	25,1	0,1 KNO ₃		
Ga ³⁺	20,27	0,1 KNO ₃				
Gd ³⁺	17,2	0,1 KCl				
Hg ²⁺	21,80	0,1 KNO ₃	22,1	0,1 NaClO ₄		
In ³⁺	24,95	0,1 KNO ₃				
La ³⁺	15,13	0,1 KCl				
Li ⁺	2,79	0,1 KCl				
Mg ²⁺	8,69	0,1 KCl	8,9	0,1 NaClO ₄		
Mn ²⁺	13,58	0,1 KCl	13,8	0,1 NaClO ₄		
Na ⁺	1,66	0,1 KCl				
Nd ³⁺	16,47	0,1 KCl				
Ni ²⁺	18,56	0,1 KCl				
Pb ²⁺	18,3	0,1 KCl	17,9	0,1 NaClO ₄		
Pd ²⁺	—		18,5	0,2 HClO ₄		
Sc ³⁺	23,1	0,1 KNO ₃				
Sr ²⁺	8,63	0,1 KCl	8,7	0,1 NaClO ₄		
Tl ⁴⁺	23,2	0,1 KNO ₃				
V ³⁺	25,9	0,1 KCl				
VO ²⁺	18,77	0,1 KCl				
Y ³⁺	17,38	0,1 KCl				
Zn ²⁺	16,26	0,1 KCl	16,4	0,1 NaClO ₄		
Zr ⁴⁺	—		19,40	0,1 NaClO ₄		

4,5-Dihydroxybenzen-1,3-disulfonan (Tiron)						
Ion	log K_1	log K_2	log K_3	log K_4	log K_5	I
Al ³⁺	19,02	12,08	2,4			
Cd ²⁺	10,29	7,69	5,60			1 NaClO ₄
Co ²⁺	10,78	8,19	6,22			1 NaClO ₄
Cu ²⁺	15,62	12,76	10,97			1 NaClO ₄
Fe ³⁺	13,38	3,2				
Ni ²⁺	11,24	8,56	6,34			1 NaClO ₄
Pb ²⁺	14,77	11,95	6,33			1 NaClO ₄
Zn ²⁺	11,68	9,00	7,91			1 NaClO ₄
5-Sulfosalicylan						
Al ³⁺	13,20	9,63	6,06			0,1 NaClO ₄
Be ²⁺	11,71	9,10				0,1 NaClO ₄
Co ²⁺	6,13	3,69				0,1 NaClO ₄
Cr ³⁺	9,56					0,1 NaClO ₄
Cu ²⁺	9,52	6,93				0,1 NaClO ₄
Fe ²⁺	5,90	4,0				0,1—0,15 KCl (20°)
Fe ³⁺	14,60	10,55				0,1—0,15 KCl (20°)
Mn ²⁺	5,24	3,00				0,1 NaClO ₄
Ni ²⁺	6,42	3,82				0,1 NaClO ₄
UO ₂ ²⁺	11,14	8,06				0,1 NaClO ₄
Zn ²⁺	6,05	4,6				0,1—0,15 KCl (20°)

Tabulka 14

Standardní a formální redukční potenciály

Standardní a formální redukční potenciály

Soustava	E°	E'	Soustava	E°	E'
$\text{Ag}^+ + \text{e} \rightleftharpoons \text{Ag}$	+0,799		$\text{Ca}^{2+} + 2 \text{e} \rightleftharpoons \text{Ca}$		-2,87
$\text{AgBr} + \text{e} \rightleftharpoons \text{Ag} + \text{Br}^-$	+0,071		$\text{Ca}(\text{OH})_2 + 2 \text{e} \rightleftharpoons \text{Ca} + 2 \text{OH}^-$		-3,03
$[\text{Ag}(\text{CN})_2]^- + \text{e} \rightleftharpoons \text{Ag} + 2 \text{CN}^-$	-0,31		$\text{Cd}^{2+} + 2 \text{e} \rightleftharpoons \text{Cd}$		-0,402
$\text{AgC}_2\text{H}_5\text{O}_2 + \text{e} \rightleftharpoons \text{Ag} + \text{C}_2\text{H}_5\text{O}_2^-$	+0,643		$[\text{Cd}(\text{CN})_4]^{3-} + 2 \text{e} \rightleftharpoons \text{Cd} + 4 \text{CN}^-$		-1,03
$\text{AgCl} + \text{e} \rightleftharpoons \text{Ag} + \text{Cl}^-$	+0,222		$[\text{Cd}(\text{NH}_3)_4]^{3+} + 2 \text{e} \rightleftharpoons \text{Cd} + 4 \text{NH}_3$		-0,597
$\text{AgJ} + \text{e} \rightleftharpoons \text{Ag} + \text{J}^-$	-0,152		$\text{Cd}(\text{OH})_2 + 2 \text{e} \rightleftharpoons \text{Cd} + 2 \text{OH}^-$		-0,809
$[\text{Ag}(\text{NH}_3)]^+ + \text{e} \rightleftharpoons \text{Ag} + 2 \text{NH}_3$	+0,373		$\text{CdS} + 2 \text{e} \rightleftharpoons \text{Cd} + \text{S}^{2-}$		-1,2
$[\text{Ag}(\text{SO}_4)_2]^{3-} + \text{e} \rightleftharpoons \text{Ag} + 2 \text{SO}_4^{2-}$	+0,30		$\text{Ce}^{\text{IV}} + \text{e} \rightleftharpoons \text{Ce}^{\text{III}}$		+1,61
$[\text{Ag}(\text{S}_2\text{O}_3)_2]^{3-} + \text{e} \rightleftharpoons \text{Ag} + 2 \text{S}_2\text{O}_3^{2-}$	+0,01				+0,06 (2,5M-K ₂ CO ₃)
$\text{Ag}_2\text{CO}_3 + 2 \text{e} \rightleftharpoons 2 \text{Ag} + \text{CO}_3^{2-}$	+0,47				+1,28 (1M-HCl)
$\text{Ag}_2\text{CrO}_4 + 2 \text{e} \rightleftharpoons 2 \text{Ag} + \text{CrO}_4^{2-}$	+0,45				+1,70 (1M-HClO ₄)
$\text{Ag}_2\text{O} + \text{H}_2\text{O} + 2 \text{e} \rightleftharpoons 2 \text{Ag} + 2 \text{OH}^-$	+0,342				+1,60 (1M-HNO ₃)
$\text{Ag}_2\text{S} + 2 \text{e} \rightleftharpoons 2 \text{Ag} + \text{S}^{2-}$	-0,71				+1,44 (1M-H ₂ SO ₄)
$\text{Ag}_2\text{SO}_4 + 2 \text{e} \rightleftharpoons 2 \text{Ag} + \text{SO}_4^{2-}$	+0,653				
$\text{Al}^{3+} + 3 \text{e} \rightleftharpoons \text{Al}$	-1,66				
$[\text{Al}(\text{OH})_4]^- + 3 \text{e} \rightleftharpoons \text{Al} + 4 \text{OH}^-$	-2,35				
$\text{As} + 3 \text{H}^+ + 3 \text{e} \rightleftharpoons \text{AsH}_3$	-0,60				
$\text{AsO}_4^{3-} + 2 \text{H}_2\text{O} + 2 \text{e} \rightleftharpoons \text{AsO}_3^- + 4 \text{OH}^-$	-0,67				
$\text{H}_3\text{AsO}_4 + 2 \text{H}^+ + 2 \text{e} \rightleftharpoons \text{HAsO}_2 + 2 \text{H}_2\text{O}$	+0,559	+0,577 (1M-HCl)			
$\text{Au}^+ + \text{e} \rightleftharpoons \text{Au}$	+1,68				
$\text{Au}^{3+} + 3 \text{e} \rightleftharpoons \text{Au}$	+1,50				
$[\text{AuCl}_4]^- + 3 \text{e} \rightleftharpoons \text{Au} + 4 \text{Cl}^-$	+1,00				
$\text{Ba}^{2+} + 2 \text{e} \rightleftharpoons \text{Ba}$	-2,90				
$\text{Ba}(\text{OH})_2 + 2 \text{e} \rightleftharpoons \text{Ba} + 2 \text{OH}^-$	-2,97				
$\text{BiO}^+ + 2 \text{H}^+ + 3 \text{e} \rightleftharpoons \text{Bi} + \text{H}_2\text{O}$	+0,32				
$\text{BiOCl} + 2 \text{H}^+ + 3 \text{e} \rightleftharpoons \text{Bi} + \text{H}_2\text{O} + \text{Cl}^-$	+0,16				
$\text{Bi}_2\text{O}_3 + 3 \text{H}_2\text{O} + 6 \text{e} \rightleftharpoons 2 \text{Bi} + 6 \text{OH}^-$	-0,46				
$\text{Br}_2 + 2 \text{e} \rightleftharpoons 2 \text{Br}^-$	+1,087				
$\text{BrO}^- + \text{H}_2\text{O} + 2 \text{e} \rightleftharpoons \text{Br}^- + 2 \text{OH}^-$	+0,76				
$2 \text{HBrO} + 2 \text{H}^+ + 2 \text{e} \rightleftharpoons \text{Br}_2 + 2 \text{H}_2\text{O}$	+1,59				
$2 \text{BrO}_3^- + 12 \text{H}^+ + 10 \text{e} \rightleftharpoons \text{Br}_2 + 6 \text{H}_2\text{O}$	+1,52				
$(\text{CN})_2 + 2 \text{H}^+ + 2 \text{e} \rightleftharpoons 2 \text{HCN}$	+0,37				
$\text{CNO}^- + \text{H}_2\text{O} + 2 \text{e} \rightleftharpoons \text{CN}^- + 2 \text{OH}^-$	-0,97				
$2 \text{HCNO} + 2 \text{H}^+ + 2 \text{e} \rightleftharpoons (\text{CN})_2 + 2 \text{H}_2\text{O}$	+0,33				
$\text{CO}_2 + 2 \text{H}^+ + 2 \text{e} \rightleftharpoons \text{HCOOH}$ (vod.)	-0,196				

Soustava	E°	E'	Soustava	E°	E'
$\text{Ca}^{2+} + 2 \text{e} \rightleftharpoons \text{Ca}$			$\text{Ca}(\text{OH})_2 + 2 \text{e} \rightleftharpoons \text{Ca} + 2 \text{OH}^-$		-3,03
$\text{Cd}^{2+} + 2 \text{e} \rightleftharpoons \text{Cd}$			$[\text{Cd}(\text{CN})_4]^{3-} + 2 \text{e} \rightleftharpoons \text{Cd} + 4 \text{CN}^-$		-0,402
$[\text{Cd}(\text{NH}_3)_4]^{3+} + 2 \text{e} \rightleftharpoons \text{Cd} + 4 \text{NH}_3$			$[\text{Cd}(\text{NH}_3)_4]^{3+} + 2 \text{e} \rightleftharpoons \text{Cd} + 4 \text{NH}_3$		-1,03
$\text{Cd}(\text{OH})_2 + 2 \text{e} \rightleftharpoons \text{Cd} + 2 \text{OH}^-$			$\text{Cd}(\text{OH})_2 + 2 \text{e} \rightleftharpoons \text{Cd} + 2 \text{OH}^-$		-0,597
$\text{CdS} + 2 \text{e} \rightleftharpoons \text{Cd} + \text{S}^{2-}$			$\text{Ce}^{\text{IV}} + \text{e} \rightleftharpoons \text{Ce}^{\text{III}}$		-0,809
$\text{Ce}^{\text{IV}} + \text{e} \rightleftharpoons \text{Ce}^{\text{III}}$					+0,06 (2,5M-K ₂ CO ₃)
					+1,28 (1M-HCl)
					+1,70 (1M-HClO ₄)
					+1,60 (1M-HNO ₃)
					+1,44 (1M-H ₂ SO ₄)
$\text{Cl}_2 + 2 \text{e} \rightleftharpoons 2 \text{Cl}^-$					
$\text{ClO}^- + \text{H}_2\text{O} + 2 \text{e} \rightleftharpoons \text{Cl}^- + 2 \text{OH}^-$					
$2 \text{HClO} + 2 \text{H}^+ + 2 \text{e} \rightleftharpoons \text{Cl}_3^- + 2 \text{H}_2\text{O}$					
$\text{ClO}_3^- + \text{e} \rightleftharpoons \text{ClO}_2^-$					
$\text{ClO}_2^- + \text{H}^+ + \text{e} \rightleftharpoons \text{HClO}_2$					
$\text{ClO}_3^- + 2 \text{H}^+ + \text{e} \rightleftharpoons \text{ClO}_2^- + \text{H}_2\text{O}$					
$\text{ClO}_4^- + 2 \text{H}^+ + 2 \text{e} \rightleftharpoons \text{ClO}_3^- + \text{H}_2\text{O}$					
$\text{Co}^{2+} + 2 \text{e} \rightleftharpoons \text{Co}$					
$\text{Co}^{\text{III}} + \text{e} \rightleftharpoons \text{Co}^{\text{II}}$					
					+1,82 (4M-HNO ₃)
					+1,82 (8M-H ₂ SO ₄)
$[\text{Co}(\text{NH}_3)_6]^{3+} + \text{e} \rightleftharpoons [\text{Co}(\text{NH}_3)_6]^{2+}$					+0,1
$\text{Co}(\text{OH})_2 + \text{e} \rightleftharpoons \text{Co}(\text{OH})_3 + \text{OH}^-$					+0,17
$\text{Cr}^{2+} + 2 \text{e} \rightleftharpoons \text{Cr}$					-0,56
$\text{Cr}^{3+} + 3 \text{e} \rightleftharpoons \text{Cr}$					-0,74
$\text{Cr}^{\text{III}} + \text{e} \rightleftharpoons \text{Cr}^{\text{II}}$					-0,41
					-0,37 (0,5M-H ₂ SO ₄)
					-0,40 (5M-HCl)
$[\text{Cr}(\text{OH})_4]^- + 3 \text{e} \rightleftharpoons \text{Cr} + 4 \text{OH}^-$					-1,2
$\text{CrO}_4^{2-} + 4 \text{H}_2\text{O} + 3 \text{e} \rightleftharpoons [\text{Cr}(\text{OH})_4]^- + 4 \text{OH}^-$					-1,2 (1M-NaOH)
$\text{Cr}_2\text{O}_7^{2-} + 14 \text{H}^+ + 6 \text{e} \rightleftharpoons 2 \text{Cr}^{3+} + 7 \text{H}_2\text{O}$					+1,33 (1M-HCl)
					+0,92 (0,1M-H ₂ SO ₄)
					+1,15 (4M-H ₂ SO ₄)
$\text{Cu}^{\text{I}} + \text{e} \rightleftharpoons \text{Cu}$					+0,52
$\text{Cu}^{2+} + 2 \text{e} \rightleftharpoons \text{Cu}$					+0,337

Tabulka 14

Standardní a formální redukční potenciály

Standardní a formální redukční potenciály

Soustava	E°	E°
$\text{Cu}^{II} + \text{e} \rightleftharpoons \text{Cu}^{I}$	+	+ 0,153
$\text{Cu}^{2+} + \text{Cl}^- + \text{e} \rightleftharpoons \text{CuCl}$.	+ 0,538
$\text{Cu}^{2+} + \text{J}^- + \text{e} \rightleftharpoons \text{CuJ}$.	+ 0,86
$[\text{Cu}(\text{CN})_4]^{3-} + \text{e} \rightleftharpoons \text{Cu} + 4 \text{CN}^-$.	—
$\text{CuCl} + \text{e} \rightleftharpoons \text{Cu} + \text{Cl}^-$.	+ 0,137
$\text{CuJ} + \text{e} \rightleftharpoons \text{Cu} + \text{J}^-$.	- 0,185
$2 \text{Cu}(\text{OH}_2) + 2 \text{e} \rightleftharpoons \text{Cu}_2\text{O} + 2 \text{OH}^- + \text{H}_2\text{O}$.	- 0,08
$\text{F}_2 + 2 \text{e} \rightleftharpoons 2 \text{F}^-$.	+ 2,65
$\text{F}_2 + 2 \text{H}^+ + 2 \text{e} \rightleftharpoons 2 \text{HF}$ (vod.)	.	+ 3,08
$\text{F}_2\text{O} + 2 \text{H}^+ + 4 \text{e} \rightleftharpoons \text{H}_2\text{O} + 2 \text{F}^-$.	+ 2,1
$\text{Fe}^{2+} + 2 \text{e} \rightleftharpoons \text{Fe}$.	- 0,440
$\text{Fe}^{III} + \text{e} \rightleftharpoons \text{Fe}^{II}$.	+ 0,771
		+ 0,64 (5M-HCl)
		+ 0,735 (1M-HClO ₄)
		+ 0,46 (2M-H ₄ PO ₄)
		+ 0,68 (1M-H ₄ SO ₄)
		+ 0,71 (1M-HCl)
		+ 0,72 (1M-HClO ₄)
		+ 0,12 (0,1M-EDTA, pH 4—6)
$[\text{Fe}(\text{CN})_6]^{3-} + \text{e} \rightleftharpoons [\text{Fe}(\text{CN})_6]^{4-}$	+	+ 0,356
$\text{Fe}(\text{EDTA})^- + \text{e} \rightleftharpoons \text{Fe}(\text{EDTA})^{2-}$.	—
$\text{Fe}(\text{OH})_2 + 2 \text{e} \rightleftharpoons \text{Fe} + 2 \text{OH}^-$.	- 0,877
$\text{Fe}(\text{OH})_3 + \text{e} \rightleftharpoons \text{Fe}(\text{OH})_2 + \text{OH}^-$.	- 0,56
$\text{FeO}^{2-} + 8 \text{H}^+ + 3 \text{e} \rightleftharpoons \text{Fe}^{3+} + 4 \text{H}_2\text{O}$.	+ 1,9
$\text{FeO}_4^{2-} + 2 \text{H}_2\text{O} + 3 \text{e} \rightleftharpoons \text{FeO}_2^- + 4 \text{OH}^-$.	+ 0,9
$2 \text{H}^+ + 2 \text{e} \rightleftharpoons \text{H}_2$.	0
$2 \text{H}_2\text{O} + 2 \text{e} \rightleftharpoons \text{H}_2 + 2 \text{OH}^-$.	- 0,828
$\text{Hg}_{2+} + 2 \text{e} \rightleftharpoons 2 \text{Hg}$.	+ 0,792
$\text{Hg}_2\text{Br}_2 + 2 \text{e} \rightleftharpoons 2 \text{Hg} + 2 \text{Br}^-$.	+ 0,139
$\text{Hg}_2\text{Cl}_2 + 2 \text{e} \rightleftharpoons 2 \text{Hg} + 2 \text{Cl}^-$.	+ 0,268
$2 \text{Hg}^{2+} + 2 \text{e} \rightleftharpoons \text{Hg}_2^{2+}$.	+ 0,907
$[\text{HgBr}_4]^{2-} + 2 \text{e} \rightleftharpoons \text{Hg} + 4 \text{Br}^-$.	+ 0,21
$[\text{HgJ}_4]^{2-} + 2 \text{e} \rightleftharpoons \text{Hg} + 4 \text{J}^-$.	+ 0,04
$\text{HgS} + 2 \text{e} \rightleftharpoons \text{Hg} + \text{S}^{2-}$.	- 0,72
$\text{J}_2 + 2 \text{e} \rightleftharpoons 2 \text{J}^-$.	+ 0,536
$\text{J}_3^- + 2 \text{e} \rightleftharpoons 3 \text{J}^-$.	—
$\text{JO}^- + \text{H}_2\text{O} + 2 \text{e} \rightleftharpoons \text{J}^- + 2 \text{OH}^-$.	+ 0,49
		+ 0,545 (0,5M-H ₂ SO ₄)

Tabuľka 14

Standardní a formální redukční potenciály

Soustava	E°	E°	E°
$2 \text{HJO} + 2 \text{H}^+ + 2 \text{e} \rightleftharpoons \text{J}_2 + 2 \text{H}_2\text{O}$... +1,45	... +0,99	... +0,99
$\text{HJO} + \text{H}^+ + 2 \text{e} \rightleftharpoons \text{J}^- + \text{H}_2\text{O}$... +1,19	... +1,19	... +1,19
$2 \text{JO}_3^- + 12 \text{H}^+ + 10 \text{e} \rightleftharpoons \text{J}_2 + 6 \text{H}_2\text{O}$... +0,26	... +0,26	... +0,26
$\text{JO}_3^- + 3 \text{H}_2\text{O} + 6 \text{e} \rightleftharpoons \text{J}^- + 6 \text{OH}^-$... +1,6	... +1,6	... +1,6
$\text{H}_3\text{JO}_6 + \text{H}^+ + 2 \text{e} \rightleftharpoons \text{JO}_3^- + 3 \text{H}_2\text{O}$... +0,7	... +0,7	... +0,7
$\text{H}_3\text{JO}_6^{2-} + 2 \text{e} \rightleftharpoons \text{JO}_3^- + 3 \text{OH}^-$... -2,925	... -3,01	... -3,01
$\text{K}^+ + \text{e} \rightleftharpoons \text{K}^-$... -2,37	... -2,37	... -2,37
$\text{Li}^+ + \text{e} \rightleftharpoons \text{Li}^-$... -1,19	... -1,19	... -1,19
$\text{Mg}^{2+} + 2 \text{e} \rightleftharpoons \text{Mg}$... -1,55	... -1,55	... -1,55
$\text{Mg}(\text{OH})_2 + 2 \text{e} \rightleftharpoons \text{Mg} + 2 \text{OH}^-$... -2,69	... -2,69	... -2,69
$\text{Mn}^{2+} + 2 \text{e} \rightleftharpoons \text{Mn}$... -1,19	... -1,19	... -1,19
$\text{Mn}(\text{OH})_2 + 2 \text{e} \rightleftharpoons \text{Mn} + 2 \text{OH}^-$... -1,55	... -1,55	... -1,55
$\text{Mn}^{\text{III}} + \text{e} \rightleftharpoons \text{Mn}^{\text{II}}$... -0,1	... -0,1	... -0,1
$\text{Mn}(\text{OH})_3 + \text{e} \rightleftharpoons \text{Mn}(\text{OH})_2 + \text{OH}^-$... +1,23	... +1,23	... +1,23
$\text{MnO}_2 + 4 \text{H}^+ + 2 \text{e} \rightleftharpoons \text{Mn}^{2+} + 2 \text{H}_2\text{O}$... -0,05	... -0,05	... -0,05
$\text{MnO}_2 + 2 \text{H}_2\text{O} + 2 \text{e} \rightleftharpoons \text{Mn}(\text{OH})_2 + 2 \text{OH}^-$... +0,60	... +0,60	... +0,60
$\text{MnO}_4^{2-} + 2 \text{H}_2\text{O} + 2 \text{e} \rightleftharpoons \text{MnO}_2 + 4 \text{OH}^-$... +0,56	... +0,56	... +0,56
$\text{MnO}_4^- + \text{e} \rightleftharpoons \text{MnO}_4^{2-}$... +1,51	... +1,51	... +1,51
$\text{MnO}_4^- + 8 \text{H}^+ + 5 \text{e} \rightleftharpoons \text{Mn}^{2+} + 4 \text{H}_2\text{O}$... +1,69	... +1,69	... +1,69
$\text{MnO}_4^- + 4 \text{H}^+ + 3 \text{e} \rightleftharpoons \text{MnO}_2 + 2 \text{H}_2\text{O}$... +0,59	... +0,59	... +0,59
$\text{MnO}_4^- + 2 \text{H}_2\text{O} + 3 \text{e} \rightleftharpoons \text{MnO}_2 + 4 \text{OH}^-$... -0,23	... -0,23	... -0,23
$\text{Mn}^{\text{IV}} + \text{e} \rightleftharpoons \text{Mn}^{\text{III}}$... +0,45	... +0,45	... +0,45
$\text{Mo}^{\text{VI}} + \text{e} \rightleftharpoons \text{Mo}^{\text{V}}$... +0,53	... +0,53	... +0,53
$\text{N}_3^- + 5 \text{H}^+ + 4 \text{e} \rightleftharpoons \text{N}_2\text{H}_5^+$... +0,1	... +0,1	... +0,1
$\text{N}_2\text{H}_4 + 4 \text{H}_2\text{O} + 2 \text{e} \rightleftharpoons 2 \text{NH}_4\text{OH} + 2 \text{OH}^-$... +1,00	... +1,00	... +1,00
$\text{HNO}_2 + \text{H}^+ + \text{e} \rightleftharpoons \text{NO} + \text{H}_2\text{O}$... +1,03	... +1,03	... +1,03
$\text{N}_2\text{O}_4 + 4 \text{H}^+ + 4 \text{e} \rightleftharpoons 2 \text{NO} + 2 \text{H}_2\text{O}$... +0,96	... +0,96	... +0,96
$\text{NO}_3^- + 4 \text{H}^+ + 3 \text{e} \rightleftharpoons \text{NO} + 2 \text{H}_2\text{O}$... +0,94	... +0,94	... +0,94
$\text{NO}_3^- + 3 \text{H}^+ + 2 \text{e} \rightleftharpoons \text{HNO}_2 + \text{H}_2\text{O}$... +0,01	... +0,01	... +0,01
$\text{NO}_3^- + \text{H}_2\text{O} + 2 \text{e} \rightleftharpoons \text{NO}_2^- + 2 \text{OH}^-$... +0,80	... +0,80	... +0,80
$2 \text{NO}_3^- + 4 \text{H}^+ + 2 \text{e} \rightleftharpoons \text{N}_2\text{O}_4 + 2 \text{H}_2\text{O}$... -2,713	... -2,713	... -2,713
$\text{Na}^+ + \text{e} \rightleftharpoons \text{Na}^-$... -0,23	... -0,23	... -0,23
$\text{Ni}^{\text{II}} + 2 \text{e} \rightleftharpoons \text{Ni}^-$... -0,72	... -0,72	... -0,72
$\text{Ni}(\text{OH})_2 + 4 \text{H}^+ + 2 \text{e} \rightleftharpoons \text{Ni}^{2+} + 2 \text{H}_2\text{O}$... +1,68	... +1,68	... +1,68

Tabulka 14

Standardní a formální redukční potenciály

Standardní a formální redukční potenciály

Soustava	E°	E'
NiO ₂ + 2 H ₂ O + 2 e ⇌ Ni(OH) ₂ + 2 OH ⁻	+0,49	
H ₂ O ₂ + 2 H ⁺ + 2 e ⇌ 2 H ₂ O	+1,77	
HO ₂ ⁻ + H ₂ O + 2 e ⇌ 3 OH ⁻	+0,88	
O ₂ + 4 H ⁺ + 4 e ⇌ 2 H ₂ O	+1,229	
O ₂ + 2 H ⁺ + 2 e ⇌ H ₂ O ₂	+0,682	
O ₂ + 2 H ₂ O + 4 e ⇌ 4 OH ⁻	+0,401	
O ₂ + H ₂ O + 2 e ⇌ HO ₂ ⁻ + OH ⁻	-0,076	
O ₃ + 2 H ⁺ + 2 e ⇌ O ₂ + H ₂ O	+2,07	
O ₃ + H ₂ O + 2 e ⇌ O ₃ + 2 OH ⁻	+1,24	
OSO ₄ ²⁻ + 8 H ⁺ + 8 e ⇌ OS + 4 H ₂ O	+0,85	
H ₃ PO ₂ + H ⁺ + 6 e ⇌ P + 2 H ₂ O	-0,51	
H ₂ PO ₂ ⁻ + 6 e ⇌ P + 2 OH ⁻	-2,05	
H ₃ PO ₃ + 2 H ⁺ + 2 e ⇌ H ₃ PO ₂ + H ₂ O	-0,50	
H ₃ PO ₄ ²⁻ + 2 H ⁺ + 2 e ⇌ H ₃ PO ₃ + H ₂ O	-0,276	
PO ₄ ³⁻ + 2 H ₂ O + 2 e ⇌ HPO ₄ ²⁻ + 3 OH ⁻	-1,12	
Pb ²⁺ + 2 e ⇌ Pb	-0,126	
PbBr ₂ + 2 e ⇌ Pb + 2 Br ⁻	-0,280	
PbCl ₂ + 2 e ⇌ Pb + 2 Cl ⁻	-0,268	
PbJ ₂ + 2 e ⇌ Pb + 2 J ⁻	-0,365	
[Pb(OH) ₃] ⁻ + 2 e ⇌ Pb + 3 OH ⁻	-0,54	
PbS + 2 e ⇌ Pb + S ²⁻	-0,95	
PbSO ₄ + 2 e ⇌ Pb + SO ₄ ²⁻	-0,356	
PbO ₂ + 4 H ⁺ + 4 e ⇌ Pb ²⁺ + 2 H ₂ O	+1,455	
PbO ₂ + SO ₄ ²⁻ + 4 H ⁺ + 2 e ⇌ PbSO ₄ + 2 H ₂ O	+1,685	
PbO ₂ + H ₂ O + 2 e ⇌ PbO + 2 OH ⁻	+0,28	
[PdCl ₆] ²⁻ + 2 e ⇌ [PdCl ₄] ²⁻ + 2 Cl ⁻	+1,288	
[PtCl ₆] ²⁻ + 2 e ⇌ [PtCl ₄] ²⁻ + 2 Cl ⁻	+0,68	+0,720 (1M-NaCl)
S + 2 e ⇌ S ²⁻	-0,48	
S + 2 H ⁺ + 2 e ⇌ H ₂ S	+0,14	
H ₂ SO ₃ + 4 H ⁺ + e ⇌ S + 3 H ₂ O	+0,45	
2 H ₂ SO ₃ + H ⁺ + 2 e ⇌ HS ₂ O ₄ ⁻ + 2 H ₂ O	-0,08	
2 SO ₃ ²⁻ + 2 H ₂ O + 2 e ⇌ S ₂ O ₄ ²⁻ + 4 OH ⁻	-1,12	
SO ₄ ²⁻ + 4 H ⁺ + 2 e ⇌ H ₂ SO ₃ + H ₂ O	+0,17	+0,07 (1M-H ₂ SO ₄)
SO ₄ ²⁻ + H ₂ O + 2 e ⇌ SO ₃ ²⁻ + 2 OH ⁻	-0,93	
SO ₈ ²⁻ + 2 e ⇌ 2 SO ₄ ²⁻	+2,01	

Soustava	E°	E'
S ₄ O ₆ ²⁻ + 2 e ⇌ 2 S ₂ O ₃ ²⁻	+0,08	
(SCN) ₂ + 2 e ⇌ 2 SCN ⁻	+0,77	+0,75 (3,5M-HCl)
Sb ^V + 2 e ⇌ Sb ^{III}	-	
Sb ₂ O ₃ + 6 H ⁺ + 6 e ⇌ Sb + 3 H ₂ O	+0,152	
SbO ⁺ + 2 H ⁺ + 3 e ⇌ Sb + H ₂ O	+0,212	+0,675 (10M-KOH)
SbO ₃ ⁻ + 2 H ₂ O + 3 e ⇌ Sb + 4 OH ⁻	-	
Sb ₂ O ₅ + 6 H ⁺ + 4 e ⇌ 2 SbO ⁺ + 3 H ₂ O	+0,58	
SbO ₃ ⁻ + H ₂ O + 2 e ⇌ SbO ₂ ⁻ + 2 OH ⁻	-	-0,589 (10M-NaOH)
Sn ³⁺ + 2 e ⇌ Sn ^{II}	-0,140	
Sn ^{IV} + 2 e ⇌ Sn ^{II}	+0,154	+0,14 (1M-HCl)
[Sn(OH) ₃] ⁻ + 2 e ⇌ Sn + 3 OH ⁻	-0,91	
[SnCl ₆] ⁴⁻ + 2 e ⇌ Sn ³⁺ + 6 Cl ⁻	+0,15	
[Sn(OH) ₆] ⁴⁻ + 2 e ⇌ [Sn(OH) ₃] ⁻ + 3 OH ⁻	-0,90	
SeO ₄ ²⁻ + 4 H ⁺ + 2 e ⇌ H ₂ SeO ₃ + H ₂ O	+1,15	
SeO ₄ ²⁻ + H ₂ O + 2 e ⇌ SeO ₃ ²⁻ + 2 OH ⁻	+0,05	
H ₆ TeO ₆ (s) + 2 H ⁺ + 2 e ⇌ TeO ₂ + 4 H ₂ O	+1,02	
Tl ^{IV} + e ⇌ Tl ^{III}	+0,1	-0,05 (1M-H ₃ PO ₄)
		-0,01 (0,2M-H ₂ SO ₄)
		+0,12 (2M-H ₂ SO ₄)
		+0,20 (4M-H ₂ SO ₄)
Tl ^{III} + e ⇌ Tl ^{II}	-0,89	
Tl ^{III} + 2 e ⇌ Tl ^I	-0,336	+0,78 (1M-HCl)
Tl(OH) ₃ + 2 e ⇌ TiOH + 2 OH ⁻	-0,05	
U ^{IV} + e ⇌ U ^{III}	-	-0,64 (1M-HCl)
UO ₂ ²⁺ + 4 H ⁺ + 2 e ⇌ U ⁴⁺ + 2 H ₂ O	+0,334	+0,41 (0,5M-H ₂ SO ₄)
V ³⁺ + e ⇌ V ²⁺	-0,255	
VO ²⁺ + 2 H ⁺ + e ⇌ V ³⁺ + H ₂ O	+0,361	
Xe ^{VII} + 2 e ⇌ Xe ^{VI}	-	~ + 3 (kys. prostř.)
Zn ²⁺ + 2 e ⇌ Zn	-0,763	
[Zn(CN) ₄] ²⁻ + 2 e ⇌ Zn + 4 CN ⁻	-1,26	
[Zn(NH ₃) ₄] ²⁺ + 2 e ⇌ Zn + 4 NH ₃	-1,03	
Zn(OH) ₂ ⁺ + 2 e ⇌ Zn + 2 OH ⁻	-1,245	
[Zn(OH) ₄] ²⁻ + 2 e ⇌ Zn + 4 OH ⁻	-1,22	
ZnS + 2 e ⇌ Zn + S ²⁻	-1,44	

Tabuľka 15

Přeypočítávací faktory

Hledaná složka	Stanoveno	Faktor	log			
Al ₂ O ₃	(2) Al(C ₆ H ₅ ON) ₃ (2) AlCl ₃ · 6 H ₂ O (2) Al(ClO ₄) ₃ · 9 H ₂ O (2) AlPO ₄ (2) Al ₂ (SO ₄) ₃ · 18 H ₂ O (2) KAl(SO ₄) ₂ · 12 H ₂ O	0,11110 0,21112 0,10446 0,41800 0,15300 0,10750	0,45117 32460 0,19455 62121 18468 0,31277	1,403 3,356 0,48866 1,403 3,356 0,48866	14699 52578 68899 14699 52578 68899	1,248 1,248 1,248 1,248 1,248 1,248
As	(3) AgCl (1/2) As ₂ O ₃ (1/2) As ₂ S ₃ (1/2) As ₂ S ₅ (3/2) BaSO ₄	0,1743 0,7574 0,6090 0,4831 0,2140	24118 87931 78463 68404 33041	1,403 3,356 0,48866 1,403 3,356 0,48866	14699 52578 68899 14699 52578 68899	1,248 1,248 1,248 1,248 1,248
Ag	AgBr AgCl AgJ AgNO ₃ (1/2) Ag ₂ S (1/2) Ag ₂ SO ₄	0,5744 0,7526 0,4594 0,6350 0,8706 0,6919	75924 87658 66224 80277 93981 84003	0,5744 0,7526 0,4594 0,6350 0,8706 0,6919	75924 87658 66224 80277 93981 84003	1,248 1,248 1,248 1,248 1,248 1,248
Al	Al(C ₆ H ₅ ON) ₃ (hydroxychinol.) AlPO ₄ (1/2) Al ₂ O ₃	0,05873 0,2212 0,5292	76883 34487 72366	0,05873 0,2212 0,5292	76883 34487 72366	1,248 1,248 1,248

Přeypočítávací faktory

Tabuľka 15

Přeypočítávací faktory

Hledaná složka	Stanoveno	Faktor	log				
As	(1/2) (NH ₄ MgAsO ₄) ₂ · H ₂ O (1/2) Mg ₂ As ₂ O ₇ (1/2) Mg ₂ P ₂ O ₇ Na ₂ HAsO ₄ · 12 H ₂ O	0,3938 0,4827 0,6733 0,1863	0,3938 0,4827 0,6733 0,1863	0,3938 0,4827 0,6733 0,1863	59523 68364 82819 27029		
AsO ₃	(1/2) As ₂ S ₃ (1/2) As ₂ S ₅ (3/2) BaSO ₄ (1/2) (NH ₄ MgAsO ₄) ₂ · H ₂ O (1/2) Mg ₂ As ₂ O ₇ (1/2) Mg ₂ P ₂ O ₇	0,9992 0,7926 0,3511 0,6460 0,7919 1,105	0,9992 0,7926 0,3511 0,6460 0,7919 1,105	0,9992 0,7926 0,3511 0,6460 0,7919 1,105	99965 89906 54543 81025 89866 0,4321		
AsO ₄	(3) AgCl (1/2) As ₂ O ₃ (1/2) As ₂ S ₃ (1/2) As ₂ S ₅ (3/2) BaSO ₄ (1/2) (NH ₄ MgAsO ₄) ₂ · H ₂ O (1/2) Mg ₂ As ₂ O ₇ (1/2) Mg ₂ P ₂ O ₇	0,3231 1,404 1,129 0,8958 0,3968 0,7301 0,8950 1,248	0,3231 1,404 1,129 0,8958 0,3968 0,7301 0,8950 1,248	0,3231 1,404 1,129 0,8958 0,3968 0,7301 0,8950 1,248	50933 14747 05279 95220 59857 86339 95180 0,9635		
As ₂ O ₃	(2) Al(C ₆ H ₅ ON) ₃ (2) AlCl ₃ · 6 H ₂ O (2) Al(ClO ₄) ₃ · 9 H ₂ O (2) AlPO ₄ (2) KAl(SO ₄) ₂ · 12 H ₂ O	0,11110 0,21112 0,10446 0,41800 0,10750	0,45117 32460 0,19455 62121 18468 0,31277	1,403 3,356 0,48866 1,403 3,356 0,48866	14699 52578 68899 14699 52578 68899	1,248 1,248 1,248 1,248 1,248 1,248	0,2301 1,320 0,8041 0,6379 0,2826 36186 12069

Tabulka 15

Přepočítávací faktory

Hledaná složka	Stanoveno	Faktor	log
As_2O_5	(6) $\text{AgCl} \cdot \text{As}_2\text{S}_3 \cdot \text{As}_2\text{S}_5 \cdot \text{BaSO}_4 \cdot (\text{NH}_4\text{MgAsO}_4)_2 \cdot \text{H}_2\text{O} \cdot \text{Mg}_2\text{As}_2\text{O}_7 \cdot \text{Mg}_2\text{P}_2\text{O}_7 \cdot \text{Na}_2\text{HASO}_4 \cdot 12 \text{ H}_2\text{O}$	0,2673 0,9342 0,7410 0,3283 0,6040 0,7404 1,033 0,2858	42697 97043 86984 51621 78103 86944 01399 45608
Au	$\text{AuCl}_3 \cdot \text{AuCl}_3 \cdot 2 \text{ H}_2\text{O} \cdot \text{HAuCl}_4 \cdot 4 \text{ H}_2\text{O}$	0,6494 0,5804 0,4783	81249 76375 67966
AuCl_3	Au	1,540	18751
$\text{AuCl}_3 \cdot \text{HCl}$	Au	1,725	23680

Přepočítávací faktory

Hledaná složka	Stanoveno	Faktor	log
B_2O_3	(1/2) B_2O_3	1,689	22774
B_2O_3	(2) H_3BO_3	0,5630	75048
B_2O_3	(2) KBF_4	0,2765	44165
	(1/2) $\text{Na}_2\text{B}_4\text{O}_7 \cdot 10 \text{ H}_2\text{O}$	0,3651	56241
B_4O_7	(2) B_2O_3	1,115	04724
Ba	$\text{BaCO}_3 \cdot \text{BaCl}_2 \cdot 2 \text{ H}_2\text{O} \cdot \text{BaCrO}_4 \cdot \text{BaO} \cdot \text{BaSO}_4 \cdot \text{BaSiF}_6$	0,6959 0,5622 0,5421 0,8957 0,5884 0,4915	84256 74991 73411 95214 76970 69154
BaCO_3			
BaCrO_4			
BaO			
BaSO_4			
BaSiF_6			
BaCl_2	BaSO_4	0,8922	95048
$\text{BaCl}_2 \cdot 2 \text{ H}_2\text{O}$	BaSO_4	1,047	01979

Přepočítávací faktory

Hledaná složka	Stanoveno	Faktor	log
Ba(NO ₃) ₂	BaCrO ₄ BaSO ₄	1,032 1,120	01353 04912
BaO	BaCO ₃ Ba(C ₂ H ₃ O ₂) ₂ · H ₂ O BaCl ₂ · 2 H ₂ O Ba(ClO ₄) ₂ · 3 H ₂ O BaCrO ₄ Ba(NO ₃) ₂ BaSO ₄ BaSiF ₆ CO ₂	0,7770 0,5608 0,6277 0,3929 0,6053 0,5867 0,6570 0,5488 3,484	89042 74878 79777 59427 78197 76844 71756 73940 54211
Be	BeO (1/2) Be ₂ P ₂ O ₇	0,3603 0,09359	55669 97263
BeO	BeCl ₂ BeCl ₂ · 4 H ₂ O BeSO ₄ · 4 H ₂ O (1/2) Be ₂ P ₂ O ₇	0,3130 0,1646 0,1412 0,2606	49549 21636 14984 41594
Bi	BiC ₆ H ₅ O ₃ (pyrogalol.) Bi(C ₆ H ₅ ON) ₃ (hydroxychinol.) Bi(C ₆ H ₆ ON) ₃ · H ₂ O	0,6293 0,32558 0,3169	79888 51295 50093

Přepočítávací faktory

Hledaná složka	Stanoveno	Faktor	log
Bi	Bi(C ₁₂ H ₁₀ ONS) ₃ · H ₂ O (thional.) BiCr(SON) ₆ (BiI ₄) Co en ₂ (SCN) ₂ ¹⁾ BiOCl (1/2) (BiO) ₂ Cr ₂ O ₇ BiPO ₄ (1/2) Bi ₂ O ₃ (1/2) Bi ₂ S ₃ (1/2) Bi ₄ (SeO ₃) ₃	0,2386 0,3429 0,2065 0,8024 0,6276 0,6876 0,8970 0,8129 0,5232	37769 53516 31498 90442 79770 83731 95279 91005 71869
Bi ₂ O ₃	(2) BiAsO ₄ (2) Bi(C ₆ H ₆ ON) ₃ (hydroxychinol.) (2) Bi(C ₆ H ₆ ON) ₃ · H ₂ O (2) BiCl ₃ (2) Bi(NO ₃) ₃ · 5 H ₂ O (2) BiOCl (2) BiONO ₃ · H ₂ O (2) BiPO ₄	0,6697 0,3632 0,3333 0,7586 0,4803 0,8946 0,7639 0,7665	825587 56016 54844 86843 68152 95163 88392 88452
Br	AgBr AgCl		0,4256 0,5575
C	CO ₂ (1/2) CaC ₂		0,2729 0,3748

¹⁾ en = ethylendiamin

Tabuľka 15

Přepočítávací faktory

Hledaná složka	Stanoveno	Faktor	log
CH ₃ N	AgJ	0,1237	09238
CH ₃ O	AgJ	0,1322	12119
CN	Ag AgCN KCN NaCN	0,2412 0,1943 0,3995 0,5309	38238 28854 60156 72501
CO ₂	BaCO ₃ CaCO ₃ CaO HCO ₃ KHCO ₃ MgCO ₃ MgO Na ₂ CO ₃	0,2230 0,4397 0,7848 0,7213 0,4396 0,5220 1,092 0,4162	34831 64316 89474 85810 64304 71765 03820 61829
CO ₃	CO ₂	1,364	13467
C ₂ H ₂	(2) AgCl (2) CuO	0,09084 0,1637	95827 21397

Přepočítávací faktory

Tabuľka 16

Přepočítávací faktory

Hledaná složka	Stanoveno	Faktor	log
C ₂ H ₅ N	AgJ	0,1834	26351
C ₂ H ₅ O	AgJ	0,1919	28316
C ₂ O ₄	(2)	1,0000 1,570	00000 19577
Ca	CaCO ₃ CaC ₂ O ₄ Ca(C ₁₀ H ₇ N ₄ O ₅) ₂ . 8 H ₂ O (pikrolon.) CaF ₂ CaO CaSO ₄	• •	• •
CaCN ₂	(2)	N	2,859
CaCO ₃	CO ₂	1,364	13467
C ₂ H ₂	(2) AgCl (2) CuO	0,09084 0,1637	95827 21397

Tabuľka 15

Přepočítávací faktory

Hledaná složka	Stanoveno	Faktor	log
CaCO ₃	CaO	1,979	29647
	CaSO ₄	0,8153	91129
(2)	Cl	1,565	19459
CaF ₂	CaO	1,392	14373
	CaSO ₄	0,5735	75855
(2)	NaF	0,9298	96838
Ca(NO ₃) ₂	CaO	2,926	46627
CaO	CO ₂	1,274	10526
	Ca	1,399	14588
	CaCN ₂	0,7001	84518
	CaCO ₃	0,5603	74842
	CaC ₂	0,8749	94195
	CaC ₂ O ₄ · H ₂ O	0,3838	58410
	Ca(C ₁₀ H ₇ N ₄ O ₆) ₂ · 8 H ₂ O (pikrolon.)	0,07892	89719
	CaCl ₂	0,5053	70353
	CaCl ₂ · 6 H ₂ O	0,2560	40821
	Ca(ClO ₄) ₂ · 6 H ₂ O	0,1616	20840
	CaF ₂	0,7182	85627
	Ca(NO ₃) ₂ · 4 H ₂ O	0,2375	37562
(2)	CaSO ₄	0,4119	61482
	Cl	0,7909	89812
	MgO	1,391	14346

Přepočítávací faktory

Hledaná složka	Stanoveno	Faktor	log
CaCl ₂	CaO	(2) N	2,002
	CaSO ₄	N ₂ O ₆	0,5192
(2)	Cl	(1/3) P ₂ O ₅	1,185
		SO ₃	0,7005
CaF ₂	Ca(OH) ₂	CaO	1,321
(2)			
Ca(NO ₃) ₂	Ca ₃ (PO ₄) ₂	(3) CaO	1,844
		Mg ₃ P ₂ O ₇	1,394
		P ₂ O ₅	2,185
CaO	CaSO ₄	BaSO ₄	0,5833
		CaO	2,428
		SO ₃	1,700
Cd		Cd(C ₇ H ₄ NS) ₂ (merkaptobenzthiaz.)	0,2527
		Cd(C ₉ H ₆ NO) ₂ (hydroxychinol.)	0,2805
		Cd(C ₁₀ H ₆ NO ₂) ₂ (chinald.)	0,2461
		CdO	0,8754
		Cd(N ₂ H ₄) ₂ J ₂	0,2612
		CdPy ₂ (SCN) ₂ ¹⁾	0,2906
		CdPy ₄ (SCN) ₂	0,2662
		CdSO ₄	0,5392
(2)		(1/2) Cd ₂ P ₂ O ₇	0,5338

¹⁾ Py = pyridin

Tabuľka 15

Přepočítávací faktory

Hledaná složka	Stanovené	Faktor	log
CeO ₂	Ce(SO ₄) ₂ · 4 H ₂ O (1/2) Ce ₂ (CO ₃) ₃	0,4257 0,6325	62913 80102
Cl	Ag AgCl HCl KCl (1/2) MgO NaCl	0,3287 0,2474 0,9724 0,4755 1,759 0,6066	51677 39335 98783 67718 24534 78293
Cr			BaCrO ₄ CrPO ₄ (1/2) Cr ₂ O ₃ PbCrO ₄
ClO ₄	AgCl	0,5823	76512

Přepočítávací faktory

Tabuľka 15

Hledaná složka	Stanovené	Faktor	log
CdO	CdCl ₂ · 2 H ₂ O Cd(ClO ₄) ₂ · 6 H ₂ O Cd(NO ₃) ₂ · 4 H ₂ O CdSO ₄ CdSO ₄ · ½ H ₂ O (1/2) Cd ₂ P ₂ O ₇	0,5854 0,3062 0,4162 0,6159 0,5006 0,6440	76745 48595 61936 78954 69948 80891
Ce	Ce(ClO ₄) ₃ · 6 H ₂ O CeO ₂ (1/2) Ce ₂ O ₃	0,2564 0,8141 0,8537	40886 91067 93131
CeO ₂	Ce ₂ (SO ₄) ₃ · 4 H ₂ O (1/2) Ce ₂ (CO ₃) ₃	0,4257 0,6325	62913 80102
Co			Co[C ₁₀ H ₈ O(NO)] ₃ · 2 H ₂ O (1-nitroso-2-naftol.) CoO CoSO ₄ (1/2) Co ₂ P ₂ O ₇ (1/3) Co ₃ O ₄
ClO ₄			AgCl (C ₁₀ H ₈ CH ₂) ₂ NH · HClO ₄ C ₂ H ₁₆ N ₄ · HClO ₄ (nitron.) KCl NaCl

Tabuľka 15

Přeypočítávací faktory

Hledaná složka	Stanovené	Faktor	log
CrO_3	BaCrO_4	0,3947	59629
	(1/2) Cr_2O_3	1,316	11919
	PbCrO_4	0,3094*	49054
CrO_4	BaCrO_4	0,4579	66075
	(1/2) Cr_2O_3	1,526	18366
	PbCrO_4	0,3589	55500
Cr_2O_3	(2) BaCrO_4	0,3000	47709
	(2) $\text{CrCl}_3 \cdot 6 \text{H}_2\text{O}$	0,2852	45517
	(2) $\text{Cr}(\text{ClO}_4)_3 \cdot 9 \text{H}_2\text{O}$	0,1483	17110
Cr_2O_7	(2) $\text{Cr}(\text{NO}_3)_3 \cdot 9 \text{H}_2\text{O}$	0,1899	27856
	(2) K_2CrO_4	0,3913	59253
	$\text{K}_2\text{Cr}_2\text{O}_7$	0,5166	71318
Cr_2O_7	(2) PbCrO_4	0,2351	37134
	(2) BaCrO_4	0,4263	62971
	(2) Cr_2O_3	1,421	15262
Cs	(2) PbCrO_4	0,3342	52396
	CsCl	0,7894	89731
	CsClO_4	0,5720	75738
Cs_2O_7	(1/2) Cs_2SO_4	0,7345	86601
	(1/2) Cs_2SnCl_6	0,4451	64844

Přeypočítávací faktory

Tabuľka 15

Hledaná složka	Stanovené	Faktor	log
Cu	$\text{Cu}(\text{C}_7\text{H}_6\text{O}_2\text{N})_2$ (salicylaldoxim.)	0,1892	27700
	$\text{Cu}(\text{C}_9\text{H}_6\text{ON})_2$ (hydroxychinol.)	0,1806	25674
	$\text{Cu}(\text{C}_{10}\text{H}_6\text{O}_2\text{N})_2 \cdot \text{H}_2\text{O}$ (chinald.)	0,1492	17379
CuO	$\text{Cu}(\text{C}_{12}\text{H}_{10}\text{ONS})_2 \cdot \text{H}_2\text{O}$ (thional.)	0,1236	09202
	$\text{CuC}_{14}\text{H}_{11}\text{O}_2\text{N}$ (benzoinoxim.)	0,2200	34250
	CuO	0,7988	90248
CuSCN	CuSCN	0,5225	71806
	(1/2) Cu_2S	0,7986	90230
	CuO	1,690	22796
CuCl_2	CuO	1,690	22796
	$\text{Cu}(\text{C}_2\text{H}_3\text{O}_2)_2 \cdot \text{H}_2\text{O}$	1,252	09752
	$\text{Cu}(\text{C}_9\text{H}_6\text{ON})_2$ (hydroxychinol.)	0,3984	60034
CuO	$\text{CuC}_{14}\text{H}_{11}\text{O}_2\text{N}$ (benzoinoxim.)	0,2261	35426
	$\text{CuCl}_2 \cdot 2 \text{H}_2\text{O}$	0,2754	44002
	$\text{Cu}(\text{ClO}_4)_2 \cdot 6 \text{H}_2\text{O}$	0,4666	66894
Cu_2S	$\text{Cu}(\text{NO}_3)_2 \cdot 3 \text{H}_2\text{O}$	0,2147	33177
	CuSCN	0,3292	51751
	(1/2) Cu_2S	0,6540	81558
CuSO_4	$\text{CuSO}_4 \cdot 5 \text{H}_2\text{O}$	0,3186	50322
	CuO	0,9995	99979
	CuSO_4	2,006	30244
CuO	CuO	2,006	30244
	Cu	3,929	59430
	CuO	3,139	49678

Vážková analýza a stechiometrie

Přepočítávací faktory

Hledaná složka		Stanoveno	Faktor	log
Cu ₂ O	(2)	CuO	0,8994	95397
Er	(1/2)	Er ₂ O ₃	0,8745	94178
F	(1/2) CaF ₂	0,4866	68720	
	(1/2) CaSO ₄	0,2791	44575	
	NaF	0,4525	65558	
	PbClF	0,07261	86101	
	(1/4) SiF ₄	0,7301	86341	
Fe	Fe(C ₆ H ₅ ON) ₃ (hydroxychinol.) . . .	0,1144	05830	
	FeO	0,7773	89059	
	(1/2) Fe ₂ O ₃	0,6994	84475	
Fe(CN) ₆	(6) AgCN	0,2639	42136	
FeCl ₂	Fe	2,270	35596	
FeCl ₃	Fe	2,905	46307	
	(1/2) Fe ₂ O ₃	2,032	30782	

Přepočítávací faktory

Tabulka 15

Hledaná složka	Stanovenou	Faktor	log
FeO	Fe FeCl ₂ · 4 H ₂ O Fe(ClO ₄) ₂ · 6 H ₂ O FeSO ₄ · 7 H ₂ O (1/2) Fe ₂ O ₃	1,286 0,3614 0,1980 0,2584 0,8998	10941 55796 29669 41235 95416
FeSO ₄ · 7 H ₂ O	Fe	4,978	69706
FeS ₂	(1/2) Fe ₂ O ₃	1,503	17684
Fe ₂ O ₃	(2) Fe (2) FeCl ₃ · 6 H ₂ O (2) Fe(ClO ₄) ₃ · 6 H ₂ O (2) Fe(NO ₃) ₃ · 9 H ₂ O (2) FeO (2) FePO ₄	1,430 0,2954 0,1727 0,1976 1,111 0,5294	15525 47040 23734 29587 04584 72380
Fe ₂ (SO ₄) ₃	(2) Fe Fe ₂ O ₃	3,580 2,504	55390 39865
Ga	(1/2) Ga ₂ O ₃	0,7439	87152

Tabuľka 15

Přepočítávací faktory

Hledaná složka	Stanoveno	Faktor	log
Ge	GeO ₂ Mg ₂ GeO ₄	0,6940 0,3920	84139 59324
GeO ₂	GeCl ₄ Mg ₂ GeO ₄	0,4878 0,5647	68827 75185
H	(1/2) H ₂ O	0,1119	04884
HBO ₂	(1/2) B ₂ O ₃	1,259	09995
HBr	AgBr KBr	0,4309 0,6799	63439 83244
HCN	Ag AgCN	0,2505 0,2019	39889 30505
HCO ₃	CO ₂	1,386	14190
HCl	AgCl Cl	0,2544 1,028	40552 01217

Přepočítávací faktory

Tabuľka 15

Hledaná složka	Stanoveno	Faktor	log
HClO ₄	AgCl (C ₁₀ H ₇ CH ₂) ₂ NH · HClO ₄ C ₂₀ H ₁₆ N ₄ · HClO ₄ (nitron.)	0,7009 0,2525 0,2433
HF	(1/2) CaF ₂ (1/2) CaSO ₄ PbClF	0,5125 0,2943 0,07647
	(1/4) SiF ₄	88586
HJ	AgJ (1/2) PdJ ₂	0,5448 0,7102
HNO ₃	(C ₁₀ H ₇ CH ₂) ₂ NH · HNO ₃ C ₂₀ H ₁₆ N ₄ · HNO ₃ (nitron.) NH ₄ Cl NO	0,1748 0,1670 1,178 2,100
	(1/2) N ₂ O ₅	1,167
H ₂ C ₂ O ₄	(2) CO ₂ CaO	1,023 1,605
	H ₂ · C ₄ H ₄ O ₆	CaC ₄ H ₄ O ₆ · 4 H ₂ O (vinan)	0,5768 76103

Tabulka 15

Přeypočítávací faktory

Hledaná složka	Stanoveno	Faktor	log
H_2O	CaO MgO	0,3212 0,4470	50683 65029
H_2PtCl_6	$(\text{NH}_4)_2\text{PtCl}_6$ Pt	0,9232 2,101	96532 32235
H_2S	BaSO_4	0,1460	16440
H_2SO_3	BaSO_4	0,3517	54413
H_2SO_4	BaSO_4 SO_3	0,4202 1,225	62347 08814
H_2SiF_6	CaF_2 CaSO_4 K_2SiF_6	0,6151 0,3528 0,6541	78888 54753 81567
H_2SiO_3	SiO_2	1,300	11389
H_3BO_3	$(1/2)\text{B}_2\text{O}_3$	1,776	24952

Přeypočítávací faktory

Tabulka 15

Hledaná složka	Stanoveno	Faktor	log
$\text{H}_3\text{Fe}(\text{CN})_6$	(6) AgCN	0,2676	42752
H_3PO_2	(2) Hg_2Cl_2 (1/2) $\text{Mg}_2\text{P}_2\text{O}_7$	0,06990 0,5931	84447 77311
H_3PO_3	Hg_2Cl_2 (1/2) $\text{Mg}_2\text{P}_2\text{O}_7$	0,1737 0,7368	23977 86738
H_3PO_4	(1/2) $\text{Mg}_2\text{P}_2\text{O}_7$ (1/2) P_2O_5	0,8806 1,381	94480 14012
$\text{H}_4\text{Fe}(\text{CN})_6$	(6) AgCN	0,2689	42954
Hg	$\text{Hg}(\text{C}_2\text{H}_5\text{O}_2)_2$ $\text{Hg}(\text{C}_{12}\text{H}_{10}\text{ONa})_2$ (thional) HgCl_2 $\text{Hg}(\text{ClO}_4)_2 \cdot 3 \text{H}_2\text{O}$ $(\text{HgI}_4) (\text{Cu en}_2)^1$ HgO $\text{HgPy}_2\text{Cr}_2\text{O}_7$ HgS HgSO_4 (1/2) Hg_2Cl_2	0,6295 0,3168 0,7388 0,4423 0,2249 0,9261 0,3490 0,8622 0,6762 0,8498	79896 50080 86884 64569 35197 96667 54281 93561 83007 92932

1) en = ethylenediamin

2) Py = pyridin

Tabuľka 15

Přepočítávací faktory

Hledaná složka	Stanoveneno	Faktor	log
HgCl ₂	HgS (1/2) Hg ₂ Cl ₂	1,167 1,150	0,6707 0,6078
In	In(C ₆ H ₅ ON) ₃ (hydroxychinolin)	0,2098	32180
	InPO ₄	0,6473	73823
	InCo(NH ₃) ₆ Cl ₆	0,2350	37103
	(1/2) In ₂ O ₃	0,8271	91757
	(1/2) In ₂ (SO ₄) ₂ · 9 H ₂ O	0,3377	52856
J	Ag	1,176	0,07058
	AgCl	0,8854	94716
	AgJ	0,5405	73282
	KJ	0,7644	88334
	KJO ₃	0,5930	77305
	(1/2) PdCl ₂	0,7046	84796
JO ₃	AgJ	0,7450	87215
	KJO ₃	0,8173	91238
K	KCl	0,5245	71972
	KClO ₄	0,2822	45059
	(1/2) K ₂ O	0,8302	91917
	(1/2) K ₂ PtCl ₆	0,1609	20658
	(1/2) K ₂ SO ₄	0,4488	65202
	(1/2) Pt	0,4009	60299

Přepočítávací faktory

Tabuľka 15

Hledaná složka	Stanoveneno	Faktor	log
KCN	HCN	2,409
KCl	KClO ₄	0,5381
	(1/2) K ₂ PtCl ₆	0,3068
	(1/2) K ₂ SO ₄	0,8557
	(1/2) Pt	0,7643
KHCO ₃	CO ₂	2,275
KHCO ₄	CaC ₄ H ₄ O ₆ · 4 H ₂ O (vitan)	0,7232
KMnO ₄	Mn	2,877
	(5/4) O ₂	3,951
KNO ₃	(1/2) N ₂ O ₅	1,872
KOH	KClO ₄	0,4050
	(1/2) K ₂ SO ₄	0,6439
K ₂ O	(2) K[B(C ₆ H ₅) ₄]	0,1314
	(2) KCl	0,6318
	(2) KClO ₄	0,3400

Tabuľka 15

Přepočítávací faktory

Přepočítávací faktory

Hledaná složka	Stanoveno	Faktor	log
K ₂ O	(2) KNO ₃ (2) KOH K ₄ PtCl ₆ K ₂ SO ₄ Pt	0,4659 0,8395 0,1938 0,5406 0,4829	66825 92400 28741 73285 68382
K ₂ O · Al ₂ O ₃ · 6 SiO ₂	Al ₂ O ₃ (2) KCl (2) KClO ₄ K ₂ SO ₄	5,460 3,733 2,009 3,194	73717 57209 30296 50439
La	(1/2) La ₂ O ₃	0,8527	93078
La ₂ O ₃	(2) La(C ₂ H ₃ O ₂) ₃ · 1½ H ₂ O (2) La(NO ₃) ₃ · 6 H ₂ O	0,4749 0,3762	67657 57544
Li	LiCl (1/2) Li ₂ O (1/2) Li ₂ SO ₄ (1/3) Li ₃ PO ₄	0,1637 0,4645 0,1262 0,1798	21402 66699 10117 25476
Li ₂ O	(2) LiCl (2) LiClO ₄ · 3 H ₂ O Li ₂ CO ₃ Li ₂ SO ₄ (2/3) Li ₃ PO ₄	0,3524 0,09311 0,4044 0,2718 0,3871	54703 96901 60677 43418 58777

Hledaná složka	Stanoveno	Faktor	log
Mg	Mg(C ₉ H ₆ ON) ₂ (hydroxychinol.) Mg(C ₉ H ₆ ON) ₂ · 2 H ₂ O MgO MgSO ₄ (1/2) Mg ₂ P ₂ O ₇ NH ₄ MgPO ₄ · 6 H ₂ O	0,07775 0,06971 0,6030 0,2019 0,2184 0,09904	89069 84332 78035 30519 33929 99582
MgCO ₃	MgO (1/2) Mg ₂ P ₂ O ₇ NH ₄ MgPO ₄ · 6 H ₂ O	2,092 0,7577 0,3436	32055 87950 53602
MgCl ₂	(2) Cl MgO (1/2) Mg ₂ P ₂ O ₇	1,343 2,362 0,8556	12799 37333 93227
MgO	CO ₂ Mg MgCO ₃ Mg(C ₉ H ₆ ON) ₂ Mg(C ₉ H ₆ ON) ₂ · 2 H ₂ O MgCl ₂ · 6 H ₂ O Mg(ClO ₄) ₂ · 6 H ₂ O Mg(NO ₃) ₂ · 6 H ₂ O MgSO ₄ MgSO ₄ · 7 H ₂ O	0,9158 1,658 0,4780 0,1289 0,1156 0,1982 0,1217 0,1572 0,3448 0,1635 0,3622	96180 21965 67945 11034 60297 29720 08513 19642 52484 21358 55894
(1/2) Mg ₂ P ₂ O ₇	NH ₄ MgPO ₄ · 6 H ₂ O (1/2) P ₂ O ₅ SO ₃	0,1642 0,5679 0,5034	21547 75426 70192

Tabuľka 15
Přepočítávací faktory

Hledaná složka	Stanoveno	Faktor	log
Mg(OH) ₂	MgO	1,4447	16047
MgSO ₄	BaSO ₄	0,5157	71241
	MgO	2,986	47516
	(1/2) Mg ₂ P ₂ O ₇	1,082	03410
	NH ₄ MgPO ₄ · 6 H ₂ O	0,4905	69063
Mn	MnO	0,7745	88900
	MnS	0,6315	80034
	MnSO ₄	0,3638	56089
	(1/2) Mn ₂ P ₂ O ₇	0,3871	58786
	(1/3) Mn ₃ O ₄	0,7203	85752
	NH ₄ MnPO ₄ · H ₂ O	0,2954	47044
MnCO ₃	(1/3) Mn ₃ O ₄	1,507	17814
MnO	Mn	1,291	11100
	Mn(C ₂ H ₃ O ₂) ₂ · 4 H ₂ O	0,2894	46155
	MnCl ₂ · 4 H ₂ O	0,3584	55441
	Mn(ClO ₄) ₂ · 6 H ₂ O	0,1960	29224
	MnSO ₄	0,4698	67189
	MnSO ₄ · 4 H ₂ O	0,3180	50245
	(1/3) Mn ₃ O ₄	0,9301	96851
MnO ₂	Mn	1,582	19933

Tabuľka 15**Přepočítávací faktory****Vážková analýza a stochiometrie****Přepočítávací faktory**

Hledaná složka	Stanoveno	Faktor	log	Hledaná složka	Stanoveno	Faktor	log
Mg(OH) ₂	MgO	1,4447	16047	Mo	MoO ₃	0,6665	82382
					MoS ₂	0,5994	77769
					PbMoO ₄	0,2613	41718
MgSO ₄				MoO ₃	(1/7) (NH ₄) ₆ Mo ₇ O ₂₄ · 4 H ₂ O	1,500	17618
					NH ₄ ₂ MoO ₄ · 2 H ₂ O	0,8153	91131
						0,5949	77445
Mn				MoO ₄	MoO ₃	1,111	04578
MnCO ₃				N	NH ₃	0,8224	91511
					NH ₄ Cl	0,2618	41805
					(1/2) (NH ₄) ₂ PtCl ₆	0,06311	80009
					(1/2) Pt	0,1436	15712
MnO				NCH ₃	AgJ	0,1237	09237
MnO ₂				NC ₂ H ₅	AgJ	0,1834	26351
				NH ₃	N	1,216	08489
					NH ₄	0,9441	97502
					NH ₄ Cl	0,3184	50294

Tabuľka 15

Přepočítávací faktory

Hledaná složka	Stanovenou	Faktor	log
NH ₃	(1/2) (NH ₄) ₂ PtCl ₆ (1/2) (NH ₄) ₂ SO ₄ (1/2) Pt	0,07673 0,2578 0,1746	88499 41123 24202
NH ₄	N NH ₃ NH ₄ Cl (1/2) (NH ₄) ₂ PtCl ₆ (1/2) Pt	1,288 1,059 0,3372 0,08128 0,1849	10987 02493 52792 90997 26700
NH ₄ Cl	N (1/2) (NH ₄) ₂ PtCl ₆ (1/2) Pt	3,819 0,2410 0,5484	58195 38205 73908
NO ₂	NO (1/2) N ₂ O ₃	1,533 1,210	18560 08296
NO ₃	(C ₁₀ H ₇ CH ₂) ₂ NH · HNO ₃ C ₂₀ H ₁₆ N ₄ · HNO ₃ NH ₄ Cl (1/2) (NH ₄) ₂ PtCl ₆ NO (1/2) N ₂ O ₅ (1/2) Pt	0,1720 0,1652 1,159 0,2794 2,066 1,148 0,6356	23562 21794 06413 44618 31521 05999 80321

Tabulka 15

Přepočítávací faktory

Hledaná složka		Stanovenou		Faktor	log
N ₂ O ₃	(2) NO ₂	0,8261	91704
N ₂ O ₅	(2) C ₂₀ H ₁₆ N ₄ · HNO ₃	0,1439	15795
	(2) KNO ₃	0,5341	72765
	(2) NH ₄ Cl	1,010	00414
	(NH ₄) ₂ PtCl ₆	0,2433	38619
	(2) NO	1,800	25522
	(2) NO ₃	0,8710	94001
	Pt	0,5536	74322
Na	Cl	0,6485	81188
	NaCl	0,3934	59481
	NaMg(UO ₂) ₃ · (C ₂ H ₃ O ₂) ₉ · 6 H ₂ O	0,01536	18635
	NaZn(UO ₂) ₃ · (C ₂ H ₃ O ₂) ₉ · 6 H ₂ O	0,01495	17460
	(1/2) Na ₂ O	0,7419	87033
	(1/2) Na ₂ SO ₄	0,3237	51016
NaBr	AgBr	0,5480	73877
NaCl	AgCl	0,4078	61042
	Cl	1,648	21707
	NaMg(UO ₂) ₃ · (C ₂ H ₃ O ₂) ₉ · 6 H ₂ O	0,03904	59154
	NaZn(UO ₂) ₃ · (C ₂ H ₃ O ₂) ₉ · 6 H ₂ O	0,03800	57979
	(1/2) Na ₂ SO ₄	0,8229	91553

Tabulka 15

Přepočítávací faktory

Hledaná složka		Stanovené	Faktor	log
NaHCO ₃	CO ₂	1,909	28077	
	(1/2) Na ₂ CO ₃	1,555	20009	
	(1/2) Na ₂ O	2,711	43311	
NaJ	AgJ	0,6384	80513	
NaNO ₃	(1/2) N ₂ O ₅	1,574	19696	
Na ₂ B ₄ O ₇ · 10 H ₂ O	(2) B ₂ O ₃	2,739	43759	
	Na ₂ O	6,153	78911	
Na ₂ CO ₃	CO ₂	2,408	38171	
	(2) NaHCO ₃	0,6308	79391	
	(2) NaOH	1,325	12220	
	Na ₂ CO ₃ · 10 H ₂ O	0,3705	56883	
	Na ₂ O	1,710	23302	
	Na ₂ SO ₄	0,7462	87285	
Na ₂ CO ₃ · 10 H ₂ O	Na ₂ CO ₃	2,699	43117	
	Na ₂ O	4,615	66419	

Tabulka 15

Přepočítávací faktory

Hledaná složka	Stanovený log	Faktor
Na ₂ O		
(2) N ₂ O ₅	0,6738	75878
(2) NaCl	0,5392	72448
(2) NaClO ₄	0,2531	40329
(2) NaClO ₄ · H ₂ O	0,2206	34367
(2) NaMg(UO ₂) ₃ · (C ₂ H ₃ O ₂) ₆ · 6 H ₂ O	0,02070	31602
(2) NaZn(UO ₂) ₃ · (C ₂ H ₃ O ₂) ₆ · 6 H ₂ O	0,02015	30427
Na ₂ CO ₃	0,5848	76698
Na ₂ CO ₃ · H ₂ O	0,4998	69881
Na ₂ SO ₄	0,4363	63983
Na ₂ SO ₄ · 10 H ₂ O	0,1924	28412
SO ₃	0,7741	88881
SiO ₂	1,032	01348
Na ₂ SO ₃ · 7 H ₂ O	BaSO ₄	1,080
		03356
Na ₂ SO ₄		
BaSO ₄	0,6086	78431
SO ₃	1,774	24898
Ni		
Ni(C ₂ H ₅ N ₄ O) ₂ (dikysandiamidin.)	0,2250	35226
Ni(C ₂ H ₇ N ₂ O) ₂ (diacetylidioxim.)	0,2032	30790
NiO	0,7858	89533
NiPy ₄ (SCN) ₂ ¹⁾	0,1195	07738
NiSO ₃	0,3793	57902
(1/2) Ni ₂ P ₂ O ₇	0,4030	60531
O	0,3669	56461

1) Py = pyridin

Tabuľka 15

Přeypočítávací faktory

Hledaná složka	Stanoveneno	Faktor	log	
NiO	(NH ₄) ₂ Ni(SO ₄) ₂ · 6 H ₂ O Ni Ni(C ₄ H ₇ N ₂ O ₂) ₂ · . . . (diacetylidoxim.) NiCl ₂ · 6 H ₂ O Ni(ClO ₄) ₂ · 6 H ₂ O Ni(NO ₃) ₂ · 6 H ₂ O NiSO ₄ NiSO ₄ · 7 H ₂ O	0,1891 1,273 0,2586 0,3143 0,2043 0,2569 0,4827 0,2660	27678 10467 41257 49733 31026 40978 68369 42486	0,1891 1,273 0,2586 0,3143 0,2043 0,2569 0,4827 0,2660
NiSO ₄ · 7 H ₂ O	NiO	3,760	57514	
O	(2) Cl H ₂ O	0,2256 0,8881	35341 94846	
O ₂	(4/5) KMnO ₄	0,2531	40328	
P ₂ O ₅				
OC ₂ H ₃	AgJ	0,1322	12119	
OC ₂ H ₃	AgJ	0,1919	28315	

Přeypočítávací faktory

Tabuľka 15

Hledaná složka	Stanoveneno	Faktor	log
P			
PO ₂			
PO ₃			
PO ₄			
P ₂ O ₅			
OC ₂ H ₃			

Tabuľka 15

Přepočítávací faktory

Hledaná složka	Stanovené	Faktor	log
Pb	Pb(O ₇ H ₄ NS ₂)OH (merkaptobenzthiaz.)	0,5307	72481
	Pb(C ₁₀ H ₇ O ₄ N ₄) ₂ · 1,5 H ₂ O (pikrolon.)	0,2724	43522
	Pb(C ₁₂ H ₁₀ ONS) ₂ (thional)	0,3239	51035
	PbCrO ₄	0,6411	80893
	Pb(JO ₃) ₂	0,3720	57052
	PbMoO ₄	0,5644	75155
	PbO	0,9283	96770
	PbO ₂	0,8662	93763
	PbS	0,8660	93752
	PbSO ₃	0,7213	85811
	PbSO ₄	0,6832	83457
Pb(C ₂ H ₅) ₄	PbSO ₄	1,067	02799
PbCrO ₄	(1/2) Cr ₂ O ₃ PbO	4,253 1,448	62866 16077
PbO	PbCO ₃ Pb(C ₂ H ₃ O ₂) ₂ · 3 H ₂ O PbCl ₂ Pb(ClO ₄) ₂ · 3 H ₂ O PbCrO ₄ PbMoO ₄ Pb(NO ₃) ₂ PbO ₂ PbS	0,8353 0,5884 0,8026 0,4851 0,6906 0,6079 0,6739 0,9331 0,9328	92183 76965 90447 68578 83923 78385 82858 96993 96982

Přepočítávací faktory

Tabuľka 15

Přepočítávací faktory

Hledaná složka	Stanovené	Faktor	log
PbO	PbSO ₃ PbSO ₄	· · · · ·	0,7770 0,7360
PbS	PbSO ₄	· · · · ·	0,7890
PbSO ₄	BaSO ₄ PbO	· · · · ·	1,299 1,359
Pd	Pd(CN) ₂ Pd(C ₄ H ₇ O ₂ N ₂) ₂ (diacetylidioxim.) Pd(C ₇ H ₆ O ₂ N) ₂ (salicylidioxim.) Pd(C ₁₀ H ₆ O ₂ N) ₂ (1-nitroso-2-naftol.) Pd(C ₁₀ H ₉ O ₃ N ₂) ₂ (benzoylmethylglyoxim.) PdCl ₂ · 2 HO ₂	· · · · · · · · · ·	0,6717 0,3161 0,2810 0,2361 0,2059 0,2059 0,4988
Pr	(1/2) Pr ₂ O ₃ (1/2) Pr ₂ (SO ₄) ₃	· · · · ·	0,8545 0,4944
Pt	(NH ₄) ₂ PtCl ₆ K ₂ PtCl ₆ PtS ₂	· · · · ·	0,4396 0,4014 0,7528

Tabuľka 15

Prepočítávací faktory

Hledaná složka	Stanovený	Faktor	log
Rb	RbCl	0,7068	84931
	RbClO ₄	0,4622	66482
	(1/2) Rb ₂ SO ₄	0,6402	80633
	(1/2) Rb ₂ SnCl ₆	0,3403	63184
S	BaSO ₄	0,1374	13792
	CuO	0,4031	60541
	Ba ₂ SO ₄	0,2489	39594
	CuSCN	0,4775	67901
SCN	BaSO ₄	0,2745	43851
	Na ₂ SO ₃	0,5083	70609
	Na ₂ SO ₃ .7H ₂ O	0,2541	40495
SO ₂	BaSO ₄	0,3430	53533
	CaO	1,428	15462
	K ₂ SO ₄	0,4594	66222
	(NH ₄) ₂ SO ₄	0,6059	78240
SO ₄	SO ₄	0,8334	92088
	BaSO ₄	0,4116	61445
	SO ₃	1,200	07912

Prepočítávací faktory

Tabuľka 15

Hledaná složka	Stanovený	Faktor	log
Sb	S ₂ O ₃	(2)	BaSO ₄
			0,2402
	Sb	As	1,625
		SbC ₆ H ₅ O ₄ (pyrogalol).	0,4632
S		Sb(C ₁₂ H ₁₀ ONS) ₃ (thional).	0,1680
		(1/2) Sb ₂ O ₃	0,8854
		(1/2) Sb ₂ O ₄	0,7919
		(1/2) Sb ₂ S ₃	0,7168
Sb ₂ O ₃		(2) K(SbO)C ₄ H ₄ O ₆ .1/2H ₂ O	0,4365
		(2) Sb	1,197
		(2) SbCl ₃	0,6389
		Sb ₂ O ₄	0,9480
Sb ₂ S ₃		Sb ₂ S ₃	0,8581
		(2) Sb	1,328
		(2) SbCl ₃	0,6389
		Sb ₂ O ₄	0,9480
Sb ₂ O ₅		(2) Sb	1,395
		Sb ₂ O ₅	1,105
		(2) Sb	1,658
		Sb ₂ S ₅	21969

Tabuľka 15

Přepočítávací faktory

Hledaná složka	Stanoveno	Faktor	log
Sc	(1/2) Sc_2O_3	0,6520	81423
Se	Na_2SeO_3	0,4566	65952
	SeO_3	0,7116	85225
SeO ₂	Na_2SeO_3	0,6416	80727
	Se	1,405	14775
SeO ₃	Na_2SeO_3	0,7341	86577
	Se	1,608	20625
Si	SiO_2	0,4674	66973
Sif	(3) CaF_2	0,6065	78286
	(3) CaSO_4	0,3479	54141
	K_2SiF_6	0,6450	80955
SiO ₃	SiO_2	1,266	10253
SiO ₄	SiO_2	1,533	18543

Přepočítávací faktory

Hledaná složka	Stanoveno	Faktor	log
Si ₂ O ₇	(2) SiO_2	1,399	14595
Sn	$\text{SnCl}_2 \cdot 2 \text{H}_2\text{O}$	0,5260	72101
	SnO_2	0,7877	89633
SnO ₂	Sn	1,270	10367
SnCl ₂ · 2 H ₂ O	Sn	1,901	27899
Sr	SrCO_3	0,5935	77342
	$\text{SrC}_2\text{O}_4 \cdot \text{H}_2\text{O}$	0,4524	65556
	SrO	0,8456	92716
	SrSO_4	0,4770	67854
SrO	SrCO_3	0,7019	84626
	$\text{SrCl}_2 \cdot 6 \text{H}_2\text{O}$	0,3886	58955
	$\text{Sr}(\text{ClO}_4)_2 \cdot 6 \text{H}_2\text{O}$	0,2626	41927
	$\text{Sr}(\text{NO}_3)_2 \cdot 4 \text{H}_2\text{O}$	0,3653	56260
	SrSO_4	0,5641	75138
SrCO ₃	$\text{Sr}(\text{NO}_3)_2$	0,6976	84360
	$\text{Sr}(\text{OH})_2 \cdot 8 \text{H}_2\text{O}$	0,5555	74469

Tabuľka 15

Tabuľka 15

Přepočítávací faktory

Hledaná složka	Stanoveno	Faktor	log
Sr(OH) ₂ · 8 H ₂ O	SrCO ₃	1,800	25531
	SrSO ₄	1,447	16043
SrSO ₄	BaSO ₄	0,7870	89596
	CaSO ₄	1,349	13007
Te	TeO ₂	0,7995	90282
TeO ₂	Te	1,251	09718
TeO ₃	Te	1,376	13867
Th	Th(C ₉ H ₆ ON) ₄ · (C ₉ H ₇ ON)	0,2433	38609
	(hydroxychinol.)		
	Th(C ₁₀ H ₈ O ₂ N ₄) ₄ · H ₂ O (pikrolon.)	0,1781	25068
	Th(NO ₃) ₄ · 4 H ₂ O	0,4203	62353
	ThO ₂	0,8788	94390
Ti	K ₂ TiF ₆	0,1995	29997
	K ₂ TiO(C ₂ O ₄) ₂ · 2 H ₂ O	0,1352	13111
	TiO(C ₉ H ₆ ON) ₂ (hydroxychinol.)	0,1360	13354
	TiO ₂	0,5995	77779
	(1/2) Ti ₂ P ₂ O ₉	0,3175	50173
V			
	K ₂ TiF ₆	0,1995	29997
	K ₂ TiO(C ₂ O ₄) ₂ · 2 H ₂ O	0,1352	13111
	TiO(C ₉ H ₆ ON) ₂ (hydroxychinol.)	0,1360	13354
	TiO ₂	0,5995	77779
	(1/2) Ti ₂ P ₂ O ₉	0,3175	50173

Přepočítávací faktory

Tabuľka 15

Hledaná složka	Stanoveno	Faktor	log
TiO ₂	K ₂ TiF ₆	0,3328	522118
	K ₂ TiO(C ₂ O ₄) ₂ · 2 H ₂ O	0,2256	35332
	TiCl ₄	0,4212	624446
	TiO(C ₉ H ₆ ON) ₂ (hydroxychinol.)	0,2269	355755
Tl	TiC ₂ H ₈ O ₂	0,7758	88977
	TiC ₇ H ₄ NS ₂ (merkaptobenzthiaz.)	0,5514	74150
	TiC ₁₂ H ₁₀ CNS (thional.)	0,4858	68650
	TiClO ₄	0,6726	82776
	TLJ	0,6169	79024
	TINO ₃	0,7672	88494
	(1/2) TL ₂ CrO ₄	0,7790	89151
	(1/2) TL ₂ O ₃	0,8949	95177
	(1/2) TL ₂ SO ₄	0,8097	90832
U	(1/2) Na ₂ U ₂ O ₇	0,7508	87554
	UO ₂	0,8815	94522
	UO ₂ (C ₂ H ₃ O ₂) ₂ · 2 H ₂ O	0,5612	74911
	UO ₂ (C ₉ H ₆ ON) ₂ · (C ₉ H ₇ ON)	0,3384	52937
	(hydroxychinol.)		
	UO ₂ (NO ₃) ₂ · 6 H ₂ O	0,4740	67581
	(1/2) (UO ₂) ₂ P ₂ O ₇	0,6667	82396
	(1/3) U ₃ O ₈	0,8480	92840
V			
	AgVO ₃	0,2463	39151
	(1/2) Pb ₂ V ₂ O ₇	0,1622	20996
	(1/2) V ₂ O ₃ (C ₉ H ₆ ON) ₄ (hydroxychinol.)	0,1402	14686
	(1/2) V ₂ O ₅	0,5602	74832

Tabulka 15

Přepočítávací faktory

Hledaná složka	Stanoveno	Faktor	log
V ₂ O ₅	(2) NH ₄ VO ₃ (2) NaVO ₃ (2) V	0,7774 0,7458 1,785	89064 87264 25168
W	WO ₂ (C ₉ H ₆ ON) ₂ (hydroxychinol.) WO ₃	0,3647 0,7930	56189 89926
WO ₃	Na ₂ WO ₄ . 2 H ₂ O W	0,7029 1,261	84687 10074
Y	(1/2) Y ₂ O ₃	0,7874	89621
Zn	Zn(C ₉ H ₆ ON) ₂ (hydroxychinol.) Zn(C ₁₀ H ₈ O ₂ N) ₂ . H ₂ O (chinald.) ZnHg(SCN) ₄ ZnNH ₄ PO ₄ ZnO ZnPy ₂ (SCN) ₂ ¹⁾ ZnS ZnSO ₄ (1/2) Zn ₂ P ₂ O ₇	0,1848 0,1528 0,1312 0,3665 0,8034 0,1924 0,6709 0,4049 0,4291	26677 18423 11790 56404 90492 28423 82669 60740 63257

Přepočítávací faktory

Tabulka 15

Hledaná složka	Stanoveno	Faktor	log
ZnCO ₃	ZnO	1,541	18777
ZnCl ₂	(2) AgCl Zn ZnO	0,4754 2,085 1,675	67710 31906 22398
ZnO	Zn	1,245	09508
ZnCO ₃	Zn(C ₂ H ₃ O ₂) ₂ . 2 H ₂ O	0,6490	81223
Zn(C ₉ H ₆ ON) ₂ (hydroxychinol.)	Zn(C ₉ H ₆ ON) ₂ (hydroxychinol.)	0,3707	56905
Zn(ClO ₄) ₂ . 6 H ₂ O	Zn(ClO ₄) ₂ . 6 H ₂ O	0,2301	36185
ZnHg(SCN) ₄	ZnHg(SCN) ₄	0,2185	33350
ZnNH ₄ PO ₄	ZnNH ₄ PO ₄	0,1633	21298
Zn(NO ₃) ₂ . 6 H ₂ O	Zn(NO ₃) ₂ . 6 H ₂ O	0,4562	65912
ZnS	ZnS	0,2736	43702
ZnSO ₄	ZnSO ₄	0,8352	92177
ZnSO ₄ . 7 H ₂ O	ZnSO ₄ . 7 H ₂ O	0,5041	70248
ZnS	ZnS	0,2830	45176
BaSO ₄	BaSO ₄	0,4174	62059
ZnO	ZnO	1,197	07823
(1/2) Zn ₂ P ₂ O ₇	(1/2) Zn ₂ P ₂ O ₇	0,6396	80588

¹⁾ Py = pyridin

Přepočítávací faktory

Hledaná složka	Stanoveno	Faktor	log
ZnSO ₄	BaSO ₄ ZnO	0,6916 1,984	83988 29752
ZnSO ₄ · 7 H ₂ O	BaSO ₄ ZnO	1,332 3,534	09060 54824
Zr	Zr(C ₆ H ₅ ON) ₄ (hydroxycholinol.) ZrO ₂ ZrP ₂ O ₇	0,1366 0,7403 0,3440	13542 86941 53658
ZrO ₂	Zr Zr(NO ₃) ₄ ZrOCl ₂ · 8 H ₂ O	1,351 0,3632 0,3824	13059 56017 58249

G gramů směsi tvorené složkami x a y bylo převedeno na G_1 gramů nové složiny nebo směsi sloučenin. Množství složky x (v gramech) v přirodní směsi se vypočte podle vzorce

$$x = aG_1 + bG$$

Nepřímá analýza

	x	y	G_1	a	$\log a$	b	$\log b$
NaCl	KCl	Na ₂ SO ₄ + K ₂ SO ₄	+21,502	33248	-25,130	40019	
KBr	KCl	AgCl	+	1,8869	27575	-3,6273	55958
	KCl	KCl	-	2,6772	42769	+2,6772	42769
	K ₂ SO ₄	K ₂ SO ₄	-	2,2908	35998	+2,6772	42769
	AgBr + AgCl	AgCl	-	2,9026	46279	+5,5799	74662
	AgCl	AgCl	-	1,3927	14385	+2,6772	42769
	KCl	KCl	-	1,8152	25893	+1,8152	25893
	K ₂ SO ₄	K ₂ SO ₄	-	1,5532	19123	+1,8152	25893
	AgJ + AgCl	AgCl	-	1,9681	29404	+3,7833	57787
	AgCl	AgCl	-	0,9443	97510	+1,8152	25893
	KCl	KCl	-	5,6379	75111	+3,5320	54802
	K ₂ SO ₄	K ₂ SO ₄	-	4,8240	68341	+3,5320	54802
	AgJ + AgBr	AgBr	-	6,1125	78622	+9,6445	9842S
	AgCl	AgCl	-	2,9328	46728	+3,5320	54802
	BaSO ₄	BaSO ₄	-	3,2911	51734	-4,4179	64423
	CO ₂	CO ₂	-	7,0624	84895	+3,1054	49211
	SrSO ₄ + CaSO ₄	SrSO ₄ + CaSO ₄	-	8,6212	93557	+11,7266	06917
	AgCl	AgCl	-	4,2242	62575	+4,2242	62575
	Ag	Ag	-	5,6126	74917	+4,2242	62575
	AgJ	AgCl	-	2,5672	40946	+2,5672	40946
	Ag	Ag	-	3,4109	53257	+2,5672	40946
	AgBr	AgCl	-	6,5443	81587	+4,9951	69854
	Ag	Ag	-	8,6953	93288	+4,9951	69854

Tabulka 17

Tabulka 17

Redukce objemu dusíku na normální podmínky¹⁾Redukce objemu dusíku na normální podmínky¹⁾

	<i>p</i>	<i>t°</i>	<i>p_{H2O}</i>	
680	681	682	683	684
03 313	03 377	03 440	03 504	03 568
03 160	03 224	03 287	03 351	03 415
03 007	03 071	03 134	03 198	03 262
02 855	02 919	02 982	03 046	03 110
02 703	02 767	02 830	02 894	02 958
02 551	02 615	02 678	02 742	02 806
02 400	02 464	02 527	02 591	02 655
02 250	02 314	02 377	02 441	02 505
02 100	02 164	02 227	02 291	02 355
01 951	02 015	02 078	02 142	02 206
01 802	01 866	01 929	01 993	02 057
01 654	01 718	01 781	01 845	01 909
01 506	01 570	01 633	01 697	01 761
01 359	01 423	01 486	01 550	01 614
01 213	01 277	01 340	01 404	01 468
01 067	01 131	01 191	01 258	01 322
00 921	00 985	01 048	01 112	01 176
00 776	00 840	00 903	00 967	01 031
00 631	00 695	00 758	00 822	00 886
00 487	00 551	00 614	00 678	00 742
00 343	00 407	00 470	00 534	00 598
00 200	00 264	00 327	00 391	00 455
00 057	00 121	00 184	00 248	00 312
99 914	99 978	00 041	00 105	00 169
99 772	99 836	99 899	99 963	00 027

	<i>p</i>	<i>t°</i>	<i>p_{H2O}</i>		
	685	686	687	688	689
03 631	03 694	03 758	03 821	03 884	10
03 478	03 541	03 605	03 668	03 731	11
03 325	03 388	03 452	03 515	03 578	12
03 173	03 236	03 300	03 363	03 426	13
03 021	03 084	03 148	03 211	03 274	14
02 869	02 932	02 996	03 059	03 122	15
02 718	02 781	02 845	02 908	02 971	16
02 568	02 631	02 695	02 758	02 821	17
02 418	02 481	02 545	02 608	02 671	18
02 269	02 332	02 396	02 459	02 522	19
02 120	02 183	02 247	02 310	02 373	20
01 972	02 035	02 099	02 162	02 225	21
01 824	01 887	01 951	02 014	02 077	22
01 677	01 740	01 804	01 867	01 930	23
01 531	01 594	01 658	01 721	01 784	24
01 385	01 448	01 512	01 575	01 638	25
01 239	01 302	01 366	01 429	01 492	26
01 094	01 157	01 221	01 284	01 347	27
00 949	01 012	01 076	01 139	01 202	28
00 805	00 868	00 932	00 995	01 058	29
00 661	00 724	00 788	00 851	00 914	30
00 518	00 581	00 645	00 708	00 771	31
00 375	00 438	00 502	00 565	00 628	32
00 232	00 295	00 359	00 422	00 485	33
00 090	00 153	00 217	00 280	00 343	34
					39,9

¹⁾ Interpolaci příloha s násobky tabulkových differencí je připojena k zadní desce knihy.

¹⁾ Interpolaci příloha s násobky tabulkových differencí je připojena k zadní desce knihy.

Tabulka 17

Redukce objemu dusíku na normální podmínky¹⁾Redukce objemu dusíku na normální podmínky¹⁾

		<i>P</i>		<i>t°</i>		<i>p_{H₂O}</i>
<i>690</i>	<i>691</i>	<i>692</i>	<i>693</i>	<i>694</i>	<i>695</i>	
					<i>695</i>	<i>696</i>
03 946	04 009	04 072	04 135	04 197	10	9,2
03 793	03 856	03 919	03 982	04 044	11	9,8
03 640	03 703	03 766	03 829	03 891	12	10,5
03 488	03 551	03 614	03 677	03 739	13	11,2
03 336	03 399	03 462	03 525	03 587	14	12,0
03 184	03 247	03 310	03 373	03 435	15	12,8
03 033	03 096	03 159	03 222	03 284	16	13,6
02 883	02 946	03 009	03 072	03 134	17	14,5
02 733	02 796	02 859	02 922	02 984	18	15,5
02 584	02 647	02 710	02 773	02 835	19	16,5
02 435	02 498	02 561	02 624	02 686	20	17,5
02 287	02 350	02 413	02 476	02 538	21	18,7
02 139	02 202	02 265	02 328	02 390	22	19,8
01 992	02 055	02 118	02 181	02 243	23	21,1
01 846	01 909	01 972	02 035	02 097	24	22,4
01 700	01 763	01 826	01 889	01 951	25	23,8
01 554	01 617	01 680	01 743	01 805	26	25,2
01 409	01 472	01 535	01 598	01 660	27	26,7
01 264	01 327	01 390	01 453	01 515	28	28,3
01 120	01 183	01 246	01 309	01 371	29	30,0
00 976	01 039	01 102	01 165	01 227	30	31,8
00 833	00 896	00 959	01 022	01 084	31	33,7
00 690	00 753	00 816	00 879	00 941	32	35,7
00 547	00 610	00 673	00 736	00 798	33	37,7
00 405	00 468	00 531	00 594	00 656	34	39,9

		<i>P</i>		<i>t°</i>		<i>p_{H₂O}</i>
<i>695</i>	<i>696</i>	<i>697</i>	<i>698</i>	<i>699</i>	<i>699</i>	
					<i>699</i>	
04 260	04 322	04 385	04 447	04 509	10	9,2
04 107	04 169	04 232	04 294	04 356	11	9,8
03 954	04 016	04 079	04 141	04 203	12	10,5
03 802	03 864	03 927	03 989	04 051	13	11,2
03 650	03 712	03 775	03 837	03 899	14	12,0
03 498	03 560	03 623	03 685	03 747	15	12,8
03 347	03 409	03 472	03 534	03 596	16	13,6
03 197	03 259	03 322	03 384	03 446	17	14,5
03 047	03 109	03 172	03 234	03 296	18	15,5
02 898	02 960	03 023	03 085	03 147	19	16,5
02 749	02 811	02 874	02 936	02 998	20	17,5
02 601	02 663	02 726	02 788	02 850	21	18,7
02 453	02 515	02 578	02 640	02 702	22	19,8
02 306	02 368	02 431	02 493	02 555	23	21,1
02 160	02 222	02 285	02 347	02 409	24	22,4
02 014	02 076	02 139	02 201	02 263	25	23,8
01 868	01 930	01 993	02 055	02 117	26	25,2
01 723	01 785	01 848	01 910	01 972	27	26,7
01 578	01 640	01 703	01 765	01 827	28	28,3
01 434	01 496	01 559	01 621	01 683	29	30,0
01 290	01 352	01 415	01 477	01 539	30	31,8
01 147	01 209	01 272	01 334	01 396	31	33,7
01 004	01 066	01 129	01 191	01 253	32	35,7
00 861	00 923	00 986	01 048	01 110	33	37,7
00 719	00 781	00 844	00 906	00 968	34	39,9

¹⁾ Interpolaci příloha s násobky tabulkových differencí je připojena k zadní desce knihy.

¹⁾ Interpolaci příloha s násobky tabulkových differencí je připojena k zadní desce knihy.

Redukce objemu dusíku na normální podmínky¹⁾Redukce objemu dusíku na normální podmínky¹⁾

<i>p</i>	<i>T₀</i>
700	701
701	702
702	703
703	704
704	705
705	706
706	707
707	708
708	709
709	710
710	711
711	712
712	713
713	714
714	715
715	716
716	717
717	718
718	719
719	720
720	721
721	722
722	723
723	724
724	725
725	726
726	727
727	728
728	729
729	730
730	731
731	732
732	733
733	734
734	735
735	736
736	737
737	738
738	739
739	740
740	741
741	742
742	743
743	744
744	745
745	746
746	747
747	748
748	749
749	750
750	751
751	752
752	753
753	754
754	755
755	756
756	757
757	758
758	759
759	760
760	761
761	762
762	763
763	764
764	765
765	766
766	767
767	768
768	769
769	770
770	771
771	772
772	773
773	774
774	775
775	776
776	777
777	778
778	779
779	780
780	781
781	782
782	783
783	784
784	785
785	786
786	787
787	788
788	789
789	790
790	791
791	792
792	793
793	794
794	795
795	796
796	797
797	798
798	799
799	800
800	801
801	802
802	803
803	804
804	805
805	806
806	807
807	808
808	809
809	810
810	811
811	812
812	813
813	814
814	815
815	816
816	817
817	818
818	819
819	820
820	821
821	822
822	823
823	824
824	825
825	826
826	827
827	828
828	829
829	830
830	831
831	832
832	833
833	834
834	835
835	836
836	837
837	838
838	839
839	840
840	841
841	842
842	843
843	844
844	845
845	846
846	847
847	848
848	849
849	850
850	851
851	852
852	853
853	854
854	855
855	856
856	857
857	858
858	859
859	860
860	861
861	862
862	863
863	864
864	865
865	866
866	867
867	868
868	869
869	870
870	871
871	872
872	873
873	874
874	875
875	876
876	877
877	878
878	879</td

Tabulka 17

Redukce objemu dusíku na normální podmínky¹⁾Redukce objemu dusíku na normální podmínky¹⁾

<i>t</i>	<i>P</i>	<i>t</i>	<i>P</i>	<i>t</i>	<i>P</i>
710	711	712	713	714	715
05 189	06 250	06 311	05 372	05 433	05 494
05 035	05 096	05 157	05 218	05 279	05 340
04 882	04 943	05 004	05 065	05 126	05 187
04 730	04 791	04 852	04 913	04 974	05 035
04 578	04 639	04 700	04 761	04 822	04 883
04 427	04 488	04 549	04 610	04 671	04 732
04 276	04 337	04 398	04 459	04 520	04 581
04 126	04 187	04 248	04 309	04 370	04 431
03 976	04 037	04 098	04 159	04 220	04 281
03 827	03 888	03 949	04 010	04 071	04 132
03 678	03 739	03 800	03 861	03 922	03 983
03 530	03 591	03 652	03 713	03 774	03 835
03 382	03 443	03 504	03 565	03 626	03 687
03 235	03 296	03 357	03 418	03 479	03 540
03 088	03 149	03 210	03 271	03 332	03 393
02 942	03 003	03 064	03 125	03 186	03 247
02 796	02 857	02 918	02 979	03 040	03 101
02 651	02 712	02 773	02 834	02 895	02 956
02 506	02 567	02 628	02 689	02 750	02 811
02 362	02 423	02 484	02 545	02 606	02 667
02 218	02 279	02 340	02 401	02 462	02 523
02 075	02 136	02 197	02 258	02 319	02 380
01 932	01 993	02 054	02 115	02 176	02 237
01 789	01 850	01 911	01 972	02 033	02 094
01 647	01 708	01 769	01 830	01 891	01 952

¹⁾ Interpolaci příloha s násobky tabulkových diferencí je připojena k zadní desce knihy.

¹⁾ Interpolaci příloha s násobky tabulkových diferencí je připojena k zadní desce knihy.

<i>t</i>	<i>P</i>	<i>t</i>	<i>P</i>	<i>t</i>	<i>P</i>
716	717	718	719	710	<i>P</i> _{H₂O}
9,2	10	11	11	9,8	9,2
10,5	12	12	12	10,5	10,5
11,2	13	13	13	11,2	11,2
12,0	14	14	14	12,0	12,0
12,8	15	16	16	13,6	12,8
13,6	16	16	16	14,5	13,6
14,5	17	17	17	15,5	14,5
15,5	18	18	19	16,5	15,5
16,5	19	19	19	17,5	16,5
17,5	20	21	21	18,7	17,5
18,7	21	22	22	19,8	18,7
19,8	22	23	23	21,1	19,8
21,1	23	23	23	22,4	21,1
22,4	24	24	24	22,4	22,4
23,8	25	26	26	25,2	23,8
25,2	26	26	26	26,7	25,2
26,7	27	27	27	26,7	26,7
28,3	28	28	28	28,3	28,3
28,3	29	29	29	30,0	28,3
30,0	29	29	29	30,0	30,0
31,8	30	30	30	31,8	31,8
33,7	31	31	31	33,7	33,7
35,7	32	32	32	35,7	35,7
37,7	33	33	33	37,7	37,7
39,9	34	34	34	39,9	39,9

Redukce objemu dusíku na normální podmínky¹⁾Redukce objemu dusíku na normální podmínky¹⁾

	<i>P</i>			<i>t°</i>	<i>p_{H2O}</i>
<i>T₂₀</i>	<i>T₂₁</i>	<i>T₂₂</i>	<i>T₂₃</i>	<i>T₂₄</i>	<i>t°</i>
05 796	05 857	05 917	05 977	06 037	10
05 642	05 703	05 763	05 823	05 883	11
05 489	05 550	05 610	05 670	05 730	12
05 337	05 398	05 458	05 518	05 578	13
05 185	05 246	05 306	05 366	05 426	14
05 034	05 095	05 155	05 215	05 275	15
04 883	04 944	05 004	05 064	05 124	16
04 733	04 794	04 854	04 914	04 974	17
04 583	04 644	04 704	04 764	04 824	18
04 434	04 495	04 555	04 615	04 675	19
04 285	04 346	04 406	04 466	04 526	20
04 137	04 198	04 258	04 318	04 378	21
03 989	04 050	04 110	04 170	04 230	22
03 842	03 903	03 963	04 023	04 083	23
03 695	03 756	03 816	03 876	03 936	24
03 549	03 610	03 670	03 730	03 790	25
03 403	03 464	03 524	03 584	03 644	26
03 258	03 319	03 379	03 439	03 499	27
03 113	03 174	03 234	03 294	03 354	28
02 969	03 030	03 090	03 150	03 210	29
02 825	02 886	02 946	03 006	03 066	30
02 682	02 743	02 803	02 863	02 923	31
02 539	02 600	02 660	02 720	02 780	32
02 396	02 457	02 517	02 577	02 637	33
02 254	02 315	02 375	02 435	02 495	34
					39,9

¹⁾ Interpolaci příloha s násobky tabulkových differencí je připojena k zadní desce knihy.

	<i>P</i>			<i>t°</i>	<i>p_{H2O}</i>
	<i>T₂₅</i>	<i>T₂₆</i>	<i>T₂₇</i>	<i>T₂₈</i>	<i>T₂₉</i>
	06 097	06 157	06 216	06 276	10
	05 943	06 003	06 062	06 122	11
	05 790	05 850	05 909	05 969	12
	05 638	05 698	05 757	05 817	13
	05 486	05 546	05 605	05 665	14
	05 335	05 395	05 454	05 514	15
	05 184	05 244	05 303	05 363	16
	05 034	05 094	05 153	05 213	17
	04 884	04 944	05 003	05 063	18
	04 735	04 795	04 854	04 914	19
	04 586	04 646	04 705	04 765	20
	04 438	04 498	04 557	04 617	21
	04 290	04 350	04 409	04 469	22
	04 143	04 203	04 262	04 322	23
	03 996	04 056	04 115	04 175	24
	03 850	03 910	03 969	04 029	25
	03 704	03 764	03 823	03 883	26
	03 559	03 619	03 678	03 738	27
	03 414	03 474	03 533	03 593	28
	03 270	03 330	03 389	03 449	29
	03 126	03 186	03 245	03 305	30
	02 983	03 043	03 102	03 162	31
	02 840	02 900	02 959	03 019	32
	02 697	02 757	02 816	02 876	33
	02 555	02 615	02 674	02 734	34
					39,9

¹⁾ Interpolaci příloha s násobky tabulkových differencí je připojena k zadní desce knihy.

Tabulka 17

Redukce objemu dusíku na normální podmínky¹⁾Redukce objemu dusíku na normální podmínky¹⁾

<i>t</i> 730	<i>P</i> 731	<i>P</i> 732	<i>P</i> 733	<i>P</i> 734	<i>t</i> °	<i>P</i> <i>p</i> _{H₂O}
06 395	06 455	06 514	06 573	06 633	10	9,2
06 241	06 301	06 360	06 419	06 479	11	9,8
06 088	06 148	06 207	06 266	06 326	12	10,5
05 936	05 996	06 055	06 114	06 174	13	11,2
05 784	05 844	05 903	05 962	06 022	14	12,0
05 633	05 693	05 752	05 811	05 871	15	12,8
05 482	05 542	05 601	05 660	05 720	16	13,6
05 332	05 392	05 451	05 510	05 570	17	14,5
05 182	05 242	05 301	05 360	05 420	18	15,5
05 033	05 093	05 152	05 211	05 271	19	16,5
04 884	04 944	05 003	05 062	05 122	20	17,5
04 736	04 796	04 855	04 914	04 974	21	18,7
04 588	04 648	04 707	04 766	04 826	22	19,8
04 441	04 501	04 560	04 619	04 679	23	21,1
04 294	04 354	04 413	04 472	04 532	24	22,4
04 148	04 208	04 267	04 326	04 386	25	23,8
04 002	04 062	04 121	04 180	04 240	26	25,2
03 857	03 917	03 976	04 035	04 095	27	26,7
03 712	03 772	03 831	03 890	03 950	28	28,3
03 568	03 628	03 687	03 746	03 806	29	30,0
03 424	03 484	03 543	03 602	03 662	30	31,8
03 281	03 341	03 400	03 459	03 519	31	33,7
03 138	03 198	03 257	03 316	03 376	32	35,7
02 995	03 055	03 114	03 173	03 233	33	37,7
02 853	02 913	02 972	03 031	03 091	34	39,9

¹⁾ Interpolaci příloha s násobky tabulkových differencí je připojena k zadní desce knihy.

¹⁾ Interpolaci příloha s násobky tabulkových differencí je připojena k zadní desce knihy.

<i>t</i> °	<i>P</i> 735	<i>P</i> 736	<i>P</i> 737	<i>P</i> 738	<i>P</i> 739	<i>t</i> °	<i>p</i> _{H₂O}
06 692	06 751	06 810	06 869	06 927	10	9,2	
06 538	06 597	06 656	06 715	06 773	11	9,8	
06 385	06 444	06 503	06 562	06 620	12	10,5	
06 233	06 292	06 351	06 410	06 468	13	11,2	
06 081	06 140	06 199	06 258	06 316	14	12,0	
05 930	05 989	06 048	06 107	06 165	15	12,8	
05 779	05 838	05 897	05 956	06 014	16	13,6	
05 629	05 688	05 747	05 806	05 864	17	14,5	
05 479	05 538	05 597	05 656	05 714	18	15,5	
05 330	05 389	05 448	05 507	05 565	19	16,5	
05 181	05 240	05 299	05 358	05 416	20	17,5	
05 033	05 092	05 151	05 210	05 268	21	18,7	
04 885	04 944	05 003	05 062	05 120	22	19,8	
04 738	04 797	04 856	04 915	04 973	23	21,1	
04 591	04 650	04 709	04 768	04 826	24	22,4	
04 445	04 504	04 563	04 622	04 680	25	23,8	
04 299	04 353	04 417	04 476	04 534	26	25,2	
04 154	04 213	04 272	04 331	04 389	27	26,7	
04 009	04 068	04 127	04 186	04 244	28	28,3	
03 865	03 924	03 983	04 042	04 100	29	30,0	
03 721	03 780	03 839	03 893	03 956	30	31,8	
03 578	03 637	03 696	03 755	03 813	31	33,7	
03 435	03 494	03 553	03 612	03 670	32	35,7	
03 292	03 351	03 410	03 469	03 527	33	37,7	
03 150	03 209	03 268	03 327	03 385	34	39,9	

Tabulka 17

Redukce objemu dusíku na normální podmínky¹⁾Redukce objemu dusíku na normální podmínky¹⁾

	<i>P</i>	<i>t°</i>	<i>pH₂O</i>	<i>P</i>	<i>t°</i>	<i>pH₂O</i>
740	741	742	743	744	745	746
06 986	07 045	07 103	07 162	07 220	10	9,2
06 832	06 891	06 949	07 008	07 066	11	9,8
06 679	06 738	06 796	06 855	06 913	12	10,5
06 527	06 586	06 644	06 703	06 761	13	11,2
06 375	06 434	06 492	06 551	06 609	14	12,0
06 224	06 283	06 341	06 400	06 458	15	12,8
06 073	06 132	06 190	06 249	06 307	16	13,6
05 923	05 982	06 040	06 099	06 157	17	14,5
05 773	05 832	05 890	05 949	06 007	18	15,5
05 624	05 683	05 741	05 800	05 858	19	16,5
05 475	05 534	05 592	05 651	05 709	20	17,5
05 327	05 386	05 444	05 503	05 561	21	18,7
05 179	05 238	05 296	05 355	05 413	22	19,8
05 032	05 091	05 149	05 208	05 266	23	21,1
04 885	04 944	05 002	05 061	05 119	24	22,4
04 739	04 798	04 856	04 915	04 973	25	23,8
04 593	04 652	04 710	04 769	04 827	26	25,2
04 448	04 507	04 565	04 624	04 682	27	26,7
04 303	04 362	04 420	04 479	04 537	28	28,3
04 159	04 218	04 276	04 335	04 393	29	30,0
04 015	04 074	04 132	04 191	04 249	30	31,8
03 872	03 931	03 989	04 048	04 106	31	33,7
03 729	03 788	03 846	03 905	03 963	32	35,7
03 586	03 645	03 703	03 762	03 820	33	37,7
03 444	03 503	03 561	03 620	03 678	34	39,9

¹⁾ Interpolaci příloha s násobky tabulkových differencí je připojena k zadní desce knihy.

¹⁾ Interpolaci příloha s násobky tabulkových differencí je připojena k zadní desce knihy.

	<i>P</i>	<i>t°</i>	<i>pH₂O</i>	<i>P</i>	<i>t°</i>	<i>pH₂O</i>
745	746	747	748	749	745	746
07 279	07 337	07 395	07 453	07 511	10	9,2
07 125	07 183	07 241	07 299	07 357	11	9,8
06 972	07 030	07 088	07 146	07 204	12	10,5
06 820	06 878	06 936	06 994	07 052	13	11,2
06 668	06 726	06 784	06 842	06 900	14	12,0
06 517	06 575	06 633	06 691	06 749	15	12,8
06 366	06 424	06 482	06 540	06 598	16	13,6
06 216	06 274	06 332	06 390	06 448	17	14,5
06 066	06 124	06 182	06 240	06 298	18	15,5
05 917	05 975	06 033	06 091	06 149	19	16,5
05 768	05 826	05 884	05 942	06 000	20	17,5
05 620	05 678	05 736	05 794	05 852	21	18,7
05 472	05 530	05 588	05 646	05 704	22	19,8
05 325	05 383	05 441	05 499	05 557	23	21,1
05 178	05 236	05 294	05 352	05 410	24	22,4
05 090	05 148	05 206	05 264	05 321	25	23,8
04 944	04 994	05 060	05 118	05 176	26	25,2
04 741	04 799	04 857	04 915	04 973	27	26,7
04 596	04 654	04 712	04 770	04 828	28	28,3
04 452	04 510	04 568	04 626	04 684	29	30,0
04 308	04 366	04 424	04 482	04 540	30	31,8
04 165	04 223	04 281	04 339	04 397	31	33,7
04 022	04 080	04 138	04 196	04 254	32	35,7
03 879	03 937	03 995	04 053	04 111	33	37,7
03 737	03 795	03 853	03 911	03 969	34	39,9

Tabulka 17

Redukce objemu dusíku na normální podmínky¹⁾Redukce objemu dusíku na normální podmínky¹⁾

<i>p</i>	<i>t°</i>	<i>pH₂O</i>	<i>p</i>	<i>t°</i>	<i>pH₂O</i>				
750	751	752	753	754	755	756	757	758	759
07 569	07 627	07 685	07 742	07 800	10	9,2	07 915	07 973	08 030
07 415	07 473	07 531	07 588	07 648	11	9,8	07 704	07 761	07 819
07 262	07 320	07 378	07 435	07 493	12	10,5	07 551	07 608	07 666
07 110	07 168	07 226	07 283	07 341	13	11,2	07 399	07 456	07 514
06 955	07 016	07 074	07 131	07 189	14	12,0	07 247	07 304	07 362
06 807	06 865	06 923	06 980	07 038	15	12,8	07 096	07 153	07 211
06 656	06 714	06 772	06 829	06 887	16	13,6	06 945	07 002	07 060
06 506	06 564	06 622	06 679	06 737	17	14,5	06 795	06 852	06 910
06 356	06 414	06 472	06 529	06 587	18	15,5	06 645	06 702	06 760
06 207	06 265	06 323	06 380	06 438	19	16,5	06 496	06 553	06 611
06 058	06 116	06 174	06 231	06 289	20	17,5	06 347	06 404	06 462
05 910	05 968	06 026	06 083	06 141	21	18,7	06 199	06 256	06 314
05 762	05 820	05 878	05 935	05 993	22	19,8	06 051	06 108	06 166
05 615	05 673	05 731	05 788	05 846	23	21,1	05 904	05 961	06 019
05 468	05 526	05 584	05 641	05 699	24	22,4	05 757	05 814	05 872
05 322	05 380	05 438	05 495	05 553	25	23,8	05 611	05 668	05 726
05 176	05 234	05 292	05 349	05 407	26	25,2	05 465	05 522	05 580
05 031	05 089	05 147	05 204	05 262	27	26,7	05 320	05 377	05 435
04 886	04 944	05 002	05 059	05 117	28	28,3	05 175	05 232	05 290
04 742	04 800	04 858	04 915	04 973	29	30,0	05 031	05 088	05 146
04 598	04 656	04 714	04 771	04 829	30	31,8	04 887	04 944	05 002
04 455	04 513	04 571	04 628	04 686	31	33,7	04 744	04 801	04 859
04 312	04 370	04 428	04 485	04 543	32	35,7	04 601	04 658	04 716
04 169	04 227	04 285	04 342	04 400	33	37,7	04 458	04 515	04 573
04 027	04 085	04 143	04 200	04 258	34	39,9	04 316	04 373	04 431

¹⁾ Interpolaci příloha s násobky tabulkových differencí je připojena k zadní desce knihy.

¹⁾ Interpolaci příloha s násobky tabulkových differencí je připojena k zadní desce knihy.

Tabuľka 17

Redukce objemu dusíku na normální podmínky¹⁾

Tabuľka 17

Redukce objemu dusíku na normální podmínky¹⁾

	<i>P</i>			<i>t°</i>	<i>p_{H₂O}</i>		<i>P</i>			<i>t°</i>	<i>p_{H₂O}</i>
760	761	762	763	764		765	766	767	768	769	
08 144	08 201	08 258	08 315	08 372	10	9,2	08 429	08 486	08 543	08 599	08 656
07 990	08 047	08 104	08 161	08 218	11	9,8	08 275	08 332	08 389	08 445	08 502
07 837	07 894	07 951	08 008	08 065	12	10,5	08 122	08 179	08 236	08 292	08 349
07 685	07 742	07 799	07 856	07 913	13	11,2	07 970	08 027	08 084	08 140	08 197
07 533	07 590	07 647	07 704	07 761	14	12,0	07 818	07 875	07 932	07 988	08 045
07 382	07 439	07 496	07 553	07 610	15	12,8	07 667	07 724	07 781	07 837	07 894
07 231	07 288	07 345	07 402	07 459	16	13,6	07 516	07 573	07 630	07 686	07 743
07 081	07 138	07 195	07 252	07 309	17	14,5	07 366	07 423	07 480	07 536	07 593
06 931	06 988	07 045	07 102	07 159	18	15,5	07 216	07 273	07 330	07 386	07 443
06 782	06 839	06 896	06 953	07 010	19	16,5	07 067	07 124	07 181	07 237	07 294
06 633	06 690	06 747	06 804	06 861	20	17,5	06 918	06 975	07 032	07 088	07 145
06 485	06 542	06 599	06 656	06 713	21	18,7	06 770	06 827	06 884	06 940	06 997
06 337	06 394	06 451	06 508	06 565	22	19,8	06 622	06 679	06 736	06 792	06 849
06 190	06 247	06 304	06 361	06 418	23	21,1	06 475	06 532	06 589	06 645	06 702
06 043	06 100	06 157	06 214	06 271	24	22,4	06 328	06 385	06 442	06 498	06 555
05 897	05 954	06 011	06 068	06 125	25	23,8	06 182	06 239	06 296	06 352	06 409
05 751	05 808	05 865	05 922	05 979	26	25,2	06 036	06 093	06 150	06 206	06 263
05 606	05 663	05 720	05 777	05 834	27	26,7	05 891	05 948	06 005	06 061	06 118
05 461	05 518	05 575	05 632	05 689	28	28,3	05 746	05 803	05 860	05 916	05 973
05 317	05 374	05 431	05 488	05 545	29	30,0	05 602	05 659	05 716	05 772	05 829
05 173	05 230	05 287	05 344	05 401	30	31,8	05 458	05 515	05 572	05 628	05 685
05 030	05 087	05 144	05 201	05 258	31	33,7	05 315	05 372	05 429	05 485	05 542
04 887	04 944	05 001	05 058	05 115	32	35,7	05 172	05 229	05 286	05 342	05 399
04 744	04 801	04 858	04 915	04 972	33	37,7	05 029	05 086	05 143	05 199	05 256
04 602	04 659	04 716	04 773	04 830	34	39,9	04 887	04 944	05 001	05 057	05 114

1) Interpolační příloha s násobky tabulkových differencí je připojena k zadní desce knihy.

2) Interpolaci využívajte s ohledem na to, že výsledné hodnoty jsou výrazně závislé na tom, jaké hodnoty se vypočítají.

1) Interpolaci příloha s násobky tabulkových differencí je připojena k zadní desce knihy.

Redukce objemu dusíku na normální podmínky¹⁾Redukce objemu dusíku na normální podmínky¹⁾

<i>p</i>	770	771	772	773	774	<i>t°</i>	<i>p_{H2O}</i>
	08 712	08 768	08 825	08 881	08 937	10	9,2
	08 558	08 614	08 671	08 727	08 783	11	9,8
	08 405	08 461	08 518	08 574	08 630	12	10,5
	08 253	08 309	08 366	08 422	08 478	13	11,2
	08 101	08 157	08 214	08 270	08 326	14	12,0
	07 949	08 005	08 062	08 118	08 174	15	12,8
	07 798	07 854	07 911	07 967	08 023	16	13,6
	07 648	07 704	07 761	07 817	07 873	17	14,5
	07 498	07 554	07 611	07 667	07 723	18	15,5
	07 349	07 405	07 462	07 518	07 574	19	16,5
	07 200	07 256	07 313	07 369	07 425	20	17,5
	07 052	07 108	07 165	07 221	07 277	21	18,7
	06 904	06 960	07 017	07 073	07 129	22	19,8
	06 757	06 813	06 870	06 926	06 982	23	21,1
	06 611	06 667	06 724	06 780	06 836	24	22,4
	06 465	06 521	06 578	06 634	06 690	25	23,8
	06 219	06 375	06 432	06 488	06 544	26	25,2
	06 174	06 230	06 287	06 343	06 399	27	26,7
	06 029	06 085	06 142	06 198	06 254	28	28,3
	05 885	05 941	05 998	06 054	06 110	29	30,0
	05 741	05 797	05 854	05 910	05 966	30	31,8
	05 598	05 654	05 711	05 767	05 823	31	33,7
	05 455	05 511	05 568	05 624	05 680	32	35,7
	05 312	05 368	05 425	05 481	05 537	33	37,7
	05 170	05 226	05 283	05 339	05 395	34	39,9

<i>p</i>	770	771	772	773	774	775	776	777	778	779	<i>t°</i>	<i>p_{H2O}</i>
	08 993	09 049	09 105	09 161	09 217	10	9,2					
	08 839	08 895	08 951	09 007	09 063	11	9,8					
	08 686	08 742	08 798	08 854	08 910	12	10,5					
	08 534	08 590	08 646	08 702	08 758	13	11,2					
	08 382	08 438	08 494	08 550	08 606	14	12,0					
	08 230	08 286	08 342	08 398	08 454	15	12,8					
	08 079	08 135	08 191	08 247	08 303	16	13,6					
	07 929	07 985	08 041	08 097	08 153	17	14,5					
	07 779	07 835	07 891	07 947	08 003	18	15,5					
	07 630	07 686	07 742	07 798	07 854	19	16,5					
	07 481	07 537	07 593	07 649	07 705	20	17,5					
	07 333	07 389	07 445	07 501	07 557	21	18,7					
	07 185	07 241	07 297	07 353	07 409	22	19,8					
	07 038	07 094	07 150	07 206	07 262	23	21,1					
	06 892	06 948	07 004	07 060	07 116	24	22,4					
	06 746	06 802	06 858	06 914	06 970	25	23,8					
	06 600	06 656	06 712	06 768	06 824	26	25,2					
	06 455	06 511	06 567	06 623	06 679	27	26,7					
	06 310	06 366	06 422	06 478	06 534	28	28,3					
	06 166	06 222	06 278	06 334	06 396	29	30,0					
	06 022	06 078	06 134	06 190	06 246	30	31,8					
	05 879	05 935	05 991	06 047	06 103	31	33,7					
	05 736	05 792	05 848	05 904	05 960	32	35,7					
	05 593	05 649	05 705	05 761	05 817	33	37,7					
	05 451	05 507	05 563	05 619	05 675	34	39,9					

1) Interpolaci přloha s násobky tabulkových differencí je připojena k zadní desce knihy.

1) Interpolaci přloha s násobky tabulkových differencí je připojena k zadní desce knihy.

Tabulka 17

Redukce objemu dusíku na normální podmínky¹⁾Redukce objemu dusíku na normální podmínky¹⁾

<i>P</i>	<i>t°</i>	<i>p_{H₂O}</i>	<i>P</i>	<i>t°</i>	<i>p_{H₂O}</i>					
780	781	782	783	784	785	786	787	788	789	
09 272	09 328	09 384	09 439	09 495	10	9,2	09 660	09 716	10	9,2
09 118	09 174	09 230	09 285	09 341	11	9,8	09 506	09 562	11	9,8
08 965	09 021	09 077	09 132	09 188	12	10,5	09 243	09 298	12	10,5
08 813	08 869	08 925	08 980	09 036	13	11,2	09 091	09 146	13	11,2
08 661	08 717	08 773	08 828	08 884	14	12,0	08 939	08 994	14	12,0
08 509	08 565	08 621	08 676	08 732	15	12,8	08 787	08 842	15	12,8
08 358	08 414	08 470	08 525	08 581	16	13,6	08 636	08 691	16	13,6
08 208	08 264	08 320	08 375	08 431	17	14,5	08 486	08 541	17	14,5
08 058	08 114	08 170	08 225	08 281	18	15,5	08 336	08 391	18	15,5
07 909	07 965	08 021	08 076	08 132	19	16,5	08 187	08 242	19	16,5
07 760	07 816	07 872	07 927	07 983	20	17,5	08 038	08 148	20	17,5
07 612	07 668	07 724	07 779	07 835	21	18,7	07 890	07 945	21	18,7
07 464	07 520	07 576	07 631	07 687	22	19,8	07 742	07 797	22	19,8
07 317	07 373	07 429	07 484	07 540	23	21,1	07 595	07 650	23	21,1
07 171	07 227	07 283	07 338	07 394	24	22,4	07 449	07 504	24	22,4
07 025	07 081	07 137	07 192	07 248	25	23,8	07 303	07 388	25	23,8
06 879	06 935	06 991	07 046	07 102	26	25,2	07 157	07 212	26	25,2
06 734	06 790	06 846	06 901	06 957	27	26,7	07 012	07 067	27	26,7
06 589	06 645	06 710	06 756	06 812	28	28,3	06 867	06 922	28	28,3
06 445	06 501	06 557	06 612	06 668	29	30,0	06 723	06 778	29	30,0
06 301	06 357	06 413	06 468	06 524	30	31,8	06 579	06 634	30	31,8
06 158	06 214	06 270	06 325	06 381	31	33,7	06 436	06 491	31	33,7
06 015	06 071	06 127	06 182	06 238	32	35,7	06 293	06 348	32	35,7
05 872	05 928	05 984	06 039	06 095	33	37,7	06 150	06 205	33	37,7
05 730	05 786	05 842	05 897	05 953	34	39,9	06 008	06 063	34	39,9

¹⁾ Interpolaci příloha s násobky tabulkových differencí je připojena k zadní desce knihy.

¹⁾ Interpolaci příloha s násobky tabulkových differencí je připojena k zadní desce knihy.

Tabulka 18

Objemové stanovení a rozpustnost některých plynů

Chem. složení	Název	Hustota (0 °C, 760 torrů)		F	log
		ρ	log		
CH ₃ Cl	Methylchlorid	2,307	36305	1,8449	26597
CH ₄	Methan	0,7168	85540	0,5731	75832
CO	Kysličník uhlíkatý	1,2500	09691	0,9996	99933
CO ₂	Kysličník uhlíčitý	1,9768	29597	1,5808	19889
C ₂ H ₂	Acetylén	1,1709	06852	0,9365	97144
C ₂ H ₄	Ethylen	1,2605	10054	1,008	00346
C ₂ H ₆	Ethan	1,356	13226	1,0844	03518
Cl ₂	Chlor	3,22	50786	2,575	41078
HCl	Chlorovodík	1,6391	21461	1,3108	11753
H ₂	Vodík	0,08987	95361	0,071867	85653
H ₂ S	Sirovodík	1,5392	18730	1,2309	09022
NH ₃	Amoniak	0,7714	88728	0,6169	79020
NO	Kysličník dusnatý	1,3402	12717	1,0718	03009
N ₂	Dusík	1,2505	09708	1,0000	00000
N ₂ O	Kysličník dusný	1,9780	29623	1,5818	19915
O ₂	Kyslík	1,42895	15502	1,1427	05794
SO ₂	Kysličník sířičitý	2,9263	46632	2,3401	36924
—	Suchý vzduch	1,2928	11153	1,0339	01445

Jel. G hledaná třha V ml plynu, změřených při teplotě $t^{\circ}\text{C}$ a tlaku p torrů, pak

$$\log G = \log V + \log \rho_{N_2} + \log F$$

Log ρ_{N_2} je údaj tabulky 17 pro příslušnou teplotu a tlak (korrigovaný podle stupnice tlakoměru — tab. 19 — popř. u vlnkého plynu zmenšený o tenzí vodní páry).

Bunsenovy absorpční koeficienty (ve vodě)

$t^{\circ}\text{C}$	α_{H_2}	α_{O_2}	α_{N_2}	α_{CO_2}	$t^{\circ}\text{C}$	α_{H_2}	α_{O_2}	α_{N_2}	α_{CO_2}	$t^{\circ}\text{C}$	α_{H_2}	α_{O_2}	α_{N_2}	α_{CO_2}
0	0,0215	0,0489	0,0235	1,713	50	0,0161	0,0209	0,0109	0,436	30	3,31	3,41	3,60	3,80
10	0,0196	0,0380	0,0186	1,194	60	0,0160	0,0195	0,0102	0,359	31	3,42	3,52	3,72	3,92
20	0,0182	0,0310	0,0155	0,878	70	0,0160	0,0183	0,0098	—	32	3,53	3,63	3,84	4,05
25	—	—	—	0,759	80	0,0160	0,0176	0,0096	—	33	3,64	3,75	3,96	4,17
30	0,0170	0,0261	0,0134	0,665	90	0,0160	0,0172	0,0095	—	34	3,75	3,86	4,08	4,30
40	0,0164	0,0231	0,0118	0,530	100	0,0160	0,0172	0,0095	—	—	4,10	4,34	4,56	4,84

Teplotní korekce údajů růtuového tlakoměru

V tabulce uvedené hodnoty, (torry) se odečítají od údajů barometru.

Chem. složení	Název	Mosazná stupnice				Skleněná stupnice			
		ρ	log	Tlak, torry	Tlak, torry				
CH ₃ Cl	Methylchlorid	2,307	36305	1,8449	26597	1,21	1,28	1,34	10
CH ₄	Methan	0,7168	85540	0,5731	75832	1,41	1,49	1,57	11
CO	Kysličník uhlíkatý	1,2500	09691	0,9996	99933	1,33	1,40	1,48	12
CO ₂	Kysličník uhlíčitý	1,9768	29597	1,5808	19889	1,45	1,52	1,62	13
C ₂ H ₂	Acetylén	1,1709	06852	0,9365	97144	1,57	1,65	1,75	13
C ₂ H ₄	Ethylen	1,2605	10054	1,008	00346	1,69	1,78	1,89	14
C ₂ H ₆	Ethan	1,356	13226	1,0844	03518	1,78	1,70	1,89	14
Cl ₂	Chlor	3,22	50786	2,575	41078	1,78	1,70	1,89	14
HCl	Chlorovodík	1,6391	21461	1,3108	11753	1,78	1,70	1,89	14
H ₂	Vodík	0,08987	95361	0,071867	85653	1,71	1,71	1,89	2,02
H ₂ S	Sirovodík	1,5392	18730	1,2309	09022	1,77	1,82	1,92	2,02
NH ₃	Amoniak	0,7714	88728	0,6169	79020	1,78	1,83	1,94	2,15
NO	Kysličník dusnatý	1,3402	12717	1,0718	03009	1,88	1,94	2,06	2,18
N ₂	Dusík	1,2505	09708	1,0000	00000	1,99	2,05	2,17	2,28
N ₂ O	Kysličník dusný	1,9780	29623	1,5818	19915	2,10	2,16	2,28	2,43
O ₂	Kyslík	1,42895	15502	1,1427	05794	2,16	2,29	2,41	2,43
SO ₂	Kysličník sířičitý	2,9263	46632	2,3401	36924	2,21	2,28	2,42	2,56
—	Suchý vzduch	1,2928	11153	1,0339	01445	2,32	2,39	2,53	2,69

Tabuľka 20

Korekce pro měření růtovým teploměrem

$t_{\text{kor}} = t_1 + k$

$k = \alpha n (t_1 - t_2)$

$\alpha = 0,0000 158$

Hodnoty k :

n	$t_1 - t_2$ (°C)																			
°C	40	60	80	100	120	140	160	180	200	220	240	260	280	300	320	340	360	380	°C	
20	0,1	0,2	0,3	0,4	0,5	0,6	0,6	0,7	0,8	0,8	0,9	0,9	1,0	1,1	1,1	1,2	20	1	-17,8	
40	0,3	0,4	0,5	0,6	0,8	0,9	1,0	1,1	1,3	1,4	1,5	1,6	1,8	1,9	2,0	2,1	2,3	40	2	-17,2
60	0,4	0,6	0,8	0,9	1,1	1,3	1,5	1,7	1,9	2,1	2,3	2,5	2,7	2,8	3,0	3,2	3,4	60	3	-16,7
80	0,8	1,0	1,3	1,5	1,8	2,0	2,3	2,5	2,8	3,0	3,2	3,4	3,6	3,8	4,0	4,3	4,5	80	4	-16,1
100	1,3	1,6	1,9	2,2	2,5	2,8	3,2	3,5	3,8	4,1	4,4	4,7	5,1	5,4	5,7	6,0	100	5	-15,6	
120	1,9	2,3	2,7	3,0	3,4	3,8	4,2	4,5	4,9	5,3	5,7	6,1	6,4	6,8	7,2	120	6	-15,0		
140	2,7	3,1	3,5	4,0	4,4	4,9	5,3	5,7	6,2	6,6	7,1	7,5	8,0	8,4	140	7	-14,4			
160	3,5	4,0	4,5	5,1	5,6	6,1	6,6	7,1	7,6	8,1	8,6	9,1	9,6	10,0	10,8	160	8	-13,9		
180	4,5	5,1	5,7	6,3	6,8	7,4	8,0	8,5	9,1	9,7	10,2	10,8	11,4	12,0	120	180	9	-13,3		
200	5,7	6,3	6,9	7,6	8,2	8,8	9,5	10,1	10,7	11,4	12,0	12,6	13,2	13,8	14,4	200	10	-12,8		
220	6,9	7,6	8,3	9,0	9,7	10,4	11,1	11,8	12,5	13,2	13,9	14,6	15,3	16,0	16,8	220	11	-12,2		
240	8,3	9,1	9,9	10,6	11,4	12,1	12,9	13,6	14,4	15,2	16,0	16,8	17,6	18,4	19,2	240	12	-11,7		
260	9,9	10,7	11,5	12,3	13,1	14,0	14,8	15,6	16,4	17,2	18,0	18,8	19,6	20,4	21,2	260	13	-11,1		
280	11,5	12,4	13,3	14,1	15,0	15,9	16,8	17,7	18,6	19,5	20,4	21,3	22,2	23,1	24,0	280	14	-10,6		
300	13,3	14,2	15,2	16,1	17,1	18,0	19,0	20,0	21,0	22,0	23,0	24,0	25,0	26,0	27,0	300	15	-10,1		
320	15,2	16,2	17,2	18,2	19,2	20,2	21,2	22,2	23,2	24,2	25,2	26,2	27,2	28,2	29,2	320	16	-9,6		
340	17,2	18,3	19,3	20,4	21,4	22,4	23,4	24,4	25,4	26,4	27,4	28,4	29,4	30,4	31,4	340	17	-9,1		
360	19,3	20,5	21,6	22,6	23,6	24,6	25,6	26,6	27,6	28,6	29,6	30,6	31,6	32,6	33,6	360	18	-8,6		
380	21,6	22,8	23,8	24,8	25,8	26,8	27,8	28,8	29,8	30,8	31,8	32,8	33,8	34,8	35,8	380	19	-8,1		
400	24,0	24,0	24,0	24,0	24,0	24,0	24,0	24,0	24,0	24,0	24,0	24,0	24,0	24,0	24,0	24,0	400	20	-7,6	

Vztahy mezi °R, °C, °F

$n^{\circ}\text{R} = 1,25 n^{\circ}\text{C}$

$n^{\circ}\text{C} = 0,8 n^{\circ}\text{R}$

$n^{\circ}\text{F} = 0,556 (n - 32)^{\circ}\text{C} = 0,445 (n - 32)^{\circ}\text{R}$

Přepočítávání °F na °C

	°F	°C	°F	°C	°F	°C	°F	°C	°F	°C
0	—	—	30	—	1,2	—	60	—	15,6	90
1	—	—	31	—	0,6	—	61	—	16,1	91
2	—	—	32	—	0	—	62	—	16,7	92
3	—	—	33	—	0,6	—	63	—	17,2	93
4	—	—	34	—	1,1	—	64	—	17,8	94
5	—	—	35	—	1,7	—	65	—	18,3	95
6	—	—	36	—	2,2	—	66	—	18,9	96
7	—	—	37	—	2,8	—	67	—	19,4	97
8	—	—	38	—	3,3	—	68	—	20,0	98
9	—	—	39	—	3,9	—	69	—	20,6	99
10	—	—	40	—	4,4	—	70	—	21,1	100
11	—	—	41	—	5,0	—	71	—	21,7	101
12	—	—	42	—	5,6	—	72	—	22,2	102
13	—	—	43	—	6,1	—	73	—	22,8	103
14	—	—	44	—	6,7	—	74	—	23,3	104
15	—	—	45	—	7,2	—	75	—	23,9	105
16	—	—	46	—	7,8	—	76	—	24,4	106
17	—	—	47	—	8,3	—	77	—	25,0	107
18	—	—	48	—	8,9	—	78	—	25,6	108
19	—	—	49	—	9,4	—	79	—	26,1	109
20	—	—	50	—	10,0	—	80	—	26,7	110
21	—	—	51	—	10,6	—	81	—	27,2	111
22	—	—	52	—	11,1	—	82	—	27,8	112
23	—	—	53	—	11,7	—	83	—	28,3	113
24	—	—	54	—	12,2	—	84	—	28,9	114
25	—	—	55	—	12,8	—	85	—	29,4	115

Tabuľka 21

Tabuľka 21

Přepočítávání °F na °C

•F	°C	°F	°C	°F	°C	°F	°C
120	+48,9	150	+65,6	180	+82,2	210	+98,9
121	+49,4	151	+66,1	181	+82,8	211	+99,4
122	+50,0	152	+66,7	182	+83,3	212	+100,0
123	+50,6	153	+67,2	183	+83,9	213	+100,6
124	+51,1	154	+67,8	184	+84,4	214	+101,1
125	+51,7	155	+68,3	185	+85,0	215	+101,7
126	+52,2	156	+68,9	186	+85,6	216	+102,2
127	+52,8	157	+69,4	187	+86,1	217	+102,8
128	+53,3	158	+70,0	188	+86,7	218	+103,3
129	+53,9	159	+70,6	189	+87,2	219	+103,9
130	+54,4	160	+71,1	190	+87,8	220	+104,4
131	+55,0	161	+71,7	191	+88,3	221	+105,0
132	+55,6	162	+72,2	192	+88,9	222	+105,6
133	+56,1	163	+72,8	193	+89,4	223	+106,1
134	+56,7	164	+73,3	194	+90,0	224	+106,7
135	+57,2	165	+73,9	195	+90,6	225	+107,2
136	+57,8	166	+74,4	196	+91,1	226	+107,8
137	+58,3	167	+75,0	197	+91,7	227	+108,3
138	+58,9	168	+75,6	198	+92,2	228	+108,9
139	+59,4	169	+76,1	199	+92,8	229	+109,4
140	+60,0	170	+76,7	200	+93,3	230	+110,0
141	+60,6	171	+77,2	201	+93,9	231	+110,6
142	+61,1	172	+77,8	202	+94,4	232	+111,1
143	+61,7	173	+78,3	203	+95,0	233	+111,7
144	+62,2	174	+78,9	204	+95,6	234	+112,2
145	+62,8	175	+79,4	205	+96,1	235	+112,8
146	+63,3	176	+80,0	206	+96,7	236	+113,3
147	+63,9	177	+80,6	207	+97,2	237	+113,9
148	+64,4	178	+81,1	208	+97,8	238	+114,4
149	+65,0	179	+81,7	209	+98,3	239	+115,0

Tabuľka 22

Hustoty roztokov kyselin, zásad a solí

Kyselina chloristá $\frac{20^{\circ}}{4^{\circ}}$ C							
•F	°C	°F	°C	°F	°C	°F	°C
120	+48,9	150	+65,6	180	+82,2	210	+98,9
121	+49,4	151	+66,1	181	+82,8	211	+99,4
122	+50,0	152	+66,7	182	+83,3	212	+100,0
123	+50,6	153	+67,2	183	+83,9	213	+100,6
124	+51,1	154	+67,8	184	+84,4	214	+101,1
125	+51,7	155	+68,3	185	+85,0	215	+101,7
126	+52,2	156	+68,9	186	+85,6	216	+102,2
127	+52,8	157	+69,4	187	+86,1	217	+102,8
128	+53,3	158	+70,0	188	+86,7	218	+103,3
129	+53,9	159	+70,6	189	+87,2	219	+103,9
130	+54,4	160	+71,1	190	+87,8	220	+104,4
131	+55,0	161	+71,7	191	+88,3	221	+105,0
132	+55,6	162	+72,2	192	+88,9	222	+105,6
133	+56,1	163	+72,8	193	+89,4	223	+106,1
134	+56,7	164	+73,3	194	+90,0	224	+106,7
135	+57,2	165	+73,9	195	+90,6	225	+107,2
136	+57,8	166	+74,4	196	+91,1	226	+107,8
137	+58,3	167	+75,0	197	+91,7	227	+108,3
138	+58,9	168	+75,6	198	+92,2	228	+108,9
139	+59,4	169	+76,1	199	+92,8	229	+109,4
140	+60,0	170	+76,7	200	+93,3	230	+110,0
141	+60,6	171	+77,2	201	+93,9	231	+110,6
142	+61,1	172	+77,8	202	+94,4	232	+111,1
143	+61,7	173	+78,3	203	+95,0	233	+111,7
144	+62,2	174	+78,9	204	+95,6	234	+112,2
145	+62,8	175	+79,4	205	+96,1	235	+112,8
146	+63,3	176	+80,0	206	+96,7	236	+113,3
147	+63,9	177	+80,6	207	+97,2	237	+113,9
148	+64,4	178	+81,1	208	+97,8	238	+114,4
149	+65,0	179	+81,7	209	+98,3	239	+115,0

Tabuľka 22

Hustoty rozložků kyselin, zásad a solí

Kyselina sírová $\frac{20^{\circ}}{4^{\circ}}$ C

% H ₂ SO ₄	ϱ	°Bé	g · l ⁻¹	mol · l ⁻¹
1	1,0051	0,7	10,05	0,1025
2	1,0118	1,7	20,24	0,2064
3	1,0184	2,6	30,55	0,3115
4	1,0250	3,5	41,00	0,4180
5	1,0317	4,5	51,59	0,5260
6	1,0385	5,4	62,31	0,6353
7	1,0453	6,3	73,17	0,7460
8	1,0522	7,2	84,18	0,8583
9	1,0591	8,1	95,32	0,9718
10	1,0661	9,0	106,6	1,087
11	1,0731	9,9	118,0	1,203
12	1,0802	10,8	129,6	1,321
13	1,0874	11,7	141,4	1,442
14	1,0947	12,5	153,3	1,563
15	1,1020	13,4	165,3	1,685
16	1,1094	14,3	177,5	1,810
17	1,1168	15,2	189,9	1,936
18	1,1243	16,0	202,4	2,064
19	1,1318	16,9	215,0	2,192
20	1,1394	17,7	227,9	2,324
22	1,1548	19,4	254,1	2,591
24	1,1704	21,1	280,9	2,864
26	1,1862	22,8	308,4	3,144
28	1,2023	24,4	336,6	3,432
30	1,2185	26,0	365,6	3,728
32	1,2349	27,6	395,2	4,029
34	1,2515	29,1	425,5	4,338
36	1,2684	30,7	456,6	4,655
38	1,2855	32,2	488,5	4,980
40	1,3028	33,7	521,1	5,313

Kyselina sírová $\frac{20^{\circ}}{4^{\circ}}$ C

Hustoty rozložků kyselin, zásad a solí

Kyselina sírová $\frac{20^{\circ}}{4^{\circ}}$ C

Tabuľka 22

Hustoty rozložků kyselin, zásad a solí

Kyselina sírová $\frac{20^{\circ}}{4^{\circ}}$ C

% H ₂ SO ₄	ϱ	°Bé	g · l ⁻¹	mol · l ⁻¹	% H ₂ SO ₄	ϱ	°Bé	g · l ⁻¹	mol · l ⁻¹
42		1,3205	35,2		554,6		5,654		
44		1,3384	36,7		588,9		6,004		
46		1,3569	38,1		624,2		6,364		
48		1,3758	39,6		660,4		6,733		
50		1,3951	41,1		697,6		7,112		
52		1,4148	42,5		735,7		7,501		
54		1,4350	44,0		774,9		7,901		
56		1,4557	45,4		815,2		8,311		
58		1,4768	46,8		856,5		8,733		
60		1,4983	48,2		899,0		9,166		
62		1,5200	49,6		942,4		9,608		
64		1,5421	51,0		986,9		10,06		
66		1,5646	52,3		1033		10,53		
68		1,5874	53,7		1079		11,00		
70		1,6105	55,0		1127		11,49		
72		1,6338	56,3		1176		11,99		
74		1,6574	57,5		1226		12,50		
76		1,6810	58,7		1278		13,03		
78		1,7043	59,9		1329		13,55		
80		1,7272	61,1		1382		14,09		
82		1,7491	62,1		1434		14,62		
84		1,7693	63,0		1486		15,15		
86		1,7872	63,9		1537		15,67		
88		1,8022	64,5		1586		16,17		
90		1,8144	65,1		1633		16,65		
92		1,8240	65,5		1678		17,11		
94		1,8312	65,8		1721		17,55		
96		1,8355	66,0		1762		17,96		
98		1,8361	66,0		1799		18,34		
100		1,8305	65,8		1831		18,67		

Tabulka 22

Hustoty roztoků kyselin, zásad a solí

Kyselina dusičná $\frac{20^\circ}{4^\circ}$ C

% HNO ₃	ϱ	${}^{\circ}\text{Bé}$	g · l ⁻¹	mol · l ⁻¹
1	1,0036	0,5	10,04	0,1593
2	1,0091	1,3	20,18	0,3202
3	1,0146	2,1	30,44	0,4830
4	1,0201	2,9	40,80	0,6475
5	1,0256	3,6	51,28	0,8138
6	1,0312	4,4	61,87	0,9818
7	1,0369	5,2	72,58	1,152
8	1,0427	5,9	83,42	1,324
9	1,0485	6,7	94,37	1,498
10	1,0543	7,5	105,4	1,673
11	1,0602	8,2	116,6	1,850
12	1,0661	9,0	127,9	2,030
13	1,0721	9,8	139,4	2,212
14	1,0781	10,5	150,9	2,395
15	1,0842	11,3	162,6	2,580
16	1,0903	12,0	174,4	2,768
17	1,0964	12,8	186,4	2,958
18	1,1026	13,5	198,5	3,150
19	1,1088	14,2	210,7	3,344
20	1,1150	15,0	223,0	3,539
22	1,1276	16,4	248,1	3,937
24	1,1404	17,9	273,7	4,343
26	1,1534	19,4	299,9	4,759
28	1,1666	20,7	326,6	5,183
30	1,1800	22,1	354,0	5,618
32	1,1934	23,5	381,9	6,060
34	1,2071	24,9	410,4	6,513
36	1,2205	26,2	439,4	6,973
38	1,2335	27,5	468,7	7,438
40	1,2463	28,7	498,5	7,911

Tabulka 22

Hustoty roztoků kyselin, zásad a solí

Kyselina dusičná $\frac{20^\circ}{4^\circ}$ C

% HNO ₃	ϱ	${}^{\circ}\text{Bé}$	g · l ⁻¹	mol · l ⁻¹	$\text{mol} \cdot \text{l}^{-1}$
1	1,0036	0,5	10,04	0,1593	0,1593
2	1,0091	1,3	20,18	0,3202	0,3202
3	1,0146	2,1	30,44	0,4830	0,4830
4	1,0201	2,9	40,80	0,6475	0,6475
5	1,0256	3,6	51,28	0,8138	0,8138
6	1,0312	4,4	61,87	0,9818	0,9818
7	1,0369	5,2	72,58	1,152	1,152
8	1,0427	5,9	83,42	1,324	1,324
9	1,0485	6,7	94,37	1,498	1,498
10	1,0543	7,5	105,4	1,673	1,673
11	1,0602	8,2	116,6	1,850	1,850
12	1,0661	9,0	127,9	2,030	2,030
13	1,0721	9,8	139,4	2,212	2,212
14	1,0781	10,5	150,9	2,395	2,395
15	1,0842	11,3	162,6	2,580	2,580
16	1,0903	12,0	174,4	2,768	2,768
17	1,0964	12,8	186,4	2,958	2,958
18	1,1026	13,5	198,5	3,150	3,150
19	1,1088	14,2	210,7	3,344	3,344
20	1,1150	15,0	223,0	3,539	3,539
22	1,1276	16,4	248,1	3,937	3,937
24	1,1404	17,9	273,7	4,343	4,343
26	1,1534	19,4	299,9	4,759	4,759
28	1,1666	20,7	326,6	5,183	5,183
30	1,1800	22,1	354,0	5,618	5,618
32	1,1934	23,5	381,9	6,060	6,060
34	1,2071	24,9	410,4	6,513	6,513
36	1,2205	26,2	439,4	6,973	6,973
38	1,2335	27,5	468,7	7,438	7,438
40	1,2463	28,7	498,5	7,911	7,911

Tabuľka 22

Tabuľka 22

Hustoty roztokov kyselin, zásad a solí

Kyselina fosforečná $\frac{20^{\circ}}{4^{\circ}}$

% H ₃ PO ₄	ϱ	${}^{\circ}\text{Bé}$	g · l ⁻¹	mol · l ⁻¹
1	1,0038	0,6	10,038	0,1024
2	1,0092	1,3	20,184	0,2060
4	1,0200	2,8	40,800	0,4163
6	1,0309	4,3	61,854	0,6312
8	1,0420	5,8	83,360	0,8506
10	1,0532	7,3	105,32	1,075
12	1,0647	8,8	127,76	1,304
14	1,0764	10,3	150,70	1,538
16	1,0884	11,8	174,14	1,777
18	1,1008	13,3	198,14	2,022
20	1,1134	14,8	222,68	2,272
22	1,1263	16,3	247,79	2,528
24	1,1395	17,8	273,48	2,791
26	1,1529	19,2	299,75	3,059
28	1,1665	20,7	326,62	3,333
30	1,1805	22,2	354,15	3,614
35	1,2116	25,8	425,6	4,343
40	1,254	29,4	501,6	5,118
45	1,293	32,9	581,9	6,938
50	1,335	36,4	667,5	6,811
55	1,379	39,9	758,5	7,740
60	1,426	43,3	855,6	8,731
65	1,475	46,7	958,8	9,784
70	1,526	50,0	1068	10,90
75	1,579	53,2	1184	12,08
80	1,633	56,2	1306	13,33
85	1,689	59,2	1436	14,65
90	1,746	62,0	1571	16,03
92	1,770	63,1	1628	16,61
94	1,794	64,2	1686	17,20
96	1,819	65,3	1746	17,82
98	1,844	66,4	1807	18,44
100	1,870	67,5	1870	19,08

Hustoty roztokov kyselin, zásad a solí

Kyselina fosforečná $\frac{20^{\circ}}{4^{\circ}}$ Kyselina octová $\frac{20^{\circ}}{4^{\circ}}$

% CH ₃ COOH	ϱ	${}^{\circ}\text{Bé}$	g · l ⁻¹	mol · l ⁻¹
1	0,9996	—	9,996	0,1665
2	1,0012	0,2	20,024	0,3334
4	1,0040	0,6	40,160	0,6687
6	1,0069	1,0	60,414	1,006
8	1,0097	1,4	80,776	1,345
10	1,0125	1,8	101,25	1,686
12	1,0154	2,2	121,85	2,029
14	1,0182	2,6	142,55	2,374
16	1,0209	3,0	163,34	2,720
18	1,0236	3,3	184,25	3,068
20	1,0263	3,7	205,26	3,418
22	1,0288	4,1	226,34	3,769
24	1,0313	4,4	247,51	4,122
26	1,0338	4,7	268,79	4,476
28	1,0361	5,1	290,11	4,831
30	1,0384	5,4	311,52	5,187
35	1,0438	6,1	365,3	6,083
40	1,0488	6,8	419,5	6,986
45	1,0534	7,4	474,0	7,893
50	1,0575	7,9	528,8	8,805
55	1,0611	8,4	583,6	9,718
60	1,0642	8,8	638,5	10,63
65	1,0666	9,1	693,3	11,54
70	1,0685	9,3	748,0	12,45
75	1,0696	9,4	802,2	13,36
80	1,0700	9,5	856,0	14,25
85	1,0689	9,4	908,6	15,13
90	1,0661	9,0	959,5	15,98
95	1,0605	8,3	1007	16,77
98	1,0498	6,9	1049,8	17,48

Tabuľka 22
Hustoty roztoku kyselin, zásad a solí
Kyselina mravenčia $\frac{20^\circ}{4^\circ}$ C

Tabuľka 22

Hustoty roztoku kyselin, zásad a solí
Kyselina chlorovodíková $\frac{20^\circ}{4^\circ}$ C

% H. CHO ₂	ρ	°Bé	g. l ⁻¹	mol. l ⁻¹
1	1,0009	0,2	10,009	0,2175
5	1,0115	1,6	50,575	1,0988
10	1,0246	3,5	102,46	2,226
15	1,0371	5,2	155,56	3,380
20	1,0488	6,8	209,76	4,557
25	1,0609	8,3	265,23	5,763
30	1,0729	9,9	321,87	6,993
35	1,0847	11,3	379,65	8,249
40	1,0965	12,7	438,60	9,529
45	1,1085	14,2	498,83	10,838
50	1,1206	15,6	560,30	12,174
55	1,1318	16,9	622,49	13,525
60	1,1424	18,1	685,44	14,892
65	1,1541	19,4	750,17	16,299
70	1,1655	20,6	815,85	17,726
75	1,1769	21,7	882,67	19,178
80	1,1857	22,7	958,56	20,609
85	1,1953	23,6	1016,0	22,074
90	1,2044	24,6	1084,0	23,552
95	1,2140	25,6	1153,3	25,055
100	1,2212	26,3	1221,2	26,533

Kyselina fluorovodíková $\frac{20^\circ}{4^\circ}$ C

% HF	ρ	°Bé	g. l ⁻¹	mol. l ⁻¹
1	1,003	0,4	10,03	0,5012
2	1,005	0,7	20,10	1,0045
4	1,012	1,7	40,48	2,0231
6	1,021	3,0	61,26	3,0615
8	1,028	3,9	82,24	4,110
10	1,036	5,0	103,60	5,177
15	1,053	9,4	214,00	10,695
25	1,086	11,5	271,50	13,568
30	1,102	13,4	330,60	16,522
40	1,128	16,4	448,32	22,405
50	1,135	19,4	577,50	28,860

Kyselina bromovodíková $\frac{20^\circ}{4^\circ}$ C

% HBr	ρ	°Bé	g. l ⁻¹	mol. l ⁻¹
1	1,0053	0,8	10,05	0,1242
2	1,0124	1,8	20,25	0,2502
4	1,0369	3,8	41,08	0,5076
6	1,0417	5,8	62,50	0,7723
8	1,0568	7,8	84,54	1,045
10	1,0723	9,8	107,2	1,325
12	1,0883	11,8	130,6	1,614
14	1,1048	13,8	154,7	1,911
16	1,1219	15,8	179,5	2,218
18	1,1396	17,8	205,1	2,535
20	1,1579	19,8	231,6	2,862

Tabuľka 22

Hustoty roztokov kyselin, zásad a solí

Kyselina bromovodíková $\frac{20^\circ}{4^\circ}$ C

% NH ₃	ρ	σ_{B6}	$g \cdot 1^{-1}$	$mol \cdot 1^{-1}$
1	0,9939	10,9	9,939	0,5836
2	0,9895	11,5	19,79	1,162
4	0,9811	11,7	39,24	2,304
6	0,9730	13,9	58,38	3,428
8	0,9651	15,1	77,21	4,533
10	0,9575	16,2	95,75	5,622
12	0,9501	17,3	114,0	6,693
14	0,9430	18,5	132,0	7,750
16	0,9362	19,5	149,8	8,795
18	0,9295	20,6	167,3	9,823
20	0,9229	21,7	184,6	10,84

Amoniak $\frac{20^\circ}{4^\circ}$ C

% NH ₃	ρ	σ_{B6}	$g \cdot 1^{-1}$	$mol \cdot 1^{-1}$
1	0,9939	10,9	9,939	0,5836
2	0,9895	11,5	19,79	1,162
4	0,9811	11,7	39,24	2,304
6	0,9730	13,9	58,38	3,428
8	0,9651	15,1	77,21	4,533
10	0,9575	16,2	95,75	5,622
12	0,9501	17,3	114,0	6,693
14	0,9430	18,5	132,0	7,750
16	0,9362	19,5	149,8	8,795
18	0,9295	20,6	167,3	9,823
20	0,9229	21,7	184,6	10,84
22	0,9164	22,8	201,6	11,84
24	0,9101	23,8	218,4	12,82
26	0,9040	24,9	235,0	13,80
28	0,8980	25,9	251,4	14,76
30	0,8920	27,0	267,6	15,71

Hydroxíd sodný $\frac{20^\circ}{4^\circ}$ C

% NaOH	ρ	σ_{B6}	$g \cdot 1^{-1}$	$mol \cdot 1^{-1}$
1	1,0095	1,4	10,095	0,2524
2	1,0207	2,9	20,414	0,5104
3	1,0318	4,5	30,954	0,7739
4	1,0428	6,0	41,712	1,043
5	1,0538	7,4	52,690	1,317
6	1,0648	8,8	63,888	1,597
7	1,0758	10,2	75,306	1,883
8	1,0869	11,6	86,952	2,174
9	1,0979	12,9	98,811	2,470
10	1,1089	14,2	110,89	2,772
12	1,1309	16,8	135,71	3,393
14	1,1530	19,2	161,42	4,036
16	1,1751	21,6	188,02	4,701
18	1,1972	23,9	215,50	5,388
20	1,2191	26,1	243,82	6,096
22	1,2411	28,2	273,04	6,826
24	1,2629	30,2	303,10	7,578
26	1,2848	32,1	334,05	8,351
28	1,3064	34,0	365,79	9,145
30	1,3279	35,8	398,37	9,959
32	1,3490	37,5	431,68	10,79
34	1,3696	39,1	465,66	11,64
36	1,3900	40,7	500,40	12,51
38	1,4101	42,2	535,84	13,40
40	1,4300	43,6	572,00	14,30
42	1,4494	45,0	608,75	15,22
44	1,4685	46,3	646,14	16,15
46	1,4873	47,5	684,16	17,10
48	1,5065	48,8	723,12	18,08
50	1,5253	49,9	762,65	19,07

Tabuľka 22

Hustoty roztoku kyselin, zásad a solí

Hydroxíd draselný $\frac{20^\circ}{4^\circ}$ C

% KOH	ρ	${}^{\circ}\text{Bé}$	g · l⁻¹	mol · l⁻¹
1	1,0074	1,1	10,07	0,179
2	1,0165	2,4	20,33	0,362
3	1,0257	3,6	30,77	0,548
4	1,0348	4,9	41,39	0,737
5	1,0440	6,1	52,20	0,930
6	1,0531	7,3	63,19	1,126
7	1,0624	8,5	74,37	1,325
8	1,0717	9,7	85,74	1,528
9	1,0811	10,9	97,30	1,734
10	1,0904	12,0	109,0	1,942
12	1,1092	14,3	133,1	2,372
14	1,1283	16,5	158,0	2,815
16	1,1475	18,6	183,6	3,272
18	1,1669	20,7	210,0	3,742
20	1,1864	22,8	237,3	4,229
22	1,2062	24,8	265,4	4,730
24	1,2263	26,8	294,3	5,245
26	1,2466	28,7	324,1	5,776
28	1,2669	30,6	354,7	6,321
30	1,2879	32,4	386,4	6,886
32	1,3091	34,2	418,9	7,465
34	1,3304	36,0	452,3	8,061
36	1,3520	37,8	486,7	8,674
38	1,3738	39,5	522,0	9,303
40	1,3959	41,1	558,4	9,952
42	1,4183	42,8	595,7	10,61
44	1,4409	44,4	634,0	11,29
46	1,4639	46,0	673,4	12,00
48	1,4871	47,5	713,8	12,72
50	1,5106	49,0	755,3	13,46

Tabuľka 22

Hustoty roztoku kyselin, zásad a solí

Uhličitan sodný $\frac{20^\circ}{4^\circ}$ C

% Na ₂ CO ₃	ρ	${}^{\circ}\text{Bé}$	g · l⁻¹	mol · l⁻¹	% Na ₂ CO ₃ · 10 H ₂ O	g · l⁻¹
1	1,0086	1,2	10,086	0,095	2,7	27,228
2	1,0190	2,7	20,380	0,192	5,4	55,017
3	1,0294	4,2	30,882	0,291	8,1	83,368
4	1,0398	5,6	41,592	0,392	10,8	112,28
5	1,0502	6,9	52,510	0,495	13,5	141,75
6	1,0606	8,3	63,636	0,600	16,2	171,79
7	1,0711	9,6	74,977	0,707	18,9	202,40
8	1,0816	10,9	86,528	0,820	21,6	233,59
9	1,0922	12,2	98,298	0,927	24,3	265,36
10	1,1029	13,5	110,29	1,040	27,0	297,73
11	1,1136	14,8	122,50	1,156	29,7	330,70
12	1,1244	16,0	134,93	1,273	32,4	364,25
13	1,1354	17,2	147,60	1,392	35,1	398,46
14	1,1463	18,5	160,48	1,514	37,8	433,23
% K ₂ CO ₃	ρ	${}^{\circ}\text{Bé}$	g · l⁻¹	mol · l⁻¹	mol · l⁻¹	$\frac{20^\circ}{4^\circ}$ C
1	1,0072	1,0	10,072	1,0	10,072	0,0728
2	1,0163	2,3	20,326	2,3	20,326	0,1471
4	1,0345	4,8	41,380	4,8	41,380	0,2994
6	1,0529	7,3	63,174	7,3	63,174	0,4571
8	1,0715	9,7	85,720	9,7	85,720	0,6202
10	1,0904	12,0	109,04	12,0	109,04	0,7890
12	1,1096	14,3	133,15	14,3	133,15	0,9634
14	1,1291	16,6	158,07	16,6	158,07	1,144
16	1,1490	18,8	183,84	18,8	183,84	1,330
18	1,1692	21,0	210,46	21,0	210,46	1,523
20	1,1898	23,1	237,96	23,1	237,96	1,722
22	1,2107	25,2	266,35	25,2	266,35	1,927
24	1,2320	27,3	295,68	27,3	295,68	2,139
26	1,2536	29,3	325,94	29,3	325,94	2,358
28	1,2756	31,3	357,17	31,3	357,17	2,584
30	1,2979	33,3	389,37	33,3	389,37	2,817
35	1,3548	38,0	474,18	38,0	474,18	3,431
40	1,4141	42,5	565,64	42,5	565,64	4,093

Tabuľka 22

Hustoty vodných roztoků methylalkoholu $\frac{20^{\circ}}{4^{\circ}}$ C

Váh. % CH ₃ OH	ϱ	Váh. % CH ₃ OH	ϱ	Váh. % CH ₃ OH	ϱ
19,9681	53	0,9094	86	0,8314	
20,9966	54	0,9073	87	0,8286	
21,99651	55	0,9052	88	0,8258	
22,99336	56	0,9032	89	0,8230	
23,99022	57	0,9010	90	0,8202	
24,99607	58	0,8988	91	0,8174	
25,99592	59	0,8968	92	0,8146	
26,99576	60	0,8946	93	0,8118	
27,99562	61	0,8924	94	0,8090	
28,99546	62	0,8902	95	0,8062	
29,99531	63	0,8879	96	0,8034	
30,99515	64	0,8856	97	0,8005	
31,99499	65	0,8834	98	0,7976	
32,99483	66	0,8811	99	0,7948	
33,99466	67	0,8787	100		
34,99450					

Tabuľka 22

Hustoty vodných roztoků ethylalkoholu $\frac{20^{\circ}}{4^{\circ}}$ C

Váh. % C ₂ H ₅ OH	ϱ	Váh. % C ₂ H ₅ OH	ϱ	Váh. % C ₂ H ₅ OH	ϱ	Váh. % C ₂ H ₅ OH	ϱ
1	0,9965	35	0,9433	68	0,8763		
2	0,9948	36	0,9416	69	0,8738		
3	0,9931	37	0,9398	70	0,8715		
4	0,9914	38	0,9381	71	0,8690		
5	0,9896	39	0,9363	72	0,8665		
6	0,9880	40	0,9345	73	0,8641		
7	0,9863	41	0,9327	74	0,8616		
8	0,9847	42	0,9309	75	0,8592		
9	0,9831	43	0,9290	76	0,8567		
10	0,9815	44	0,9272	77	0,8542		
11	0,9799	45	0,9252	78	0,8518		
12	0,9784	46	0,9234	79	0,8494		
13	0,9768	47	0,9214	80	0,8469		
14	0,9754	48	0,9196	81	0,8446		
15	0,9740	49	0,9176	82	0,8420		
16	0,9725	50	0,9156	83	0,8394		
17	0,9710	51	0,9135	84	0,8366		
18	0,9696	52	0,9114	85	0,8340		
19	0,9681	53	0,9094	86	0,8314		
20	0,9666	54	0,9073	87	0,8286		
21	0,9651	55	0,9052	88	0,8258		
22	0,9636	56	0,9032	89	0,8230		
23	0,9622	57	0,9010	90	0,8202		
24	0,9607	58	0,8988	91	0,8174		
25	0,9592	59	0,8968	92	0,8146		
26	0,9576	60	0,8946	93	0,8118		
27	0,9562	61	0,8924	94	0,8090		
28	0,9546	62	0,8902	95	0,8062		
29	0,9531	63	0,8879	96	0,8034		
30	0,9515	64	0,8856	97	0,8005		
31	0,9499	65	0,8834	98	0,7976		
32	0,9483	66	0,8811	99	0,7948		
33	0,9466	67	0,8787	100			
34	0,9450						

Tabulka 23

Převod stupňů Baumé

${}^{\circ}\text{Bé}$	$\varrho 15^{\circ}$	ϱ	${}^{\circ}\text{Bé}$	$\varrho 15^{\circ}$	
	x	y		x	y
0	0,9991	1,0726	34	1,307	0,8580
1	1,006	1,0648	35	1,319	0,8530
2	1,013	1,0571	36	1,331	0,8481
3	1,020	1,0495	37	1,344	0,8432
4	1,028	1,0420	38	1,356	0,8383
5	1,035	1,0346	39	1,369	0,8335
6	1,042	1,0273	40	1,382	0,8288
7	1,050	1,0201	41	1,396	0,8241
8	1,058	1,0130	42	1,409	0,8195
9	1,066	1,0060	43	1,423	0,8149
10	1,074	0,9991	44	1,437	0,8104
11	1,082	0,9922	45	1,452	0,8059
12	1,090	0,9857	46	1,467	0,8015
13	1,098	0,9790	47	1,482	0,7971
14	1,106	0,9725	48	1,497	0,7928
15	1,115	0,9661	49	1,513	0,7885
16	1,124	0,9597	50	1,529	0,7842
17	1,133	0,9534	51	1,545	0,7800
18	1,142	0,9472	52	1,562	0,7759
19	1,151	0,9411	53	1,579	0,7718
20	1,160	0,9351	54	1,597	0,7677
21	1,169	0,9291	55	1,615	0,7637
22	1,179	0,9232	56	1,633	0,7597
23	1,189	0,9174	57	1,652	0,7558
24	1,199	0,9117	58	1,671	0,7519
25	1,209	0,9060	59	1,690	0,7480
26	1,219	0,9004	60	1,710	0,7442
27	1,229	0,8949	61	1,731	—
28	1,240	0,8894	62	1,752	—
29	1,250	0,8841	63	1,773	—
30	1,261	0,8787	64	1,795	—
31	1,273	0,8735	65	1,818	—
32	1,284	0,8683	66	1,841	—
33	1,295	0,8631	—	—	—

Tabulka 24

Rozpustnost sloučenin ve vodě za různých teplot

Rozpustnost za dané teploty je vyjádřena počtem gramů sloučeniny (uvedeného složení), které se rozpustí ve 100 g vody.

	Sloučenina	0 °C	20 °C	60 °C	100 °C
$\text{AgC}_2\text{H}_3\text{O}_2$	0,72	1,04	1,89	2,52 (80°)	
AgClO_4	—	525	625 (35°)	—	
$\text{AgF} \cdot 2 \text{H}_2\text{O}$	—	432	771 (40°)	630 (108°)	
AgNO_2	0,16	0,34	1,36	—	
AgNO_3	122	222	525	952	
Ag_2SO_4	0,57	0,80	1,15	1,41	
$\text{AlCl}_3 \cdot 6 \text{H}_2\text{O}$	123,4	131,9	142,8	147,2	
$\text{Al}(\text{ClO}_4)_3 \cdot 9 \text{H}_2\text{O}$	463	564 (14°)	—	3019 (91,5°)	
$\text{Al}(\text{NO}_3)_3 \cdot 9 \text{H}_2\text{O}$	194,5	297,5	976	§	
$\text{Al}_2(\text{SO}_4)_3$	—	31,2	59,2	89,0	
$\text{Al}_2(\text{SO}_4)_3 \cdot 18 \text{H}_2\text{O}$	86,2	108,2	262,7	1108	
As_2O_3	—	1,2	2,0 (25°)	4,4 (62°)	
B_2O_3	—	1,1	2,2	6,2	
$\text{Ba}(\text{C}_2\text{H}_3\text{O}_2)_2 \cdot 3 \text{H}_2\text{O}$	81,7	101,2	106,3	108,0	
$\text{BaCl}_2 \cdot 2 \text{H}_2\text{O}$	—	39,2	44,6	59,2	
$\text{Ba}(\text{ClO}_4)_2 \cdot 3 \text{H}_2\text{O}$	356,9	626,8	1572 (50°)	8,2 (98,5°)	
$\text{Ba}(\text{HCO}_3)_2$	—	26,2	29,9	51,3	
$\text{Ba}(\text{NO}_3)_2$	—	5,0	9,2	34,2	
$\text{Ba}(\text{OH})_2 \cdot 8 \text{H}_2\text{O}$	—	3,1	7,4	46,8	
$\text{Be}(\text{NO}_3)_2 \cdot 4 \text{H}_2\text{O}$	97,6	103,3	177,8	6785 (90°)	
$\text{BeSO}_4 \cdot 4 \text{H}_2\text{O}$	—	105,4 (30°)	181,8 (70°)	536,4	
Br_2	4,17	3,55	3,52 (50°)	—	
$\text{CO}(\text{NH}_2)_2$	66,7	107,9	251	733	
$\text{CO}_2(760 \text{ torr})$	—	0,33	0,17	—	
$\text{CS}(\text{NH}_2)_2$	—	4,6	12,0	44,6	
$\text{C}_6\text{H}_4(\text{OH})_2 \cdot (1,3-)$	—	—	140	500	
(resorcinol)	—	—	—	3046	
$\text{C}_6\text{H}_4(\text{OH})_2 \cdot (1,4-)$	—	—	7,2	33	
(hydrochinol.)	—	—	—	205	
$\text{Ca}(\text{C}_2\text{H}_3\text{O}_2)_2 \cdot 2 \text{H}_2\text{O}$	50,2	46,3	43,4	39,1	
$\text{CaCl}_2 \cdot 2 \text{H}_2\text{O}$	97,6	130,1	325,9	435,2	
$\text{CaCl}_2 \cdot 6 \text{H}_2\text{O}$	279,3	535,9	—	§	
$\text{Ca}(\text{ClO}_4)_2 \cdot 2 \text{H}_2\text{O}$	—	304,1 (25°)	—	—	

§ Taje v krystalové vodě.

Tabuľka 24

Rozpusťnosť sloučenín ve vodě za různých teplot

Rozpusťnosť za dané teploty je vyjadřena počtem gramů sloučeniny (uvedeného složení), které se rozpustí ve 100 g vody.

Sloučenina	0 °C	20 °C	60 °C	100 °C
Ca(HCO ₃) ₂ (mravenč.)	16,2	—	—	18,4
Ca(HCO ₃) ₂	16,2	16,6	17,5	18,4
Ca(NO ₃) ₂ · 4 H ₂ O	265,8	43,0,5	§	§
Ca(OH) ₂	0,18	0,16	0,12	0,08
CaSO ₄ · 2 H ₂ O	0,22	0,26 (25°)	0,24 (65°)	0,20
CdCl ₂ · H ₂ O	108,4	170,2	173,1	188,7
CdJ ₂	79,8	86,2	97,4 (50°)	127,6
Cd(NO ₃) ₂ · 4 H ₂ O	255,7	399,1 (25°)	§	§
CdSO ₄ · 8/3 H ₂ O	112,4	114,8 (25°)	127,5	87,0
Ce ₂ (C ₂ H ₃ O ₂) ₆ · 3 H ₂ O	—	26,45 (15°)	16,2 (76°)	—
Ce ₂ (SO ₄) ₃	17,35	9,16	3,73	—
Cl ₂ (760 torrů)	1,46	0,716	0,324	—
CoCl ₂ · 6 H ₂ O	116,6	159,1	672,5	1430
Co(ClO ₄) ₂ · 6 H ₂ O	207,3	253,4 (26°)	259,3 (45°)	—
Co(NO ₃) ₂ · 6 H ₂ O	265,5	388,8	7272	§
CoSO ₄	25,55	36,21	60,4	83
CoSO ₄ · 7 H ₂ O	58,6	93,0	215,4	464
Cr(ClO ₄) ₃ · 9 H ₂ O	293	543 (25°)	—	—
CsCl	161,4	186,5	229,7	270,5
CsClO ₃	2,46	6,2	26,2	79,0
CsClO ₄	0,8	1,6	7,3	30,0
CsNO ₃	9,3	23,0	83,8	197,0
Cs ₂ SO ₄	167,1	178,7	199,9	220,3
CuCl ₂ · 2 H ₂ O	110,6	123,0	152,9	192,4
Cu(ClO ₄) ₂ · 6 H ₂ O	329	—	—	—
Cu(NO ₃) ₂ · 3 H ₂ O	137,8	252,0	475,1	667,3 (80°)
CuSO ₄ · 5 H ₂ O	24,3	36,6	80,8	205,3
FeCl ₂ · 4 H ₂ O	159,7 (10°)	—	416,3	—
Fe(ClO ₄) ₂ · 6 H ₂ O	927	2032	§	—
FeCl ₃	74,4	91,8	315,1 (50°)	535,7
FeCl ₃ · 6 H ₂ O	245,8	393,9	§	—
Fe(ClO ₄) ₃ · 6 H ₂ O	3222	—	§	—

§ Taje v krystalové vodě.

Rozpusťnosť sloučenin ve vodě za různých teplot

Rozpusťnosť za dané teploty je vyjádřena počtem gramů sloučeniny (uvedeného složení), které se rozpustí ve 100 g vody.

Sloučenina	0 °C	20 °C	60 °C	100 °C
Fe(NO ₃) ₃ · 9 H ₂ O	·	204,2	350,6 (25°)	590,4 (40°)
FeSO ₄ · 7 H ₂ O	·	32,7	62,1 (50°)	149,0 (50°)
HBr (760 torrů)	·	221,2	198 (50°)	171,5 (50°)
H · C ₆ H ₅ O ₂ (NH ₂) (glykokol)	·	14,2	22,5	45,3
H · C ₆ H ₄ (NH ₂)SO ₃ (sulfanil. kys.)	—	—	1,08	—
H · C ₆ H ₅ O ₂ (benzoová kys.)	·	0,16	0,29	1,15
H · C ₇ H ₅ O ₃ (salicyl. kys.)	·	0,15	0,27	1,22
HCl (760 torrů)	·	82,3	67,3 (30°)	56,1 (30°)
H ₂ C ₂ O ₄ · 2 H ₂ O	·	5,2	13,9	75,0
H ₂ · C ₄ H ₄ O ₄ (kys. jantarová)	·	2,8	6,9	35,8
H ₂ · C ₄ H ₆ O ₆ (kys. vinná)	·	115	139	218
H ₂ · C ₈ H ₄ O ₄ (kys. fialová)	·	—	0,6	2,55
H ₂ SeO ₃	·	90,1	166,7	383,9
H ₂ · TeO ₄ · 2 H ₂ O	·	19,8	65,5 (30°)	107,4
H ₃ · C ₆ H ₅ O ₇ · H ₂ O (kys. citronová)	·	—	133	—
H ₃ BO ₃	·	2,66	5,04	14,81
HgBr ₂	·	—	0,5	—
Hg(C ₂ H ₃ O ₂) ₂	·	—	25 (10°)	—
Hg(CN) ₂	·	—	9,3 (13,5°)	—
HgCl ₂	·	3,6	6,5	16,2
Hg ₂ (ClO ₄) ₂ · 4 H ₂ O	·	477	738	1401
J ₂	·	—	0,029	0,078
KAl(SO ₄) ₂ · 12 H ₂ O	·	5,6	11,4	57,5
KBF ₄	·	—	0,44	—
KBr	·	63,5	65,2	85,5

Tabuľka 24

Tabulka 24

Rozdusťnosť sloučenin ve vodě za různých teplot

Rozpustnost za dané teploty je vyjádřena počtem gramů sloučeniny (uváděného složení), které se rozrostou ve 100 g vody.

Sloučenina	0 °C	20 °C	60 °C	100 °C
KBrO ₃	3,1	6,9	22,7	50,0
KCH ₂ O ₂ (mravenčan)	290	335	455	790
KCN	63	71,5 (25°)	95 (75°)	122 (103°) §
KC ₂ H ₃ O ₂ . 3/2 H ₂ O	685,1	1100	12 271	—
KCl	27,6	34,0	45,5	57
KClO ₃	3,3	7,4	24,5	56,7
KClO ₄	0,75	1,80	9	21,8
KCr(SO ₄) ₂ . 1/2 H ₂ O	—	24,39 (25°)	—	50
KF . 2 H ₂ O	100,1	373,6	1938	3481 (80°)
KHCO ₃	22,4	33,2	60,0	—
KHC ₄ H ₄ O ₆	0,32	0,53	2,46	6,95
(vinan, prim.)	—	—	—	—
KHC ₈ H ₄ O ₄	—	11,3 (25°)	14,5 (35°)	56,4
(italian, prim.)	—	—	—	—
KHF ₂	24,5	39,2	78,8	114,1 (80°)
KHSO ₄	36,3	51,4	67,3 (40°)	121,6
KH ₂ PO ₄	14,8	22,5	50,1	83,4 (90°)
KH ₃ (C ₂ O ₄) ₂ . 2 H ₂ O .	1,48	5,04 (30°)	14,2	95,4 (103,5°)
KJ	127,5	144	176	208
KJO ₃	4,73	8,13	18,5	32,2
KJO ₄	0,15	0,51 (25°)	1,46 (50°)	7,33 (97°)
KMnO ₄	2,83	6,4	22,2	—
KNO ₂	278,8	298,4	334,9 (40°)	412,8
KNO ₃	13,3	31,6	110,0	246
KNaC ₄ H ₄ O ₆ . 4 H ₂ O .	26	66 (25°)	—	—
(vinan)	—	—	—	—
KOH	97	112	140 (50°)	178
KOH . H ₂ O	186	231	336 (50°)	548
KSCN	177,0	217,5	—	—
KSbC ₄ H ₄ O ₇ . 1/2 H ₂ O .	5,3 (9°)	—	—	35,7
(vinan)	—	—	—	—
K ₂ BeF ₄	—	2	—	5,26
K ₂ CO ₃	105,5	110,5	—	155,7
K ₂ C ₂ O ₄ . H ₂ O	28,9	40,2	—	97,2

Tabulka 24

Rozpusťnost sloučenin ve vodě za různých teplot

Rozpustnost za dané teploty je vyjádřena počtem gramů sloučeniny (uvedeného složení), které se rozpustí ve 100 g vody. Je-li sloučenina označena †, vztahuje se

Sloučenina	0 °C	20 °C	60 °C	100 °C
$K_2C_4H_4O_6 \cdot \frac{1}{2}H_2O$ (vinan)	—	150 (14°)	—	278
K_2CrO_4	58,2	61,7	68,6	75,6
$K_2Cr_2O_7$	5	12	43	80
K_2PtCl_6	0,74	1,12	2,64	5,18
K_2SO_3	105,7	105,7	107,9 (54°)	112,3 (97°)
$K_2S_2O_5$	27,5	44,9	85	133
+ $K_2S_2O_8$	1,62	4,49	9,89 (40°)	—
K_2SeO_3	168,5	204,2	219,5	221,6 (80°)
K_2SeO_4	114,5	116,2	121,0	128,9
$K_2WO_4 \cdot 2H_2O$	—	51,5	—	151,5
$K_3C_6H_5O_7 \cdot H_2O$ (citran)	—	167 (15°)	199,7 (31°)	—
$K_3Fe(CN)_6$	31	43	66	82,6 (104°)
$K_4Fe(CN)_6 \cdot 3H_2O$	16,6	33,7	59,6 (50°)	95,4
$K_4FeI_2O_6 \cdot 9H_2O$	6,9 (0,3°)	18,8 (25°)	82,5 (50°)	393,8 (99°)
$La_2(SO_4)_3$	3	1,9 (30°)	1,5 (50°)	0,69
$LiBr$	143	—	222	270 (103°)
$LiCl$	67	78,5	103	127,5
$LiClO_4 \cdot 3H_2O$	81,9	118,6	306,4 (65°)	§
$LiNO_3 \cdot 3H_2O$	163,8	—	§ (30°)	§
$LiOH$	12,7	12,8	13,8	17,5
Li_2CO_3	1,54	1,33	1,01	0,72
Li_2SO_4	35,3	34,2	31,9	29,9
$Mg(C_2H_3O_2)_2 \cdot 4H_2O$	119,7	147,5	§ (68°)	§
$MgCl_2 \cdot 6H_2O$	231,3	305,1	425,0	909
$Mg(ClO_4)_2 \cdot 6H_2O$	—	285 (25°)	—	—
$Mg(NO_3)_2 \cdot 6H_2O$	223,7	382,5 (40°)	—	§
$MgSO_4 \cdot 7H_2O$	93,5 (10°)	117,2	249,1	491
$MnCl_2 \cdot 4H_2O$	156,5	201,4	451,6	534
$Mn(NO_3)_2 \cdot 6H_2O$	426,3	1659	§	§
$MnSO_4 \cdot 4H_2O$	105,5	132,7	110,1	59,9

Taje v krystalové vodě.

Tabuľka 24

Rozpustnost sloučenin ve vodě za různých teplot

Rozpustnost za dané teploty je vyjádřena počtem gramů sloučeniny (uváděným složením), které se rozpustí ve 100 g vody.

Sloučenina	0 °C	20 °C	60 °C	100 °C
$\text{MoO}_3 \cdot 2 \text{H}_2\text{O}$	—	0,17	1,51	2,64 (80°)
$2 \text{NH}_2\text{OH} \cdot \text{H}_2\text{SO}_4$	32,9	15,1	—	68,5 (90°)
$\text{NH}_4\text{Al}(\text{SO}_4)_2 \cdot 12 \text{H}_2\text{O}$	3,9	25 (16°)	66,6	—
$\text{NH}_4^*\text{BF}_4^-$	—	—	—	95
NH_4^*Br	60,6	75,5	107,8	145,6
$\text{NH}_4^*\text{CHO}_2$	102	143	311	531 (80°)
(mravenčan)				
NH_4^*Cl	29,4	37,2	55,2	77,3
$\text{NH}_4^*\text{ClO}_4$	12,2	23,4	50,9	88,3
$\text{NH}_4^*\text{Cr}(\text{SO}_4)_2 \cdot 12 \text{H}_2\text{O}$	—	21,2 (25°)	32,8 (40°)	—
$\text{NH}_4^*\text{Fe}(\text{SO}_4)_2$				
• 12 H_2O	—	124,8 (25°)	—	—
$\text{NH}_4^*\text{HCO}_3$	11,9	21	27 (30°)	—
$\text{NH}_4^*\text{H}_2\text{AsO}_4$	33,7	48,7	83,0	122,4 (90°)
$\text{NH}_4^*\text{H}_2\text{PO}_4$	22,7	37,4	82,5	173,2
NH_4^*J	154,2	172,3	208,9	250,3
NH_4^*NO_3	118,3	192	421	871
NH_4^*SCN	119,8	170	207,7 (30°)	—
NH_4^*VO_3	—	0,48	1,78 (50°)	3,05 (70°)
$(\text{NH}_4)_2\text{C}_2\text{O}_4$	2,2	4,4	10,3 (50°)	—
$(\text{NH}_4)_2\text{C}_4\text{H}_4\text{O}_6$ (vinan)	45,0	63,0	87,0	—
$(\text{NH}_4)_2\text{Ce}(\text{NO}_3)_6$	—	140,9 (25°)	201,6 (64,5°)	735,4 (112°)
$(\text{NH}_4)_2\text{CrO}_4$	—	40,4 (30°)	—	—
$(\text{NH}_4)_2\text{Cr}_2\text{O}_7$	—	47,1 (30°)	—	—
$(\text{NH}_4)_2\text{CuCl}_4 \cdot 2 \text{H}_2\text{O}$	33,8	—	—	99,3 (80°)
$(\text{NH}_4)_2\text{Fe}(\text{SO}_4)_2$				
• 6 H_2O	18,1	25,4 (10°)	65,1 (50°)	89,4 (70°)
$(\text{NH}_4)_2\text{HPO}_4$	42,9	57,5 (10°)	106,0 (70°)	—
$(\text{NH}_4)_2\text{Ni}(\text{SO}_4)_2$				
• 6 H_2O	1,3	9,1	25,0	29,7
$(\text{NH}_4)_2\text{PtCl}_6$	—	0,7 (10°)	—	1,25
$(\text{NH}_4)_2\text{SO}_3 \cdot \text{H}_2\text{O}$	59,7	77,4	142,5	230,7
$(\text{NH}_4)_2\text{SO}_4$	70,6	75,4	88,0	103,3
$(\text{NH}_4)_2\text{S}_2\text{O}_3$	160	182	227	—

Tabulka 24

Rozpusťnosť sloučenin ve vodě za různých teplot

Rozpustnost za dané teploty je vyjádřena počtem gramů sloučeniny (uvedeného složení), které se rozpustí ve 100 g rody.

Sloučenina	0 °C	20 °C	60 °C	100 °C
$(\text{NH}_4)_2\text{S}_2\text{O}_8$	58,2	—	—	—
$\text{N}_2\text{H}_4 \cdot \text{H}_2\text{SO}_4$	—	2,87	9,07	14,4 (80°)
$\text{NaBr} \cdot 2 \text{H}_2\text{O}$	148,7	178,8	263,7 (50°)	284,2
NaBrO_3	27,5	34,5	62,5	90,9
NaCHO_2 (mravenčan)	43,8	88,3	121	160
$\text{NaC}_2\text{H}_3\text{O}_2 \cdot 3 \text{H}_2\text{O}$	79,1	111,2	2737	§
$\text{NaC}_7\text{H}_5\text{O}_2$ (benzoan)	62,8	66	—	74,2
$\text{NaC}_7\text{H}_5\text{O}_3$ (salicylan)	—	103,2	131	164,8
NaCl	35,7	36,0	37,3	39,8
NaClO_3	79	101	155	230
$\text{NaClO}_4 \cdot \text{H}_2\text{O}$	259,0	349,8 (25°)	557 (55°)	732
NaF	3,65	4,05	4,67	5,07
NaHCO_3	6,9	9,6	16,4	—
$\text{NaHC}_2\text{O}_4 \cdot \text{H}_2\text{O}$	—	1,7 (15°)	—	21
$\text{NaHC}_4\text{H}_4\text{O}_6 \cdot \text{H}_2\text{O}$	—	6,7 (18°)	9,2 (30°)	—
(vinan, prim.)				
$\text{NaH}_2\text{PO}_4 \cdot 2 \text{H}_2\text{O}$	91,1	148,8	505	1235
$\text{NaJ} \cdot 2 \text{H}_2\text{O}$	318,2	398,5	832	1366
NaJO_3	2,5	9	21	34
$\text{NaJO}_4 \cdot 3 \text{H}_2\text{O}$	5,1 (5,8°)	13,1	53,8 (51,5°)	—
NaN_2	72,1	84,5	104,1 (50°)	163,2
NaN_3	73	88	124	180
NaOH	38,8	40,8	—	55,2
$\text{NaVO}_3 \cdot 2 \text{H}_2\text{O}$	42	109	174	347
$\text{Na}_2\text{B}_4\text{O}_7 \cdot 10 \text{H}_2\text{O}$	—	20,7 (25°)	56,7 (75°)	—
Na_2BeF_4	2,4	5,2	47,0	187,7
$\text{Na}_2\text{CO}_3 \cdot \text{H}_2\text{O}$	—	1,47 (18°)	—	2,94
$\text{Na}_2\text{CO}_3 \cdot 10 \text{H}_2\text{O}$	8,2	26,1	58,9	57,6
$\text{Na}_2\text{C}_2\text{O}_4$	21,4	91,4	593	542
$\text{Na}_2\text{C}_4\text{H}_4\text{O}_6 \cdot 2 \text{H}_2\text{O}$ (vinan)	29 (6°)	3,7	—	6,3
$\text{Na}_2\text{CrO}_4 \cdot 10 \text{H}_2\text{O}$	103,4	—	66 (43°)	—
$\text{Na}_2\text{CrO}_7 \cdot 2 \text{H}_2\text{O}$	238,9	—	—	§
				638 (70°) 1171
				267,6

STaje v kryštálové vodě.

Tabuľka 24

Rozpustnosť sloučenín ve vodě za různých teplot

Rozpustnosť za dané teploty je vyjádřena počtem gramů sloučeniny (uvezeného složení), které se rozpustí ve 100 g vody.

Sloučenina	0 °C	20 °C	60 °C	100 °C
$\text{Na}_2\text{Fe}(\text{CN})_5\text{NO} \cdot 2 \text{H}_2\text{O}$	—	40 (15°)	—	—
$\text{Na}_2\text{HAsO}_4 \cdot 2 \text{H}_2\text{O}$	7,3	26,5	65	85 (80°)
$\text{Na}_2\text{HPO}_4 \cdot 2 \text{H}_2\text{O}$	2,1	9,8	131,6	173,0
$\text{Na}_2\text{HPO}_4 \cdot 12 \text{H}_2\text{O}$	4,4	22,0	618,5 (40°)	§
$\text{Na}_2\text{MoO}_4 \cdot 2 \text{H}_2\text{O}$	56,0	86,1 (18°)	94,1 (51,5°)	115,3
$\text{Na}_2\text{MoO}_4 \cdot 2 \text{H}_2\text{O}$	69,6 (10°)	94,9	1162	§
$\text{Na}_2\text{S} \cdot 9 \text{H}_2\text{O}$	32,2	73,6	80,9	—
$\text{Na}_2\text{SO}_3 \cdot 7 \text{H}_2\text{O}$	12,1	58,3	241,4	209,0
$\text{Na}_2\text{SO}_4 \cdot 10 \text{H}_2\text{O}$	117,5	182,7	8001 (50°)	§
$\text{Na}_2\text{S}_2\text{O}_3 \cdot 5 \text{H}_2\text{O}$	28,1	279,7 (30°)	289,6 (50°)	243,8
$\text{Na}_2\text{S}_2\text{O}_4 \cdot 10 \text{H}_2\text{O}$	88,1	89,1	—	123,3
$\text{Na}_2\text{WO}_4 \cdot 2 \text{H}_2\text{O}$	—	92,6 (25°)	—	250
$\text{Na}_3\text{C}_6\text{H}_5\text{O}_7 \cdot 5 \text{H}_2\text{O}$	18,9	—	—	67
$\text{Na}_3\text{Fe}(\text{CN})_6 \cdot \text{H}_2\text{O}$	3,5	29,8	463,9	§
$\text{Na}_3\text{PO}_4 \cdot 12 \text{H}_2\text{O}$	—	31,85	—	156,5 (98°)
$\text{Na}_4\text{Fe}(\text{CN})_6 \cdot 10 \text{H}_2\text{O}$	5,4	10,8	42,9	92,9
$\text{Na}_4\text{P}_2\text{O}_7 \cdot 10 \text{H}_2\text{O}$	179,6	253,4	479,5	596
$\text{NiCl}_2 \cdot 6 \text{H}_2\text{O}$	222,5	241,6 (18°)	273,5 (45°)	—
$\text{Ni}(\text{CHO}_4)_2 \cdot 5 \text{H}_2\text{O}$	239,4	356,2	7423	§
$\text{Ni}(\text{NO}_3)_2 \cdot 6 \text{H}_2\text{O}$	63,4	118,2 (30°)	179,7	371,2
$\text{NiSO}_4 \cdot 7 \text{H}_2\text{O}$	5,26	—	—	—
OsO_4	0,46	0,85	2,36	4,8
PbBr_2	—	70,5 (25°)	—	—
$\text{Pb}(\text{C}_2\text{H}_3\text{O}_2)_2 \cdot 3 \text{H}_2\text{O}$	0,044	0,068	0,197	0,436
PbCl_3	38,8	0,99	1,98	3,3
$\text{Pb}(\text{ClO}_4)_2 \cdot 3 \text{H}_2\text{O}$	—	1200 (25°)	—	—
$\text{Pb}(\text{ClO}_4)_2$	—	0,064	—	—
PbF_2	—	0,068	95	138,8
PbJ_2	—	56,5	—	—
$\text{Pb}(\text{NO}_3)_2$	140 (25°)	—	140	(25°)
PtCl_4	0,72	1,5	7,39	69
$\text{RbAl}(\text{SO}_4)_2$	77	91,1	115,5	138,9
RbCl	2,14	5,4	15,98 (50°)	62,8

§ Taje v krytalové vodě.

§ Taje v krytalové vodě.

Tabuľka 24

Rozpustnosť sloučenin ve vodě za různých teplot

Rozpustnosť za dané teploty je vyjádřena počtem gramů sloučeniny (uvezeného složení), které se rozpustí ve 100 g vody.

Sloučenina	0 °C	0 °C	20 °C	60 °C	100 °C
RbClO_4	—	—	—	0,5	1,0
RbNO_3	—	—	—	19,5	53,3
Rb_2SO_4	—	—	—	36,4	48,2
SO_3 (760 torru)	—	—	—	22,83	11,29
SbCl_3	—	—	—	601,6	931,5
$\text{Sc}_2(\text{SO}_4)_3$	—	—	—	—	4531,0
SeO_2	—	—	—	39,9 (25°)	—
$\text{SnCl}_2 \cdot 2 \text{H}_2\text{O}$	—	—	—	—	38,4 (14°)
$\text{Sr}(\text{C}_2\text{H}_3\text{O}_2)_2 \cdot 1/2 \text{H}_2\text{O}$	—	—	—	659 (15°)	82,5 (65°)
$\text{SrCl}_2 \cdot 6 \text{H}_2\text{O}$	—	—	—	104,0	41,6 (50°)
$\text{Sr}(\text{ClO}_4)_2 \cdot 2 \text{H}_2\text{O}$	—	—	—	139,1	37,3 (50°)
$\text{Sr}(\text{NO}_3)_2$	—	—	—	571 (25°)	311,0
$\text{Sr}(\text{OH})_2 \cdot 8 \text{H}_2\text{O}$	—	—	—	—	64,0
$\text{Th}(\text{NO}_3)_4 \cdot 6 \text{H}_2\text{O}$	—	—	—	4090	93,8 (90°)
$\text{Th}(\text{SO}_4)_2 \cdot 9 \text{H}_2\text{O}$	—	—	—	—	100 (90°)
TlCl	—	—	0,21	0,33	0,8 (1,8)
TlClO_4	—	—	—	6	19,7 (50°)
TiNO_3	—	—	—	3,9	9,6 (166,6)
TiOH	—	—	—	25,4	39,9 (30°)
TL_2CO_3	—	—	—	—	5,23 (18°)
TL_2SO_4	—	—	—	2,70	4,9 (414,0)
$\text{UO}_2\text{C}_2\text{H}_3\text{O}_2)_2 \cdot 2 \text{H}_2\text{O}$	—	—	—	—	9,6 (148,3)
$\text{UO}_2(\text{NO}_3)_2 \cdot 6 \text{H}_2\text{O}$	—	—	—	—	15,2 (148,3)
$\text{UO}_2\text{SO}_4 \cdot 3 \text{H}_2\text{O}$	—	—	—	—	0,33 (1,8)
$\text{Y}_2(\text{SO}_4)_3 \cdot 8 \text{H}_2\text{O}$	—	—	—	—	39,6 (50°)
$\text{Zn}(\text{CHO}_2)_2 \cdot 2 \text{H}_2\text{O}$	—	—	—	—	46,2 (166,6)
$\text{Zn}(\text{CH}_3)_2 \cdot 2 \text{H}_2\text{O}$	—	—	—	—	5,23 (18°)
$\text{Zn}(\text{NO}_3)_2 \cdot 6 \text{H}_2\text{O}$	—	—	—	—	12,8 (62°)
ZnCl_2	—	—	—	—	10,9 (22,4)
ZnJ_2	—	—	—	—	18,4 (18,4)
$\text{Zn}(\text{NO}_3)_2 \cdot 6 \text{H}_2\text{O}$	—	—	—	—	—
$\text{Zn}(\text{C}_2\text{H}_3\text{O}_2)_2 \cdot 2 \text{H}_2\text{O}$	—	—	—	—	—
$\text{Zn}(\text{CH}_3)_2 \cdot 2 \text{H}_2\text{O}$	—	—	—	—	—
$\text{Zn}(\text{NO}_3)_2 \cdot 6 \text{H}_2\text{O}$	—	—	—	—	—
$\text{Zn}(\text{C}_2\text{H}_3\text{O}_2)_2 \cdot 2 \text{H}_2\text{O}$	—	—	—	—	—
ZnCl_2	—	—	—	—	—
ZnJ_2	—	—	—	—	—
$\text{Zn}(\text{NO}_3)_2 \cdot 6 \text{H}_2\text{O}$	—	—	—	—	—
$\text{Zn}(\text{CH}_3)_2 \cdot 2 \text{H}_2\text{O}$	—	—	—	—	—
$\text{Zn}(\text{NO}_3)_2 \cdot 7 \text{H}_2\text{O}$	—	—	—	—	—
ZnSiF_6	—	—	—	—	—
$\text{Zr}(\text{SO}_4)_2 \cdot 4 \text{H}_2\text{O}$	—	—	—	—	—

§ Taje v krytalové vodě.

Tabulka 25

Součiny rozpustnosti anorganických látok při 25 °C

Součiny rozpustnosti anorganických látok při 25 °C

Tabulka 25

Součenina	pK _s	Poznámka	Slončenina	pK _s	Poznámka
AgBr	12,31		CaF ₂	10,57	
AgBO ₃	4,27		Ca(JO ₃) ₂	6,15	
AgCN	15,92		Ca(HPO ₄) ₂	6,56	
AgCl	9,75		Ca(OH) ₂	5,43	
AgJ	16,08		CaSO ₃	6,5	
AgJO ₃	7,52		CaSO ₄	5,04	
AgNO ₂	3,22		Ca ₃ (PO ₄) ₂	26	
AgOH	7,71		CdCO ₃	11,28	
AgSCN	11,97		Cd[Hg(SCN)] ₄	5,42	(18°, I < 0,01)
Ag ₂ CO ₃	11,09		Cd(JO ₃) ₂	7,64	
Ag ₂ C ₂ O ₄	11,0		Cd(OH) ₂	14,4	
Ag ₂ CrO ₄	11,61		CdS	26,1	
Ag ₂ S	49,2		Cd ₃ (AsO ₄) ₂	32,66	(20°)
Ag ₂ SO ₄	4,77		Cd ₃ (PO ₄) ₂	32,6	(20°, I < 0,01)
Ag ₂ PO ₄	15,84		CoCO ₃	12,84	
Al(OH) ₃	32,43		Co[Hg(SCN)] ₄	6,54	(18°, I < 0,01)
AlPO ₄	18,24	(20°, I ?)	Co(OH) ₂	15,2	
BaCO ₃	8,29		Co(OH) ₃	40,5	
BaCaO ₄ · 2 H ₂ O	6,93		Co ₃ (z)	20,4	
BaCrO ₄	9,93		Co ₃ (β)	24,7	
BaF ₂	5,98		Co ₃ (PO ₄) ₂	34,7	(20°, I < 0,01)
Ba(JO ₃) ₂	8,81		Cr(OH) ₃	30,2	(22°)
BaSO ₄	9,96		CuBr	8,28	
Ba ₃ (PO ₄) ₂	22,47	(20°, I ?)	CuCO ₃	9,63	
BeNH ₄ PO ₄	19,7	(20°, I < 0,01)	Cu ₂ O ₄	7,54	(I ?)
Be(OH) ₂ (amorf.)	20,8		CuCl	6,73	
Be(OH) ₂ (α)	21,1		CuCrO ₄	5,44	
Be(OH) ₂ (β)	21,5		Cu[Hg(SCN)] ₄	7,48	(18°, I < 0,01)
BiJ ₃	18,09	(20°, I = 2)	CuJ	11,96	
Bi(OH) ₃	30,37	(18°, I ?)	Cu(JO ₃) ₂	7,13	
BiPO ₄	22,89	(20°, I ?)	CuOH	14,7	
Bi ₂ S ₃	97		Cu(OH) ₂	18,8	
CaCO ₃ (aragonit)	8,22		CuS	35,2	
CaCO ₃ (kalcit)	8,35		CuSCN	12,73	(20°, I ?)
CaC ₂ O ₄ · H ₂ O	8,58	(I ?)	Cu ₂ S	47,6	

Součenina	pK _s	Poznámka	Slončenina	pK _s	Poznámka	Slončenina	pK _s	Poznámka
Cu ₃ (PO ₄) ₂	· · ·	36,9 (20°, I < 0,01)	PbF ₂	· · ·	7,57	PbHF ₂	· · ·	
FeCO ₃	· · ·	10,68	PbHPO ₄	· · ·	9,90	Pb(JO ₃) ₂	· · ·	12,58
Fe ₂ O ₄	· · ·	6,68	Pb ₂ J ₂	· · ·	8,15	PbMoO ₄	· · ·	
Fe(OH) ₂	· · ·	15,1	Pb(OH) ₂	· · ·	13,0	Pb(OH) ₄	· · ·	16,79
Fe(OH) ₃	· · ·	39,43	(20°, I ?)	· · ·	(22°)	PbS	· · ·	26,6
FePO ₄	· · ·	21,89	(20°, I ?)	· · ·		PbSO ₄	· · ·	7,82
FeS	· · ·	17,2	(I ?)	· · ·		Pb ₃ (PO ₄) ₂	· · ·	42,10
Ga(OH) ₃	· · ·	39,10	(I ?)	· · ·		Sn(OH) ₂ [SnO(s)]	· · ·	26,2
HgJ ₂	· · ·	28,50	(I ?)	· · ·		Sn(OH) ₄	· · ·	56,0
Hg(OH) ₂ [HgO(s)]	· · ·	25,4	(I ?)	· · ·		SnS	· · ·	25,0
HgS	· · ·	51,8	(I ?)	· · ·		SrCO ₃	· · ·	9,96
Hg ₂ Cl ₂	· · ·	17,88	(I ?)	· · ·		Sr ₂ O ₄	· · ·	7,25
Hg ₂ CrO ₄	· · ·	8,70	(I ?)	· · ·		SrF ₃	· · ·	8,61
Hg ₂ (SCN) ₂	· · ·	19,52	(I ?)	· · ·		Sr(JO ₃) ₂	· · ·	6,48
In(OH) ₃	· · ·	36,9	(I ?)	· · ·		SrSO ₄	· · ·	6,46
In ₂ S ₃	· · ·	73,24	(I ?)	· · ·		Sr ₃ (PO ₄) ₂	· · ·	27,39
K[BF ₄]	· · ·	2,86	(I ?)	· · ·		TlBr	· · ·	5,47
MgCO ₃ · 3 H ₂ O	· · ·	4,67	(I ?)	· · ·		TlCl	· · ·	3,76
MgCO ₃ ·	· · ·	7,63	(I ?)	· · ·		TlJ	· · ·	7,19
MgF ₂	· · ·	8,19	(I ?)	· · ·		Tl ₂ O ₃	· · ·	5,51
MgNH ₄ PO ₄	· · ·	12,6	(I < 0,01)	· · ·		Tl(OH) ₃ [Tl ₂ O ₃ (s)]	· · ·	45,20
Mg(OH) ₂	· · ·	10,95	(I ?)	· · ·		TlSCN	· · ·	3,80
MnCO ₃	· · ·	9,30	(I ?)	· · ·		Tl ₂ CrO ₄	· · ·	12,01
Mn(OH) ₂	· · ·	12,80	(I ?)	· · ·		Tl ₂ S	· · ·	20,3
NiCO ₃	· · ·	6,87	(I ?)	· · ·		Tl ₃ [Co(NO ₂) ₆]	· · ·	14,94
Ni(OH) ₂	· · ·	15,5	(I ?)	· · ·		ZnCO ₃	· · ·	10,78
MnS (ružový)	· · ·	9,6	(I ?)	· · ·		Zn[Hg(SCN)] ₄	· · ·	7,51
MnS (zelený)	· · ·	12,6	(I ?)	· · ·		Zn(JO ₃) ₂	· · ·	5,41
NiCO ₃	· · ·	6,87	(I ?)	· · ·		Zn(OH) ₂	· · ·	16,5
NiS	· · ·	18,5	(I ?)	· · ·		ZnS (α - sfalerit)	· · ·	23,8
Ni ₃ (PO ₄) ₂	· · ·	30,3	(I < 0,01)	· · ·		ZnS (β - wurtzit)	· · ·	21,6
Pb(BrO ₃) ₂	· · ·	5,10	(I ?)	· · ·		Zn ₃ (AsO ₄) ₂	· · ·	27,89
PbCO ₃	· · ·	13,13	(I < 0,01)	· · ·		Zn ₃ (PO ₄) ₂	· · ·	(20°, I < 0,01)
PbCl ₂	· · ·	8,62	(I < 0,01)	· · ·		Zn ₃ (PO ₄) ₂	· · ·	(20°, I < 0,01)
PbCrO ₄	· · ·	4,79	(I ?)	· · ·		Zn ₃ (PO ₄) ₂	· · ·	(20°, I < 0,01)
Cu ₂ S	· · ·	12,55	(I < 0,01)	· · ·		Zn ₃ (PO ₄) ₂	· · ·	(20°, I < 0,01)

Tabuľka 26

Převod vlnové délky λ (μm) na vlnočet $\tilde{\nu}$ (cm^{-1})Převod vlnové délky λ (μm) na vlnočet $\tilde{\nu}$ (cm^{-1})

μm	cm^{-1}																		
1,00	10000,0	1,30	7692,3	1,60	6250,0	1,90	5263,2	2,20	4545,5	2,50	4000,0	2,80	3571,4	3,10	3225,8	3,40	2941,2	3,70	2702,7
1,01	9901,0	1,31	7633,6	1,61	6211,2	1,91	5235,6	2,21	4524,9	2,51	3984,1	2,81	3558,7	3,11	3215,4	3,41	2932,6	3,71	2695,4
1,02	9803,9	1,32	7575,8	1,62	6172,8	1,92	5208,3	2,22	4504,5	2,52	398,3	2,82	3546,1	3,12	3205,1	3,42	2924,0	3,72	2688,2
1,03	9708,7	1,33	7518,8	1,63	6135,0	1,93	5181,3	2,23	4484,3	2,53	3952,6	2,83	3532,6	3,13	3194,9	3,43	2915,5	3,73	2681,0
1,04	9615,4	1,34	7462,7	1,64	6097,6	1,94	5154,6	2,24	4464,3	2,54	3937,0	2,84	3522,1	3,14	3184,7	3,44	2907,0	3,74	2673,8
1,05	9523,8	1,35	7407,4	1,65	6060,6	1,95	5128,2	2,25	4444,4	2,55	3924,6	2,85	3508,8	3,15	3174,6	3,45	2898,6	3,75	2666,7
1,06	9434,0	1,36	7352,9	1,66	6024,1	1,96	5102,0	2,26	4424,8	2,56	3906,2	2,86	3496,5	3,16	3164,6	3,46	2890,2	3,76	2659,6
1,07	9345,8	1,37	7299,3	1,67	5988,0	1,97	5076,1	2,27	4405,3	2,57	3891,1	2,87	3484,3	3,17	3154,6	3,47	2881,8	3,77	2652,5
1,08	9259,3	1,38	7246,4	1,68	5952,4	1,98	5050,5	2,28	4386,0	2,58	3876,0	2,88	3472,2	3,18	3144,7	3,48	2873,6	3,78	2645,5
1,09	9174,3	1,39	7194,2	1,69	5917,2	1,99	5025,1	2,29	4366,8	2,59	3861,0	2,89	3460,2	3,19	3134,8	3,49	2865,3	3,79	2638,5
1,10	9090,9	1,40	7142,9	1,70	5882,4	2,00	5000,0	2,30	4347,8	2,60	3846,2	2,90	3448,3	3,20	3125,0	3,50	2857,1	3,80	2631,6
1,11	9009,0	1,41	7092,2	1,71	5848,0	2,01	4975,1	2,31	4329,0	2,61	3831,4	2,91	3436,4	3,21	3115,3	3,51	2849,0	3,81	2624,7
1,12	8928,6	1,42	7042,3	1,72	5814,0	2,02	4950,5	2,32	4310,3	2,62	3816,8	2,92	3424,7	3,22	3105,6	3,52	2840,9	3,82	2617,8
1,13	8849,6	1,43	6993,0	1,73	5780,3	2,03	4926,1	2,33	4291,8	2,63	3802,3	2,93	3413,0	3,23	3096,0	3,53	2832,9	3,83	2611,0
1,14	8771,9	1,44	6944,4	1,74	5747,1	2,04	4902,0	2,34	4273,5	2,64	3787,9	2,94	3401,4	3,24	3086,4	3,54	2824,9	3,84	2604,2
1,15	8695,7	1,45	6896,6	1,75	5714,3	2,05	4878,0	2,35	4255,3	2,65	3773,6	2,95	3389,8	3,25	3076,9	3,55	2816,9	3,85	2597,4
1,16	8620,7	1,46	6849,3	1,76	5681,8	2,06	4854,4	2,36	4237,3	2,66	3759,4	2,96	3378,4	3,26	3067,5	3,56	2809,0	3,86	2590,7
1,17	8547,0	1,47	6802,7	1,77	5649,7	2,07	4830,9	2,37	4219,4	2,67	3745,3	2,97	3367,0	3,27	3058,1	3,57	2801,1	3,87	2584,0
1,18	8474,6	1,48	6756,8	1,78	5618,0	2,08	4807,7	2,38	4201,7	2,68	3731,3	2,98	3355,7	3,28	3048,8	3,58	2793,3	3,88	2577,3
1,19	8403,4	1,49	6711,4	1,79	5586,6	2,09	4784,7	2,39	4184,1	2,69	3717,5	2,99	3344,5	3,29	3039,6	3,59	2785,5	3,89	2570,7
1,20	8333,3	1,50	6666,7	1,80	5555,6	2,10	4761,9	2,40	4166,7	2,70	3703,7	3,00	3333,3	3,30	3030,3	3,60	2777,8	3,90	2564,1
1,21	8264,5	1,51	6622,5	1,81	5524,9	2,11	4739,3	2,41	4149,4	2,71	3650,0	3,01	3322,3	3,31	3021,1	3,61	2770,1	3,91	2557,5
1,22	8196,7	1,52	6578,9	1,82	5494,5	2,12	4717,0	2,42	4132,2	2,72	3676,5	3,02	3311,3	3,32	3012,0	3,62	2762,4	3,92	2551,0
1,23	8130,1	1,53	6535,9	1,83	5464,5	2,13	4694,8	2,43	4115,2	2,73	3663,0	3,03	3300,3	3,33	3003,0	3,63	2754,8	3,93	2544,5
1,24	8064,5	1,54	6493,5	1,84	5434,8	2,14	4672,9	2,44	4098,4	2,74	3649,6	3,04	3289,5	3,34	2994,0	3,64	2747,3	3,94	2538,1
1,25	8000,0	1,55	6451,6	1,85	5405,4	2,15	4651,2	2,45	4081,6	2,75	3636,4	3,05	3278,7	3,35	2985,1	3,65	2739,7	3,95	2531,6
1,26	7939,5	1,56	6410,3	1,86	5376,3	2,16	4629,6	2,46	4065,0	2,76	3623,2	3,06	3268,0	3,36	2976,2	3,66	2732,2	3,96	2525,3
1,27	7874,0	1,57	6369,4	1,87	5347,6	2,17	4608,3	2,47	4048,6	2,77	3610,1	3,07	3257,3	3,37	2967,4	3,67	2724,8	3,97	2518,9
1,28	7812,5	1,58	6329,1	1,88	5319,1	2,18	4587,2	2,48	4032,3	2,78	3597,1	3,08	3246,8	3,38	2958,6	3,68	2717,4	3,98	2512,6
1,29	7751,9	1,59	6289,3	1,89	5291,0	2,19	4568,2	2,49	4016,1	2,79	3584,2	3,09	3236,2	3,39	2949,9	3,69	2710,0	3,99	2506,3

Přepočet vlnové délky λ (μm) na vlnočet $\tilde{\nu}$ (cm^{-1})Převod vlnové délky λ (μm) na vlnočet $\tilde{\nu}$ (cm^{-1})

μm	cm^{-1}																		
4,00	2500,0	4,30	2325,6	4,60	2173,9	4,90	2040,8	5,20	1923,1	5,50	1818,2	5,80	1724,1	6,10	1639,3	6,40	1562,5	6,70	1492,5
4,01	2498,8	4,31	2320,2	4,61	2169,2	4,91	2036,7	5,21	1919,4	5,51	1814,9	5,81	1721,2	6,11	1636,7	6,41	1560,1	6,71	1490,3
4,02	2487,6	4,32	2314,8	4,62	2164,5	4,92	2032,5	5,22	1915,7	5,52	1811,6	5,82	1718,2	6,12	1634,0	6,42	1557,6	6,72	1488,1
4,03	2481,4	4,33	2309,5	4,63	2159,8	4,93	2028,4	5,23	1912,0	5,53	1808,3	5,83	1715,3	6,13	1631,3	6,43	1555,2	6,73	1485,9
4,04	2475,2	4,34	2304,1	4,64	2155,2	4,94	2024,3	5,24	1908,4	5,54	1805,1	5,84	1712,3	6,14	1628,7	6,44	1552,8	6,74	1483,7
4,05	2469,1	4,35	2298,9	4,65	2150,5	4,95	2020,2	5,25	1904,8	5,55	1801,8	5,85	1709,4	6,15	1626,0	6,45	1550,4	6,75	1481,5
4,06	2463,1	4,36	2293,6	4,66	2145,9	4,96	2016,1	5,26	1901,1	5,56	1798,6	5,86	1706,5	6,16	1623,4	6,46	1548,0	6,76	1479,3
4,07	2457,0	4,37	2288,3	4,67	2141,3	4,97	2012,1	5,27	1897,5	5,57	1795,3	5,87	1703,6	6,17	1620,7	6,47	1545,6	6,77	1477,1
4,08	2451,0	4,38	2283,1	4,68	2136,8	4,98	2008,0	5,28	1893,9	5,58	1792,1	5,88	1700,7	6,18	1618,1	6,48	1543,2	6,78	1474,9
4,09	2445,0	4,39	2277,9	4,69	2132,2	4,99	2004,0	5,29	1890,4	5,59	1788,9	5,89	1697,8	6,19	1615,5	6,49	1540,8	6,79	1472,8
4,10	2439,0	4,40	2272,7	4,70	2127,7	5,00	2000,0	5,30	1886,8	5,60	1785,7	5,90	1694,9	6,20	1612,9	6,50	1538,5	6,80	1470,6
4,11	2433,1	4,41	2267,6	4,71	2123,1	5,01	1996,0	5,31	1883,2	5,61	1782,5	5,91	1692,0	6,21	1610,3	6,51	1536,1	6,81	1468,4
4,12	2427,2	4,42	2262,4	4,72	2118,6	5,02	1992,0	5,32	1879,7	5,62	1779,4	5,92	1689,2	6,22	1607,7	6,52	1533,7	6,82	1466,3
4,13	2421,3	4,43	2257,3	4,73	2114,2	5,03	1988,1	5,33	1876,2	5,63	1776,2	5,93	1686,3	6,23	1605,1	6,53	1531,4	6,83	1464,1
4,14	2415,5	4,44	2252,3	4,74	2109,7	5,04	1984,1	5,34	1872,7	5,64	1773,0	5,94	1683,5	6,24	1602,6	6,54	1529,1	6,84	1462,0
4,15	2409,6	4,45	2247,2	4,75	2105,3	5,05	1980,2	5,35	1869,2	5,65	1769,9	5,95	1680,7	6,25	1600,0	6,55	1526,7	6,85	1459,9
4,16	2403,8	4,46	2242,2	4,76	2100,8	5,06	1976,3	5,36	1865,7	5,66	1766,8	5,96	1677,9	6,26	1597,4	6,56	1524,4	6,86	1457,7
4,17	2398,1	4,47	2237,1	4,77	2096,4	5,07	1972,4	5,37	1862,2	5,67	1763,7	5,97	1675,0	6,27	1594,9	6,57	1522,1	6,87	1455,6
4,18	2392,3	4,48	2232,1	4,78	2092,1	5,08	1968,5	5,38	1858,7	5,68	1760,6	5,98	1672,2	6,28	1592,4	6,58	1519,8	6,88	1453,5
4,19	2386,6	4,49	2227,2	4,79	2087,7	5,09	1964,6	5,39	1855,3	5,69	1757,5	5,99	1669,4	6,29	1589,8	6,59	1517,5	6,89	1451,4
4,20	2381,0	4,50	2222,2	4,80	2083,3	5,10	1960,8	5,40	1851,9	5,70	1754,4	6,00	1666,7	6,30	1587,3	6,60	1515,2	6,90	1449,3
4,21	2375,3	4,51	2217,3	4,81	2079,0	5,11	1955,9	5,41	1848,4	5,71	1751,3	6,01	1663,9	6,31	1584,8	6,61	1512,9	6,91	1447,2
4,22	2369,7	4,52	2212,4	4,82	2074,7	5,12	1955,1	5,42	1845,0	5,72	1748,3	6,02	1661,1	6,32	1582,3	6,62	1510,6	6,92	1445,1
4,23	2364,1	4,53	2207,5	4,83	2070,4	5,13	1949,3	5,43	1841,6	5,73	1745,2	6,03	1658,4	6,33	1579,8	6,63	1508,3	6,93	1443,0
4,24	2358,5	4,54	2202,6	4,84	2066,1	5,14	1945,5	5,44	1838,2	5,74	1742,2	6,04	1655,6	6,34	1577,3	6,64	1506,0	6,94	1440,9
4,25	2352,9	4,55	2197,8	4,85	2061,9	5,15	1941,7	5,45	1834,9	5,75	1739,1	6,05	1652,9	6,35	1574,8	6,65	1503,8	6,95	1438,8
4,26	2347,4	4,56	2193,0	4,86	2057,6	5,16	1938,0	5,46	1831,5	5,76	1736,1	6,06	1650,2	6,36	1572,3	6,66	1501,5	6,96	1436,8
4,27	2341,9	4,57	2188,2	4,87	2053,4	5,17	1934,2	5,47	1828,2	5,77	1733,1	6,07	1647,4	6,37	1569,9	6,67	1499,3	6,97	1434,7
4,28	2336,4	4,58	2183,4	4,88	2049,2	5,18	1930,5	5,48	1824,8	5,78	1730,1	6,08	1644,7	6,38	1567,4	6,68	1497,0	6,98	1432,7
4,29	2331,0	4,59	2178,6	4,89	2045,0	5,19	1926,8	5,49	1821,5	5,79	1727,1	6,09	1642,0	6,39	1564,9	6,69	1494,8	6,99	1430,6

Tabulka 26

Tabulka 26

Převod vlnové délky λ (μm) na vlnočet ν (cm^{-1})Převod vlnové délky λ (μm) na vlnočet ν (cm^{-1})

μm	cm^{-1}																		
7,00	1428,6	7,30	1369,9	7,60	1315,8	7,90	1265,8	8,20	1219,5	8,50	1176,5	8,80	1136,4	9,10	1098,9	9,40	1063,8	9,70	1030,9
7,01	1426,5	7,31	1368,0	7,61	1314,1	7,91	1264,2	8,21	1218,0	8,51	1175,1	8,81	1135,1	9,11	1097,7	9,41	1062,7	9,71	1029,9
7,02	1424,5	7,32	1366,1	7,62	1312,3	7,92	1262,6	8,22	1216,5	8,52	1173,7	8,82	1133,8	9,12	1096,5	9,42	1061,6	9,72	1028,8
7,03	1422,5	7,33	1364,3	7,63	1310,6	7,93	1261,0	8,23	1215,1	8,53	1172,3	8,83	1132,5	9,13	1095,3	9,43	1060,4	9,73	1027,7
7,04	1420,5	7,34	1332,4	7,64	1308,9	7,94	1259,4	8,24	1213,6	8,54	1171,0	8,84	1131,2	9,14	1094,1	9,44	1059,3	9,74	1026,7
7,05	1418,4	7,35	1360,5	7,65	1307,2	7,95	1257,9	8,25	1212,1	8,55	1169,6	8,85	1129,9	9,15	1092,9	9,45	1058,2	9,75	1025,6
7,06	1416,4	7,36	1358,7	7,66	1305,5	7,96	1256,3	8,26	1210,7	8,56	1168,2	8,86	1128,7	9,16	1091,7	9,46	1057,1	9,76	1024,6
7,07	1414,4	7,37	1356,9	7,67	1303,8	7,97	1254,7	8,27	1209,2	8,57	1166,9	8,87	1127,4	9,17	1090,5	9,47	1056,0	9,77	1023,5
7,08	1412,4	7,38	1355,0	7,68	1302,1	7,98	1253,1	8,28	1207,7	8,58	1165,5	8,88	1126,1	9,18	1089,3	9,48	1054,9	9,78	1022,5
7,09	1410,4	7,39	1353,2	7,69	1300,4	7,99	1251,6	8,29	1206,3	8,59	1164,1	8,89	1124,9	9,19	1088,1	9,49	1053,7	9,79	1021,5
7,10	1408,5	7,40	1351,4	7,70	1298,7	8,00	1250,0	8,30	1204,8	8,60	1162,8	8,90	1123,6	9,20	1087,0	9,50	1052,6	9,80	1020,4
7,11	1406,5	7,41	1349,5	7,71	1297,0	8,01	1248,4	8,31	1203,4	8,61	1161,4	8,91	1122,3	9,21	1085,8	9,61	1051,5	9,81	1019,4
7,12	1404,5	7,42	1347,7	7,72	1295,3	8,02	1246,9	8,32	1201,9	8,62	1160,1	8,92	1121,1	9,22	1084,6	9,62	1050,4	9,82	1018,3
7,13	1402,5	7,43	1345,9	7,73	1293,7	8,03	1245,3	8,33	1200,5	8,63	1158,7	8,93	1119,8	9,23	1083,4	9,63	1049,3	9,83	1017,3
7,14	1400,6	7,44	1344,1	7,74	1292,0	8,04	1243,8	8,34	1199,0	8,64	1157,4	8,94	1118,6	9,24	1082,3	9,64	1048,2	9,84	1016,3
7,15	1398,6	7,45	1342,3	7,75	1290,3	8,05	1242,2	8,35	1197,6	8,65	1156,1	8,95	1117,3	9,25	1081,1	9,65	1047,1	9,85	1015,2
7,16	1396,6	7,46	1340,5	7,76	1288,7	8,06	1240,7	8,36	1196,2	8,66	1154,7	8,96	1116,1	9,26	1079,9	9,66	1046,0	9,86	1014,2
7,17	1394,7	7,47	1338,7	7,77	1287,0	8,07	1239,2	8,37	1194,7	8,67	1153,4	8,97	1114,8	9,27	1078,7	9,57	1044,9	9,87	1013,2
7,18	1392,8	7,48	1336,9	7,78	1285,3	8,08	1237,6	8,38	1193,3	8,68	1152,1	8,98	1113,6	9,28	1077,6	9,58	1043,8	9,88	1012,1
7,19	1390,8	7,49	1335,1	7,79	1283,7	8,09	1236,1	8,39	1191,9	8,69	1150,7	8,99	1112,3	9,29	1076,4	9,59	1042,8	9,89	1011,1

μm	cm^{-1}																		
7,20	1388,9	7,50	1333,3	7,80	1282,1	8,10	1234,6	8,40	1190,5	8,50	1176,5	8,80	1136,4	9,10	1098,9	9,40	1063,8	9,70	1030,9
7,21	1387,0	7,51	1331,6	7,81	1280,4	8,11	1233,0	8,41	1189,1	8,51	1175,1	8,81	1135,1	9,11	1097,7	9,41	1062,7	9,71	1029,9
7,22	1385,0	7,52	1329,8	7,82	1278,8	8,12	1231,5	8,42	1187,6	8,52	1173,7	8,82	1133,8	9,12	1096,5	9,42	1061,6	9,72	1028,8
7,23	1383,1	7,53	1328,0	7,83	1277,1	8,13	1230,0	8,43	1186,2	8,53	1172,3	8,83	1132,5	9,13	1095,3	9,43	1060,4	9,73	1027,7
7,24	1381,2	7,54	1326,3	7,84	1275,5	8,14	1228,5	8,44	1184,8	8,54	1171,0	8,84	1131,2	9,14	1094,1	9,44	1059,3	9,74	1026,7
7,25	1379,3	7,55	1324,5	7,85	1273,9	8,15	1227,0	8,45	1183,4	8,75	1142,9	9,05	1105,0	9,35	1069,5	9,65	1036,3	9,95	1005,0
7,26	1377,4	7,56	1322,8	7,86	1272,3	8,16	1225,5	8,46	1182,0	8,76	1141,6	9,06	1103,8	9,36	1068,4	9,66	1035,2	9,96	1004,0
7,27	1375,5	7,57	1321,0	7,87	1270,6	8,17	1224,0	8,47	1180,6	8,77	1140,3	9,07	1102,5	9,37	1067,2	9,67	1034,1	9,97	1003,0
7,28	1373,6	7,58	1319,3	7,88	1269,0	8,18	1222,5	8,48	1179,2	8,78	1139,0	9,08	1101,3	9,38	1066,1	9,68	1033,1	9,98	1002,0
7,29	1371,7	7,59	1317,5	7,89	1267,4	8,19	1221,0	8,49	1177,9	8,79	1137,7	9,09	1100,1	9,39	1065,0	9,69	1032,0	9,99	1001,0

Ionový součin vody

t°	K_{H_2O}	pK_{H_2O}	$\sqrt{K_{H_2O}}$
0	0,13.10 ⁻¹⁴	14,89	0,36.10 ⁻⁷
5	0,21.10 ⁻¹⁴	14,68	0,46.10 ⁻⁷
10	0,36.10 ⁻¹⁴	14,44	0,59.10 ⁻⁷
15	0,58.10 ⁻¹⁴	14,24	0,76.10 ⁻⁷
16	0,63.10 ⁻¹⁴	14,20	0,79.10 ⁻⁷
17	0,68.10 ⁻¹⁴	14,17	0,82.10 ⁻⁷
18	0,74.10 ⁻¹⁴	14,13	0,86.10 ⁻⁷
19	0,79.10 ⁻¹⁴	14,10	0,89.10 ⁻⁷
20	0,86.10 ⁻¹⁴	14,07	0,93.10 ⁻⁷
21	0,93.10 ⁻¹⁴	14,03	0,96.10 ⁻⁷
22	1,00.10 ⁻¹⁴	14,00	1,00.10 ⁻⁷
23	1,10.10 ⁻¹⁴	13,96	1,05.10 ⁻⁷
24	1,19.10 ⁻¹⁴	13,92	1,09.10 ⁻⁷
25	1,27.10 ⁻¹⁴	13,90	1,13.10 ⁻⁷
26	1,38.10 ⁻¹⁴	13,86	1,17.10 ⁻⁷
27	1,50.10 ⁻¹⁴	13,82	1,23.10 ⁻⁷
28	1,62.10 ⁻¹⁴	13,79	1,27.10 ⁻⁷
29	1,76.10 ⁻¹⁴	13,76	1,33.10 ⁻⁷
30	1,89.10 ⁻¹⁴	13,72	1,37.10 ⁻⁷
31	2,04.10 ⁻¹⁴	13,69	1,43.10 ⁻⁷
32	2,19.10 ⁻¹⁴	13,66	1,48.10 ⁻⁷
33	2,35.10 ⁻¹⁴	13,63	1,53.10 ⁻⁷
34	2,51.10 ⁻¹⁴	13,60	1,59.10 ⁻⁷
35	2,71.10 ⁻¹⁴	13,57	1,65.10 ⁻⁷
36	2,92.10 ⁻¹⁴	13,53	1,71.10 ⁻⁷
37	3,13.10 ⁻¹⁴	13,50	1,77.10 ⁻⁷
38	3,35.10 ⁻¹⁴	13,48	1,83.10 ⁻⁷
39	3,59.10 ⁻¹⁴	13,44	1,89.10 ⁻⁷
40	3,80.10 ⁻¹⁴	13,42	1,95.10 ⁻⁷
50	5,6.10 ⁻¹⁴	13,25	2,4.10 ⁻⁷
60	12,6.10 ⁻¹⁴	12,90	3,5.10 ⁻⁷
70	21.10 ⁻¹⁴	12,68	4,6.10 ⁻⁷
80	34.10 ⁻¹⁴	12,47	5,8.10 ⁻⁷
90	52.10 ⁻¹⁴	12,28	7,2.10 ⁻⁷
100	74.10 ⁻¹⁴	12,13	8,6.10 ⁻⁷

Exsinkční koeficienty

Ion	Činidlo	Složení činidla (kov. + činidlo)	Prostředí (pH)	λ nm	$\epsilon \cdot 10^{-3}$	Ověřený rozsah, mg prvků/l
Ag^+	DDK dithizon	1 : 1 1 : 1	CCl_4 CCl_4 CHCl_3	340 462 495	5,4 — —	2—40
Al^{3+}	aluminon morin oxin	1 : 3 1 : 1 1 : 3	$\text{H}_2\text{O} (<7)$ EtOH CHCl_3	515 430 387	24 18 6,4	do 0,5 do 1,6 do 6,5
As^{3+} As^{V}	DDK molybdenat	1 : 3	CCl_4 k. molybdato-arsenitná molybdenová modifik.	405	4,9	—
	molybdenat + vanadičnan		$\text{H}_2\text{O} (<7)$ AmOAc $n\text{-BuOH}$ $\text{H}_2\text{O} (<7)$	340	3,6 14 5,1 24,5	1—20 3—15 0—12 0—3,5
Au^{3+}	HBr rhodamin B kurkumin		$\text{H}_2\text{O} (<7)$ benzen	380 565	3,37 4,8	1—30
B_{III}			EtOH aceton	400 535	2,54 1,63	—
$\text{B}_{\text{IV}}^{2+}$	acetylaceton naftazarin aluminon	1 : 2	CHCl_3 , CCl_4 $\text{H}_2\text{O} (>7)$ $\text{H}_2\text{O} (<7)$	295	31,6	—
B_{V}^{3+}	chromazurol S ethelaton 3	1 : 2 1 : 1	$\text{H}_2\text{O} (<7)$ $\text{H}_2\text{O} (<7)$	600 535	13 2,2	1—30
Bi^{3+}	HBr HCl	—	$\text{H}_2\text{O} (<7)$ $\text{H}_2\text{O} (2)$	550	4	0,2—1,6
	DDK	1 : 3	CCl_4 , CHCl_3 AmOH	440 370	4,2 9	do 30 do 16 2—20
	dithizon	1 : 3	$\text{H}_2\text{O} (<7)$ CCl_4	375 275	19 60	—
Bi^{3+}	J ⁻	1 : 4	$\text{H}_2\text{O} (<7)$ i-AmOH	490	337	0,5—10
	oxin	1 : 3	CHCl_3 $\text{z}\ddot{\text{x}}\text{HClO}_4$ $\text{z}\ddot{\text{x}}\text{HNO}_3$	450	11 33 35	do 8 do 2,4
Br^-	thiomocovina fuchsín	—	pentabrom-fuchsín PBr ₅	585	68,3	0,4—4
	PdSO ₄		$\text{H}_2\text{O} (<7)$	230	9,4	0—8

Extinkční koeficienty

Ion	Činidlo	Složení (kov: čmidlo)	Prostredí, (pH)	λ , nm	$\epsilon \cdot 10^{-3}$	Ovárený rozseh, mg prvkú/1
BrO_3^- CN^-	škrob + CdI_2 benzidin + Py	jodškrob deriváty glutakonového aldehydu	$\text{H}_2\text{O} (<7)$ $n\text{-BuOH}$	615 480	17 55	0—12 (BrO_3^-) 2,5—10 (CN^-)
Ca^{2+} Co^{2+}	CaO_2 murexid	$n\text{-BuOH}$	$n\text{-BuOH}$	630	110	0,02—0,2 (CN^-)
DDK dithizon	1 : 1	$\text{H}_2\text{O} (11—12)$	506	11,3	0—4	
	1 : 2	CCl_4	440	0,21	4—60	
	1 : 2	CHCl_3	620	88	do 0,7	
	1 : 2	CHCl_3	280	34,3	—	
	1 : 2	CHCl_3	520	85,6	—	
	1 : 2	CHCl_3	280	34,8	—	
oxin	1 : 3	CHCl_3	480	2	—	
Ce^{3+}	—	$\text{H}_2\text{O} (<7)$	320	5,58	do 2	
Ce^{3+}	$\text{K}_2\text{CO}_3 + \text{H}_2\text{O}_2$	$\text{H}_2\text{O} (10,5)$	304	5,38	0—30	
	—	$n\text{-BuOH}$	320	4,38	—	
Cl_2 Cl^-	o-tolidin Hg ^{II} -chlor-anilin	oxidace	$\text{H}_2\text{O} (1,6)$ $\text{H}_2\text{O} + \text{me-thylcello-solve} (<7)$	438 530	23,5 0,18	0—1 0—100
	Hg ^{II} -difenyl-karbazon ^{*)} PdSO_4	oxidace	$\text{H}_2\text{O} (3,2)$	520	9,5	0—2,4
	benzidin	oxidace	$\text{H}_2\text{O} (<7)$	230	1,3	5—35
	benzidin	oxidace	$\text{H}_2\text{O} (<7)$	425	63	0,05 až 0,7 (ClO_4^-)
	methyleneová modifik.	DDK	CHCl_3	635	—	0—0,5 (ClO_4^-) do 0,5 (ClO_4^-)
	dithizon	1 : 2 (?)	CHCl_3	367	14,3	0—100
		1 : 2	CHCl_3	650	0,5	0—3,5
		1 : 2	CHCl_3	277	36,0	—
		1 : 2	CHCl_3	542	59,2	—
		1 : 2	CHCl_3	550	7,5	0,006—1,0
		1 : 2	toulen	530	14,5	do 1,2
		1 : 2	CHCl_3	420	7,8	do 10
		1 : 2	$\text{H}_2\text{O} (>7)$	260	13,5	do 8,0
		1 : 2	$\text{H}_2\text{O} (7—9)$	440	0,225	10—50
		1 : 2	$\text{H}_2\text{O} (\leq 7)$	510	45	0—1,4
		1 : 2	H_2O	23,0	0,2—5,0	
		1 : 2	i-AsOH	312	6,8	0,2—10
		1 : 2	anion	620	10,5	1—20
		1 : 2	CHCl_3	620	1,77	do 60

*) Nepriamá metóda

*) Nepriamá metóda

Extinkční koeficienty

Ion	Činidlo	Složení (kov: čmidlo)	Prostredí (pH)	λ , nm	$\epsilon \cdot 10^{-3}$	Ovárený rozseh, mg prvkú/1
Co^{3+}	rubeanovodifuk 1-nitroso-2-naftol PAN			2 : 3 1 : 3	$\text{H}_2\text{O} (9)$ CHCl_3	370 317
Cr^{3+}	šavelan Na_2O_2			1 : 2 1 : 3	$i\text{-AmOH}$ $\text{H}_2\text{O} (\sim 7)$ $\text{H}_2\text{O} (^>7)$ CHCl_3	26,5 17 0,092 4,94 1,8
$\text{Cr}_2\text{O}_7^{2-}$	oxin			1 : 3	$\text{H}_2\text{O} (1—3)$ $\text{H}_2\text{O} (<7)$	370 420
Cu^+	DDK difenykarbazíd k. chromotropová bathokuproin			—	1-hexanol i-AsOH CHCl_3	0,23 34,6 3,43
Cu^{2+}	kuproin neokuproin			1 : 2 1 : 2	1,4,2 i-AsOH CHCl_3	47,9 44,2 6,4
Cu^{2+}	α -fenantrolin			1 : 2	$\text{H}_2\text{O} + \text{methyl-}\text{carbinol}$ 1-oktanol	435 435
Cu^{2+}	NH_3			1 : 4	$\text{H}_2\text{O} (\text{NH}_3)$ CHCl_3	7,25 620
Cu^{2+}	α -benzoinoxim DDK			1 : 1 1 : 2	xilen CCl_4 CHCl_3 AmOH BuOAc	2,8 436 16,8 500 32,5 440 13,5
dithizon				1 : 1	CCl_4 CHCl_3 CHCl_3 $i\text{-AmOH}$ CHCl_3 $\text{H}_2\text{O} (\leq 7)$ $\text{H}_2\text{O} (^>7)$ $\text{H}_2\text{O} (\sim 7)$ $\text{H}_2\text{O} (^>7)$	22,7 28,0 45 410 415 346 344 575 332 4,5 6,5 1,6 0,19 0—1
F^-	$\text{Py} + \text{SCN}-$ PAN			1 : 2 : 2	$\text{k. chloranilová}\text{-}\text{odbarv.}$ $\text{Be-chromazurol S}^*$ $\text{Th-chromazurol S}^*$ molybdenan^* Zr-SPADNS^*	7,6 8,2 4,5 3,8 2,0 0,6—6,5 5—50 0—0,60 0—1 0,1—0,7 0—1,4 0,5—7,5
Fe^{2+}	2,2'-dipyridyl			1 : 3	$\text{H}_2\text{O} (<7)$	8,65 522

Extinkční koeficienty

Ion	Činidlo	Složení (kov:činnidlo)	Prostředí (pH)	λ nm	$\epsilon \cdot 10^{-3}$	Ověřený rozsah, mg prvků/1
Fe^{2+} (pohrád.)	2,2'-dipyridyl + + CN- DDK	1 : 3 : 2	CHCl_3	552	8,6	—
k. merkaptooctová o-fenantrolin	1 : 3 (1)	OHCl_3	605	7,64	—	
fenantrolin + ClO_4^-	1 : 3 : 2	H_2O (7-12)	515	2,7	0-16	
fenantrolin + CN-	1 : 3 : 2	H_2O (2-9)	508	3,80	—	
fenantrolin + ClO_4^-	1 : 3 : 2	OHCl_3	512	11,1	0,1-6,0	
fenantrolin + CN-	1 : 3 : 2	$i\text{-AmOH}$	512	11,0	0,1-1	
fenantrolin + CN-	1 : 3 : 2	$\text{C}_6\text{H}_5\text{NO}_2$	515	13,5	—	
fenantrolin + CN-	1 : 3 : 2	CHCl_3	598	10,0	0,1-1	
fenantrolin + CN-	1 : 3 : 2	$i\text{-AmOH}$	558	9,42	—	
4,7-dihydroxy- fenantrolin	1 : 3	H_2O (8)	520	14,8	0-6	
bathofenantrolin	1 : 3	$i\text{-AmOH}$	635	22,4	1,5-9	
nitroso-R-sulf	1 : 3	H_2O (4-5)	640	13,0	0,2-4,0	
HCl	—	H_2O (≤ 7)	720	24,0	0,05-2,0	
BFH	1 : 3	$\text{EtOH} + \text{H}_2\text{O}$	342	2,9	0,5-30,0	
DDK	1 : 3	Cl_3I	340	12,7	—	
ferron	1 : 3	CHCl_3	600	2,05	—	
chelation 3 + H_4O_2	1 : 1 : 1	H_2O (~ 3)	615	2,7	0-16	
oxin	1 : 3	H_2O (10-11)*	610	3,60	—	
kys. oxin-5-sulfonová	1 : 3	CHCl_3	520	0,1	0,5-50	
SCN-	—	H_2O (4,7)	570	4,2	—	
SCN- + $(\text{Bu}_4\text{N})\text{NH}^+$	1 : 6 : 3	H_2O (1)	580	5,0	0,5-6,0	
kys. salicylová	1 : 3 (1)	aceton 60%	480	6,3	0,1-10	
kys. sulfosalicylová	1 : 3	$i\text{-AmOAc}$	480	1,40	0,05-5,0	
tiron	1 : 2	H_2O ($\sim 2,7$)	480	21,2	0-4	
oxin	1 : 3	H_2O (8)	420	1,6	0,2-4,5	
SCN- + $(\text{Bu}_4\text{N})\text{NH}^+$	1 : 6 : 3	H_2O (4)	620	5,5	0,1-4,0	
kys. sulfosalicylová	1 : 3	H_2O ($< 9,5$)	480	6,3	0,2-10	
tiron	1 : 3	CHCl_3	320	3,34	—	
5,7-dibromoxin	1 : 3	CHCl_3	335	3,67	—	
fenylfluorin	1 : 2	H_2O (≤ 7)	392	6,47	0-2,5	
DDK	1 : 2	CHCl_3	409	8,85	0,01-1	
dithizón	1 : 2	Cl_3I	510	83	—	
Ga ³⁺		CHCl_3	340	1,0	10-80	
		CHCl_3	492	69,5	0,2-0,8	
		CHCl_3	265	38,4	—	
		CHCl_3	490	72	—	

3) Nepřímá metoda

Tabulka 28

Extinkční koeficienty

Ion	Činidlo	Složení (kov: činidlo)	Přiroděd (pH)	λ nm	$\epsilon \cdot 10^{-3}$	Ověřený rozsah, mg prvku/l
Hg^{2+} (pochl.)	J-	1 : 4	$i\text{-AmOH}^+$ + EtO_4^-	305 305	12,6 14,3	{ 2—14
J-	SCN- škrob + JO_4^- MnO_4^-	— jodátkrob J_2^- J_2^- PdJ ₄	$n\text{-BuOH}$ H_2O (<7) toluen H_2O (<7)	286 615 352 390	8,85 15,5 — 4,3	0—12 0,1—3 0—9
In ³⁺	PdSO ₄ dithizon oxin	1 : 3 1 : 3	CCl ₄ CHCl ₃	510 336	119 3,58	—
	5,7-dibromoxin	1 : 3	CHCl ₃	395	6,67	do 20
	$HClO_4 + H_3PO_4$ (Fen) ₄ PBr	— 1 : 2	H_2O (<7) CHCl ₃	334 347 413	7,26 8,19 9,30	{ 0,2—2,0
$IrCl_6^{2-}$	$SnCl_4 + HBr$ $Na_3Co(NO_2)_6^*$	— $CoCl_3^{2-}$ $Co(CO_3)_3^{3-}$	H_2O (<7) H_2O ($0—1$) H_2O (>7)	402 700 400 630	49,6 0,0377 0,121 0,0753	do 3 20—1000 20—1000
(též $IrCl_6^{2-}$) K ⁺	dipikrylamin [*]	Co-nitroso-R- sil $Co(SCN)_4^{2-}$	H_2O (<7) H_2O + aceton H_2O + aceton	420 620 500	10,9 7,74 0,78	0,1—1 5—1000 neplatil
La ³⁺ Li ⁺ Mg ²⁺	alizarin S jodistian Fe(II, K [*]) AZO-NAFTOL	— titianová žlut eriochromenát T	H_2O (<7) H_2O (1) EtOH (9) H_2O (>12) H_2O (>7) H_2O (<7)	550 480 505 545 520 500	7,2 3,96 32,5 2,8 22 0,15	do 10 do 10 do 0,4 0,4—6 do 14 20—700
Mn ²⁺	oxin-n-BuNH ₃ $BrO_3^- + H_2SO_4$ DDK	1 : 2 1 : 3 : 1 1 : 3	CCl ₄ CHCl ₃ H_2O (<1) H_2O (2—4)	355 505 578 525 294 420	9,52 3,71 2,17 2,02 15,2 9,0	{ 0,4—4 0—12 0—20 —
Mo ^V	KJ ₄ k. 7-nitrooxin- .5-sulfonová SCN-	MnO ₄ 1 : 1 1 : 5	i-AmOH	470	15,3	0,1—100

*) Nepřímá metoda

Extinkční koeficienty

Tabuľka 28

Ion	Činidlo	Složení (kov : činidlo)	Prostředí (pH)	λ nm	$\epsilon \cdot 10^{-3}$	Ověřeny rozsah, mg prvků/1
Movi	dithiol H_2O_4 oxin	1 : 3 peroxyxioluč.	i-AmOO ₂ $H_2O (<7)$ $CHCl_3$	680 330 369	17,5 0,97 8,2	0—2 0—150 —
k. thioglykolová	—	1 : 2	$H_2O (<7)$	365	3,8	4—15
Nesslerovo čin.	fenolát + ClO^-	—	$H_2O (>7)$	625	3,52	do 2 (N)
NH ₄ ⁺	Nesslerovo čin.	—	$H_2O (>7)$	400 600	6,2 0,25	do 0,16 (N) do 1,25 (N)
NO ₂ ⁻	Griessovo čin. k. thioglykolová	azobarvivo nitrosodervát	$H_2O (<7)$ $H_2O (<7)$	520 355	40 0,67	— 0—100
NO ₃ ⁻	rivanol	—	$H_2O (<7)$	515	6,0	0—1,2
k. fenol 2,4-disulfonová	nitroderivát	—	$H_2O (NH_3)$	410	0,4	do 12 (N)
PO ₄ ³⁻	nitroderivát	—	$H_2O (<7)$	410	1,5	?
NO ₃ ⁻	3,4-xylénol	nitroderivát	$H_2O (>7)$	432	3,3	—
Na ⁺	$Co^{II}O_4(C_2H_5O_2)_4^{4-}$ $Mn^{III}O_4(C_2H_5O_2)_4^{4-}$ $Zn^{II}UO_4(C_2H_5O_2)_4^{4-}$	$Co(SCN)_4^{2-}$ MnO_4^- UO_4^{2-} $UO_4^{4-} +$ $+ Fe(CN)_6^{4-}$	H_2O -acetón $H_2O (<7)$ $H_2O (<7)$ $H_2O (<7)$	620 520 430 400	7,74 1,425 0,035 4,41	50—2000 5—100 100—1000 5—20
Nb ^V	HCl H_2O_4	—	$H_2O (<7)$	280	9,8	do 10
CN ⁻	SCN ⁻ + Sn^{4+}	oxin pyrogallol	$H_2O (<7)$ H_2O -acetón CCl_4	285 340 385 400 383 365 328 393	0,955 0,90 11,3 6,6 38,0 36,2 34,2 6,11	0,7—70 1,5—8 0—20 0,004—2,6 0,2—25 0—5 3,3—13,3 0,012—4
Ni ²⁺	DDK	1 : 4 1 : 2	$H_2O (>7)$ CCl_4	268 480 550	10 27 23	0,25—1,3
diacetylidioxim	dithizon	1 : 2 1 : 2	i-AmOH $CHCl_3$ $CHCl_3$	385 350 438	6,1 3,5 27	0—5 3,3—13,3 0,25—1,3
α-furidioxim	o-dichlorbenzen	1 : 2	CCl ₄	282 480 665	34,8 30,4 20	0,25—1,3 0,2—3

Extinkční koeficienty

Ion.	Činidlo	Složení (kov: činidlo)	Prostředí (pH)	λ nm	$\epsilon \cdot 10^{-3}$	Ověřený rozsah, mg prvků/1
Ni^{2+} (počkat.)	heptoxin NH ₃ oxin 2-methyloxin	heptoxin NH ₃ oxin 2-methyloxin	CHCl ₃ $H_2O (NH_3)$ $CHCl_3$	377 552 395	4,66 0,006 4,9	1—10 100—1500 —
NH ₄ ⁺	PAN	PAN	H_2O -vodík	248 373	41,0 4,75	1,6—6,9 0—1
NO ₂ ⁻	rubanovodík diacetylidioxim thiomocovina (Fen) ₃ AsCl	rubanovodík diacetylidioxim thiomocovina (Fen) ₃ AsCl	$H_2O (>7)$ EtOH(NH ₃) $H_2O (1)$ $CHCl_3$	660 445 480 346	8,5 16,0 4,22 17,5	0,1—5 do 100 0,16—4 do 40
NO ₃ ⁻	OsO ₄ ²⁻ PO ₄ ³⁻	— molybdenan	$H_2O (1,5)$ k. molybdato- fosforečná	560	26,8	do 6
PO ₄ ³⁻	— molybdenan	— molybdenan + + Sn ²⁺	$H_2O (<7)$ $n-BuOH - CHCl_3$	332 360 310	13 4,8 24,4	0—25 0—2
NO ₃ ⁻	— molybdenan + + Sn ²⁺	molybdenová modifikace	$H_2O (<7)$ $n-BuOH - CHCl_3$	735	18,5	do 1,6
PO ₄ ³⁻	— molybdenan + + Sn ²⁺	molybdenová modifikace	$i-BuOH$ $H_2O (<7)$	625 725 830	19,2 22,7 26,8	0,1—1,3 0—1,5
NO ₃ ⁻	— molybdenan + + Sn ²⁺	molybdenová modifikace	$H_2O (<7)$ $H_2O (<7)$	705 820	3,9 26,6	—
NO ₃ ⁻	— molybdenan + + Sn ²⁺	molybdenová modifikace	$H_2O (<7)$ $H_2O (<7)$	400 440 480	2,5 1,1 0,43	0,1—2,6 do 40 —
NO ₃ ⁻	— molybdenan + + Sn ²⁺	k. molybdato- fosforečná	$H_2O (<7)$ CCl_4 $CHCl_3$ $CHCl_3$	315 400 440 480	9,3 35,2 68,8 63,6	0,4—4 do 0,4 do 16 do 200
NO ₃ ⁻	— molybdenan + + Sn ²⁺	chloro- komplex	$H_2O (<7)$ CCl_4 $CHCl_3$ $CHCl_3$	271 340 270 518	11,3 34,4 35,2 38,4	0,02—2,4 — — —

*) Nepřímá metoda

Extinkční koeficienty

Ion	Činidlo	Složení (kov.: činidlo)	Prostředí (pH)	λ nm	$\epsilon \cdot 10^{-3}$	Ověřený rozsah, mg prvků/1
Pd ²⁺ (polovat.)	α -furidioxim J-	1 : 2	CHCl ₃	380	23,8	0,6—3
	p -nitrosodimethyl-anilin	1 : 4	H ₂ O (<7) H ₂ O (4—5)	408 525	9,39 65	0,05—2
	salicylaldoxim	1 : 2	CHCl ₃	275	26	—
	dithizon	1 : 2	CHCl ₃	376	6,6	—
Pt ⁴⁺	PtCl ₆ ⁴⁻	—	CHCl ₃	260	29,6	—
PtCl ₆ ⁴⁻	Sn ²⁺ + HCl	—	H ₂ O (3—6) H ₂ O (1—2)	710	30	do 11
	p -nitrosodimethyl-anilin	—	H ₂ O (<7) H ₂ O (2—5)	262 495	11,5 11,9	do 14
ReCl ⁻	α -furidioxim	—	H ₂ O (<7)	403	8,14	do 70
	SCN ⁻ + Sn ²⁺	—	H ₂ O (2—5)	525	67	do 3,2
RhCl ₃ ⁻	NaClO	—	CHCl ₃	532	41,3	—
	2-merkapt-4,5-dimethylthiazol	—	H ₂ O (<7)	533	24	do 15
	Sn ²⁺ + HCl	—	H ₂ O (<7)	400	18	do 40
RuCl ₅ ²⁻	p -nitroso-dimethylanilin	—	H ₂ O (5—7)	665	3,83	do 8
RuCl ₅ ²⁻ —RuCl ₃ OH ⁻	KOH	—	H ₂ O (<7)	390	16,5	do 40
	thiomocrovin	—	H ₂ O (\sim 4)	470	3,90	do 40
S ²⁻	p -nitroso-dimethylanilin	—	H ₂ O (\gg 7)	610	36,3	do 2,5
	RuO ₄ ⁻	—	zř. EtOH (<7)	380	1,42	do 120
	rubeanovodík	—	zř. EtOH (<7)	650	18,8	do 8
	thiomocrovin	—	zř. EtOH (<7)	620	6,05	do 18
S ²⁻	p -aminodimethyl-anilin	methyleneová modifik.	H ₂ O (<7)	34	—	—
S ²⁻	—	S	EtOH	670	—	—
	CuSO ₄ + Py	CuPy ₂ (SCN) ₂	CHCl ₃	264 300	0,767 0,377	0—40
SCN ⁻ —SO ₃ ²⁻	fuchsín + formaldehyd	—	H ₂ O (<7)	13	—	0,5—3 (SCN ⁻)
SO ₃ ²⁻ —Sb ³⁺	Ba-chloranilán*	k. chloranilová	zř. EtOH	560	13	do 400 (SO ₄ ²⁻)
	HCl	1 : 4 (?)	H ₂ O (<7)	530	15,8	—
	DDK	1 : 3	CCl ₄	228	18	—
	J-	1 : 4	H ₂ O (<7)	350	3,37	0,4—4,8
Sb ³⁺	HCl	—	H ₂ O (2—5)	330	32	0—4
	rhodamin B	—	H ₂ O (<7)	425	4,4	0—25

Extinkční koeficienty

Ion	Činidlo	Složení (kov.: činidlo)	Prostředí (pH)	λ nm	$\epsilon \cdot 10^{-3}$	Ověřený rozsah, mg prvků/1
Se ³⁺	α -furidioxim	1 : 2	CHCl ₃	380	23,8	0,6—3
	J-	1 : 4	H ₂ O (4—5)	408	9,39	—
	p -nitrosodimethyl-anilin	1 : 2	CHCl ₃	275	26	—
	salicylaldoxim	1 : 2	CHCl ₃	376	6,6	—
Tl ^{IV}	dithizon	1 : 2	CHCl ₃	260	29,6	—
Pt ⁴⁺	PtCl ₆ ⁴⁻	—	CHCl ₃	710	30	—
	Sn ²⁺ + HCl	—	H ₂ O (3—6) H ₂ O (1—2)	262 495	11,5 11,9	do 14
	p -nitrosodimethyl-anilin	—	H ₂ O (<7) H ₂ O (2—5)	403 525	8,14 67	do 70
ReCl ⁻	α -furidioxim	—	H ₂ O (<7)	525	67	do 3,2
	SCN ⁻ + Sn ²⁺	—	H ₂ O (<7)	532	41,3	—
RhCl ₃ ⁻	NaClO	—	H ₂ O (5—7)	533	24	do 15
	2-merkapt-4,5-dimethylthiazol	—	H ₂ O (<7)	400	18	do 40
	Sn ²⁺ + HCl	—	H ₂ O (<7)	665	3,83	do 8
RuCl ₅ ²⁻	p -nitroso-dimethylanilin	—	H ₂ O (5—7)	390	16,5	do 8
RuCl ₅ ²⁻ —RuCl ₃ OH ⁻	KOH	—	H ₂ O (<7)	470	3,90	do 40
	thiomocrovin	—	H ₂ O (\sim 4)	610	36,3	do 2,5
S ²⁻	p -nitroso-dimethylanilin	—	H ₂ O (\gg 7)	380	1,42	do 120
	RuO ₄ ⁻	—	zř. EtOH (<7)	650	18,8	do 8
	rubeanovodík	—	zř. EtOH (<7)	620	6,05	do 18
S ²⁻	p -aminodimethyl-anilin	methyleneová modifik.	H ₂ O (<7)	34	—	—
S ²⁻	—	S	EtOH	670	—	—
	CuSO ₄ + Py	CuPy ₂ (SCN) ₂	CHCl ₃	264 300	0,767 0,377	0—40
SCN ⁻ —SO ₃ ²⁻	fuchsín + formaldehyd	—	H ₂ O (<7)	13	—	0,5—3 (SCN ⁻)
SO ₃ ²⁻ —Sb ³⁺	Ba-chloranilán*	k. chloranilová	zř. EtOH	560	13	do 400 (SO ₄ ²⁻)
	HCl	1 : 4 (?)	H ₂ O (<7)	530	15,8	—
	DDK	1 : 3	CCl ₄	228	18	—
	J-	1 : 4	H ₂ O (<7)	350	3,37	0,4—4,8
Sb ³⁺	HCl	—	H ₂ O (2—5)	330	32	0—4
	rhodamin B	—	H ₂ O (<7)	425	4,4	0—25

*) Nepřímá metoda

Ion	Činidlo	Složení (kov.: činidlo)	Prostředí (pH)	λ nm	$\epsilon \cdot 10^{-3}$	Ověřený rozsah, mg prvků/1
Se ³⁺	α -furidioxim	1 : 2	CHCl ₃	380	23,8	0,6—3
	J-	1 : 4	H ₂ O (4—5)	408	9,39	—
	p -nitrosodimethyl-anilin	1 : 2	CHCl ₃	275	26	—
	salicylaldoxim	1 : 2	CHCl ₃	376	6,6	—
Tl ^{IV}	dithizon	1 : 2	CHCl ₃	260	29,6	—
Pt ⁴⁺	PtCl ₆ ⁴⁻	—	CHCl ₃	710	30	—
	Sn ²⁺ + HCl	—	H ₂ O (3—6) H ₂ O (1—2)	262 495	11,5 11,9	do 14
	p -nitrosodimethyl-anilin	—	H ₂ O (<7) H ₂ O (2—5)	403 525	8,14 67	do 70
ReCl ⁻	α -furidioxim	—	H ₂ O (<7)	525	67	do 3,2
	SCN ⁻ + Sn ²⁺	—	H ₂ O (<7)	532	41,3	—
RhCl ₃ ⁻	NaClO	—	H ₂ O (5—7)	533	24	do 15
	2-merkapt-4,5-dimethylthiazol	—	H ₂ O (<7)	400	18	do 40
	Sn ²⁺ + HCl	—	H ₂ O (<7)	665	3,83	do 8
RuCl ₅ ²⁻	p -nitroso-dimethylanilin	—	H ₂ O (5—7)	390	16,5	do 8
RuCl ₅ ²⁻ —RuCl ₃ OH ⁻	KOH	—	H ₂ O (<7)	470	3,90	do 40
	thiomocrovin	—	H ₂ O (\sim 4)	610	36,3	do 2,5
S ²⁻	p -nitroso-dimethylanilin	—	H ₂ O (\gg 7)	380	1,42	do 120
	RuO ₄ ⁻	—	zř. EtOH (<7)	650	18,8	do 8
	rubeanovodík	—	zř. EtOH (<7)	620	6,05	do 18
S ²⁻	p -aminodimethyl-anilin	methyleneová modifik.	H ₂ O (<7)	34	—	—
S ²⁻	—	S	EtOH	670	—	—
	CuSO ₄ + Py	CuPy ₂ (SCN) ₂	CHCl ₃	264 300	0,767 0,377	0—40
SCN ⁻ —SO ₃ ²⁻	fuchsín + formaldehyd	—	H ₂ O (<7)	13	—	0,5—3 (SCN ⁻)
SO ₃ ²⁻ —Sb ³⁺	Ba-chloranilán*	k. chloranilová	zř. EtOH	560	13	do 400 (SO ₄ ²⁻)
	HCl	1 : 4 (?)	H ₂ O (<7)	530	15,8	—
	DDK	1 : 3	CCl ₄	228	18	—
	J-	1 : 4	H ₂ O (<7)	350	3,37	0,4—4,8
Sb ³⁺	HCl	—	H ₂ O (2—5)	330	32	0—4
	rhodamin B	—	H ₂ O (<7)	425	4,4	0—25

Ion	Činidlo	Složení (kov.: činidlo)	Prostředí (pH)	λ nm	$\epsilon \cdot 10^{-3}$	Ověřený rozsah, mg prvků/1
Se ³⁺	α -furidioxim	1 : 2	CHCl ₃	380	23,8	0,6—3
	J-	1 : 4	H ₂ O (4—5)	408	9,39	—
	p -nitrosodimethyl-anilin	1 : 2	CHCl ₃	275	26	—
	salicylaldoxim	1 : 2	CHCl ₃	376	6,6	—
Tl ^{IV}	dithizon	1 : 2	CHCl ₃	260	29,6	—
Pt ⁴⁺	PtCl ₆ ⁴⁻	—	CHCl ₃	710	30	—
	Sn ²⁺ + HCl	—	H ₂ O (3—6) H ₂ O (1—2)	262 495	11,5 11,9	do 14
	p -nitrosodimethyl-anilin	—	H ₂ O (<7) H ₂ O (2—5)	403 525	8,14 67	do 70
ReCl ⁻	α -furidioxim	—	H ₂ O (<7)	525	67	do 3,2
	SCN ⁻ + Sn ²⁺	—	H ₂ O (<7)	532	41,3	—
RhCl ₃ ⁻	NaClO	—	H ₂ O (5—7)	533	24	do 15
	2-merkapt-4,5-dimethylthiazol	—	H ₂ O (<7)	400	18	do 40
	Sn ²⁺ + HCl	—	H ₂ O (<7)	665	3,83	do 8
RuCl ₅ ²⁻	p -nitroso-dimethylanilin	—	H ₂ O (5—7)	390	16,5	do 8
RuCl ₅ ²⁻ —RuCl ₃ OH ⁻	KOH	—	H ₂ O (<7)	470	3,90	do 40
	thiomocrovin	—	H ₂ O (\sim 4)	610	36,3	do 2,5
S ²⁻	p -nitroso-dimethylanilin	—	H ₂ O (\gg 7)	380	1,42	do 120
	RuO ₄ ⁻	—	zř. EtOH (<7)	650	18,8	do 8
	rubeanovodík	—	zř. EtOH (<7)	620	6,05	do 18
S ²⁻	p -aminodimethyl-anilin	methyleneová modifik.	H ₂ O (<7)	34	—	—
S ²⁻	—	S	EtOH	670	—	—
	CuSO ₄ + Py	CuPy ₂ (SCN) ₂	CHCl ₃	264 300	0,767 0,377	0—40
SCN ⁻ —SO ₃ ²⁻	fuchsín + formaldehyd	—	H ₂ O (<7)	13	—	0,5—3 (SCN ⁻)
SO ₃ ²⁻ —Sb ³⁺	Ba-chloranilán*	k. chloranilová	zř. EtOH	560	13	do 400 (SO ₄ ²⁻)
	HCl	1 : 4 (?)	H ₂ O (<7)	530	15,8	—
	DDK	1 : 3	CCl ₄	228	18	—
	J-	1 : 4	H ₂ O (<7)	350	3,37	0,4—4,8
Sb ³⁺	HCl	—	H ₂ O (2—5)	330	32	0—4
	rhodamin B	—	H ₂ O (<7)	425	4,4	0—25

Ion	Činidlo	Složení (kov.: činidlo)	Prostředí (pH)	λ nm	$\epsilon \cdot 10^{-3}$	Ověřený rozsah, mg prvků/1
Se ³⁺	α -furidioxim	1 : 2	CHCl ₃	380	23,8	0,6—3
	J-	1 : 4	H ₂ O (4—5)	408	9,39	—
	p -nitrosodimethyl-anilin	1 : 2	CHCl ₃	275	26	—
	salicylaldoxim	1 : 2	CHCl ₃	376	6,6	—
Tl ^{IV}	dithizon	1 : 2	CHCl ₃	260	29,6	—
Pt ⁴⁺	PtCl ₆ ⁴⁻	—	CHCl ₃	710	30	—
	Sn ²⁺ + HCl	—	H ₂ O (3—6) H ₂ O (1—2)	262 495	11,5 11,9	do 14
	p -nitrosodimethyl-anilin	—	H ₂ O (<7) H ₂ O (2—5)	403 525	8,14 67	do 70
ReCl ⁻	α -furidioxim	—	H ₂ O (<7)	525	67	do 3,2
	SCN ⁻ + Sn ²⁺	—	H ₂ O (<7)	532	41,3	—
RhCl ₃ ⁻	NaClO	—	H ₂ O (5—7)	533	24	do 15
	2-merkapt-4,5-dimethylthiazol	—	H ₂ O (<7)	400	18	do 40
	Sn ²⁺ + HCl	—	H ₂ O (<7)	665	3,83	do 8
RuCl ₅ ²⁻	p -nitroso-dimethylanilin	—	H ₂ O (5—7)	390	16,5	do 8
RuCl ₅ ²⁻ —RuCl ₃ OH ⁻	KOH	—	H ₂ O (<7)	470	3,90	do 40
	thiomocrovin	—	H			

Tabulka 28

Extinkční koeficienty

Ion	Činidlo	Složení (kov : činidlo)	Prostředí (pH)	λ nm	$\epsilon \cdot 10^{-3}$	Ověřený rozseh, mg prvků/l
Tl ⁺	HCl dithizon	— 1 : 1	H ₂ O (\ll) CHCl ₃	245 255 505	4,6 21,2 33,2	do 40 — —
Tl ³⁺	DDK	1 : 3	CCl ₄	402 426	1,16 1,33	4—24 —
	oxin	1 : 3	CHCl ₃	328 338 401	4,20 4,62 6,79	— — do 8
UO ₂ ²⁺	H ₂ PO ₄ dibenzoylmethan	— 1 : 2	H ₂ O (<7) H ₂ O (6—8)	410	0,0137	4,5—22,5
	DDK	1 : 2	H ₂ O (\sim 7)	395	18	1—10
	—	—	CHCl ₃	380	3,3	do 210
	Fe(CN) ₆ ⁴⁻ H ₂ O ₂ + CO ₃ ²⁻	—	H ₂ O (<7)	525	3,7	30—180
	oxin	1 : 3	H ₂ O (>7)	335	1,78	30—3600
	SCN- thioglykolan	—	CHCl ₃	400	1,07	—
V ^v	k. benzhydrox- mová	—	zř. aceton	430	4,0	3—30
	BFH	—	H ₂ O (7—11)	375	4	4,5—165
	DDK	—	H ₂ O (7—11)	385	2,1	6—480
	H ₂ O ₂	—	1-hexanol	450	3,5	1,3—26
	peroxysluč.	—	zř. EtOH	480	2,7	0,18—6,5
	oxin	1 : 2	CHCl ₃	400	3,79	0,4—2
	SO ₂	VO ²⁺	H ₂ O (<7)	290	0,35	0—125
W ^{vii}	dithiol	—	Petrolether	460	0,27	do 5
	SCN ⁻ + Sn ⁴⁺	—	zř. aceton	550	3,33	500—3000
	k. vanadato- fosforečná	k. wolframat- vanadato- fosforečná	H ₂ O (\ll 7)	760	0,019	—
Zn ²⁺	dithizon	1 : 2	CCl ₄	280 533	31,2 92	do 0,7
	oxin	1 : 2	CHCl ₃	247 340	47,8 3,5	— —
	2-methyloxin	1 : 2	CHCl ₃	378	4,45	1,3—18,6
PAN	—	—	i-AmOH	269 322	62,1 2,6	— —
Zn ^{IV}	alizarin S	—	zř. EtOH	339 386	2,50 4,25	1,6—8,5 0—1
	acetylaceton	1 : 4	benzen	555	27	— —

Extinkční koeficienty

Ion	Činidlo	Složení (kov. činiado)	Prostředí (pH)	λ nm	$\epsilon \cdot 10^{-3}$	Ověřený rozsah, mg prvků/l
Zr ^{IV}	trifluoroacetyl- acetone	1 : 4	benzen	292	30,7	—
	thenoylfluor- acetone	1 : 4	benzen	321	59,9	—
	ivercetin	1 : 1	zr. EtOH	440	31,4	do 2

Zkratky použité v tabulce

AmOAc	n-BuOH
t-AmoOH	EtOAc
Bnnon	EtOH
BFH	Et_2O
BuOAc	i-ProH
Bu_2NH_2	$(\text{i-Pr})_2\text{O}$
$(\text{Bu})_3\text{NH}^+$	Py
1-AZO-NAFTOL	
$\text{O}-\text{Pheno}-\text{Naftolin}$	$1\text{-azo-2-hydroxy-3-(2,4-dimethylkarboxanilido)-}$ $\text{-naftalen-1'-(2-hydroxybenzen)}$
$\text{O}-\text{Naftokuproin}$	$4,7\text{-difeny-1,10-fenantrolin}$
DDK	$2,9\text{-dimetyl-4,7-difeny-1,10-fenantrolin}$
$\text{AsFen}_4\text{AsCl}$	$\text{diethyldithiocarbamidan sodný}$
Pfen_3PBr	$\text{tetrafenylarsonium chlorid}$
Terron	$\text{tetrafenylfosfonium bromid}$
2-CHLOROKUPROIN	
$\text{O}-\text{Naftočin.}$	$\text{kys. sulfamiková + } \alpha\text{-nafytalamín}$
$\text{O}-\text{Aptoxim}$	$\text{cykloheptandiondioxim}$
$\text{O}-\text{Kuproin}$	$2,2'\text{-dichinolyl}$
$\text{O}-\text{Naftazzarin}$	$5,8\text{-dihydroxy-1,4-naftochinon}$
$\text{O}-\text{Neokuproin}$	$2,9\text{-dimetyl-1,10-fenantrolin}$
$\text{O}-\text{Nitroso-R-sul}$	$1\text{-nitroso-2-nafitl-3,6-disulfonan sodný}$
PAN	$1\text{-(2-pyridylazo)-2-nafitol}$
PAR	$4\text{-(2-pyridylazo)-resorcín}$
Ivananol	$2\text{-ethoxy-6,9-diaminoakridinium chlorid}$
SPADNS	
Iiron	$\text{kyselina 2-(p-sulfofenyloxy)-chromotropová}$ $1,2\text{-dihydroxybenzen-3,5-disulfonan sodný}$

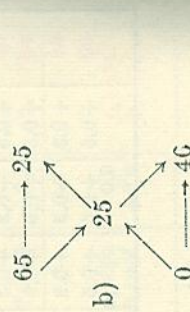
Směšovací pravidlo

Chceme-li připravit roztok určité koncentrace bud' smísením dvou roztoků různých koncentrací, nebo ředěním koncentrovanějšího roztoku rozpuštědlem, musíme zjistit poměr, v jakém máme obě složky smísit.

a) Máme připravit 70%ní roztok nějaké látky smísením jejího 92%ního a 30%ního roztoku.

b) Zředěním 65%ního roztoku vodou (0%ním roztokem) máme připravit roztok 25%ní.

Podle jednoduchého schématu



zjistíme, že je třeba smísit:

a) 40 dílů 92%ního roztoku s 22 díly 30%ního roztoku, aby vznikl roztok 70%ní;

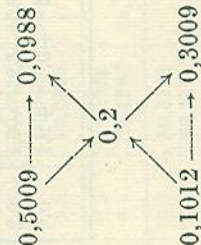
b) 25 dílů 65%ního roztoku se 40 díly vody, aby vznikl roztok 25%ní.

U *váhových procent* jde přitom o díly *váhové* (např. gramy), u *objemových procent* o díly *objemové* (např. ml).

Stejně postupujeme i v jiných případech, kdy není koncentrace vyjádřena v procentech, např.:

Kolik 0,1012N roztoku musíme přidat k 1000 ml 0,5009N roztoku téže substancie, abychom připravili roztok 0,2N?

Podle stejného schématu zjistíme, že



0,2N roztok vznikne smíšením 0,0988 dílu 0,5009N roztoku s 0,3009 dílu roztoku 0,1012N. Jednoduchou úměrou pak vypočteme, že k 1000 ml 0,5009N roztoku je třeba přidat

$$0,0988 : 0,3009 = 1000 : x$$

$$x = \frac{0,3009 \cdot 1000}{0,0988}$$

$$x = 3045,5,$$

tedy 3045,5 ml 0,1012N roztoku.

Tabulka 1

Periodická soustava prvků D. I. Mendělejeva

Tabulka 1 podává rozdělení prvků podle soustavy D. I. MENDĚLEJEVA. Kromě atomového čísla a atomové hmoty je u každého prvku naznačeno rozdělení elektronů do jednotlivých elektronových obalů, které postupují od jádra atomu v pořadí označovaném písmeny K, L, M, N atd.

Tabulka 2

Atomové hmoty prvků (r. 1965)

Do tabulky jsou zařazeny atomové hmoty prvků přijaté v roce 1967. Uvedené hodnoty se vztahují na prvky v té formě, v jaké se vyskytují v přírodě, anž je uměle měněno jejich izotopové složení. Přesnost, s jakou jsou atomové hmoty toho času známy, je číselně vyjádřena počtem desetinných míst; přitom platí zásada, že číslice předposledního desetinného místa se podle našich současných znalostí povražuje za správnou, kdežto hodnota posledního desetinného místa není zcela jistá a může kolisat v rozmezí několika jednotek. Proto také uvádime atomové hmoty např. kadmia Cd = 112,40 nebo irida Ir = 192,2 a nikoliv třeba Cd = 112,4 nebo Ir = 192,20, poněvadž pouze první hodnoty odpovídají našim skutečným znalostem. Číselné hodnoty uvedené v závorkách se vztahují k izotopům nejlépe prostudovaným nebo s nejděleším známým poločasem.

Tabulka 3

Atomové a iontové poloměry

Uvedené poloměry atomů a iontů (nehydratovaných) byly odvozeny pro mřížku typu NaCl a koordinační číslo 6. Při koordinacním čísle 4 je třeba závest opravu - 6 %, při 8 + 3 %.

Atomové a molekulové hmoty sloučenin a skupin

Tabulka 4

Podobně jako v tabulce 2 byly údaje i této tabulky vypočteny z atomových hmot uveřejněných r. 1967. Protože atomové hmoty prvků tvorících molekuly jsou známy s různou přesností (a jsou tedy výjádřeny čísly s různým počtem desetinných míst), nemílhosejme, jakým počtem desetinných míst se výjadří molekulová hmotá té či oné sloučeniny. Rozhoduje o tom ten prvek sloučeniny, jehož hmotá je nejméně přesná; tak např. molekulové hmoty Na_3PO_4 , $\text{Ca}(\text{ClO}_4)_2$ a $\text{Be}(\text{ClO}_4)_2$ se vypočítou takto:

$$\begin{array}{rcl} 3 \text{Na} = 68,9694 & \text{Ca} = 40,08 & \text{Be} = 9,0122 \\ \text{P} = 30,9738 & 2 \text{Cl} = 70,906 & 2 \text{Cl} = 70,906 \\ 4 \text{O} = 63,9976 & 8 \text{O} = 127,9952 & 8 \text{O} = 127,9952 \\ \hline 163,9408 & 238,9812 & 207,9134 \end{array}$$

Podle toho, co bylo řečeno, jsme jen u molekulové hmoty fosforečnanu oprávněni počítat s plným počtem desetinných míst, kdežto součty atomových hmot obou chloristanů je třeba zaokrouhlit, a to u soli výpenaté na dvě desetinná místa, u berylnaté na tři. Molekulové hmoty všechn tří soli budou tedy: Na_3PO_4 163,9408, $\text{Ca}(\text{ClO}_4)_2$ 238,98 a $\text{Be}(\text{ClO}_4)_2$ 207,913.

Dejme tomu, že máme nyní vypočítat molekulovou hmotu hydrátu $\text{Be}(\text{ClO}_4)_2 \cdot 4 \text{H}_2\text{O}$; hmotá $4 \text{H}_2\text{O} = 72,06136$. Zásadně nesmíme k výpočtu použít zaokrouhlené hodnoty pro bezvodou sůl, která je uvedena v tabulkách, a počítat $207,913 + 72,06136 = 279,974$ (po novém zaokrouhlení), nýbrž musíme využít z původního aritmatického součtu atomových hmot a počítat: $207,9134 + 72,06136 = 279,97476$. Teprvé tento součet zaokrouhlíme na praktickou hodnotu $\text{Be}(\text{ClO}_4)_2 \cdot 4 \text{H}_2\text{O}$ 279,975. Vždy platí zásada, že se zaokrouhluje jen jednou.

Zcela obdobně postupujeme při výpočtu násobků nebo zlomků molekulových hmot, např. 2MgO . Aritmetický součet $\text{Mg} + \text{O}$, tj. $24,305 + 15,9994 = 40,3044$, zdvojnásobíme a dostaneme 2krát $40,3044 = 80,6088$. Teprvé nyní zaokrouhlíme na praktickou

hmotu $2 \text{MgO} = 80,609$. Výpočet provedený zdvojnásobením zaokrouhlené tabulkové hodnoty molekulové hmoty MgO , tj. $2 \cdot 40,304 = 80,608$, je v zásadě nesprávný.

V tabulce jsou jednotlivé sloučeniny řazeny podle abecedního pořadí. U podvojných, resp. komplexních solí je na prvním místě vždy nejelektropozitivnější složka, např. $(\text{NH}_4)_2\text{Ce}(\text{NO}_3)_6$ nebo $\text{KNaC}_4\text{H}_4\text{O}_6 \cdot 4 \text{H}_2\text{O}$. U organických činidel jsou uváděny sumární vzorce. Pro rychlou orientaci jsou za složitějšími nebo méně běžnými vzorcí solí uvedeny zkratky názvu organického činidla.

Mezi chelatony (zvané též komplexony) patří:

chelaton 1 – kyselina nitrilotrioctová,
(trimethylamintrikarbonová),

chelaton 2 – kyselina ethylendiamintetraoctová,
chelaton 3 – dvojsodná sůl kyseliny ethylendiamintetraoctové,
chelaton 4 – kyselina 1,2-diaminociklohexantetraoctová.

Většina výpočtů se provádí logaritmicky, a proto jsou ke všem údajům tabulky uvedeny příslušné logaritmy.

Tabulka 5

Násobky atomových a molekulových hmot

Tato tabulka je hlavně zaměřena na rychlý výpočet molekulových hmot organických sloučenin.

Tabulka 6

Odměrná analýza. Nejběžnější miligramekvivalenty

Používání této tabulky nevyžaduje podrobnější výklad. Zlomky v závorkách před jednotlivými vzorcí udávají, kolikátou částí grammolekuly je jeden grammekvivalent látky.

Normality odměrných roztoků a jmena autorů uvedená v závorkách u miligramekvivalentů přicházejících v úvahu v organické analýze jsme převzali z knihy M. JUREČKA: *Organická analýsa*, II. díl, NCSAV, Praha 1957.

Tabulka 7

Hustota vody za různých teplot

Tenze vodních par za různých teplot

Hustotou (měrnou hmotností) nějaké kapaliny rozumíme její hmotu v objemové jednotce (ml). Jelikož podle nové mezinárodní definice litru (viz zde níže) se $1 \text{ ml} = 1 \text{ cm}^3$, je největší hustota vody (při 4°C) $\rho_{\text{max}} = 0,999\,973 \text{ g/ml}$ (mikoli již $1,000\,000 \text{ g/ml}$). V praxi se pochopitelně tento rozdíl uplatní jen při maximálních požadavcích na přesnost.

Tabulka 8

Kalibrace odměrných nádob

Jedním z hlavních činitelů majících vliv na správnost výsledků odměrných stanovení je přesnost kalibrace odměrného nádoba. Každý pracovník má proto překontrolovat skleněně odměrné nádoby, s nimiž pracuje, a zjistit, do jaké míry jsou deklarované objemové údaje správné. Analytickou jednotkou objemu je litr, který je podle Mezinárodní měrové soustavy SI (viz naší ČSN 01 1300) nově definován jako objem 1 dm^3 .

Skleněné odměrné baňky, pipety, byretty a pyknometry se obvykle kalibrují buď vážením množství vody, které obsahují (nádoby na doliti), nebo vážením množství vody, které lze jimi odměřit (nádoby na vylití). Děje se tak za různých laboratorních teplot a je tedy třeba brát v úvahu, že s teplotou se mění hustota vody i vzduchu a rovněž i objem skleněných nádob. Objem nádoby zjištovaný při teplotě něření je dán podlem *hmoty* obsažené vody a její hustoty při též teplotě. Působením vztahu vzduchu bude však hmota závaží vyvážujícího vázenou vodu na rovnoramenných vahách menší než hmota vázené vody. Při libovolné teplotě $t^\circ\text{C}$

plyne z ARCHIMEDOVA zákona pro hmotu váženého množství vody vztah

$$m = Z + \frac{m}{Q_{H_2O}} Q_v - \frac{Z}{Q_z} Q_v,$$

kde m je hmotota váženého množství vody,

Z — hmotota závaží využívajícího odvážovanou vodu a Q_v , Q_z a Q_{H_2O} — hustota vzduchu, závaží a vody (při teplotě t').¹⁾ Skutečný objem skleněných nádob zjistíme rychle a pohodlně v I. ČÁSTI TABULKY: Znásobením číslové hmoty závaží (Z^*), která využívá vodu teploty t' °C obsaženou v nádobě, příslušným faktorem dostaneme přímo skutečný objem nádoby při teplotě t °C:

$$V_t = Z^* f_t$$

Faktory byly vypočteny za předpokladu, že se váží mosazným závažím ($\rho_z = 8,4$) za barometrického tlaku 760 torru a na vzduchu s 50 % relativní vlhkosti; vzduch má stejnou teplotu jako voda. O korekcích, jež je nutno zavádět při jiném barometrickém tlaku a při rozdílných teplotách vody a vzduchu,²⁾ promluvime dále.

Příklad použití

Voda 22,5 °C teplá, naplnějící skleněnou baňku, byla využívána závažím nominální hodnoty 58,2911 g. Teplota vzduchu 22,5 °C, barometrický tlak 760 torru.

Objem baňky při teplotě 22,5 °C bude tedy

$$58,2911 \cdot 1,003404 = 58,490 \text{ ml}$$

Jestliže chceme vypočítat objem skleněné nádoby při jiné teplotě (t'), než při které by bylo zjištováno (V_t), musíme uvažovat roztažnost skla s teplotou. Střední kubický koeficient roztažnosti běžných skel, z nichž se vyrábí odměrné nádoby, je $25 \cdot 10^{-6}$. Prepočet je pak možno provést podle vzorce:

$$V_{t'} = V_t [1 + 0,25 \cdot 10^{-4}(t' - t)]$$

¹⁾ Podrobnější výklad viz HORÁK Z., KRUPKA F., ŠINDELÁŘ V.: *Technická fyzika*, str. 135, SNTL, Praha 1960.

²⁾ Běžně není nutno lítio korekce zavádět; zavádějí se pouze při náročných požadavcích na přesnost nebo při velkých differenciích tlaku a teploty. Ke změnám vlhkosti vzduchu není většinou vůbec nutno přihlásit.

Nádoba, u níž byl v předešlém příkladě zjištěn objem 58,490 ml při 22,5 °C, bude mít tedy např. při 15 °C objem

$$V_{15^\circ} = 58,490 \cdot (1 - 0,25 \cdot 10^{-4} \cdot 7,5)$$

$$V_{15^\circ} = 58,490 \cdot 0,99981 = 58,479 \text{ ml}$$

Pro měření, která využadují větší přesnost, jsou v tabulce uvedeny sedmimístné logaritmické faktory; jinak stačí logaritmy pětimístné. Pro výpočet jsou vždy směrodatné hodnoty logaritmů, z nichž byly vyhledány a zaokrouhleny hodnoty numerů.

II. ČÁST TABULKY je určena ke kalibraci odměrných baněk, pipet, byret aj., jejichž údaje objemu se vztahují na normální pracovní teplotu 20 °C. Hodnoty Z^* udávají hmotu závaží v gramech, využívající na rovnoramenných vahách za stejných předpokladů, jako v prvé části takové množství vody t' °C teplé, jež zajme ve skleněné baňce při 20 °C objem přesně 1000 ml. Jinými slovy, z této údajů v tabulce přímo najdeme množství vody (v gramech) libovolné teploty t' , které by ve skleněné nádobě zajímalо při 20 °C přesně žádaný objem; z差ference tohoto údaje a hodnoty skutečné zjištěné vážené objemu odměrné nádoby.

1000 ml vody může vážit nejvíce 999,973 g, tj. ve vakuu a při teplotě 4 °C (str. 227). Při t' je proto hmotota závaží Z^* menší o opravy na roztažnost vody s teplotou (a), na vztah k vzduchu s 50 % relativní vlhkosti (b) a na roztažnost skla s teplotou (c); tedy $Z^* = 999,973 - (a + b + c)$.

Jak již bylo řečeno, byly údaje tabulký vypočteny pro barometrický tlak 760 torru a za předpokladu, že teplota vážené vody i teplota vzduchu jsou stejné. Bude-li barometrický tlak větší než 760 torru, bude větší i vztah k vzduchu, a hmotota využívajícího závaží Z^* bude tedy menší; s klesajícím tlakem nastanou poměry opačné. Výpočtem lze zjistit, že v rozmezí teplot 10 až 35 °C se s každou změnou tlaku o 10 torru změní hmotota Z^* potřebná k využávání 1 litru vody průměrně o 14 mg, které se při vztahu tlaku odčítají, při poklesu tlaku naopak přičítají.

Bude-li teplota vzduchu větší než teplota vody, zmenší se vztah k vzduchu, takže hodnota využívajícího závaží bude větší, než udává tabulka. Vypočtená korekce 4 mg na každý °C rozdílu teplot vody

a vzduchu se k Z^* přičítá, je-li vzduch teplejší než voda, v opačném případě se odčítá.

Bude-li tedy při vážení barometrický tlak p , teplota vody t' a teplota vzduchu t_1' , bude výsledná korekce (oprava) Δ v gramech při vážení 1 litru vody:

$$\Delta = (760 - p) \cdot 0,0014 + (t_1' - t') \cdot 0,004$$

Stejně opravy platí i pro zjištování skutečného objemu skleněných nádob (I. část tabulky); opravy v tomto případě příčitáme nebo odečítáme od vypočteného objemu V . Opravu vyjádřenou v gramech můžeme připočítat k objemu v mililitrech, poněvadž při této malých číselních hodnotách nemá hustota vody vliv na objem.

Příklady:

1. Voda 18 °C teplá, obsažená v odměrné baňce na 500 ml naplněná po známku, váží 498,86 g; teplota vzduchu je 23 °C a barometrický tlak 744 torrů. Jaký je objem baňky při normální teplotě 20 °C?

Nejprve je třeba vypočítat korekci na teplotu vzduchu a tlaku:

$$\Delta = (760 - 744) \cdot 0,0014 + (23 - 18) \cdot 0,004 = 0,042 \text{ g}$$

K vymezení objemu 1 litru při 20 °C je za daných pracovních podmínek třeba využít vodu závažím 997,481 + 0,042 = 997,523 g. Pro baňku 500 ml to bude 498,762 g.

Vážením nalezeno: 498,86 g;

vypočteno: 498,76 g.

Z rozdílu výplývá, že kalibrovaná baňka je o 0,10 ml větší a má proto objem 500,10 ml.

2. Jaky je skutečný objem pipety na 25 ml při 20 °C, jestliže voda z ní vypuštěná váží 24,884 g? Teplota vody je 23 °C, teplota vzduchu 24 °C a tlak 730 torrů.

Podobně jako dříve bude korekce:

$$\Delta = 30 \cdot 0,0014 + 1 \cdot 0,004 = 0,046 \text{ g}$$

Objem přesně 1 litru při 20 °C tedy vymezí 996,568 + 0,046 = 996,614 g vody, tzn.

$$\frac{996,614}{25} = 24,915 \text{ g vymezí objem 25 ml.}$$

Pokusně nalezeno: 24,884 g.

Objem pipety je o 0,031 ml menší než 25 ml, tj. po zaokrouhlení 24,97 ml.

Bez zavedení korekce na teplotu vzduchu a tlaku by k využávání vody zaujmající objem 25 ml při 20 °C bylo třeba 24,914 g, což znamená difereční 0,001 g. Tím způsobená chyba 0,004 % je zanedbatelně malá.

Tabulka 9

Objemové korekce normálních roztoků v závislosti na teplotě

Podobně jako u vody zvětšuje se při stoupající teplotě i objem odměrných roztoků; ochlazováním se naopak zmenší. Proto se vzhledem teploty klesá koncentrace účinné látky, s poklesem teploty naopak vzrůstá. Tyto změny částečně kompenzuje rozažnost skla odměrných nádob.

Dejme tomu, že v odměrné baňce doplněné po známku budeme mít připraven roztok základní látky při teplotě t' , která je větší než normální teplota 20 °C. Kalibraci zajištěný objem baňky při 20 °C označme V_n . Je-li ϵ koeficient kubické rozažnosti skla, bude objem baňky při teplotě t'

$$V_t = V_n [1 + \epsilon(t - 20)]$$

Poklesem teploty roztoku z t' na 20 °C se jeho objem zmenší; označme-li koeficient rozažnosti použitého roztoku α^1 , bude

$$V_{20} = V_t [1 - \alpha(t - 20)]$$

Spojením obou rovnic dostaneme

$$V_{20} = V_n [1 + (\epsilon - \alpha)(t - 20)]$$

V_{20} značí objem, který by roztok zaujímal při normální teplotě; v našem případě bude menší než V_n , poněvadž α je vždy větší než ϵ . Vypočtená difference $V_n - V_{20}$ udává počet ml vody, o něž je třeba objem roztoku s teplotou t' zvětšit, aby se ochlazováním na 20 °C zmenší právě po známku.

Objemové změny 1 litru různých odměrných roztoků, spojené se změnou teploty z t' na 20 °C a vyjádřené v ml, obsahuje tabulka 9. Hodnoty byly vypočteny z výsledků měření a údajů, které uváejí rozažností skla $\epsilon = 0,25 \cdot 10^{-4}$.

¹⁾ Většína roztoků se roztahuje nerovnoměrně, a proto používáme k výpočtu pro určitý teplotní interval průměrné hodnoty α .

²⁾ SCHULZE A.: *Z. Anal. Chem.* **21**, 167 (1882); SCHLOESSER W.: *Chem. Ztg.* **29**, 510 (1905); SCHOORL N.: *Chem. Weekblad* **23**, 581 (1926). Viz též OLSEN J. C.: *Van Nostrand's Chemical Annual*, 1934, str. 71–73.

Připojený graf dovoluje rychle odečítat objemové korekce pro různá množství roztoků spotřebovaných při titraci.¹⁾ Lze ho použít pro všechny 0,2N roztoky HCl, H₂C₂O₄, KBrO₃ a KJO₃.

Tabulka 10

Důležité indikátory

(Kolorimetrické stanovení pH)

Tabulka nevyžaduje zvláštní výklad.

Tabulka 11

Tlumivé roztoky (pH)

Pro přepočítávání [H⁺] a pH platí, že pH = -log [H⁺]. Např.: [H⁺] = 2,5 · 10⁻⁶, tedy pH = 6 - log 2,5 = 6 - 0,40 = 5,60. Naopak je-li pH = 4,70, můžeme psát

$$\text{pH} = 5 - 0,3 = 5 - \log 2,0$$

a tedy

$$[\text{H}^+] = 2,0 \cdot 10^{-5}$$

K usnadnění těchto výpočtů je na str. 66 uvedena převodní tabulka.

Při exaktních výpočtech však nejsme oprávněni počítat s koncentracemi iontů, např. s [H⁺], nýbrž s jejich aktivitami, tj. a_{H^+} . U velmi zředěných roztoků však můžeme bez velké chyby zavádat koncentrace reagujících látek, poněvadž se prakticky shodují s aktivitami. Rovněž běžná praxe používá většinou koncentraci, a proto byl i v tabulce 11 zvolen tento jednodušší způsob. Pro úplnost uvádíme, že údaje pro standardy NBS pro kalibraci pH-metru (viz dále) jsou vyjádřeny vesměs aktivitami. (Dalsí informace ve Vysvětlivkách k aktivitním koeficientům, str. 237.)

Při výběru tlumivých roztoků jsme byli vedeni snahou obsáhnout co největší rozsah pH při rozmanitém složení roztoku, jež by se daly připravit z běžně dostupných chemikalií. Pro případy, kdy pracovník nemá k dispozici normální tlumivý roztoky kyseliny chlorovodičkové a hydroxidu sodného, potřebné k přípravě mnoha směsí, jsou v tabulce uvedeny tlumivé roztoky, k jejichž přípravě se používá pouze tuhých láttek. Rovněž je sem zařazen univerzální tlumivý roztok, použitelný pro spektrofotometrická měření v ultrafialové oblasti (od 230 nm výše v kyvetě 1 cm).

Uvedeného pH směsi lze dosáhnout jen s použitím nejčistších sloučenin, které využívají požadavkům příslušných autorů na čistotu. Při přípravě zásobních roztoků je rovněž třeba dodržovat uradená množství lučobin, i když někdy přesně neodpovídají jednoduchým zlomkům dnes platných molekulových hmot. U některých SÖRENSENNOVÝCH směsí, u nichž se pH značně mění s teplotou, jsou hodnoty pH pro 18 °C údaji SÖRENSENNOVÝMI, u ostatních teplot jde o výsledky měření WALBUMOVÝCH. Protože citrátové směsi se brzy kazí růstem mikroorganismů, doporučuje se konzervovat je krystalkem thymolu. (Viz přehládky standardních tlumivých roztoků na str. 236.)

Dnes se stále více uplatňuje nutnost provádět rozmanitá měření při různém pH, avšak při konstantní iontové sile I (v polarografii organických láttek, v biochemii, při studiu komplexních sloučenin). Proto je složení některých tlumivých roztoků doplněno údaji o možnosti indiferentního silného elektrolytu (KCl, NaClO₄), jež je třeba k připravenému roztoku přidat, aby bylo získáno všechny směsi konstantní I. Podle množství přidaného elektrolytu a podle složení tlumivého roztoku se ovšem může jeho pH více nebo méně znatelně odlišit od tabulkové hodnoty, a je proto třeba pH směsi vždy ještě změřit spolehlivým pH-metrem. Kromě tohoto způsobu přípravy tlumivých roztoků s konstantní iontovou silou je uveden i obecný postup (č. 23 - BATES), kdy se smísí tak upravené roztoky solí slabých kyselin (slabých zásad) a minerální kyseliny (hydroxidu sodného), že iontova síla směsi I zůstává konstantní; množství minerální kyseliny (hydroxidu alkalickeho) ovšem nesmí překročit molární poměr reagujících složek 1 : 1.

¹⁾ COUVÉE W. J.: *Chem. Weekblad* **23**, 550 (1926) a MELLON M. G.: *Ind. Eng. Chem., Anal. Ed.* **2**, 260 (1930).

Standardní tlumivé roztoky¹⁾

Uvedené roztoky doporučuje National Bureau of Standards jako vhodné základy pro kalibraci stupnice pH-metru (např. při měření skleněnou elektrodou). Byly vybrány tak, aby jejich pH bylo co nejméně ovlivňováno změnami koncentrace a náhodným znečištěním.

Rada osvědčených roztoků byla nověji doplněna další tlumivou směsí fosforečnanu (č. 5 v tabulce, tištěno kurzívou), mající umožnit nejpřesnější měření pH ve fyziologicky důležité oblasti pH 7–8. Její složení bylo zvoleno tak, aby pH roztoku při 25 °C bylo asi uprostřed určené oblasti a aby iontová síla roztoku byla 0,1; je to ovšem výrazně menší tlumivou kapacitou, jež je přibližně poloviční ve srovnání se starším fosfátovým standardem (č. 4) a odpovídá kapacitě roztoku kyselého ftalánu draselného.

Přijetí jednotné konvence vypočtu aktivitního koeficientu iontu Cl⁻ umožnilo určit pH standardních roztoků na tři desetinná místa, což odpovídá přesnosti měření nejmodernějších pH-metrů. Důsledkem toho ovšem je, že příprava roztoků a práce s nimi musí být pečlivější. Nelze již zanedbávat rozdíl pH roztoku připraveného objemovým způsobem (molární koncentrace) místo předepsaným způsobem váhovým (molální koncentrace), jak se to zatím dalo s ohledem na toleranci $\pm 0,01$ pH. Sližení jednotlivých roztoků v tabulce již tuto změnu respektuje a popsaný objemový způsob přípravy poskytnete roztok předpokládané *moldán* koncentrací.

pH standardních tlumivých roztoků bylo změněno za použití argentchlорidové elektrody, tj. způsobem, kdy se neuplatňuje tlumivý kapalinový potenciál. Při měření pH v praxi se však téměř vždy používá skleněná elektrody kombinovaná s referentní elektrodou s kapalinovou spojkou. Nereproduktovatelnost difúzního potenciálu nutně vzniklého na rozhraní obou kapalin je tak jednou z hlavních příčin většího či menšího rozptylu naměřených hodnot pH. Při ověřovacích pokusech provedených dále uvedeným způsobem zjistil BATES, že v rozmezí pH 2,5–11,5 je difuzní potenciál minimální a pohybuje se řádově v tisícincích pH, že však mimo toto rozmezí nabývá různých větších hodnot, jež mohou

výsledky měření zkreslit. Pro kalibraci elektrodotové soustavy s kapalinovou spojkou (např. skleněné + kalomelové elektrody) se proto doporučuje rozlišovat uvedené tlumivé roztoky na „primární“ a „sekundární“ standardy (v tabulce jsou odlišeny barevně). Pět roztoků (č. 2–6) s pH 3,5–9,2 tvoří *primární* standardy určené k ověření funkce, tj. ke kalibraci skleněně elektrody. Roztoků tetraoxalátu draselného a hydroxidu vápenatého jako *sekundárních* standardů je naopak lépe používat ke srovnávacím účelům a ke kontrole činnosti již zkalibrovaného zařízení.¹⁾ Je ovšem třeba zdůraznit, že přes odchylinky způsobené difúzním potenciálem jsou hodnoty pH obou těchto roztoků právě tak přesné jako ostatních pěti a že všech sedmi lze použít se stejnou spolehlivosťí, pokud nerozhoduje kolísání kapalinového difúzního potenciálu.

Skleněná elektroda se nejlépe kalibruje měřením EMS (závislost na pH je obvykle v široké oblasti lineární) a nikoli přímo pH (tj. změny povrchového potenciálu elektrody), jelikož v tomto druhém případě neodpovídá závislost vzdály teoretické směrnici NERNSTOVY rovnice. Ke kalibraci je třeba nejméně dvou roztoků *primárních* standardů (S_1 , a. S_2) a pH neznámého roztoku (X) se zjistit interpolací mezi hodnotami elektromotorické sily změřenými u obou standardů (E_1 a. E_2):

$$\frac{\text{pH}(X) - \text{pH}(S_1)}{\text{pH}(S_2) - \text{pH}(S_1)} = \frac{E_x - E_1}{E_2 - E_1}$$

Voda používaná pro přípravu standardních tlumivých roztoků má mít při 25 °C specifickou vodivost menší než $2 \cdot 10^{-6}$ mho/cm; větší vodivost naznačuje, že mohou být přítomny kyselé nebo zásadité nečistoty, které by mohly pH roztoku znatelně ovlivnit. V hodoná je voda deionizovaná katexem a anexem. Pro přípravu roztoků boraxu a fosforečnanu se má používat buď vody čistěné proudem vzduchu prostého kysličníku uhličitého, nebo čerstvě převarené, s pH 6,7–7,3. Po převarení je třeba chránit chladnoucí vodu před atmosférickým kysličníkem uhličitým. Pro přípravu

¹⁾ Pokusně bylo zjištěno, že měrným zařízením s kapalinovou spojkou, zkalibrovaným v uvedeném středním rozsahu pH, se jak u roztoku tetraoxalátu, tak i hydroxidu vápenatého naměří hodnota pH přibližně o 0,03 jednotky menší, než udává tabulka.

roztoků tetraoxalátu, vinanu, ftalanu a hydroxidu vápenatého stačí voda, která je v rovnováze se vzduchem a má pH 5,6–6,0. Roztoky se přechovávají nejlépe v lahvích z polyethylenu. Poněvadž v roztoku vinanu hrzy začnají růst plísňe, přičemž jeho pH vzrůstá o 0,01 až 0,1, je třeba – podle požadavků na přesnost měření – bud' roztok často obnovovat, nebo popřípadě konzervoват. Dobře se k tomu hodí thymol, jehož kryštalek (průměru asi 8 mm) chrání 200 ml roztoku vinanu po 2 i více měsíců, přičemž se pH nezmění o více než 0,01. Roztoky ftalanu a fosforečnanu (0,025 M) se doporučuje obnovovat vždy po jednom měsíci, zředěný roztok fosfátu pro měření ve fyziologické oblasti pH asi po 14 dnech. U hydroxidu vápenatého se osvědčilo přechovávat vodním suspensem v dobré uzavřeném polyethylenové láhvici; v případě potřeby čerstvého roztoku se směs roztiřením dosystí a po změření teploty se požadovaný podíl přefiltruje. Znečištění roztoku atmosférickým CO₂ ještě před filtracej nevadí.

Z požadavků kladených na používané připravátky je třeba si uvědomit, že u tetraoxalátu draselného je nejdůležitější, aby složení soli odpovídalo dihydrátu; v případě pochybnosti je nejednodušší překrystalizovat sůl z vody, ovšem tak, aby se krystaly začaly vylučovat z roztoku teprve při teplotě nižší než 50 °C. Teplota sušení nesmí překročit 60 °C.

Tlumivá kapacita roztoku kyselého ftalanu draselného a směsi fosforečnanu s pH 7,4 je nejmenší ze všech 7 standardních roztoků a je proto třeba chránit je co nejpečlivěji před náhodným znečištěním kyselinou nebo zásadou.

Bezvodý Na₂HPO₄ je hygroskopický a vlhne, je-li relativní vlhkost vzduchu při 25 °C větší než 41 %. Je proto důležité sušit sůl před navážením po 2 hodiny při 110 °C. — Při stejně teplotě se mohou sušit obě kyselé soli, vinan a ftalan. Dekahydrat tetraboritanu sodného (borax) při skladování zvolna větrá a podle těsnosti uzávěru může obsah vody po roce uskladnění klesnout z 10 molekul na 9–8,5 i méně. Vliv změny koncentrace roztoku na pH je u boraxu tak malý (viz údaj pH_{1/2} v tabulce), že se změna obsahu krystalové vody v tomto případě nijak rušivě neuplatňuje. Absorpci 0,2 % CO₂ se pH 0,01 M roztoku boraxu změní o 0,001. Doporučuje se proto chránit roztok, pokud ho nepoužívá, dobrým uzávěrem před vzdušným CO₂.

Hydroxid vápenatý se má připravovat z uhličitanu s minimálním obsahem alkálí. K tomu účelu se CaCO₃ 45 minut žihá při 1000 °C a po ochlazení se opatrně výhasí přebytek čisté vody. Suspenze se zavaří, aby vznikl hrubější zrnitý produkt, a po zchladi- nutí se přelije do zásobní polyethylenové láhvě. Jelikož se rozpustnost Ca(OH)₂ s teplotou značně mění (teplotní koeficient je zaporný) a tím se mění i pH nasyceného roztoku, je vždy třeba změřit (na celé stupně) teplotu, při níž byl roztok nasycen. V tabulce jsou údaje pro tři teploty, 20, 25 a 30 °C. Přefiltrovaný standardní roztok Ca(OH)₂ je použitelný, pokud se nezakali vyloučeným CaCO₃; pak je třeba nahradit jej čerstvým. Při nejmáročnejší práci se doporučuje překontrolovat čistotu každé nové šárze výchozího CaCO₃ tím, že se acidimetrickou titrací na fenolovou červeň stanoví koncentrace nasyceného roztoku Ca(OH)₂ připraveného popsaným způsobem. Je-li tak zjištěna koncentrace roztoku nasyceného při 25 °C větší než 0,0206 M, ukazuje to na přítomnost nepřijatelného množství rozpustných alkálí.

Tabulka 12

Aktivitní koeficienty

Termodynamické zákonitosti vztahující se na roztoky elektrolytů (např. zákon GULDBERGŮV–WÄGEGŮV) platí za použití koncentrací pouze při tzv. nekonečném zředění, tj. v systémech ideálně zředěných. Aby se těchto zákonitostí dalo použít i u systémů reálných (tj. při konečném zředění), zavedl G. N. LEWIS pojmenování termodynamické aktivity, již definuje skutečnou účinnost složek (iontů nebo molekul) přítomných v roztoku; při výpočtech pak koncentrace těchto složek nahrazuje hodnotami aktivity (a). Vzájemný vztah obou těchto veličin je určen aktivitním koeficientem γ definovaným jako

$$\gamma = \frac{a}{C}$$

kde C značí koncentraci vyjádřenou libovolným vhodným způsobem.

Koncentraci lze vyjádřit *molalitou* (m), tj. počtem molů látky rozpuštěné v 1000 g rozpouštědla, *molaritou* (M, c), tj. počtem molů v 1 litru roztoku, nebo *moláriem zlomkem* (x), tj. počtem molů rozpustěné látky děleným celkovým počtem molů rozpustěných látek a rozpouštědla. Ve fyzikální chemii je zvykem vyjadřovat koncentraci způsobem vzhledem, tj. prostřednictvím m nebo x , protože pak jde o veličinu *nezávislosti* proměnnou (nezávisí na teplotě a tlaku, jako je tomu při vyjádření objemovém, c). Proto se všechny literární údaje a hodnoty týkající se aktivit a aktivitních koeficientů vztahují na váhově vyjádřenou koncentraci, nejčastěji molalitu m . Rovněž v dalším textu, pokud nebude jinak uvedeno, se koncentrací rozumí vždy molalita.

Jak již bylo řečeno na začátku, liší se u reálných roztoků hodnota aktivity a rozpustěné součásti (iontu, molekuly) od její koncentrace m ; ve smyslu definice bude tedy aktivitní koeficient této součásti a/m vyjadřovat, do jaké míry se její skutečné chování liší od ideálního, neboť a představuje aktivní hmotu nebo „ideální“ koncentraci a m koncentrací skutečnou. Čím bude roztok zde dělenější, tím menší bude rozdíl mezi a a m a tím více se bude aktivitní koeficient blížit jedné. Této hodnoty dosáhne při nekonečném zředění roztoku, kdy se aktivita rovná koncentraci:

$$\lim_{m \rightarrow 0} a \rightarrow m$$

V Lewisově a RANDALLOVÉ¹⁾ koncepti aktivitních koeficientů jednotlivých iontů rozumí celková molalita se pod koncentrací jednotlivých kationtů a aniontů, nýbrž střední hodnotami samotných kationtů a aniontů, nýbrž střední hodnotami obou, vyplývajícimi z nemožnosti navzájem od sebe tyto ionty oddělit. Označme-li u uni-univalentního elektrolytu BA aktivitu kationtů a_+ a aniontů a_- , pak střední aktivita elektrolytu, eventuální neúplnou disociaci je v něm již zahrnuta.

Experimentálně zjištěné aktivity nejsou ovšem individuálními aktivitami samotných kationtů a aniontů, nýbrž středními hodnotami obou, vyplývajícimi z nemožnosti navzájem od sebe tyto ionty oddělit. Označme-li v uni-univalentní elektrolyt, aktivitu kationtů a_+ a aniontů a_- , pak střední aktivita elektrolytu

tj. obou iontů, a_\pm je geometrickým průměrem jednotlivých aktivit, tedy

$$a_\pm = \sqrt{a_+ \cdot a_-}$$

Aktivní koeficienty jednotlivých iontů lze pak definovat vztahy

$$\gamma_+ = \frac{a_+}{m_+} \quad a \quad \gamma_- = \frac{a_-}{m_-}, \quad (1)$$

přičemž m_+ a m_- značí molalitu příslušných iontů; střední aktivitní koeficient elektrolytu γ_\pm , který je rovněž geometrickým průměrem aktivitních koeficientů obou iontů, se tedy rovná

$$\gamma_\pm = \sqrt{\gamma_+ \cdot \gamma_-} = \sqrt{\frac{a_+}{m_+} \cdot \frac{a_-}{m_-}} = \frac{a_\pm}{m_\pm} \quad (1)$$

Přitom m_\pm označuje střední molalitu obou iontů¹⁾.

U obecného elektrolytu, který se při rozpouštění rozpadá na v iontů, totiž v_+ kationtů a v_- aniontů, rovná se podle toho střední aktivitní koeficient

$$\gamma_\pm = \frac{a_\pm}{m_\pm} = \sqrt{\frac{a_+^{v_+} \cdot a_-^{v_-}}{(v_+ \cdot m_+)^{v_+} \cdot (v_- \cdot m_-)^{v_-}}} = \sqrt{\gamma_+^{v_+} \cdot \gamma_-^{v_-}} \quad (2)$$

kde

$$\gamma = \gamma_+ + \gamma_-$$

Je-li třeba brát při výpočtech v úvahu disociaci elektrolytu nebo jiné rovnováhy, je výhodnější používat aktivitního koeficientu, který vychází ze *solutečné* (rovnovážné) koncentrace určitého iontu, jež se liší od *celkové* (analytické) koncentrace. Takový aktivitní koeficient (pravý) se někdy označuje f a vztahuje se na koncentraci molární, tj. objemovou, $c^2)$. Uplatňuje se nejčastěji při výpočtech reakčních rovnováh.

¹⁾ U roztoku jediného uni-univalentního elektrolytu se m_\pm rovná m, ve směsi elektrolytů, jež mají jeden ion společný, znací m_+ a m_- celkové molality kationtů a aniontů, např. v roztoku, který je 0,1 molární HCl a 0,5 molární CaCl₂, platí, že $m_{(cr)} = 1,1$, kdežto $m_{(+cr)} = 0,1$ a $m_{(-cr)} = 0,5$. Proto pro HCl $m_\pm = \sqrt{0,1 \cdot 1,1}$ a pro CaCl₂ $m_\pm = \sqrt{0,5 \cdot 1,1^2}$.

²⁾ Pro úplnost je třeba dodat, že se symbolem f pro aktivitní koeficient se v literatuře někdy setkáváme i ve vztahu ke koncentraci vyjádřené molárním zlomkem v ; byvá pak označován jako „racionální aktivitní koeficient“ f_x .

Rozdilným označováním γ a f se tak má zdůraznit odlišný způsob vyjádření koncentrace. V praxi však tento rozdíl nejčastěji nepřichází v úvahu, protože ve zředěných roztocích silných elektrolytů prakticky úplně disociovaných se veličiny f a γ téměř neliší (číselné hodnoty obou aktivitních koeficientů součástí rozdaného v daném roztoku bývají stejně nebo se liší nejvýše o 1 %, pokud její koncentrace nepřekročí 0,1M). Jelikož u zředěných roztoků je rovněž mezi molařní a molární koncentrací jen nepatrný rozdíl, používá se při běžných výpočtech rovnováh střední aktivitních koeficientů γ_{\pm} i ve spojení s koncentracemi molařními, tj. objemovými. Z téhoto důvodu by nemělo praktický význam odlišovat v dalším textu oba koeficienty různými symboly a přidržíme se jednotného značení γ .

Hodnoty koeficientů γ_{\pm} uvedené v tabulce 12 byly pokusně zjištěny a tykají se čistých roztoků elektrolytů. Při studiu mnoha roztoků však roztok často obsahuje též cizí indiferentní ionty, jejichž elektrické pole ovlivňuje aktivity a tím i velikost aktivitních koeficientů. Měřitkem intenzity elektrického pole vytvářeného ionty v roztoku je jeho *iontová síla* I , definovaná vztahem

$$I = \frac{1}{2} \sum_{i=1}^n c_i \cdot z_i^2 \quad (3)$$

tj. jako polovina součtu molární koncentrace c a čtverce náboje z každého z iontů (i) přítomných v roztoku¹⁾. V takových případech, kdy známe celkovou iontovou sílu roztoku, se osvědčuje určit aktivitní koeficienty výpočtem pomocí některé z teoretických rovnic DEBYEOVA – HÜCKELOVA zákona.

V praxi se nejlépe osvědčila rozšířená rovnice DEBYEOVA – HÜCKELOVA

$$-\log \gamma_i = \frac{Az_i^2 \sqrt{I}}{1 + Ba \sqrt{I}} \quad (4)$$

¹⁾ Např. v 0,2M roztoku BaCl_2 , je $c_{\text{Ba}^{2+}} = [\text{Ba}^{2+}] = 0,2$ a $c_{\text{Cl}^-} = [\text{Cl}^-] = 0,4$, tedy dosazením do rovnice (3) dostaneme

$$I = \frac{1}{2} [(0,2 \cdot 2^2) + (0,4 \cdot 1^2)] = \frac{1}{2} (0,8 + 0,4) = 0,6$$

a rovnice DAVIESOVÁ

$$-\log \gamma_i = Az_i^2 \left(\frac{\sqrt{I}}{1 + \sqrt{I}} - 0,2 \right) \quad (5)$$

kde γ_i značí aktivitní koeficient jednotlivého iontu i s nábojem z , A je měnitelný parametr odpovídající přibližně efektivní velikosti hydratovaného iontu i , a A a B konstanty závislé na teplotě a dlelektrické konstantě rozpouštědla; ve vodném roztoku při 25 °C $A = 0,509$ a $B = 0,33$.

Hodnoty parametru A z rovnice (4), které určil KIELLAND pro velký počet iontů, jsou uvedeny v tabulce spolu s vypočtenými aktivitními koeficienty jednotlivých iontů. Pro pohodlný výpočet γ_i podle rovnice DAVIESOVY (5) je pak určen spojnicový nomogram na str. 84.

Je třeba si uvědomit, že výpočty aktivitních koeficientů *individuálních* iontů jsou záležitostí čistě praktickou, kterou nelze zcela exaktně experimentálně ověřit. Rovněž jen přibližný je předpoklad, že aktivitní koeficient nějakého iontu je funkční pouze iontové sily a parametru souvisícího s jeho velikostí. Nicméně jsou z nich vypočtené *střední* aktivitní koeficienty většinou v dobré shodě (na 1–3 %) s hodnotami pokusně změřenými, ovšem za předpokladu, že celková iontová síla roztoku *nepřekročí* 0,1M. U roztoků s větší iontovou sílou se již znatelně počítají uplatňovat meziiontové sily zkrasující teoreticky výpočet do té míry (při $I = 0,5$ dosahuje odchylka 8–10 %), že je lépe používat pokusně zjištěných středních aktivitních koeficientů.

Rozšířená rovnice DEBYEOVA – HÜCKELOVA (4) se hodí spolu s KIELLANDOVÝMI parametry k výpočtu aktivitních koeficientů takových elektrolytů, v nichž alespoň jeden z iontů je jednomocný (tj. elektrolyti 1–1, 1–2, 2–1, popř. 1–3 a 3–1). Jsou-li však v roztoku *současně* přítomny opačně nabité vicemocné ionty (např. Zn^{2+} a SO_4^{2-}), jsou vypočtené hodnoty aktivitních koeficientů značně větší než změřené¹⁾. Tyto rozdíly způsobené tvorbou iontových páru se, jak se zdá, neplatí už, jsou-li náboje vícemocného

¹⁾ Tak např. pro 0,025M roztok ZnSO_4 ($I = 0,1$) je vypočtený $\gamma_{\text{Zn}^{2+}}$ = 0,405 a $\gamma_{\text{SO}_4^{2-}} = 0,355$, zatímco hodnota změřeného středního aktivitního koeficientu je přibližně 0,27.

iontu dostatečně od sebe vzdáleny, jako např. u aniontů polycarbonových kyselin.

Výpočty aktivitních koeficientů podle rovnice (5) se osvědčily u řady uni-univalentních a uni-divalentních elektrolytů, při čemž zvlášt dobrá shoda mezi výpočtem a skutečně nalezenou hodnotou γ_{\pm}^+ byla pozorována u roztoků obsahujících chloritan sodný. Proto někdy při výpočtech iontových rovnováh v roztocích, jejichž iontová síla byla udržována konstantní přídavkem NaClO_4^- , se dává DAVIESOVÉ rovnici přednost před (4). Jelikož minimum hodnoty γ vypočtené podle (5) odpovídá iontové sile asi 0,8M, lze u roztoků s $I = 0,5 - 1,5\text{M}$ použít jako velmi přiblžného odhadu velikosti aktivitního koeficientu hodnoty vypočtené pro $I = 0,5$. Pro možnost specifických interakcí mezi ionty jsou však takové odhady velmi nejisté.

Tabulka 13

Disociační konstanty kyselin a konstanty stability komplexů

$$pK_a + pK_b = pK_{H_2O} \quad (4a)$$

Pro převod pK na K lze použít tabulky 11 na str. 66.¹⁾

Tabelované hodnoty byly převzaty přednostně z prací, které uveřejnili R. G. BATES, J. BJERRUM, W. C. FERNELIUS, H. S. HARNED, I. M. KOLTHOFF, C. B. MONK, B. B. OWEN, F. J. BOSSOTTI, L. G. SILLÉN, G. SCHWARZENBACH a jejich žáci. Kde to bylo možné, byly uvedeny hodnoty termodynamické (tištěné červené), platné pro roztoky s iontovou silou $I \rightarrow 0$. V reálných rovnovážných soustavách, kde I je odlišné od nuly, nabývá však K_a více či méně odlišných hodnot podle toho, jak veliká je iontová síla roztoku. Jak si dále ukážeme, lze s určitým omezením jednoduše

$$\text{NH}_4^+ \rightleftharpoons \text{NH}_3 + \text{H}^+ \quad K_a = \frac{[\text{NH}_3][\text{H}^+]}{[\text{NH}_4^+]} \quad (3)$$

Spojením obou rovnic (2) a (3) pak dojdeme ke vztahu

$$K_b = \frac{[\text{H}^+][\text{OH}^-]}{K_a} = \frac{K_{H_2O}}{K_a} \quad (4)$$

$$K_a \cdot K_b = K_{H_2O},$$

kde K_{H_2O} je iontový součin vody. Rovnice (4), odvozená pro acidobazický pár $\text{NH}_4^+/\text{NH}_3$, platí obecně pro jakýkoliv takový pář, a poukazuje na zbytcenosť tabulovat zvlášt disociacní konstanty kyselin a disociacní konstanty zásad. Je mnohem jednodušší uvádět jen jeden typ těchto rovnovážných konstant, poněvadž druhý lze podle potřeby ze vztahu (4) velmi snadno vypočítat. Řada disociacních konstant kyselin sestavená v pořadí jejich vzrůstající síly udává současně poradí jím konjugovaných zásad podle klesající zásaditosti.

V tabulce 13 byly proto disociacní konstanty kyselin a zásad uvedeny jednotným způsobem jako konstanty kyselin, a to jen ve formě pK_a , tj. $-\log K_a$, která je přehlednější. Rovnice (4) přechází pro tento případ na tvar

$$pK_a + pK_b = pK_{H_2O} \quad (4a)$$

Pro převod pK na K lze použít tabulky 11 na str. 66.¹⁾

Tabelované hodnoty byly převzaty přednostně z prací, které uveřejnili R. G. BATES, J. BJERRUM, W. C. FERNELIUS, H. S. HARNED, I. M. KOLTHOFF, C. B. MONK, B. B. OWEN, F. J. BOSSOTTI, L. G. SILLÉN, G. SCHWARZENBACH a jejich žáci. Kde to bylo možné, byly uvedeny hodnoty termodynamické (tištěné červené), platné pro roztoky s iontovou silou $I \rightarrow 0$. V reálných rovnovážných soustavách, kde I je odlišné od nuly, nabývá však K_a více či méně odlišných hodnot podle toho, jak veliká je iontová síla roztoku. Jak si dále ukážeme, lze s určitým omezením jednoduše

$$pK_b = 13,896 - 9,245 = 4,651 \quad K_b = 2,23 \cdot 10^{-5}$$

¹⁾ *Příklad:* Potřebujeme znát disociacní konstantu amoniaku jako zásad. V tabulce vyzhledáme hodnotu pK_a , příslušně konjugované kyseliny NH_4^+ , tj. 9,245. Ze vztahu (4a) za použití pK_{H_2O} pro $25^\circ\text{C} = 13,896$ (viz tabulku) pak dostaneme

$$\text{CH}_3\text{COOH} \rightleftharpoons \text{CH}_3\text{COO}^- + \text{H}^+ \quad K_a = \frac{[\text{H}^+][\text{CH}_3\text{COO}^-]}{[\text{CH}_3\text{COOH}]} \quad (1)$$

$$\text{a} \quad \text{NH}_3 + \text{H}_2\text{O} \rightleftharpoons \text{NH}_4^+ + \text{OH}^- \quad K_b = \frac{[\text{NH}_4^+][\text{OH}^-]}{[\text{NH}_3]} \quad (2)$$

Ve smyslu Brönstedové teorie je NH_4^+ v rovnici (2) kyselinou, jež může odštěpat proton, a NH_3 konjugovanou zásadou, jež jej může naopak poutat. Lze proto tuto acidobazickou rovnováhu vyjádřit disociacní rovnicí typu (1), totiž

přeypočítat termodynamickou konstantu na hodnotu platnou pro reálný roztok se známou iontovou silou I .

Víme, že pro jakoukoliv rovnováhu v roztoku, např. disociaci dvojsynté kyseliny



platí, že

$$\frac{\alpha_{\text{H}^+} \cdot \alpha_{\text{HA}^-}}{\alpha_{\text{H}_2\text{A}}} = K$$

kde K je skutečná neboli termodynamická disociační konstanta. Výjádřením aktivity α jako součinu molární koncentrace příslušné složky a jejího aktivitního koeficientu γ přejde (5) na tvar

$$K = \frac{[\text{H}^+] \cdot [\text{HA}^-] \cdot \gamma_{\text{HA}^-}}{[\text{H}_2\text{A}] \cdot \gamma_{\text{H}_2\text{A}}} \quad (6)$$

a po úpravě

$$K = \frac{[\text{H}^+] \cdot [\text{HA}^-] \cdot \gamma_{\text{H}^+} \cdot \gamma_{\text{HA}^-}}{[\text{H}_2\text{A}] \cdot \gamma_{\text{H}_2\text{A}}} \quad (6a)$$

Koncentrační kvocient v rovnici (6) je známá „klasická“ koncentrační konstanta K_e charakterizující disociaci kyseliny H_2A a lze tedy (6) psát jako

$$K = K_e \frac{\gamma_{\text{H}^+} \cdot \gamma_{\text{HA}^-}}{\gamma_{\text{H}_2\text{A}}} \quad (6a)$$

určující mezi termodynamickou disociační konstantou K a disociační konstantou K_e vyjádřenou rovnovážnými koncentracemi. Člen úměrnosti zahrnující všechny aktivitní koeficienty je za dané teploty funkci pouze iontové sily roztoku a jeho hodnotu lze vypočítat za použití některé z dríve uvedených teoretických rovnic (viz str. 240).

U rozšířené rovnice DEBYEOVY-HÜCKELOVY

$$-\log \gamma_i = \frac{Az_i^2 \sqrt{I}}{1 + Ba \sqrt{I}}$$

lze mnohdy výpočet značně zjednodušit tím, že za KIELLANDŮV parametr a dosadíme hodnotu 3. Ve vodném roztoku při 25 °C

se pak součin $B \cdot a$ velmi přibližně rovná jedné a po dosazení za $A = 0,51$ přechází rovnice na tvar (navržený GÜNTELBERGEM):

$$-\log \gamma_i = 0,51 z_i^2 \frac{\sqrt{I}}{1 + \sqrt{I}} \quad (7)$$

Rovnici (6a) lze psát v logaritmické formě ($\text{p}K = -\log K$ apod.) a po úpravě jako

$$\text{p}K_e = \text{p}K + \log \gamma_{\text{H}^+} + \log \gamma_{\text{HA}^-} - \log \gamma_{\text{H}_2\text{A}}$$

Dosazením z rovnice (7)¹⁾ pak

$$\text{p}K_e = \text{p}K - 0,51 (z_{\text{H}^+}^2 + z_{\text{HA}^-}^2) \frac{\sqrt{I}}{1 + \sqrt{I}}, \quad (8)$$

a protože oba ionty jsou jednomocné, přibližně

$$\text{p}K_e = \text{p}K - \frac{\sqrt{I}}{1 + \sqrt{I}} \quad (8)$$

Vzorcem (8) lze tedy jednoduše přepočítávat tabelované hodnoty termodynamických konstant jednosyntých kyselin (u vícesyntých platí pro ionizaci do prvého stupně, tj. pro $\text{p}K_1$) na $\text{p}K_e$ platné pro roztoky o známé iontové síle I .

Pro druhou disociační konstantu kyseliny H_2A lze obdobně odvodit

$$\text{HA}^- \rightleftharpoons \text{H}^+ + \text{A}^{2-}$$

$$K_2 = K_{e2} \cdot \frac{\gamma_{\text{H}^+} \cdot \gamma_{\text{A}^{2-}}}{\gamma_{\text{HA}^-}}$$

$$\text{p}K_{e2} = \text{p}K_2 + \log \gamma_{\text{H}^+} + \log \gamma_{\text{A}^{2-}} - \log \gamma_{\text{HA}^-}$$

¹⁾ Při koncentracích menších než 0,1 M souhlasí aktivita elektroneutrálních součástek roztoku (molekul) asi na $\pm 1\%$ s jejich koncentrací, a proto lze při rovnovážných výpočtech používat obvyklé jejich aktivitní koeficienty za rovnou jedné. Ke stejnemu výsledku dojdeme i z rovnic (7) dosazením za $z = 0$; potom též $\log \gamma = 0$ (v našem případě $\log \gamma_{\text{mA}}$).

a po dosazení

$$pK_{c2} = pK_2 - 2 \frac{\sqrt{I}}{1 + \sqrt{I}} \quad (9)$$

Stejně dostaneme u trojsytné kyseliny při její ionizaci do třetího stupně

$$pK_{c3} = pK_3 - 3 \frac{\sqrt{I}}{1 + \sqrt{I}} \quad (10)$$

Pro usnadnění výpočtu podle vzorců (8), (9) a (10)¹) jsou v tabulce 13 uvedeny pro různé I hodnoty zlomku $\sqrt{I}/(1 + \sqrt{I})$ (str. 89). Na vzorce se vztahuje stejná omezení jako při výpočtech samotných aktivitních koeficientů, tj. poskytuji výsledky srovnatelné s hodnotami pokusné naměřenými jen při $I \leq 0,1$. Při větší iontové síle jsou výsledky zatíženy větší či menší chybou a jsou proto spíše orientační. Podobné vzorce pro přeypočítávání termodynamických rovnovážných konstant na konstanty koncentrační platné pro daný reálný roztok lze odvodit i pro jiné případy (např. u součinnu rozpuštosti, tab. 25).

Je ovšem třeba zdůraznit, že jednoduchý způsob výpočtu použitím funkce $\sqrt{I}/(1 + \sqrt{I})$ je umožněn tím, že za parametr a byla do rovnice DEBYEOVY – HÜCKELOVY dosazena jednotně hodnota 3. Největší odchyly může způsobit tato approximace právě při výpočtech acidobazických rovnováh, protože KINELLANDŮV parametr zjištěný pro H^+ je třikrát větší. Tím způsobený rozdíl v hodnotách pK_e se nejvíce projevuje u jednosytných kyselin, nemá však větší než 0,04 i při iontové síle 0,1 M. V případech, kdy by tato differenze nebyla zanedbatelná, je nutno vypočítávat $\log \gamma_i$ jednotlivě, každý zvlášť.

Jestě je třeba připomenout, že pK_e kyselin tvorěných jednomocnými kationy amoniiového typu nezávisí na iontové síle roztoku a číselně se rovnají termodynamickým pK .

¹⁾ Pro obecnou rovnávku $aA + bB \rightleftharpoons cC + dD$ lze odvodit obecný tvar rovnice

$$pK_e = pK - 0,51(c_a^2 + d_b^2 - a\gamma_a^2 - b\gamma_b^2) \cdot \frac{\sqrt{I}}{1 + \sqrt{I}}$$

Nejistota přeypočtu termodynamických konstant u roztoků s větší I způsobuje, že je v takových případech lépe pracovat s konstantami pokusně změřenými; ty byly proto rovněž zařazeny do tabulky (černý tisk), spolu s shodnotami změřenými za přítomnosti některých běžnější používaných organických rozpouštědel (ethanolu, dioxanu).

Tabulka disocioacích konstant je doplněna dostupnými údaji konstant stability komplexů kovových kationů s některými analyticky významnými ligandy. Uvedeny jsou jen ty ligandy, které mají širší uplatnění při stanovení nebo stínění kovových iontů. Přednostně byly vybrány údaje platné pro teplotu 25 °C; termodynamické hodnoty ($I \rightarrow 0$) jsou opět tištěny červeně, ostatní černé s jmenovitým údajem iontové síly.

Pro vysvětlení významu symbolu stačí uvést, že K značí délku konstantu charakterizující přístup každého jednotlivého ligandu při postupné tvorbě komplexu, β konstantu kumulativní (celkovou), tj. tvorbu určitého vyššího komplexu přímo ze složek. Označme-li libovolný kovový kation M a ligand L (bez uvádění možných násobků), pak pro rovnováhu

$$M + L \rightleftharpoons ML \quad \text{platí} \quad K_1 = \frac{[ML]}{[M] \cdot [L]}$$

a stejně tak pro

$$ML + L \rightleftharpoons ML_2 \quad K_2 = \frac{[ML_2]}{[ML] \cdot [L]}$$

a obecně

$$ML_{n-1} + L \rightleftharpoons ML_n \quad K_n = \frac{[ML_n]}{[ML_{n-1}] \cdot [L]}$$

Pro přímou tvorbu vyššího komplexu ze složek, v našem případě komplexu 1–2, platí

$$M + 2L \rightleftharpoons ML_2 \quad \text{a tedy} \quad \beta_2 = \frac{[ML_2]}{[M][L]^2} = K_1 K_2$$

Obecně

$$M + nL \rightleftharpoons ML_n \quad \beta_n = \frac{[ML_n]}{[M][L]^n} = \prod_{i=1}^n K_i$$

Konstant β bylo v tabulce užito jen v případech, kdy byly jediným známým údajem, anebo při přerušeném pořadí dílčích konstant.

Tabulka 14

Standardní a formální redukční potenciály

Podle mezinárodní dohody jsou všechny dílčí reakce oidačně redukčních páru psány směrem jejich *redukce* a znaménko *standardního potenciálu* E° souhlasí s elektrostatickým nábojem kovu ponořeného do roztoku jeho iontu.¹⁾ Pro obecnou reakci $\text{Ox} + \text{ne} \rightleftharpoons \text{Red}$ pak elektrodotový potenciál E vyjadřuje známá NERNSTOVÁ rovnice v PETERSOVÉ úpravě při 25 °C:

$$E = E^\circ + \frac{0,059}{n} \log \frac{a_{\text{Ox}}}{a_{\text{Red}}} \quad (1)$$

Chceme-li v praktickém případě počítat s koncentracemi oxidované a redukovane formy, zavedeme aktivitní koeficienty γ a rovnice (1) přechází na

$$E = E^\circ + \frac{0,059}{n} \log \frac{[\text{Ox}]}{[\text{Red}]} \cdot \frac{\gamma_{\text{Ox}}}{\gamma_{\text{Red}}} \quad (2)$$

a po úpravě na

$$E = E^\circ + \frac{0,059}{n} \log \frac{[\text{Ox}]}{[\text{Red}]} + \frac{0,059}{n} \log \frac{\gamma_{\text{Ox}}}{\gamma_{\text{Red}}} \quad (2)$$

Podle (2) bude potenciál i při nemenných koncentracích obou forem závislý na faktorech ovlivňujících hodnoty aktivitních koeficientů, tedy především na iontové síle roztoku. Poněvadž DEBYEUV-HÜCKELŮV vztah dovoluje vypočet γ jen ve zředěných roztocích,

¹⁾ Proto kovy, jež z kyselin vytěšňují vodík (jsou tedy silnějšími redukčními než H), ziskávají proti vodíkové elektrodě záporný náboj a jejich standardní redukční potenciál bude mít proto zápornou hodnotu.

je výhodnější spojit E° se členem závislým na I (popř. zahrnout do něho obdobně i další ovlivňující faktory, např. pH, tvorbu komplexů aj.), tj.

$$E^\circ + \frac{0,059}{n} \log \frac{\gamma_{\text{Ox}}}{\gamma_{\text{Red}}} = E^\circ$$

takže rovnice (2) přejde na tvar

$$E = E^\circ + \frac{0,059}{n} \log \frac{[\text{Ox}]}{[\text{Red}]} \quad (3)$$

Nova funkce E° , zvaná *formální redukční potenciál*, je velična pokusně zjištěná za určitých přesně definovaných podmínek, např. kyselosti a složení roztoku (I), a zahrnuje všechny faktory, které ovlivňují redukční potenciál dané soustavy kromě koncentrací složek oxidačně redukčního páru. Má tedy větší praktický význam než E° .

Tabulka 15

Vážková analýza a stochiometrie. Přepočítávací faktory

K rychlému stochiometrickému přepočítání určitého množství sloučeniny známého chemického složení na sloučeniny jiné používáme přepočítávací faktory. Přepočítávací faktor můžeme odvodit z příslušné úměry, např. při výpočtu množství Fe (hledaná složka) v a g Fe_2O_3 (stanovenou):

$$\text{Fe}_2\text{O}_3 : 2 \text{Fe} = a : x$$

Řešením dostáváme, že $x = \frac{2}{\text{Fe}_2\text{O}_3} \cdot a$.

Výčísleny molekulární zlomek $\frac{2}{\text{Fe}_2\text{O}_3}$, respektující stechiometrické zásady, je naším přepočítávacím faktorem.

Tabulka uvádí nejběžnější gravimetrické faktory spolu s faktory většinou vškeré výpočty prováděme logaritmicky, jsou u všech faktoriů uvedeny logaritmy (bez příslušné charakteristiky). Proto výpočet je směrodatná hodnota logaritmu, kdežto hodnoty jin

příslušejících numerů jsou mnohdy zaokrouhlené a jsou určeny jen pro kontrolní nebo orientační výpočty.

Při některých stechiometrických výpočtech najdeme v tabulce vhodný přepracovávací faktor, nýbrž jen jeho píevratnou hodnotu. Uvedme příklad: Chceme si připravit standardní roztok KCl , který by ve 1,00 ml obsahoval tolik KCl , kolik odpovídá 50 mg K_2O ; potřebujeme tedy znát faktor $\frac{2 \text{ KCl}}{\text{K}_2\text{O}}$. Tabulka však uvádí jen faktor opačný, tj. $\frac{\text{K}_2\text{O}}{2 \text{ KCl}} = 0,6318$ (log : 80 056). Logaritmus

jeho píevratné hodnoty, tj. $\log \frac{2 \text{ KCl}}{\text{K}_2\text{O}}$, vypočteme však snadno ze vzáhu $\log \frac{2 \text{ KCl}}{\text{K}_2\text{O}} = \log 1 - \log \frac{\text{K}_2\text{O}}{2 \text{ KCl}}$ a provedeme výpočet jednoduše pomocí mantisy:

$$\begin{array}{r} 00\ 000 \\ - 80\ 056 \\ \hline 19\ 944 \end{array}$$

(Cvikem snadno dokážeme odečítat tuto „doplíkovanou mantisu“ přímo z tabulek.) Množství KCl , které odpovídá 50 mg K_2O , vypočteme pak prostým sečtením mantis $69897 + 19944 = 89841$ a následujícím odlogaritmováním: 79,14. (Polohu desetinné čárky snadno určíme jednoduchou úvahou z poměru molekulových hmot K_2O a KCl , popřípadě přímo z hodnoty faktoru uvedeného v tabulce.) Je tedy třeba rozpustit 79,14 mg KCl a doplnit na 100 ml, aby roztok odpovídal 50 mg K_2O .

Obdobně si počináme při výpočtu výsledku analýzy. Dejme tomu, že jsme při analýze b g vzorku vyzářili a g Fe_2O_3 a ptáme se, kolik $\% Fe$ vzorek obsahoval. Výpočet provedeme podle vzorce

$$\% Fe = 100 \cdot \frac{a}{b} \cdot \frac{2 Fe}{Fe_2O_3}$$

a tedy po zlogaritmování

$$\log (\% Fe) = \log 100 + \log a + \log \frac{2 Fe}{Fe_2O_3} - \log b$$

Poněvadž při běžných analýzách nejsme nikdy na pochybách, pokud jde o rád výsledku, počítáme při logaritmickém řešení jen s mantisami, a můžeme tedy $\log 100 (= 2,0000)$ prostě vymechat. Výpočet se tím omezí na součet dvou logaritmů a rozdíl třetího. Abychom postup ještě více zkrátili, můžeme odčítání logaritmu nahradit přičtením jeho „doplíkované mantisy“, kterou podobně jako dříve dokázáme při trošce cviku velmi rychle vyčist přímo z tabulek. Vzorec výpočtu se tedy po těchto úpravách omezí na pouhý součet tří logaritmů (mantis):

$$\log (\% Fe) = \log a + \log \frac{2 Fe}{Fe_2O_3} + (\log 1 - \log b)$$

Při výpočtu faktorů jsme dodržovali zásadu uplatňovat stechiometrii použitím *násobků grammolekula* a nikoli jejich zlomků, protože při použití zlomků se mohou hodnoty vypočtených logaritmu faktorů od sebe poněkud lišit vzhledem k event. zaokrouhlování. Tak byl např. vypočten faktor k určení MgO z $Mg_2P_2O_7$, takto:

$$\log \frac{2 MgO}{Mg_2P_2O_7} = \log \frac{80,609}{222,553} = 90638 - 34744 = 55894$$

a nikoli:

$$\log \frac{MgO}{1/2 Mg_2P_2O_7} = \log \frac{40,304}{111,276} = 60535 - 04640 = 55895$$

O výpočtu molekulových hmot a dodržování příslušného počtu desetinných míst viz Vysvětlivky k tabulce 4.)

Stechiometrický poměr „hledané“ a „stanovené“ složky není vždy z faktoru hned patrný a je proto naznačen zlomkem u formy, z níž přepracováváme („stanovenou“): např. $As \dots (3/2) BaSO_4$ naznačuje, že jde o stechiometrii, kdy na 2 As připadají 3 $BaSO_4$; srážený siranový ion vznikl tedy oxidací sulfidické siry As_2S_3 a nikoli snad As_2S_5 .

Všechny uvedené přepracovávací faktory z K_2PtCl_6 nebo $(NH_4)_2PtCl_6$ jsou teoretické, nikoli empirické.

Tabulka 16

Nepřímá analýza

Cílem tohoto analytického postupu je zjistit složení směsi několika láttek (většinou dvou), neprůměrným „postupem, tj. bez chemického dělení a stanovení oddělených složek (třeba v podobě jiných sloučenin, než byly původně ve směsi přítomny). Při tomto postupu se např. ve dvousložkové směsi stanoví množství jednotlivých látek ze změny hmoty, k níž dojde převedením (popřípadě i na jedinou sloučeninu) ve směs jiných dvou sloučenin (popřípadě i na původních sloučeninách), které se jak vzájemně, tak od původních určují molekulovou hmotou. Je tedy možno sestavit dvě rovnice o dvou neznámých, týkající se úhrnného množství obou složek ve směsi, a řešením obou vypočítat obě neznámé. Obecně je vždy třeba sestavit tolik na sobě nezávislých rovnic látkové bilance, kolik složek máme ve směsi určovat; předpokladem je stechiometrická správnost všech rovnic.

Nejlépe si to objasníme na příkladě nejčastěji prováděné „nepřímé“ analýzy: Máme zjistit množství chloridu draselného a chloridu sodného v čisté směsi obou solí.

Řešení 1

Převedením ve směs síranů

Směs obou chloridů vážila G gramů a obsahovala x gramů NaCl a y gramů KCl. Po konverzi vázila směs obou síranů G_1 gramů. Můžeme tedy sestavit dvě rovnice:

$$x + y = G \quad (1)$$

$$x \frac{\text{Na}_2\text{SO}_4}{2\text{NaCl}} + y \frac{\text{K}_2\text{SO}_4}{2\text{KCl}} = G_1 \quad (2)$$

Rovnici (2) upravíme na

$$x \frac{\text{Na}_2\text{SO}_4}{\text{NaCl}} \cdot \frac{\text{KCl}}{\text{K}_2\text{SO}_4} + y = G_1 \frac{2\text{KCl}}{\text{K}_2\text{SO}_4}, \quad (4)$$

odečteme od ní rovnici (1) a dostaneme

$$x \left(\frac{\text{Na}_2\text{SO}_4}{\text{NaCl}} \cdot \frac{\text{KCl}}{\text{K}_2\text{SO}_4} - 1 \right) = G_1 \frac{2\text{KCl}}{\text{K}_2\text{SO}_4} - G \quad (3)$$

Po vypočtení příslušných přeponočitávacích faktorů v rovnici (3) bude:

$$0,039793 x = 0,855648 G_1 - G \\ x = \frac{0,855648}{0,039793} G_1 - \frac{1}{0,039793} G$$

$$x = 21,502 G_1 - 25,130 G \quad (4)$$

Množství KCl pak vypočteme z rovnice (1)

$$y = G - x$$

Řešení 2

Převedením obou chloridů na chlorid stříbrný Opět sestavíme dvě rovnice o dvou neznámých a řešíme obdobným způsobem:

$$x + y = G \quad (1)$$

$$x \frac{\text{AgCl}}{\text{NaCl}} + y \frac{\text{AgCl}}{\text{KCl}} = G_1 \quad (2)$$

Převedením ve směs síranů

$$x \left(\frac{\text{KCl}}{\text{NaCl}} - 1 \right) = G_1 \frac{\text{KCl}}{\text{AgCl}} - G \\ x \frac{\text{KCl}}{\text{NaCl}} + y = G_1 \frac{\text{KCl}}{\text{AgCl}}$$

$$0,275687 x = 0,520196 G_1 - G \\ x = 1,8869 G_1 - 3,6273 G \quad (4)$$

Obě rovnice (4) lze zobecnit na tvar

$$x = a \cdot G_1 + b \cdot G$$

pro výpočet množství jedné složky (x) ve dvousložkové směsi. Přitom koeficienty a a b jsou střídavě kladné a záporné.

V tabulce jsou uvedeny hodnoty koeficientů a a b (spolu s příslušnými logaritmami), přicházející v praxi v úvahu u některých případů nepřímé analýzy.

Hodnoty numerů a jejich logaritmů si vždy zcela přesně neodpovídají vzhledem k event. zaokrouhlení numerů; pro výpočet jsou vždy směrodatné hodnoty logaritmů.

Ze složení směsi, vypočteného uvedeným způsobem, lze pak pohodlně vypočítat procenta hledané složky za použití předcházející tabulky 15 (analytické výsledky se většinou vyjadřují v jiné formě, než v jaké byly složky ve vážené směsi přítomny — v našem případě např. v % K nebo % K_2O , resp. % Na nebo % Na_2O).

Výsledky získané nepřímou analýzou nebývají vždy zcela přesné. Přesnost metod je tím menší, čím menší je relativní stechiometrická změna molekulových hmot, způsobená chemickou změnou při konverzi. Ukažatelem toho je vellikost koeficientů a a b . Všimněme si předešlého příkladu: chybá 0,1 mg ve výrážce směsi chloridů (G) známěna chybou témař 0,4 mg ve vypočteném množství NaCl při převádění na AgCl ve srovnaní s chybou 2,5 mg při převádění na sirony.

Metoda se hodí nejlépe pro analýzy směsi, jejichž složky jsou přibližně v poměru 1 : 1, nehodí se však např. ke kontrole čistoty solí, kdy nečistota je přítomna v minimálním množství. Před použitím metody je vždy zapotřebí srovnat výhody technického provedení s požadavky na přesnost výsledku.

Metoda se hodí nejlépe pro analýzy směsi, jejichž složky jsou přibližně v poměru 1 : 1, nehodí se však např. ke kontrole čistoty solí, kdy nečistota je přítomna v minimálním množství. Před použitím metody je vždy zapotřebí srovnat výhody technického provedení s požadavky na přesnost výsledku.

Tabulka 17

Redukce objemu dusíku na normální podmínky

V tabulce jsou uvedeny mantisy logaritmů hustot suchého dusíku v rozmezí teplot 10–35 °C a tlaku 680–789 torrů. Základem je hustota suchého dusíku za normálních podmínek (0 °C, 760 torrů) 0,0012505 g · ml⁻¹.

Procentový obsah dusíku ve vzorku vypočítáme podle vzorce

$$\% N = \frac{V \cdot q}{a} \cdot 100,$$

kde V je objem suchého plynu v ml při teplotě t° a tlaku p ,
 q — hustota plynu v g · ml⁻¹ při téže teplotě a tlaku,
 a — navážka vzorku v g.

Výpočet provedeme logaritmicky způsobem uvedeným v tabulce 15 (str. 251), tj. pouhým sečtením tří mantis logaritmů bez zavaďení charakteristik:

$$\log (\% N) = \log V + \log q + (\log 1 - \log a)$$

Neměřme-li objem suchého plynu, nýbrž plynu vlhkého (jímaného nad vodou), musíme od celkového tlaku plynu (rovná se tlaku barometrickému) odečíst parciální tlak (tenzi) vodní páry, uvedenou v tabulce ve sloupci p_{H_2O} pro teploty 10–35 °C. Při výpočtu pak výhledáme z tabulkové hodnoty $\log q$ platnou pro t° a $(p - p_{H_2O})$. Údaje tlakoměru s mosaznou nebo skleněnou stupnicí korigujeme podle tabulky 19.

Při stanovení dusíku v organických látkách metodou Dumasovou, kdy zachycujeme plyn nad 50%ním roztokem KOH, vyhledáme v tabulce 17 logaritmus hustoty dusíku pro teplotu t° a korigovaný tlak $p - \frac{t}{3}$. Hodnota $\frac{t}{3}$ vydáruje velmi přiblžně součet korekci na tenzi vodní páry nad 50%ním KOH a na odečtený údaj *korové stupnice tlakoměru* (viz JUREČEK M.: *Organická analýsa*. II. díl, NČSAV, Praha 1957).

Tabulky 17 lze rovněž použít jednak k výpočtu váhového množství, popřipadě procentového obsahu i jiných plynů než dusíku (viz tabulkou 18), jednak k *přepočítávání* objemu plynu *na normální podmínky*. Bude-li V objem libovolného plynu v ml při teplotě t° a tlaku p , $\log \frac{q}{q_0}$ údaj tabulky 17 pro tutéž teplotu a tlak, pak objem plynu při 0 °C a 760 torrech bude

$$\log V_0 = \log V + \log q - 09708,$$

kde 09708 je mantisa logaritmu váhy 1 ml dusíku, tj. 0,0012505 g, kterou je nutno odečíst, ježto hodnoty tabulky se vztahují k hustotám dusíku.

Zavádění teplotní korekce podle druhu stupnice tlakoměru a odečítání tenže vodní páry při vlnkém plynu se provede stejně, jak již bylo řečeno.

Občas požadovanou interpolaci v tabulce 17 usnadní interpolační příloha s násobky tabulkových diferenci (teplotních i tlakových), která je přiložena k zadní desce knihy.

Tabulka 18

Objemové stanovení a rozpusťnost některých plynů Bunsenovy absorpcní koeficienty (ve vodě)

Tabulka 18 umožňuje použít předcházející tabulky k výpočtu tlhy změřeného objemu i jiných plynů než dusíku. Kromě hustoty za normálních podmínek je pro každý plyn uveden podle jeho hustoty a hustoty dusíku (faktor F), jehož logaritmus se přičítá k hodnotám tabulky 17. V ml plynu změřených při t °C a tlaku p bude tedy vážit (výpočet proveden logaritmicky)

$$\log G = \log V + \log \varrho + \log F,$$

kde $\log \varrho$ je údaj z tabulky 17, vyhledaný pro příslušnou teplotu a barometrický tlak (korigovaný podle stupnice tlakoměru, popř. zmenšený o tenži vodní páry u plynu jímaného nad vodou).

Jedním ze způsobů, jak výjádřit rozpusťnost plynu v rozpouštědle, s nímž chemicky nereaguje, je prostřednictvím BUNSENHOVA absorpcního koeficientu α . Definuje se tak objem plynu (za normálních podmínek) V_0 , který se při určité teplotě rozpustí v jednotkovém objemu rozpouštědla, je-li parciální tlak plynu nad roztokem 760 torrů. Označme-li tedy objem rozpouštědla V_r , bude

$$\alpha = \frac{V_0}{V_r}$$

Předpokládáme-li u plynu i u vzniklých velmi zředěných roztoků ideální chování, lze odvodit vztah mezi α a konstantou h HENRYHO Zákona

$$h = \frac{\varrho \cdot 22,4}{\alpha},$$

kde ϱ značí hustotu rozpouštědla.

Tabulka 19

Teplotní korekce údajů rtuťového tlakoměru

Údaje rtuťového tlakoměru jsou závislé na teplotě vzhledem k roztažnosti rtuti a mosačné nebo skleněné stupnice tlakoměru. Aby se zahránilo diferenčním vzniklým odčítáním stejněho atmosférického tlaku při různých teplotách, redukuje se údaj tlakoměru na teplotu 0 °C zavedením příslušných Korekce. Tyto korekce, zahrnující roztažnost rtuti a stupnice a vyjádřené v torrech, jsou uvedeny v tabulce 19 a odčítají se od barometrického tlaku.

Tabulka 20

Korekce pro měření rtuťovým teploměrem

Dělení teploměrné stupnice vychází z teoretického předpokladu, že veskerá rtuť v teploměru má stejnou teplotu. Při praktickém měření však rtuťový sloupec v kapiláře teploměru výčnívá vždy o n stupni z prostředí, v němž měříme teplotu, a má tedy nutně teplotu nižší; údaj teploměru bude proto menší, než by měl být. Ukazuje-li teploměr t_1 °C, bude skutečná (korigovaná) teplota prostředí

$$t_{\text{korr}} = t_1 + k$$

Korekce k se vypočte ze vzorce

$$k = n \cdot (t_1 - t_2) \cdot \alpha,$$

kde t_2 je střední teplota rtutového sloupu o stupňu z vyhřívaného prostředí a α je koeficient roztažnosti rtuti ve skle, tj. differenční mezi skutečnou roztažností rtuti a skla. Hodnota koeficientu α se mění podle druhu použitého skla a podle konstrukce teploměru.

Korekce v tabulce 20 byly vypočteny s použitím koeficientu 0,000158, platným pro běžný teplomer se vtavenou stupnicí z mlněného skla a pro jenské teploměrné sklo.

Tabulka 21

Vztahy mezi °R, °C a °F. Přepočítávání °F na °C

Tabulka nepotřebuje bližšího výkladu.

Tabulka 22

Hustoty roztoků kyselin, zásad a solí Hustoty vodných roztoků methyl- a ethylalkoholu

Zařazeny jsou hustoty vodných roztoků nejblžnějších kyselin, zásad a solí, doplněné dvěma tabulkami hustot roztoku methanolu a ethanolu.

V tabulkách uvedené stupně Baumé se vztahují na teplotu 20 °C a byly vypočteny podle vzorců pro kapaliny *hustší* než voda:

$${}^{\circ}\text{Bé} = 145 - \frac{145}{Q}$$

¹⁾ Zjistí se pomocným teploměrem, jehož kulička se dotýká měrného teploměru v polovině vyčinujícího rtutového sloupu.

pro kapaliny *řidší* než voda (roztok amoniaku):

$${}^{\circ}\text{Bé} = \frac{140}{Q} - 130$$

Tabulka 23

Převod stupně Baumé

Ve starší literatuře se často uvádějí hustoty v tak zvaných „racionálních“ stupních Baumé, vzařených na 15 °C. Převedení takto vyjádřené hustoty na hustotu v g · ml⁻¹ provedeme podle této tabulky, kde hodnoty x platí pro těžké kapaliny a hodnoty y pro kapaliny lehké.

Tabulka 24

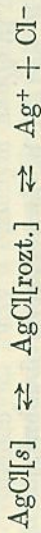
Rozpustnost sloučenin ve vodě za různých teplot

Tabulka nepotřebuje bližšího výkladu.

Tabulka 25

Součiny rozpustnosti anorganických láttek

Součin rozpustnosti je konstanta charakterizující rovnováhu mezi málo rozpustným tuhým elektrolytem (sedlinou soli), např. AgCl, a jeho nasyceným roztokem,¹⁾ nejčastěji vodným:



¹⁾ Na rozdíl od rozpustnosti vyjádřené v g/látky/litr dovoluje tento způsob kvantitativně sledovat koncentrační poměry v roztoku obsahujícím současné např. bud cizí komplextovné látky, nebo přebytek některého z iontů soli tvorící sedlinu.

Jelikož lze aktivitu čisté tuhé fáze AgCl považovat za konstantní a rozpuštěný podíl soli (tj. silného elektrolytu) za praktický úplně ionizovaný, je možno vyjádřit rovnovážnou konstantu reakce formou

$$K_{s,\text{AgCl}} = a_{\text{Ag}^+} \cdot a_{\text{Cl}^-} = [\text{Ag}^+] \cdot [\text{Cl}^-] \cdot \gamma_{\text{Ag}^+} \cdot \gamma_{\text{Cl}^-} \quad (1)$$

kde $K_{s,\text{AgCl}}$ značí termodynamický součin rozpustnosti chloridu stříbrného.

Podobně jako u disociačních konstant kyselin vidíme, že termodynamická veličina je určena součinem dvou členů, koncentračního a členu obsahujícího aktivitní koeficienty. Lze tedy rovnici (1) psát též

$$K_{s,\text{AgCl}} = (K_s)_c \cdot \gamma_{\text{Ag}^+} \cdot \gamma_{\text{Cl}^-}, \quad (2)$$

přičemž $(K_s)_c$ je součin rozpustnosti soli vyjádřený koncentracemi, který platí jen pro určité přesně definované pokusné podmínky a bude se měnit neprímo úměrně s hodnotou součinu aktivitních koeficientů. Z teorie DEBYEOVY–HÜCKELOVY (viz str. 244) lze odvodit, že vztřst iontové sily roztoku vyzvolaný přídavkem elektrolytu, který chemicky nereaguje s malo rozpustnou solí, způsobí pokles aktivity a tedy vztřst hodnoty $(K_s)_c$ a tím i větší rozpustnost soli. Podle závislosti aktivitních koeficientů iontů na jejich náboji teorie též předvídá, že indiferentní elektrolyt (např. KNO_3 , NaClO_4) bude více ovlivňovat rozpustnost solí tvorených vícemocnými ionty než solí iontů jednomocných.

Protože doredelem vypočítat s dostatečnou přesností hodnoty aktivitních koeficientů použitím některé z dříve uvedených rovnic vícemocnými ionty než solí iontů jednomocných.

Protože doredelem vypočítat s dostatečnou přesností hodnoty aktivitních koeficientů použitím některé z dříve uvedených rovnic (str. 244), máme tak možnost přepočítávat tabellované termodynamické hodnoty K_s na hodnoty $(K_s)_c$. Platné pro reálné roztoky se známou iontovou silou I . Praktická hodnota takového teoretického převočtu je ovšem vázána spolehlivostí výpočtu aktivitních koeficientů, jež, jak víme, je dostatečně velká (na 1–3 %) jen při iontové sile nepřevyšující 0,1 M; při $I = 0,5$ dosahuje odchyly přibližně 8–10 %.

Přepočet K_s na $(K_s)_c$ lze provést zcela obdobně, jak bylo ukázáno u disociačních konstant kyselin na str. 245. Podle toho lze rovnici (2) zlogaritmovat a upravit na tvar

$$\text{p}(K_s)_c = \text{p}K_{s,\text{AgCl}} + \log \gamma_{\text{Ag}^+} + \log \gamma_{\text{Cl}^-} \quad (3)$$

Použijeme-li k výpočtu $\log \gamma_i$ GÜNTELBERGOVY úpravy rozšířené rovnice DEBYEOVY – HÜCKELOVY (předpokládá KIELLANDŮV parametr $a = 3$) a dosadíme-li do (3), dostaneme

$$\text{p}(K_s)_c = \text{p}K_{s,\text{AgCl}} - 0,51 (z_{\text{Ag}^+}^2 + z_{\text{Cl}^-}^2) \frac{\sqrt{I}}{1 + \sqrt{I}} \quad (4)$$

a po úpravě přiblížně

$$\text{p}(K_s)_c = \text{p}K_{s,\text{AgCl}} - \frac{\sqrt{I}}{1 + \sqrt{I}}, \quad (5)$$

což je stejný vztah, jaký platí pro přepočty termodynamických disociačních konstant jednosyntých kyselin.
Obecně lze pro malo rozpustný elektrolyt $M_x A_y$, dissociující podle schématu



odvodit stejným způsobem vztah

$$\text{p}(K_s)_c = \text{p}K_s - 0,51(xy^2 + yx^2) \frac{\sqrt{I}}{1 + \sqrt{I}}, \quad (5)$$

kde velikost člena 0,51 $(xy^2 + yx^2) \dot{=} 0,5(xy^2 + yx^2) = N$ bude záviset na typu elektrolytu. V tabulce 13 jsou pro usnadnění přepočtu uvedeny hodnoty N pro různé elektrolyty spolu s hodnotami zlomku $\sqrt{I}/(1 + \sqrt{I})$. Je ovšem nutno připomenout, že tento jednoduchý postup platí striktně jen pro ionty s parametry velikosti $a = 3$. U iontů s odlišnou velikostí se dopouštíme jisté chyby, jež je však většinou menší než nejistota výpočtu $\log \gamma_i$, a proto ji při běžných výpočtech není třeba brát v úvahu. V opačném případě by bylo třeba vypočítat individuální γ_i každý zvlášť za použití příslušné hodnoty a . U roztoků malo rozpustných solí typu 2-2, tj. tvořených dvojmocnými ionty s opačným nábojem např. CaSO_4 , není rovněž třeba brát v úvahu omezení tvaru iontových páru (viz str. 241).

V tabulce 25 jsou ve formě $\text{p}K_s = -\log K_s$ červeným tiskem odlišeny termodynamické hodnoty součinu rozpustnosti ($I \rightarrow 0$)

od konstant koncentračních. Kde bylo třeba, je v poznámce uvedena odlišná teplota, popř. iontová síla. Převody pK_s na K_s lze usnadnit použitím tabulky 11, str. 66.

Tabulka 26

Převod vlnové délky λ (μm) na vlnočet $\tilde{\nu}$ (cm^{-1})

Při využití absorpčních spekter především v infračervené oblasti je velmi často třeba převadět vlnočty $\tilde{\nu}$, vyjádřené v cm^{-1} (mající přímý vztah k energii záření), na vlnové délky záření λ v μm a naopak. Pro tento převod platí jednoduchý vztah

$$\tilde{\nu} = \frac{10^4}{\lambda}$$

Inverzní vztah mezi λ a $\tilde{\nu}$ umožňuje ještě další použití tabulky při vyhledávání *inverzních hodnot* tříforných čísel.

Tabulka 27

Iontový součin vody

Iontový součin vody je vyjádřen součinem koncentrací vodíkového a hydroxylového iontu

$$[\text{H}^+] \cdot [\text{OH}^-] = K_{\text{H}_2\text{O}}$$

a je pro danou teplotu veličinou konstantní.

Do tabulky jsou zařazeny hodnoty $K_{\text{H}_2\text{O}}$ a $pK_{\text{H}_2\text{O}}$ ($= -\log K_{\text{H}_2\text{O}}$) pro teploty 0–100 °C spolu s hodnotami $\sqrt{K_{\text{H}_2\text{O}}}$ pro případy, kdy se koncentrace obou iontů sobě rovnají.

Tabulka 28

Spektrofotometrie. Extinkční koeficienty

Údaje tabulky mají usnadnit volbu spektrofotometrické metody stanovení anorganických iontů jednak z hlediska *citlivosti metody* (e) a v souvislosti s tím i pravděpodobně koncentrální oblastí, kdy bude platit Bouguerův–Lambertův–Beerův zákon, jednak se zároveň na *technické možnosti* používaného měřicího přístroje [možnost nastavit potřebnou vlnovou délku (λ)].

Je vždy uvedena iontová forma kovu (mocenství), z níž se při metodě vychází, dále barvotvorné činidlo, a pokud je známo, i složení zbarveného reakčního produktu nejčastěji poměrem kov: činidlo (je-li činidel několik a všechna jsou součástí barevného produktu, týká se poměr pořadí, v jakém jsou činidla v tabulce uvedena). Ú nепřímých metod je jako činidlo uveden komplex, který se určovaným iontem bud rozkládá (odbarvuje), nebo sráží. Ve sloupci „složení“ je látka, jejíž roztok se fotometruje.

„Prostředí“ ukazuje, zda se absorpční měření provádí přímo po vybarvení ve vodním roztoku, anebo zda předchází jisté extrakci do organického rozpouštědla s vodou nemísitelného. Označení „< 7“ nebo „> 7“ je pouze vyjádřením kyselého nebo zásaditého prostředí. Předpoklady pro optické měření udává vlnová délka λ – odpovídá většinou absorpčnímu maximu – a extinkční koeficient e . Tento extinkční koeficient se vztahuje vždy na *1 gramatom* určovaného prylku v litru roztoku a *nikoli*, jak je obvyklé, na *1 mol* barevného komplexu; totéž platí i pro nepřímá fotometrická stanovení:

$$e = \frac{A}{c \cdot l},$$

kde A je extinkce roztoku,
 c – počet gramatomů určovaného prylku vázaného ve zbarveném reakčním produktu v 1 litru roztoku,
 l – tloušťka vrstvy roztoku.

Jedině tak máme totiž možnost porovnávat pomocí číselných hodnot citlivost *všech* fotometrických metod, tj. i takových, kdy

nezáma molární složení proměňovaného reakčního produktu.
Rozmér ε bude tedy $\text{g} \cdot \text{atom}^{-1} \cdot \text{cm}^2$.

Je třeba si uvědomit, že velikost extinkčního koeficientu závisí na monochromatii záření použitého při proměřování absorpční křivky, tj. na nastavení šířky výstupní štěrbiny u monochromátora, popřípadě na kvalitě selekčního filtru. Mohou se tedy hodnoty změřené na různých přístrojích anebo na téměř přístroji za různých podmínek poměrně lišit.

Koncentrační rozsah platnosti Bouguerova—Lambertova—Bee-rova zákona udává jen oblast, pro niž byl zákon ověřován, a je vyjádřen převážně v mg určovaného pravku v 1 litru roztoku; vztahující se údaj vyjímceně na mg celého složeného iontu, je to vyznačeno v závorece.

Pro větší přehlednost tabulkuy jsou některé běžnější sloučeniny vyznačena v organická rozpouštědla uváděna zkratkami v chemické praxi obvyklými, jejichž výklad je podán za tabulkou na str. 217.

Tabulka 29

Kalibrace analytických závaží

Za předpokladu, že se používá jedné a téže sádky analytických závaží, nezáleží při většině operací kvantitativní analýzy ani tak na *absolutním* souhlasu hmoty závaží s jeho jmenovitou hodnotou, jako spíše na tom, aby hmoty jednotlivých závaží byly v téží *relativním* (vzájemném) poměru jako jejich jmenovité hodnoty; to znamená, že například hmota 5 g závaží musí být právě polovinou hmoty závaží 10 g. O tom, zda je tato podmínka splněna, musíme se přesvědčovat občasnou kontrolou každé sádky závaží.

Uvádíme Richardsův způsob kalibrace substituční metodou v úpravě, která se v praxi nejlépe osvědčila; při metodě jsou eliminovány chyby způsobené nerovnoramenností váhadla. Ukázkový pracovní postup v tab. 29a je vhodný pro všechny typy sádek (složených podle různých schémát: 1, 1, 2, 5 g nebo 1, 2, 2, 5 g, event. 1, 2, 3, 5 g). Způsob zjištění relativních korekcí umožňuje jejich použití při většině kvantitativních metod, u nichž se při

výpočtech vychází z výsledků nejméně dvojího vážení, tj. kromě navažování vzorku se ještě váží např. izolovaná sedlina (gravimetrie), látku pro odměrý roztok (titrace), základní látka, pro sestrojení kalibracní křivky (kolorimetrie, polarografie) aj. Ve výjimečných případech, které vyžadují, aby sádka byla absolutně správná, tj. aby hmotu jednotlivých závaží souhlasila s jejich jmenovitými hodnotami (např. při plnoměrných metodách, kdy výsledky analyzy se vypočítávají z navážky vzorku a z objemu plynu), je třeba začlenit do řady kontrolovaných závaží vhodný písemný základ — standard, na nějž se pak ostatní závaží přepočítávají stejně, jak je uvedeno v postupu se závažím 20 g.

Zpísob přepočítávání hmot zkoušených závaží na definitivní základ podle poměru nominálních hodnot, použitý v tabulce 29, není zcela exaktní. Absolutně správná úvaha vychází v uvedeném příkladě ze změny hmoty, k níž dochází zavedením 20 g závaží jako definitivního základu místo prozatímního základu 0,01 g. Tím se číselně mění hmota závaží z 20,1266 na 20,0000 g. Vážením zjištěné hmoty ostatních závaží se tedy musí změnit v poměru 20,0000/20,1266, takže v uvedeném příkladě 10 g závaží bude změna dána součinem

$$10,0631 \cdot \frac{20,0000}{20,1266} = 9,9998 \text{ g}$$

Tento zdlouhavější postup výpočtu je možno nahradit uvedeným rychlým způsobem, poněvadž chyby, kterých se tím dopouštíme, jsou i v krajních případech rádově tisiciny miligramu, a jsou tedy zanedbatelné.

Tabulka 30

Směšovací pravidlo

Použití směšovacího pravidla je dostatečně popsáno přímo v tabulce.

Použitá literatura

- CONVAY B. E.: Elektrochemical Date, Elsevier Publishing Company, Amsterdam 1952.
- Spravočník chemika, 3 díly, Goschimizdat, Leningrad - Moskva 1951 - 52.
- HODGMAN Ch. D. aj.: Handbook of Chemistry and Physics, 37. vyd., Chemical Rubber Publishing Company, Cleveland 1955.
- IUPAC - Tables of Spectrophotometric Absorption Data of Compounds Used for the Colorimetric Determination of Elements, J. Butterworth, Londyn 1963.
- KOHLIN W.: Kurzes Handbuch der Chemie, Vandenhoeck & Ruprecht, Göttingen 1951 - 1956.
- KÜSTER F. W., THIEL A.: Logarithmische Rechentafeln, W. de Gruyter, Berlin 1941.
- LANDOLT H. H., BÖRNSTEIN R.: Physikalisch-chemische Tabellen, 8 dílu, 6. vyd., J. Springer, Berlin 1950.
- LANGE N. A. aj.: Handbook of Chemistry, 6. vyd. Handbook Publishers, Inc., Sandusky 1946.
- MARROTT A. A., SMITH E. R.: Table of Dielectric Constants of Pure Liquids. National Bureau of Standards, Circular 514 (1951).
- OLSEN J. C.: Van Nostrand's Chemical Annual, 7. vyd., D. Van Nostrand Company, Inc., New York 1934.
- PERELMAN V. I.: Malá chemická příručka, SNTL, Praha 1955.
- SEIDELL A.: Solubilities of Inorganic and Metal Organic Compounds, 3. vyd., D. Van Nostrand Company, Inc., New York 1940.
- SILVA L. G., MARTELL A. E.: Stability Constants of Metal-Ion Complexes, The Chemical Society, Londýn 1964.
-
- BATES R. G.: Determination of pH. J. Wiley and Sons, New York 1964.
- BOOTH H. S., DAMMRELL W. R.: Quantitative Analysis, 2. vyd., McGraw-Hill Publishing Company, New York 1944.
- BUTLER J. N.: Ionic Equilibrium, Addison-Wesley Publishing Company, Inc., Reading (USA) - Londýn 1964.
- CLARK W. M.: The Determination of Hydrogen Ions, 3. vyd., Williams and Wilkins, Baltimore 1928.
- OLIFFORD A. F.: Inorganic Chemistry of Qualitative Analysis, Prentice-Hall, Inc., Englewood Cliffs 1961.
- HAMILTON L. R., SIMPSON S. G.: Talbot's Quantitative Chemical Analysis, 9. vyd.; The Macmillan Company, New York 1947.
- JÍLEK A.: Odměrná analýza, I. díl, Vědecko-technické nakladatelství, Brno 1950.
- KOLTHOFF I. M.: Säure-Basen Indicatoren, J. Springer, Berlin 1932.
- KOLTHOFF I. M., ELVING P. J.: Treatise on Analytical Chemistry, I. díl, sv. I., Interscience Publishers, Inc., New York 1959.
- KOLTHOFF I. M., STENGER V. A.: Volumetric Analysis, II. díl, Interscience Publishers, Inc., New York 1947.
- LATIMER W. M.: The Oxidation States of The Elements and Their Potentials in Aqueous Solutions, 2. vyd., Prentice-Hall, Inc., New York 1952.

Doc. Ing. Dr. VÁCLAV SÝKORA

Ing. Dr. VLADIMÍR ZÁTKA, CSc.

PŘÍRUČNÍ TABULKY PRO CHEMIKY

Třetí, přepracované a doplněné vydání

DT 66 (08)

Vydalo SNTL - Nakladatelství technické literatury, n. p., Spálená 51, Praha I, jako společné vydání se Slovenským vydavatelstvem technické literatury v roce 1967 jako svou 6000. publikaci v řadě chemické literatury - Redakce chemické literatury - Odpovědný redaktor Ing. Vladimír Drobolav Vazbu navrh Vladislav Jecák - Technická redakce Ota Dvořák Vytiskl TISK, knižní výroba, n. p., Brno, závod 1 - 296 stran, 2 obrázky, 30 tabulek, 1 vlepená příloha. - Typové číslo L 16-E1-III-52/6645/XII. Vydaní třetí, doplněné - Náklad 12 200 výtisků - 14,25 AA, 16,59 VA D-06*70466

05/2

Cena vázанého výtisku Kčs 18,00 . I

505/21,846

Publikace je určena pro chemiky v průmyslových i výzkumných analytických laboratořích a pro studující průmyslových a vysokých škol chemických

04-625-67 Kčs 18,00 - I